

UNIVERSITATEA "POLITEHNICA"
TIMIȘOARA
BIBLIOTECA CENTRALĂ

Ir. Inv.: 568-159

Urap: 125 Lit: G

STATEA TEHNICA TIMISOARA

STATEA DE ELECTROTEHNICA

TEZA DE DOCTORAT

ING. VIOREL MAIOGAN

CONDUCATOR STIINTIFIC :

PROF.DR.ING COLETA DE SABATA

1992

BUPT

**ASUPRA POSIBILITATII DE ASIGURARE
A INDEPENDENȚEI ENERGETICE A UNEI
LOCALITATI FOLOSIND ENERGIA SOLARA**

BIBLIOTECĂ CENTRALĂ
UNIVERSITATEA "POLITEHNICA"
TIMIȘOARA

familiei Mele,

INTRODUCERE

Problema incalzirii solare ca si a realizarii altor utilitati folosind energia solara, desi studiata inca din antichitate, nu a cunoscut un interes real decit dupa interventia primei crize a petrofului, din anul 1973.

Pina la acea data existau atit cercetari cit si realizari practice in anumite tari dar opozitia din partea arhitectilor, mormanea investitiilor suplimentare si, nu in ultimul rand, inertia proiectantilor s-a opus unor aplicatii semnificative.

Este interesant de remarcat faptul ca tarile bogate au fost primele dispuse sa faca investitii insemnante atit in cercetari cit si in aplicatiile practice, politica fiscală fiind de mare ajutor in promovarea utilizarii energiei solare in producerea apei calde menajere si in climatizarea locuintelor; la loc de frunte in dezvoltarea acestor utilitati se afla SUA, Germania, Japonia, s.a, iar in Israel este interzisa prepararea apei calde menajere altfel decit folosind energia solara.

In Romania, folosirea energiei solare la prepararea apei calde menajere a fost incurajata prin investitii destul de mari, dar, din pacate, s-a mers pe ideea sistemelor gigant al caror randament este extrem de redus datorita pierderilor de caldura in cazul transportului apei calde la distante mari; adaugind la aceasta lipsa de interes a consumatorilor, intretinerea de slaba calitate, inexistentia unor masuri fiscale corespunzatoare, sistemele nu au dat decit arareori satisfactie, iar in ultimii doi ani au fost parasiite.

In lucrare ne-am propus sa studiem posibilitatea acoperirii cu energie solara a necesitatilor unei localitati -atit in ceea ce priveste utilizarea caldurii cit si a energiei electrice in aplicatiile casnice - stiut fiind ca atit in Iugoslavia cit si in Romania exista conditii incurajatoare, cele doua tari fiind situate pe paralela 45 °N, cu o insolatie ce poate atinge valori de 800-900 W/m² in lunile de vara si o durata medie de insolatie de 2000-2100 ore/an; in plus, ambele tari nu au resurse energetice mari si problema importurilor de energie se afla la ordinea zilei.

Un alt aspect favorizant se refera la faptul ca in Iugoslavia exista multe case de vacanta, vile, cabane situate departe de sursele clasice de alimentare cu energie electrica si aducerea unor linii cu tensiunea de cel putin 6 kV ar necesita investitii absolut prohibitive pentru un consumator izolat; in aceeasi situatie se afla unele insule de la Marea Adriatica folosite numai pe perioada de vacanta, un numar limitat de ore pe an, vara, si in care nu se necesita instalatii de forta. Transportul combustibilului pentru alte tipuri de generatoare electrice este scump si nerentabil la puteri mici cerute de iluminat, frigidere, statii radio si telefonie precum si televizoare.

Climatizarea locuintelor in perioadele de trecere - primavara si toamna - reprezinta o alta preocupare de interes, mai ales in Iugoslavia unde surplusul de caldura necesar asigurarii confortului este adesea preluat de la reteaua electrica a localitatii fiind folosite de preferinta corupi de incalzit, cu acumulare de caldura. Elementele pe care ni le-am propus a fi studiate in teza se refera la:

- studii sistematice asupra disponibilitatii de energie solara, a puterilor ce se pot obtine, a numarului de ore de insolatie, a temperaturilor exterioare in diversele perioade ale anului;
- analiza metodelor de captare a energiei solare, a randamentelor, a aspectului economic, a investitiilor necesare;
- studiul suprapunerii cererii si a ofertei de energie, a posibilitatii de stocare, a metodelor celor mai convenabile, a investitiilor necesare; randamentele implicate, dificultatile tehnologice, problemele constructive, aspectele economice.

In teza s-a acordat o atentie deosebita: bazei fizice ale fenomenelor implicate, valorificarii rezultatelor experimentale prin utilizarea unui aparat matematic corespunzator, utilizarea metodelor moderne de calcul prin programe realizate pe calculator, separarii elementelor de captare, conversie, stocare, utilizare, cu legile lor specifice in vederea analizei randamentelor respective si a contributiei fiecarui element in parte la utilizarea finala..

Teza contine trei parti mari care se refera la:

- elementele generale ce caracterizeaza energia solara, interactia cu atmosfera, legi fizice de baza,

- sisteme de captare si conversie a energiei solare cu transformarea ei in caldura; metode de stocare; utilizari;
- conversia energiei solare in energie electrica, stocare si utilizari.

Baza experimentală de care am dispus la UTT ne-a permis studiul experimental al fiecarui tronson mentionat mai sus, avind astfel posibilitatea de a aduce contributii la cunoasterea fenomenelor fizice care determină funcționarea convenabilă și la randamente corespunzătoare a acestor instalatii. Desi randamentele globale ale instalatiilor sunt relativ scazute, faptul ca energia primara este gratuita conduce la concluzia că acest tip de instalatii pot fi competitive mai ales în anumite situații ce se întâlnesc atât în România cât și în Iugoslavia. Cresterea producției mondiale de celule fotovoltaice, marirea randamentelor și reducerea prețului, precum și crearea de aparataj special pentru tensiune continuă și la valori relativ mici (24 V) va determina un interes sporit în urmatorii ani.

Pe baza cercetărilor efectuate putem conchide că o parte însemnată din energia necesară unei localități poate fi asigurată cu ajutorul energiei solare, atât la construcțiile existente cât mai ales la clădirile noi ce se vor construi după alte precepte de bază; în cazul unor localități mici, izolate sau unde se locuiește numai un timp limitat, în cazul caselor de vacanță, a refugiajilor din munti, a unor mici insule locuite numai vara, a caselor situate în vii, a casutelor de week-end, utilizarea energiei solare poate asigura în întregime necesarul de caldura, de apă caldă și de energie electrică.

Energia solară nu poate înlocui celelalte forme de energie utilizate astăzi, ea este o energie alternativă, de completare, dar faptul că este gratuită, nepoluantă și independentă de parteneri străini îi conferă calitatea deosebită de neglijat. Reducerea consumului de combustibili clasici-scumpi și poluanți este astăzi posibilă, cu efecte benefice asupra economiei și a mediului ambiant.

Solutia pe care o preconizam, în baza experienței dobândite în cadrul acestei cercetări, este cea a unor instalatii mici, pentru case familiale sau chiar de apartament, în care caz atenția celui care o folosește asigură o fiabilitate ridicată întrucât problema

cea mai mare care se ridică este cea a unei bune exploatari și întrețineri, fără a necesita însă cunoștințe de specialitate.

Casele viitorului trebuie să difere esențial de casele construite în ultimele decenii prin marirea gradului de izolație termică, prevederea unor pereti de tip Trombe-Michel, asigurarea cu mici serii sau cu logii vitrate, realizarea apei calde menajere cu ajutorul panourilor amplasate pe acoperis și asigurarea căldurii în încăperi folosind sisteme de stocare a căldurii solare cel puțin în sezoanele de trecere și parțial chiar și iarna.

În încheiere doresc să aduc multumiri conducătorului științific doamnei prof.dr.ing. Coleta de Sabata care m-a îndrumat, sfătuit și ajutat în elucidarea problemelor teoretice și experimentale întâlnite în activitatea de pregătire a examenelor și referatelor cit și de elaborare a tezei de doctorat, domnului prof.dr. Marcu Cristian pentru sprijinul acordat în această perioadă, sef lucrari ing. Tamasdan Corin, și Luminosu Ioan cu care am colaborat în decursul studiului și cercetărilor experimentale, precum și prestigiosului colectiv al Catedrei de Fizica de la UTT care a inițiat și a dezvoltat cercetări în domeniul energiei solare încă din anul 1976 având numeroase realizări teoretice, experimentale și aplicative.

Tot pe această cale aduc multumiri domnului prof. Gilbert Menguy de la "Laboratoarele de studii termice și solare" din cadrul Universitatii Claude Bernard și familiei Ninku Pierre junior din Lyon pentru sprijinul acordat în perioada în care am fost în Franța pentru cercetare și documentare științifica.

Doresc să mulțumesc conducerii UTT care mi-a permis să-mi desavirsesc pregătirea profesională prin doctorat punindu-mi la dispozitie tot ce mi-a fost necesar; mulțumirile mele se îndreaptă de asemenea către Statul Român care, în baza acordului de colaborare tehnico-științifica și culturală existent între România și Iugoslavia m-a ajutat să realizez o cercetare științifică ce va fi utilă ambelor țari.

De asemenea aduc mulțumiri familiei mele, care m-a intelese și sprijinit în realizarea cercetării științifice concretizată prin aceasta teza de doctorat.

CAPITOLUL 2 SURSE ENERGETICE

2.1 CLASIFICARI

Dupa gradul de integrare a surselor energetice in satisface-rea nevoilor economice deosebim [24]:

i) a) surse conventionale, cele care participa la obtinerea energiei in mod predominant (sursele "clasice"):

- lemnul
- carbunii
- hidrocarburile
- combustibilii nucleari
- energia hidraulica

b) surse neconventionale, cu o participare deocamdata mai modesta in balanta energetica, dar cu reale posibilitati de dezvoltare in viitorul apropiat:

- energie solară
- energia eoliană
- energia geotermă
- energia oceanelor

c) alte surse aflate in faza de cercare si in statii pilot bazate pe tehnologii fizice si chimice, unele foarte promitatoare

a) Surse energetice conventionale

Aceasta categorie de surse energetice a intrat in folosirea curenta in mod succesiv.

Lemnul

Folosirea lemnului ca sursa energetica a inceput odata cu descoperirea focului. Consumul de masa lemnosă a crescut pe masura ce aceasta a fost necesara in constructii si pentru prelucrarea altor materii prime naturale.

Padurile sunt raspandite pe mari intinderi, dar inegal, acoperind circa 1/3 din suprafata terestra, circa 4.094 milioane ha. Se apreciaza ca in padurile de astazi, exista aproximativ 238.000 milioane m³ masa lemnosă.

Ritmul anual al despaduririlor este de 11.300.000 ha/an.

La nivelul anului 2000 se prevede o crestere a consumului de lemn pina la 5 mil. m³. Pe plan mondial, suprafata padurilor este in scadere si acest proces va continua inca, mai ales in tarile subdezvoltate si in unele in curs de dezvoltare.

Prin organismele ale ONU s-au constituit colective care au scop studiul si proiectarea unor activitati care sa frineze aceasta scadere a suprafetei impadurite si sa dea o desfasurare dirijata in economisirea fondului forestier mondial.

Carbunele

Arheologii au gasit dovezi privind folosirea carbunelui de catre om inca de la inceputul comunelor primitive, in vîtrele unor asezari omenesti pe teritoriul Chinei.

Aristotel (384-322 i.e.n) a lasat dovezi scrise despre intrebuintarea carbunelui in timpul mileniilor II si I i.e.n. de catre egipteni, greci si romani. Georg Agricola (Bauer) (1494-1555) face cea dintii clasificare a carbunilor. Klein Baltazar in 1598 a studiat si a descifrat structura carbunilor.

In secolul al XIX-lea studiul si exploatarea carbunilor iau avint, folosindu-se pe scara tot mai larga in industrie.

Se disting trei grupe genetice de carbuni:

- carbuni humici
- sapropelici combustibili
- liptobiloliti

Carbunii care intereseaza sub aspect energetic aparțin categoriei carbunilor humici.

Conform WEC (Conferinta mondiala de energie) 1978 [28], resursele mondiale de carbune sunt estimate la 10.126 miliarde tone carbune echivalent. Cifrele WEC pentru rezervele mondiale de carbune sunt nesigure, astfel, rezervele de carbune estimate actualmente ca fiind tehnic si economic recuperabile se ridica la 637 mld t_{ce}.

Consumul de carbune a variat in dependenta de ritmul de dezvoltare economic si industrial. Ponderea carbunelui in balanta energetica mondiala de 90 % la inceputul secolului al XX-lea a scazut la 47 % in 1960 si 22 % in anul 1990 [25].

Scaderea productiei de carbune s-a manifestat mai ales in cadrul Comunitatii Economice Europene datorita reprofilarii industriei pe hidrocarburi.

Titeiul

Cele mai vechi date referitoare la cunoasterea si folosirea titeiului si mai ales a bitumenului, le avem din Orientalul Mijlociu (teritoriul cuprins intre Caucaz, Regiunea Golfului si Egipt) unde vechile popoare (egiptenii, babilonienii, persi, asirieni, sumerienii) foloseau titeiul in mileniile VI-IV i.e.n. la constructii de drumuri, la impregnarea corabiilor de lemn, la prepararea mumiilor, in medicina empirica.

Titeiul si celelalte substante inflamabile asemanatoare lui, pe care le adaposteste scoarta terestra sunt cuprinse in stratele sedimentare in care s-au format sau in care au emigrat, constituind zacaminte exploataabile. Titeiul s-a format din materia organica a vietuitoarelor care au trait pe fundul apelor dulci, salmastre si sarate.

Conditia principala pentru asigurarea unui start petrolien este ca materia organica depusa sa fie incorporata in sedimente fine, care sa o izoleze de contactul cu oxigenul. Mediul astfel format, lipsit de oxigen, se numeste mediu euximic sau anoxic (G.I.Demaison, G.T.Moore, 1980); este un mediu reducator in care bacteriile reducatoare descompun materia organica complexa in substante mai simple, pina la hidrocarburi.

In zonele petro-gazeifere, titeiul este predominant pina la adintimea 3000-3500 m. In zone sub 3500-4000 m titeiul si gazele sunt prezente in cantitati optime in ceea ce priveste proportia structurilor purtatoare.

La adintimi mari, temperatura corespunzatoare treptei geotermice a produs transformarea hidrocarburilor lichide si solide in gaze naturale (hidrocarburi gazoase).

In ultimii 50 de ani s-au facut aproximativ 30 de estimari privind resursele si rezervele mondiale de petrol maxim recuperabile. Amintim estimarile facute de: King Hubbert, Moody (de la Mobil Oil Company, Statele Unite) Weeks (de la Weeks Natural Resources, Statele Unite) Clemens (de la Weeks Natural Resources Statele Unite). Aceste estimari, in timp, au aratat o tendinta generala catre valori crescatoare [27].

O evaluare de anvergura a resurselor de petrol a fost facuta de un grup condus de Despraires (1977) subventionata de WEC. Prima

data, pentru evaluarea resurselor de titei, s-a recurs la metoda Delphi, metoda ce constituie una din cele mai bune surse de informații. Referitor la evaluarea resurselor de petrol, acestea au acoperit o gama largă de la 173 mld t_{ep}, la 950 mld t_{ep}, dar majoritatea au estimat resursele exploataabile cu mijloace tehnice actuale între 225-300 mld t_{ep}, dintre care 90-100 mld t_{ep} rezerve sigure pe care se poate baza în prezent economia.

Interesul pentru gazele naturale a fost mult mai mic, manifestându-se mult mai târziu decât cel pentru resursele de petrol. În ultimile decenii consumul de gaze a crescut rapid.

Există un consens puternic între expertii în petrol din lume asupra parerii că producția și consumul de gaze în lumea întreagă vor continua să crească, posibil pînă la începutul secolului viitor datorită proprietăților atractive ale utilizării gazelor naturale.

Valoarea rezervelor de gaze adoptată de WEC și de America Gas Association după o evaluare facută de IGT (Institutul American pentru Tehnologia Gazelor) este de aproximativ 280.000 mld m³.

Combustibili nucleari

Cea dintîi centrală nucleară electrică a fost pusă în funcție la 27 iunie 1954 la Obinsk (URSS) cu o putere instalată de 5 MWe, a urmat apoi cea de la Calder Hall (Marea Britanie) în 1956 cu o putere instalată de 48 MWe și cea de la Shippingport (SUA) în 1957 cu o putere instalată de 100 MWe [24].

În anul 1965 funcționau în lume 58 centrale nucleare-electrice cu o putere instalată de 6000 MWe, iar în anul 1973, 120 centrale nucleare-electrice de 38.100 MWe.

La începutul anului 1979 erau în construcție și proiectare 300 centrale nucleare electrice de putere instalată de 200.000 MWe.

La începutul anului 1984 erau în funcție peste 300 reacțoare în 25 de țări, cu participare de 10% în balanța energetică mondială.

Astăzi, din producția de energie electrică în centrale nucleare se obține: 40% în Franța și Finlanda, 36% în Suedia, 22% în Belgia, 20% în Japonia și Germania, 12% în URSS, SUA, Marea Britanie

Centralele nucleare-electrice folosesc mai multe tipuri de reacțoare:

- cu apă usoară (LWR);

- cu apa sub presiune (PWR);
- cu apa grea (HWR);
- racire cu gaze (AGR)

In anii 1975-1976, datele asupra rezervelor de pechblenda, cel mai important minereu de uraniu, mentionau 1.500.000 t resurse si 1.200.000 t rezerve industriale.

In raportul Grupului pentru Programul Sistemelor de energie al Institutului International pentru Analiza Sistemelor Aplicate este data cifra de 24.500.000 t.

Cantitati de uraniu evaluate la 5 mld t, se gasesc in apa oceanelor la o concentratie de 0,0015 g/m³ apa.

Gradul de asigurare al energeticii cu combustibili nucleari este hotarit de structura si tipul reactoarelor.

Energia hidraulica

Pe Pamant se gaseste un volum de apa de 13,7 mld km³ din care 98% formeaza apa marilor si oceanelor si acopera cca. 70% din suprafata planetei. Apa dulce reprezinta 2% [24].

In atmosfera se gaseste o cantitate de aproximativ 12.300 km³ de apa sub forma de vaporii. In sol si in stratele acvifere subterane se apreciaza o cantitate de apa de 7-10 mil.km³. Potentialul stabil al apelor curgatoare, apreciat intre 20.000 si 30.000 km³, intereseaza din punct de vedere energetic.

In circuitul exterior al apei (evaporare → condensare → precipitatii → curgeri → infiltratii → colectare → evaporare) apa este sub influenta directa a energiei solare, avind valori cuprinse intre 0,1-0,2 kW/m² si cu posibilitatea de a evapora la suprafata terestra un strat de apa de 1,30 - 1,60 m grosime. Cantitatea de apa in atmosfera nu este mare, dar ciclul evaporare → condensare → precipitatii → se repeta des.

Valoarea potentialului energetic tehnic amenajabil se ridica la 1700-2300 mil.kW, iar economic amenajabil este de 800 mil.kW ceea ce ar duce la o productie de 4200 mld kWh.

In prezent media mondiala de utilizare a potentialului hidroenergetic este de 20%, productia de energie electrica mondiala obtinuta in centrale hidroelectrice reprezentind 4-6% [25].

b) Surse energetice neconventionale

Unele din aceste surse au fost folosite de om inca din antichitate, altele in ultimele doua secole:

- energia solară
- energia eoliană
- energia geotermică
- energia oceanelor

Energia solară

Prin ca sursa energetică, Soarele transmite anual pamintului o energie considerabilă de cca. 450.000 mld t_{cc} [26]. Din aceasta echivalentă a:

180.000 mld t_{cc} se reflectă la nivelul straturilor superioare ale atmosferei și marilor

45.000 mld t_{cc} se reflectă la nivelul solului

75.000 mld t_{cc} se absoarbe de către atmosferă (din care cca. 20.000 mld t_{cc} generează vîntul)

80.000 mld t_{cc} produce evaporarea apelor

75.000 mld t_{cc} reprezintă energia solară incidentă la suprafața pamantului (incluzând și procesele de fotosinteza), de 3000 ori consumul energetic al omenirii în anul 2000.

La nivelul solului în jurul paralelei 45°, pe 1 m² de suprafață se pot capta anual (500-700) × 10⁹ kcal, ceea ce reprezintă cca. 75-100 kg_{cc} echivalent cu 75-100 kg carbune de calitate superioară, sau 200-250 kg lignit sau 50-80 m³ gaze naturale sau 45-70 kg petrol [4].

In cazul conversiei în energie electrică, din energia medie anuală, disponibilă la suprafața solului care este de 800-1500 kWh/m²/an se pot capta în funcție de solutiile tehnice utilizate 80-150 kWh/m²/an.

Prognozile energetice estimează pentru anul 2000 un aport solar de 2-10% din necesarul de energie primară al omenirii, în dependență de disponibilitatile de combustibili clasici, de posibilitățile tehnologice și financiare [26].

Energia eoliană

Energia eoliană a inceput să fie utilizată în antichitate în Persia, Regiunea Golfului și Orientul Apropiat. În Europa, cei dintii care au aplicat energia eoliană la morile de vînt pentru drenarea locurilor, au fost olandezii, în secolele XIII-XIV. Morile de vînt au fost extinse și în restul Europei, iar în secolul al XIX-lea s-au extins și în America [24].

Vîntul reprezintă o sursă considerabilă de energie cu o distribuție neuniformă pe glob, atât în plan orizontal, cât și în plan vertical.

Multitudinea de forme geografice, a creat zone cu vînturi intense (uragane), medii, precum și zone lipsite de vînt. După unele estimări generale [24] potentialul energetic are următoarele valori:

- pentru întreg globul: $(13-15) \times 10^{12}$ MWh/an
- pentru suprafața uscatului $1,7 \times 10^{12}$ MWh/an

La nivelul actualelor posibilități tehnologice se poate afirma că potentialul energetic amenajabil este cel al zonelor cu vînt mediu sub 40 m/s și al primilor 100 m deasupra solului, numai între latitudinile de 50° nord și sud. Folosirea energiei eoliene este rentabilă dacă viteza vîntului depășește 14 km/h (≥ 4 m/s).

Pînă în zilele noastre, domeniul de utilizare al energiei eoliene era cel al aerogeneratorilor de puteri mici folosite pentru obținerea energiei mecanice în mică industrie.

Criza energiei a pus în evidență problema agregatorilor mari care să intervina sensibil în balanța de energie a țărilor. Ca urmare a acestor imperitive, pînă în prezent, au fost realizate aerogeneratoare electrice de putere între 1-10 MW. Concurgența este între turbinele cu ax vertical de tip Darrieux și cele cu ax orizontal sau bipale.

Un pas mare în domeniul utilizării energiei vîntului s-a făcut prin construirea de către Germania și URSS a primelor nave maritime mari cu pinze, ale secolului XX, comandate evident de calculator.

Energia geotermica

Incalzirea Pamintului, ca eveniment unic, s-a petrecut in urma cu 4,5 miliarde de ani, caldura originara rezultind din impactul particulelor cosmetice. Incalzirea ulterioara s-a produs si se produce si astazi prin radioactivitatea izotopilor cu viata lunga, raspanditi pina la 200 km sub suprafata planetei. Energia radiogeotermica a acestora, intretine fluxul energetic care ajunge la suprafata si se disipeaza in spatiul inconjurator la o valoare de 10^{24} J [24].

Pe suprafata terestra, cele mai raspandite arii si zacaminte dupa valoarea geotermica - sunt cele cu un flux de caldura si gradient geotermic de 10-40 °C pe adincimea de un km, numite arii netermale.

Ariile cu valori de 40-70 °C sunt arii semitermale, iar cu valori mai mari de 70 °C sunt arii hipertermale. In ariile hipertermale se gasesc si cele mai frecvente structuri hidrogeotermice in care se acumuleaza "sursa geotermica" adica zacamintele de apa geotermală, fiind de un mare interes hidroenergetic si geotermic.

Apelurile termale au fost folosite la incalzirea locuintelor si pentru bai pe timpul romanilor. Apelurile gheizerilor din Islanda au fost utilizate la incalzirea sereelor si a locuintelor.

In SUA, incepand cu 1960, functioneaza o uzina electrica de 58 MW actionata de vaporii unui gheizer din regiunea San Francisco.

Orasul japonez Marioka si localitatile din apropiere au fost printre primele alimentate cu energie electrica produsa de o centrala geotermica de putere de 20 MW.

Vulcanii Wairakei si Tanpo din Noua Zeelanda, degaja continuu vaporii, captati de multe secole.

Conferinta Mondiala de energie preconiza o productie mondiala de energie electrogeotermica de 100.000 MW in anul 2000.

Energia oceanelor

Oceanele inmagazineaza cantitati enorme de energie solară, estimata la un echivalent energetic de aproximativ 100 mld t_{ep}/an manifestindu-se in:

- energie mareotermica
- curenti oceanici
- valuri

Energia mareotermica se poate capta prin aplicarea principiului folosirii unor fluide cu punct de fierbere la un nivel scazut ca freonul, amoniacul, propanul.

Curentii oceanici pot actiona paletele turbinelor hidraulice care apoi pot pune in miscare generatoare de curent alternativ.

Valurile oceanice ca potential energetic au fost obiectul numeroaselor studii si cercetari. Puterea unui val oceanic variaza intre 8-50 kW/m de front maritim amenajabil. Rezultate bune au fost obtinute in Atlanticul de Nord.

Bioconversia energiei solare. Fotosintеза. Biomasa

Bioconversia este transformarea energiei solare in potentialul chimic care alcatuieste corpul vietuitoarelor, fiind un proces al conversiei energiei solare la temperaturi joase efectuat de clorofila; procesul de fotosintеза este fenomenul creator al biomasei actuale si de totdeauna, al combustibililor fosili.

Randamentul conversiei energiei solare prin fotosintеза este cuprins intre 0,25 si 5% .

Biomasa, cu un potential energetic de 100 TW an/an se distribuie (B.Botin, 1979) [24]:

- 23 TW an/an in biomasa mlastinilor, pasunilor si tundrelor
- 29 TW an/an in paduri
- 10 TW an/an in terenuri cultivate
- 38 TW an/an in algele oceanice

Potentialul chimic al biomasei prin fenomene biotice si prin diferite tehnologii poate fi convertit in produsi energetici.

Cercetarile efectuate au dus la concluzia ca unele specii vegetale pot fi cultivate numai pentru valoarea lor energetică. Aminim astfel familia Euphorbiaceae cu speciile Euphorbia lathyris si Euphorbia trucalli care cresc in Brazilia pe terenuri sarace intre tropice.

Biomasa se utilizeaza pe diferite filiere fie pe filiera termica brichetind frunze, aschii si alte deseuri lemnosase si arzindu-le, fie pe filiera producerii de inlocutori ai benzinei sau motorinei, in principal etanol.

Etanolul (alcoolul etilic) este principalul produs al prelucrarii biomasei in scopuri energetice. A fost folosit drept carburant pentru automobile inca de la inceputul acestui secol de catre Henry Ford, dar a fost inlocuit repede de benzina.

In Brazilia programul etanolului combustibil (proalcool) a fost lansat in anul 1975. In anul 1980, in aceasta tara 20 % din totalul consumului de carburanti a fost asigurat pe baza de etanol (majoritatea in amestec).

Folosirea unor alge care furnizeaza direct metan, putind produce pina la 75 t metan la hektar, apare ca foarte rentabila. Acest gen de alge de origine tropicala detin recorduri de crestere de 30 cm/zi, atingind 50 m lungime in mai putin de un trimestru.

Utilizarea carburantilor produsi din fitomasa, poate conduce la stabilirea asigurarii carburantilor pentru temperaturi si agricultura. Acesti carburanti, prin calitatile pe care le poseda, se apropie de combustibilul ideal al viitorului:

- au o distributie globala care reflecta repartitia populatiei pe glob;
- sunt reînnoibili, ceea ce constituie cea mai importanta caracteristica lor;
- producerea lor se face pe baza unor tehnologii nepretentioase

2.2 ENERGII PRIMARE. PROGNOZE

Etapele de conversie si utilizare a energiei determina diferentierea acestelor in [32]:

- energia primara, reprezentind energia recuperata din natura - apa la un baraj, carbunele extras, petrolul, gazele naturale, uraniul natural, energia solară;
- energia secundara, reprezentind energia ce poate fi folosita intr-o gama larga de aplicatii: energia electrica, benzina.

Energia primara este transformata in energie secundara in diferite moduri, cu pierderi de conversie in trecerea de la energia primara la energia secundara si cu pierderi de transmitere de la locul de producere a acesteia la consumator.

Etapele finale sunt conversia energiei secundare in energie finala (energia intr-un motor, intr-o soba, un calculator) si

conversia energiei finale in energie utila (energie efectiv inmagazinata intr-un produs).

Caracterul contradictoriu dintre tendinta realizarii unui consum de energie in continua crestere si disponibilitatile resurselor energetice, la un moment dat considerate inepuizabile, reprezinta factorul dinamizator al transpunerii consumului de energie pe fluxul energetic continuu, asigurat pe toata perioada de existenta a societatii umane.

In succesiunea lor, etapele combustibilului vegetal, carbunei-lui, petrolului, energiei nucleare, energiilor regenerabile etc., nu s-au dezvoltat in fiecare etapa in concordanța cu cerintele societatii si cu suficient avans de declinul etapelor anterioare energetice. Aceste necorelati au condus la crize energetice.

In exploatarea combustibililor fosili si minerali va interveni un prag economic, glisant in timp, in functie de tehnologiile folosite peste care nu mai este economica extractia de combustibil. Aceasta constatare contrazice conceptia epuizarii fizice a combustibililor fosili si minerali, afirmind importanta factorilor economici in rezolvarea problemelor energetice. Astfel, intervin restrictii ecologice care fixeaza plafoane pentru extractia combustibililor fosili si minerali.

Oamenii de stiinta sunt unani in opinie ca, in cazul in care se continua arderea combustibililor fosili in ritmurile actuale, degajarile de oxid de carbon vor cauza in cca. 200 de ani modificari climaterice importante, iar consumul de oxigen, in cca. 100 de ani, va scadea cantitatea oxigenului din atmosfera sub nivelul critic de mentinere a vietii pe pamant. Deci pragurile economice si ecologice vor trebui sa actioneze mult mai ferm in stabilirea politicilor energetice, in alegerea structurilor economice viitoare

Evolutia situatiei energetice mondiale si numeroasele studii elaborate de institutii specializate sau de oameni de stiinta din diferite tari se intregreaza in orientarile mentionate mai sus. Astfel se constata [27]:

- reducerea ritmurilor de dezvoltare a bazei energetice si a producerii de energie primara. Intr-un studiu efectuat de Esse Europe ("Energy demand to 2000, Gaz Eng and Manag. 1983, 23, No 6) pentru 17 tari vest-europene se arata ca la sfirsitul secolului

cererea de energie va creste cu 1,3 % pe an ceea ce va fi de două ori mai mica decit cresterea medie din perioada 1960-1990 care a fost de 3,5 % .

La nivel mondial se prognoseaza ca fata de un consum de 5,5 mld t_{cc} in anul 1965 si 11,25 in 1980, consumul de energie primara sa creasca la 17 mld t_{cc} in 2000 fata de 25-30 mld t_{cc} cit se prognosa acum 20 de ani (fig.2.1).

- o crestere sensibila a eficientei valorificarii energiei
- o preocupare pentru reevaluarea rezervelor energetice tinind seama de factori economici

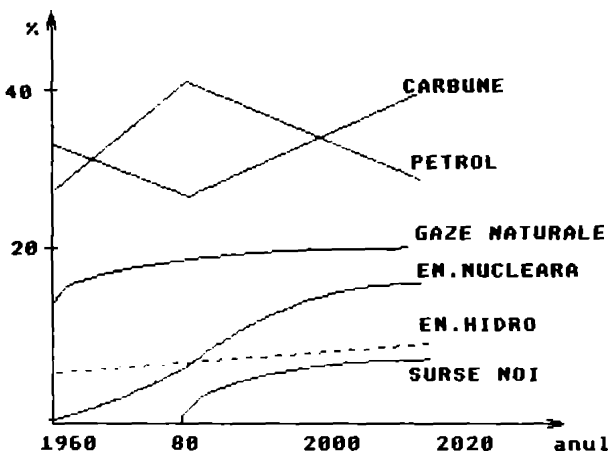


Fig.2.1

- o tendinta de crestere a ponderii energiei nucleare si a energiilor regenerabile

- o transformare a crizei energetice in criza financiara

In ultimii ani situatia energetica a tarii in curs de dezvoltare a continuat sa se agraveze. In 1982 consumurile energetice din aceste tari s-au micsorat din lipsa financiara.

In aceste conditii sunt tot mai multi adepti pentru o noua ordine energetica care sa se caracterizeze prin stabilizarea pretii combustibililor, instaurarea de mecanisme financiare interna-

tionale, extinderea colaborarii energetice, amplificarea dialogului intre tarile producatoare de energie si tarile consumatoare, intre tarile detinatoare de tehnologii si tarile importatoare.

Transformarea crizei energetice in criza financiara a avut la baza cresterile neintrerupte ale preturilor la titei, deoarece aceste cresteri se resfing atit asupra produselor petroliere, cit si asupra celorlalți combustibili.

Prognoza dezvoltarii energetice la nivel mondial prezentata la sesiunea WEC in anul 1980 [28] se caracterizeaza prin urmatoarele (tab.1):

- orizontul programei se extinde pînă la anul 2200
- carbunele va scăda 20% in anul 2000, urmînd sa descreasca pînă la 1 % in anul 2200

TABELUL 1

Tipul combustibilului si energiei	Participarea in procente				
	1800	1900	2000	2100	2200
combustibil vegetal	84,4	40	2,0	-	-
carbune lignit	5,5	56,0	20,0	7,0	1,0
titei si gaze naturale	-	3,0	56,5(48)	1,0	-
energie nucleara	-	-	16,5(25)	36,0	4,0
energie hidro, resurse noi si regenerabile, tehnologii noi	10,1	0,8	5,0	56,0	95,0
Total			100 %		

- titei si gazele naturale vor prezenta cca. 55 % in anul 2000 si 1 % in anul 2100;
- energia nucleara va creste de la 15 % in anul 2000 la circa 35 % in anul 2100 urmînd sa scada la circa 4 % in anul 2200;
- energiile regenerabile vor creste de la 5 % in anul 2000 la cca. 50 % in anul 2100 si la 95 % in anul 2200.

Evolutia scenariilor de dezvoltare energetica arata ca specialistii sunt preocupati de variante care conduc la riscuri minime pentru societate, la minimizarea entropiei. Există astfel:

- scenarii de dezvoltare energetica care valorifica in cel mai inalt grad energiile regenerabile, se caracterizeaza printr-un nivel entropic, respectiv prin factor de risc mai redus, dar si prin performante energetice si economice inferioare, aportul lor la balanta energetica a tarilor fiind redus;

- scenarii care acorda o pondere progresiv crescinda energiei lor regenerabile avind in vedere noi tehnologii de conversie;

Problemele principale ale energeticii mondiale deriva din caracterul de tranzitie al perioadei pe care o traversam, situindu-ne la mijlocul unei perioade de expansiune numERICA a populatiei de la mai putin de 1 mld la peste 10 mld locuitori. Problema generala de baza este de a efectua tranzitia la un ritm satisfacator, compatibil cu diferite restrictii cu care suntem confruntati.

Etapa actuala de dezvoltare a societatii umane se caracterizeaza prin epuizarea treptata a combustibililor fosili, ceea ce genereaza o criza energetica, de materii prime, financiara si politica numita asta cum am precizat anterior, etapa energeticii de tranzitie, avind urmatoarele caracteristici:

- 1) instabilitate-generata de contradictia dintre cerere si oferta
- 2) inegalitate - tarile cu potential energetic cu rezerve importante de purtatori de energie primara vor cunoaste o dezvoltare economica rapida in dauna tarilor importatoare
- 3) incertitudine-solutiile energetice ce urmeaza a fi implementate sunt inca in faza testarilor, iar rezolvari sigure ale diverselor probleme energetice nu exista inca.

In momentul de fata se estimeaza ca aceasta perioada a energeticii de tranzitie se va incheia in jurul anilor 2100 - 2200 cind se va ajunge la etapa energeticii stabile prin realizarea unor surse de energie nelimitata.

In perioada energeticii de tranzitie se impune a fi rezolvate:

- supravetuirea sistemului energetic actual prin atragerea de noi zacaminte in circuitul energetic (extragerea petrolului din zacaminte marine)
- realizarea unor noi sisteme de conversie competitive din punct de vedere economic (energia termonucleara, energia solara)
- diversificarea si conservarea resurselor energetice primare si folosirea lor la un randament cit mai ridicat.

Problema de baza pentru urmatoarele cîteva decenii va rama in tranzitia de la dependenta acuta fata de hidrocarburi la cea fata de carbune si energia nucleara, intre timp pregatindu-se penetrarea reala, semnificativa, profesionala si necontestata a surselor noi si reinoibile de energie.

CAPITOLUL 3. ENERGIA SOLARA. ASPECTE GENERALE. LEGI FIZICE SPECIFICE DOMENIULUI

3.1 SCURT ISTORIC

Energia solară este cea mai abundenta, naturala, curata si disponibila forma de energie ce se poate adapta celor mai diferite servicii pe care le cerem de la energie, incadrindu-se in modul nostru de viata. Din momentul in care omenirea a realizat ca energia constituie componenta vitala a existentei sale in conditiile civilizatiei moderne, energia solară a devenit un subiect important in activitatea oamenilor de stiinta.

In multe locuri de pe planeta noastra, Soarele ofera o alternativa posibila in solutionarea crizei de energie, criza ce devine din ce in ce mai accentuata odata cu cresterea populatiei globului si ridicarea standardului de viata simulan cu epuizarea combustibililor fosili si nucleari de fisiune.

Primele utilizari ale energiei solare sunt legate de antichitate. In secolul al II-lea i.e.n., Arhimede din Syracusa, a incendiat flota romana utilizind oglinzi pentru a reflecta razele Soarelui, iar Heron din Alexandria in sec.I i.e.n.a construit un dispozitiv pentru pomparea apei care folosea ca sursa primara energia solara [1].

Cunoasterea empirica a fizicii radiatiei solare de catre vechile civilizatii din America, a facut posibila construirea unor obiecte remarcabile dintre care amintim "Castelul lui Montezuma" din jurul anului 700 e.n. Aceasta constructie, ridicata sub o stinca imensa orientata spre sud, era climatizata si vara si iarna. Zidul masiv o umbrea vara cind Soarele are o inaltime mare pe bolta, iar iarna, inmagazinind caldura, o incalzea prin radiatie [1].

; In anul 1615 Salomon din Caus a construit o pompa, forta motrica a acesteia fiind furnizata de aerul incalzit de Soare [2]. In anul 1777 Joseph Pristley, prin procesul de concentrare a radiatiei solare pe oxid de mercur descopera oxigenul. Antoine Lavoisier a construit un cuptor solar cu ajutorul unei lentile lichide reusind sa topeasca platina la 1775 °C, iar in 1872 in desertul Atacama din Chile a fost construit un distilator solar de 5000 m².

La inceputul secolului al XX-lea Shuman dezvoltă mașini solare de cîțiva cai putere pentru pomparea apei, iar în 1913, împreună cu Boys, instalează în apropiere de Cairo, o mașină de 50 cai putere cu cilindri parabolici concentrînd radiatia solară, mașina ce a fost folosită pentru pomparea apei din Nil în vederea irigației terenurilor. [2]

O prima încercare de stocaj de energie solară a fost realizată de Harrington în New Mexico în 1930. Radiatia a fost concentrată pe un receptor care a permis funcționarea unei mașini cu abur. Aceasta mașină a pompat apă într-un rezervor de 18 m^3 de 6 m înălțime de unde prin cădere a antrenat o turbină având cuplat un dinam ce alimenta instalatia de iluminat într-o mină.

In anii urmatori, în afara de o mașină cu abur prezentată de G. Abbot la Conferința Internațională de energie în anul 1936, nu existau alte mari realizări în domeniul energiei solare. Explicația este că aparatele construite pentru obținerea energiei solare nu au putut concura cu instalatiile în care energia era produsă din combustibili fosili [2].

O dezvoltare timidă a aplicatiilor energiei solare apare prin anii 1950. Se fac cercetări asupra stocării energiei. Astfel la M.I.T. și Universitatea Yale încep studii fundamentale asupra încalzirii caselor, asupra captatorilor plani. Cercetările se efectuează și în URSS sub direcția lui V.A. Baum și în India la New Delhi [2].

Din anii 1950 problema utilizării energiei solare a fost accentuată la toate simpozioanele și conferințele de energie: UNESCO '54 Tucson 1955, Phoenix (Arizona) 1956, Montlouis 1968, sub direcția lui Felix Trombe, Conferința Națiunilor Unite la Roma în '61, UNESCO '73 la Paris.

Criza de energie din 1973 lansează numeroase cercetări în energia solară, astfel ca studiile teoretice întreprinse, cit și realizările de pînă în prezent, au contribuit la apariția sistemelor energetice solare fiabile, de randament îmbunătătit, la preturi de cost rezonabile, capabile să concure economic cu anumite mașini existente utilizînd energii clasice.

3.2 SOARELE CA FURNIZOR DE ENERGIE

In evaluarea posibilitatilor de utilizare a energiei solare trebuie tinut cont de avantajele si dezavantajele acestoria.

Avantajele energiei solare o definesc ca:

împetuizabilă; nepoluanta; disponibilă prețuitindeni; gratuită

Dezavantajele energiei solare:

este dispersă, variabilă, depinde de ciclul: zi-noapte, anotimpurilor; de condițiile meteorologice locale, latitudine, altitudine

Aceste dezavantaje nu trebuie să fie un impediment în optiunea privind dezvoltarea energeticii solare deoarece implementarea oricărei tehnologii în fazele de început ridică o serie de obstacole de natură tehnico-economică. Astfel este semnificativ punctul de vedere al savantului Werner von Braun exprimat în mesajul adresat participantilor la congresul "Soarele în slujba omului" din anul 1973 [4] la Paris: "Sunt sigur că energia solară ne va veni în ajutor într-o mare măsură pentru nevoile viitoare de energie, industria solară este încă la primele căutări, cum a fost și industria pentru cucerirea spațiului cosmic, cind eu visam să lansez rachete pe Lună. Cred că suntem în zorii unei ere noi, pe care am putea-o numi era solară".

Soarele este o stea de marime mijlocie, situată într-unul din brațele galaxiei spirale, careia îi aparținem, numita Calea Lactee.

3.2.1 CARACTERISTICI FIZICO-GEOMETRICE (fig.3.1) [2]

- Distanța medie dintre Soare și Pămînt este de $1,5 \cdot 10^8$ km (parcursă în cca. 8 min. cu o viteză de 300.000 km/s)
- Distanța maximă (la 4 iulie, afeliu): $1,52 \cdot 10^8$ km
- Distanța minimă (la 2 ianuarie, periheliu): $1,47 \cdot 10^8$ km
- Raza Soarelui: $6,95 \cdot 10^5$ km
- Volumul Soarelui: $1,42 \cdot 10^{18}$ km³
- Densitatea medie a materiei din care este constituit Soarele: $1,4 \cdot 10^3$ kg/m³
- Perioada de rotație în jurul axei sale: cca. 25 zile
- Masa Soarelui: $2 \cdot 10^{30}$ kg

Energia furnizată de Soare depinde de felul activității Soarelui, iar energia receptionată depinde de altitudinea locului,

de latitudinea geografica, de nebulozitate, de umiditatea atmosferica, deci de un ansamblu de conditii geografice si meteorologice care fie ca nu pot fi schimbat, fie ca scapa controlului nostru.

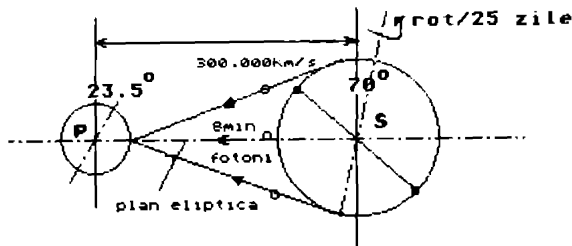


Fig.3.1 Caracteristici geometrice ale sistemului Soare-Pămînt

3.2.2 REACTII TERMONUCLEARE DE OBTINERE A ENERGIEI SOLARE

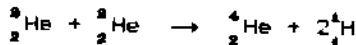
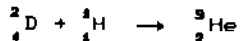
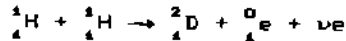
Reactiile termonucleare de obtinere a energiei solare au fost studiate si demonstreate de fizicienii Hans Bethe (1938) si Karl Weiszaker [8].

Hans Bethe (pentru explicarea procesului de producere a energiei solare obtine premiul Nobel) constata ca in procesele termo-nucleare din stele exista doua cicluri complexe.

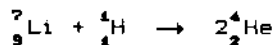
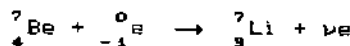
In primul ciclu, ciclul proton-proton, participa doar elementele usoare pina la bor, rolul primordial in procesul de transformare a hidrogenului in heliu avindu-l izotopii hidrogenului.

La inceput protonii prin ciocniri produc deuteroni care prin noi cicluri cu protonii, produc heliu-3.

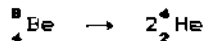
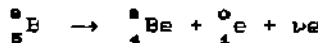
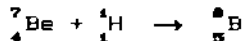
In procesele urmatoare unde mai participa heliu-4, beriliu-7, litiu-7, bor-8, se obtine heliu-4



energia eliberata fiind 26,21 MeV, sau



energia eliberata fiind 26,65 MeV, sau

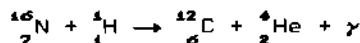
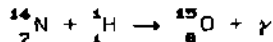
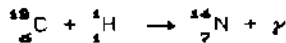
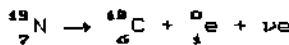
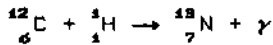


energia eliberata fiind 19,1 MeV.



este forma reactiei sintetice de obtinere a energiei din Soare prin fuziunea hidrogenului in heliu si cu degajarea de energie notata si simbolic prin (ΔE) .

Bethe a descris cel de-al doilea ciclu, ciclul carbon-azot prin seria de reactii:



energia eliberata fiind 25,03 MeV.

In acest ciclu, carbonul se regeneraaza pina la sfirsitul reactiei de fuziune, jucind rolul de catalizator.

In urma reactiilor termonucleare de transformare a hidrogenului in heliu care au loc in Soare la o temperatura de cca $2 \cdot 10^6$ °C in mod continuu in spatiul cosmic se degaja un flux de energie radianta suficienta pentru mantinerea unei temperaturi ridicate. Masa Soarelui fiind $2 \cdot 10^{30}$ kg, continutul cca. 30 % hidrogen, fie $0,6 \cdot 10^{28}$ molecule [2]. In cazul in care hidrogenul solar este transformat integral in heliu se obtine o productie de energie:

$$\frac{1}{4} \times 2,5 \cdot 10^{12} \times 6 \cdot 10^{22} = 3,75 \cdot 10^{44} \text{ J}$$

Pământul recepționează o putere de $1,35 \text{ kW/m}^2$, distanța medie fata de Soare fiind $1,5 \cdot 10^{11}$ m. Soarele radiază:

$$4\pi(1,5 \cdot 10^{11})^2 \times 1350 \approx 8 \cdot 10^{26} \text{ J/s}$$

In aceste conditii Soarele poate furniza energie

$$\frac{3,75 \cdot 10^{44}}{8 \cdot 10^{26}} = 9,07 \cdot 10^{17} \text{ s} = 1,13 \cdot 10^{10} \text{ ani},$$

ceea ce inseamna aproximativ 30 miliarde ani.

Se considera ca activitatea Soarelui se poate mentine la nivelul actual inca 5 miliarde ani, perioada in care masa solară alcătuită din hidrogen în proporție de cca. 30 % se va transforma în heliu. Dupa epuizarea principalelor resurse conform evoluției generale a stelelor se va produce o contractie gravifica, prin care hidrogenul din partile marginale va fi stras în centrul stelei, unde temperatura va creste, iar fuziunea hidrogenului în heliu va continua. In aceste conditii regiunile marginale se dilata, steaua devine mai rece spre exterior, transfomându-se într-un "gigant rosu". In stadiul urmator echilibrul devine delicat, se poate produce o explozie a stelei ce duce la apariția de supernove [1].

Cantitatea de energie care vine de la Soare și cade în unitatea de timp pe o suprafață unită dispusă perpendicular pe razele solare la distanța de o unitate astronomica ($1,4945 \cdot 10^8$ km) de la centrul Soarelui se numește constantă solară.

Pînă recent determinarea valorii constantei solare se facea prin extrapolarea rezultatelor masurărilor efectuate la nivelul solului (pe munti înalți) luind în considerare transmisivitatea atmosferei. Prin astfel de determinări C.G.Abbot a stabilit valoarea constantei solare $E_0 = 1322 \text{ W/m}^2$. Ulterior aceste rezultate au fost completate cu masurări efectuate din rachete și în anul 1954, Johnson a propus valoarea $E_0 = 1395 \text{ W/m}^2$. Ca urmare a cercetărilor întreprinse cu ajutorul avioanelor de mare altitudine, a fost realizată masurarea directă a intensității radiatiei solare în afara atmosferei terestre, astfel a fost propusă o nouă valoare standard pentru constanta solară $E_0 = 1353 \text{ W/m}^2$ de către Thekaekara și Drummond [4].

3.3 FENOMENE FIZICE DE BAZA PRIVIND ENERGIA FURNIZATA DE SOARE

Fenomenele electrostatice și magnetostatice studiate în sec. XVIII-XIX au fost încadrate în modelul mecanicilor newtoniene.

Faraday constata că fenomenele electromagnetice nu pot fi încadrate în sistemul newtonian introducind noțiunea de cimp ca stare specială a materiei caracterizată prin linii de forță care permit transmiterea acțiunilor din aproape în aproape. Astfel au fost puse bazele teoriei clasice fenomenologice macroscopice a electricității și magnetismului numite teoria lui Maxwell (respectiv teoria lui Maxwell și Hertz cînd se aplică corpurilor mobile). Maxwell stabilește interdependența fenomenelor electrice și magnetice cînd cimpul electric variază în timp și spațiu cu viteză finită, considerind cimpul ca noțiune primară.

Tinînd seama de structura atomică discontinua a corpurilor, Lorentz elaborează teoria microscopică a fenomenelor electromagnetice. Cimpul este considerat ca purtator de energie, impuls și moment cinetic existind și în vid.

În studiul fenomenelor electromagnetice succesiv au fost introduse teoria relativității și mecanica cuantică.

Prezentăm în continuare, succint, fenomenele fizice de bază implicate în captarea, stocarea și utilizarea energiei solare.

3.3.1 ECUATIILE MAXWELL ALE CIMPULUI ELECTROMAGNETIC

Cimpul electromagnetic ca forma de existenta a materiei consta din cimpul electric si cimpul magnetic care se conditioneaza reciproc.

In cazul sarcinilor electrice in repaus, intensitatea cimpului electric \vec{E} , intr-un mediu omogen si izotrop, este data de distributia acestor sarcini electrice prin relatia [22]:

$$\operatorname{div} \vec{E} = -\frac{\rho}{\epsilon_0 \epsilon_r} \quad (3.1)$$

iar sarcina electrica

$$q = \iiint_V \rho dV = \epsilon_0 \epsilon_r \iiint_V \operatorname{div} \vec{E} dV = \epsilon_0 \epsilon_r \iint_S \vec{E} dS \quad (3.2)$$

Daca sarcinile electrice se afla in miscare apare un curent electric, iar conservarea sarcinii electrice conduce la ecuatia de continuitate

$$\operatorname{div} \vec{j} = -\frac{\partial \rho}{\partial t} \quad (3.3)$$

Un curent stationar de densitate \vec{j} genereaza un cimp magnetic
 $\operatorname{rot} \vec{A} = \vec{j}$ (3.4)

Ecuatia de continuitate poate fi scrisa sub forma

$$\operatorname{div} \operatorname{rot} \vec{A} = -\frac{\partial \rho}{\partial t} \quad (3.5)$$

Aceasta relatia nu este valabila daca $\rho = \rho(r,t)$, adica daca:

$$-\frac{\partial \rho}{\partial t} \neq 0 \quad (3.6)$$

deoarece divergenta unui rotor este totdeauna zero. Deci relatia (3.4) nu poate fi valabila in cazul in care densitatea volumica de sarcina electrica depinde de timp, fiind incompleta.

Din legea inductiei electromagnetice se stie ca variația inductiei cimpului magnetic \vec{B} este legată de apariția unui cimp electric a cărei intensitate se determină din relația:

$$\text{rot } \vec{E} = - \frac{\partial \vec{B}}{\partial t} \quad (3.7)$$

Dacă se respectă simetria vectorilor \vec{E} și \vec{B} și în cazul vectorilor \vec{D} și \vec{H} , ar trebui să avem o relație de forma:

$$\text{rot } \vec{H} = - \frac{\partial \vec{D}}{\partial t} \quad (3.8)$$

Maxwell a considerat că acesta este termenul care lipsea în relația anterioară, deci trebuie să scriem:

$$\text{rot } \vec{H} = \vec{j} + \frac{\partial \vec{D}}{\partial t} \quad (3.9)$$

Dacă luăm divergența în relația (3.9) obținem:

$$\text{div}(\text{rot } \vec{H}) = \text{div } \vec{j} + \text{div} - \frac{\partial \vec{D}}{\partial t} = 0 \quad (3.10)$$

sau

$$\text{div } \vec{j} + \frac{\partial}{\partial t} \text{div } \vec{D} = 0 \quad (3.11)$$

dar

$$\text{div } \vec{D} = \rho$$

Astfel obținem ecuația de continuitate

$$\text{div } \vec{j} + \frac{\partial \rho}{\partial t} = 0 \quad (3.12)$$

Termenul $\partial \rho / \partial t$ introdus este numit de către Maxwell densitatea curentului de deplasare

$$\vec{j}_d = - \frac{\partial \vec{D}}{\partial t} \quad (3.13)$$

și

$$\text{rot } \vec{H} = \vec{j} + \vec{j}_d \quad (3.14)$$

Deci, nouul termen introdus de Maxwell, densitatea curentului de deplasare este necesar pentru ca expresia care leagă cimpul magnetic de curentul electric să fie compatibilă cu ecuația de continuitate și în cazul în care curentii de conductie variază în timp.

Legile experimentale ale cimpului electromagnetic, completeate cu cele mentionate anterior formeaza sistemul de ecuatii Maxwell:

$$(I) \quad \text{rot } \vec{A} = \vec{j} + \frac{\partial \vec{B}}{\partial t}$$

$$(II) \quad \text{rot } \vec{E} = - \frac{\partial \vec{B}}{\partial t} \quad (3.15)$$

$$(III) \quad \text{div } \vec{B} = 0$$

$$(IV) \quad \text{div } \vec{D} = \rho$$

Aceste ecuatii trebuie completeate cu ecuatiiile de material, care in cazul unui mediu ideal liniar omogen si izotrop au forma:

$$\vec{D} = \epsilon_0 \epsilon_r \vec{E}; \quad \vec{B} = \mu_0 \mu_r \vec{H}; \quad \vec{j} = \gamma \vec{E} \quad (3.16)$$

Ecuatiile (3.15) si (3.16) sunt valabile in urmatoarele conditii:

- a) corporurile materiale aflate in cimpul electromagnetic se afla in repaus
- b) marimile ϵ_r , μ_r si γ care caracterizeaza proprietatile de material ale mediului nu depind de timp si nici de intensitatea cimpurilor
- c) in cimpurile studiate nu se afla magneti permanenti si substante feromagnetice.

3.3.2 ASPECTE CUANTICE

Teoria electromagneticica a lumинii, dezvoltata pe baza ecuatiilor lui Maxwell a permis intelegerea si explicarea fenomenelor de difractie, interferenta si polarizarea lumинii, dar pentru intelegerea unor fenomene de interactiune a undelor electromagneticice cu unele microparticule a fost necesar sa se admita ipoteza ca undele electromagneticice reprezinta un flux de fotoni cu energia [7]:

$$E = h\nu = \hbar\omega \quad (3.17)$$

Einstein afirma ca in afara energiei ϵ , fotonului trebuie sa i se atribuie si un impuls \vec{p} care se obtine din relatia relativistica

$$\epsilon = c \sqrt{p^2 + m_0^2 c^2} \quad (3.18)$$

Fotonul neavind masa de repaus ($m_0 = 0$) se obtine

$$p = \frac{\epsilon}{c} = \frac{h\nu}{c} = \frac{h\omega}{c} = \frac{h}{\lambda} \quad (3.19)$$

sau vectorial

$$\vec{p} = h\vec{k}$$

unde k este modulul vectorului de unda \vec{k} .

Pentru descrierea interacțiunilor dintre radiatii electromagnetice și microsisteme, în cadrul cărora sunt generate sau absorbate cuante electromagnetice de energie $\epsilon = h\nu$ și impuls $p = h\vec{k}$, pot fi utilizate modele ale radiatiilor electromagnetice ca fiind constituite din particule (fotoni) cu energia $h\nu$ și impulsul $h\vec{k}$. Schimbul de energie și de impuls dintre microsisteme și undele electromagnetice se face prin generarea unor fotoni și absorbtia altor fotoni caracterizati de energie $\epsilon = h\nu$ și impulsul $h\vec{k}$.

Caracteristicile corpusculare ale fotonului cu energia ϵ și impulsul \vec{p} se exprima prin pulsatia ω și vectorul de unda \vec{k} , specifice unor fenomene ondulatorii.

Legea lui Planck stabileste dependenta dintre intensitatea radiatiei emisa de un corp, temperatura acestuia și lungimea de unda pe care are loc emisiunea [33].

Se considera ca cele (n) oscilatoare care alcătuiesc suprafața de radiatie se gasesc in volumul ΔV mentinut la temperatura T , constanta. Se mai considera ca oscilatoarele emit radiatii in banda elementara $\nu + (\nu + \Delta\nu)$.

Energia totala a celor (n) oscilatoare poate fi exprimata prin seria:

$$E = n_0 \cdot 0 + n_1 \cdot \epsilon + n_2 \cdot 2\epsilon + \dots + n_n \cdot n\epsilon + \dots \quad (3.20)$$

in care n_0 este numarul oscilatoarelor lipsite de energie, iar n_1, n_2, \dots, n_n ... numarul oscilatoarelor de nivele energetice $\epsilon, 2\epsilon, \dots$

Planck a stabilit ca nivelele energetice ale oscilatoarelor sunt multiplu de ϵ .

In privinta numarului oscilatoarelor ce ocupă diverse nivele energetice, $n_1, n_2, \dots, n_n, \dots$ acestea se pot exprima în funcție de numărul oscilatoarelor care sunt în starea fundamentală (n_0) cu ajutorul relației:

$$n_i = e^{-\epsilon_i/kT} \quad (3.21)$$

dedusa în mecanica cuantică.

Dacă se notează:

$$e^{-\epsilon/kT} = x \quad (3.22)$$

relația (3.20) devine:

$$E = n_0 \epsilon (0 + x + 2x^2 + 3x^3 + \dots) \quad (3.23)$$

Pe de altă parte numărul total al oscilatoarelor este

$$N = n_0 + n_1 + n_2 + \dots + n_i = n_0 (1 + x + x^2 + \dots) \quad (3.24)$$

Energia medie a oscillatorului se obține împărțind (3.24) cu (3.23)

$$\bar{\epsilon} = \frac{E}{N} = \frac{(0 + x + 2x^2 + \dots)}{1 + x + x^2 + \dots} \text{ sau } \bar{\epsilon} = \frac{\epsilon}{e^x - 1} = \frac{\epsilon}{e^{\epsilon/kT} - 1} \quad (3.25)$$

Experimental s-a constatat că intensitatea de radiatie I_λ a energiei de radiatie cuprinsă în domeniul λ și $\lambda + \Delta\lambda$ este proporțională cu energia medie de radiatie a oscilatoarelor și este invers proporțională cu lungimea de undă la puterea a patra.

$$I_\lambda = c \cdot \frac{\bar{\epsilon}}{\lambda^4} \quad (3.26)$$

unde (c) este viteza luminii în vid.

Dar

$$\epsilon = h\nu = \frac{h\epsilon}{\lambda}$$

Rezulta:

$$I_\lambda = \frac{hc^2 \lambda^{-5}}{e^{hc/\lambda kT} - 1} \quad (3.27)$$

Cu notatiile

$$\frac{hc}{k} = c_1 = 3,74 \cdot 10^{-16} \quad [W \cdot m^2]$$

$$\frac{hc}{\lambda} = c_2 = 1,438 \cdot 10^{-2} \quad [m \cdot K]$$

relatia (3.27) devine

$$I_\lambda = \frac{c_1 \lambda^{-5}}{e^{c_2/\lambda T} - 1} \quad [W/m^2] \quad (3.28)$$

Potrivit reprezentarii relatiei (3.28) ce exprima legea lui Planck in diagrama din fig.3.2 pentru o anumita temperatura intensitatea radiatiei creste la inceput cu λ , atinge o valoare maxima dupa care incepe sa scada. Prin cresterea temperaturii, la aceeasi lungime de unda se marea intensitatea radiatiei.

Legea lui Wien exprima legatura dintre lungimea de unda pentru care se inregistreaza valoarea maxima a intensitatii de radiatie I_λ si temperatura la care are loc emisia:

$$\lambda_m T = 2,896 \quad mm \cdot K \quad (3.29)$$

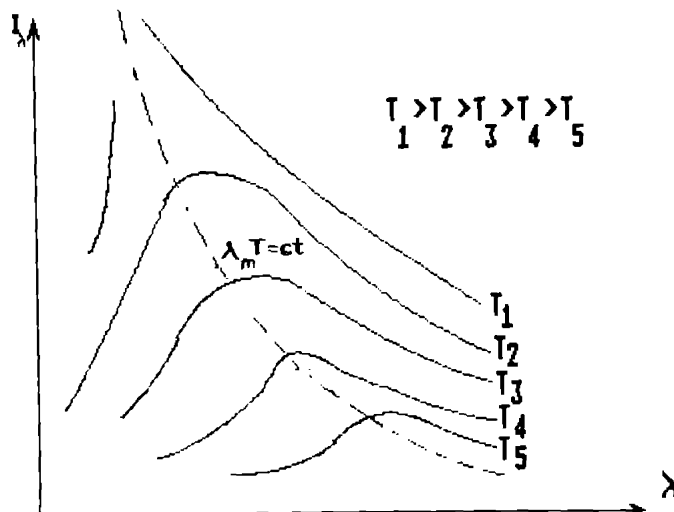


Fig.3.2 Ilustrarea legilor lui Planck si Wien

Alura acestei dependente este reprezentata in fig.3.2 cu linie intrerupta.

Legea Stefan-Boltzmann exprima valoarea energiei radiante emisa de un corp negru avind temperatura T:

$$E_N = \sigma_N T^4 = 5,68 \cdot 10^{-8} \cdot T^4 \quad [W/m^2] \quad (3.30)$$

Legea lui Kirchhoff stabileste legatura dintre factorul energetic de emisie si factorul energetic de absorbtie pentru un corp cenusiu

$$q_{1,2} = c_{1,2} \left[\frac{T_1}{100} \right]^4 - \left[\frac{T_2}{100} \right]^4 \quad [W/m^2] \quad (3.31)$$

si se poate utiliza pentru calculul schimbului de energie prin radiație intre două suprafete plan paralele de temperaturi T_1 și T_2 .

Coefficientul $c_{1,2}$ se numeste "coefficient mutual de radiație" și are dimensiunea $W/m^2 \cdot K^4$.

Legea lui Lambert determină energia totală radiantă, emisă de o suprafață în toate direcțiile spațiului

$$d(E_1)\phi = d(E_1)_N \cdot 2\pi \frac{1}{2} = \pi d(E_1)_N \quad (3.32)$$

Legile radiației au fost studiate cu ajutorul unui corp negru artificial datorită faptului că în natură nu există un corp absolut negru. Ideea realizării corpului negru artificial se bazează pe legile lui Kirchhoff și constă în următoarele:

- în peretii unei incinte menținută la temperatură constantă T se face o deschidere mică D , (fig.3.3) care se comportă ca un element de suprafață a unui corp negru decarează radiația ce intra în incintă este multiplu reflectată de pereti și rămîne în interiorul ei.

Pentru studiul radiației atât la temperaturi joase cât și la temperaturi ridicate au fost realizate diferite modele de corp negru. Pe fig. 3.4 sunt reprezentate curbele obținute pentru asemenea măsuratori [23].

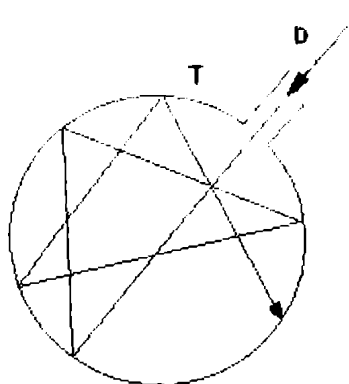


Fig.3.3 Schema corpului negru artificial

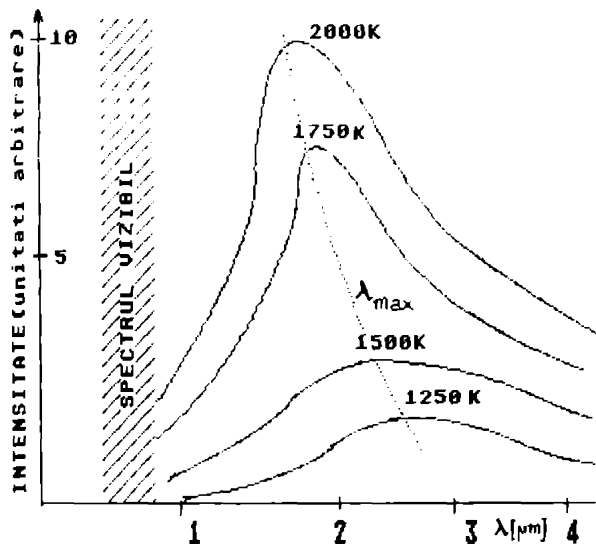


Fig.3.4 Distributia spectrala a energiei radiatiei emise de un corp solid incalzit la diferite temperaturi

Se poate observa ca la temperaturi joase (in jur de 1000 K) solidul incalzit incepe sa emita si in vizibil, dar maximul distributiei spectrale se afla departe, in infraroșu. Cu creșterea temperaturii amplitudinea curbei creste iar maximul se deplaseaza spre lungimile de unda mici, conform legii lui Wien. In cazul surselor obisnuite de lumina maximul curbei se afla deasupra regiunii spectrului vizibil.

In cazul Soarelui, maximul curbei se situeaza in mijlocul vizibilului, iar pentru stelele albe foarte calde maximul este in ultraviolet.

In fizica cuantica radiatia este considerata ca fiind un flux de particule numite fotoni care se propaga cu viteza luminii purtind energia $h\nu$ (in care $h = 6,6356 \cdot 10^{-34}$ J - constanta lui Planck; ν - frecventa radiatiei. Din intreg spectru de radiatii posibile, pentru cele mai multe aplicatii energetice solare, intereseaza in special radiatia termica.

3.3.3 RADIATIA TERMICA

Radiatia termica este o radiatie de natura electromagneticica obtinuta pe seama miscarii de agitatie termica a particulelor corporilor aflate la o temperatura T mai mare de 0 K. Radiatia termica emisa de un corp aflat la temperatura T este distribuita pe un domeniu de lungimi de unda $\Delta\lambda = 0,2 + 1000 \mu\text{m}$.

Spectrul radiatiei electromagnetice este impartit in zone diferite in dependenta de lungimea de unda, asa cum se prezinta in fig.3.5. Intre lungimea de unda λ si frecventa ν exista corelatia:

$$c = \frac{c_0}{n} = \lambda\nu \quad (3.33)$$

unde:

c – viteza luminii

c_0 – viteza luminii in vid

n – indicele de refractie al mediului prin care se propaga

Radiatia care intereseaza in aplicatiile energetice solare se plaseaza in ultraviolet si infrarorosu apropiat, adica intre lungimile de unda $(0,2+5) \mu\text{m}$. Energia solară din afara atmosferei contine cea mai mare parte din energia sa in domeniul lungimilor de unda $(0,2+4) \mu\text{m}$, in timp ca energia solară primita la sol este plasata in domeniul $(0,29+3) \mu\text{m}$ (fig.3.5) [1].

Partea principala a spectrului radiatiei este constituita de o gama de radiatii λ cuprinse intre $\lambda \in (0,1+24) \mu\text{m}$ reprezentind emisia fotosferei inferioare. Acest spectru este in vecinatatea spectrului unui corp negru la 5800 K ; radiatii suplimentare sunt emise de cromosfera sau coroana [23]:

- 1) radiatii ultraviolete
- 2) radiatii X ($0,001 \mu\text{m} + 0,01 \mu\text{m}$) si unde radio electrice scurte ($10 \text{ cm} < \lambda < 100 \text{ cm}$) provenind din partea foarte calda a coroanei solare, de intensitate variabila in timp.

Energia radiatiilor suplimentare reprezinta doar o fractiune inferioara de 10^{-5} din spectrul radiatiei solare, astfel ca putem preciza ca spectrul radiatiei solare este cuprins intre $0,1+5 \mu\text{m}$, corespunzator cu spectrul corpului negru la 5800 K pentru $\lambda > 1,2 \mu\text{m}$.

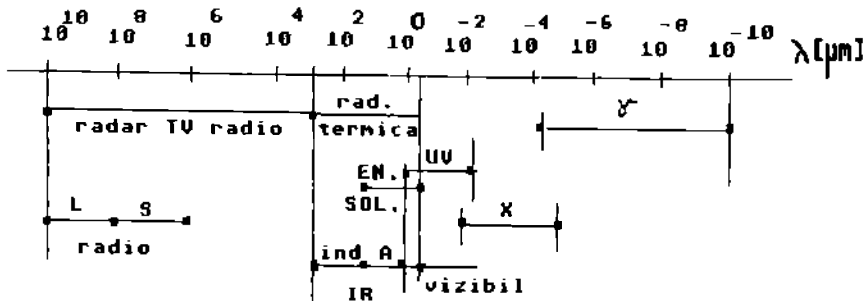


Fig.3.5 Spectrul radiatiei electromagnetice

TABELUL 3.1: REPARTITIA PROCENTUALA A ENERGIEI RADIATIEI PE REGIUNI SPECTRALE IN CAZUL CONSTANTEI SOLARE SI A CORPULUI NEGRU

Energia radiatiei	Repartitia pe regiuni spectrale [%]		
	UV ($0,29 \div 0,40 \mu\text{m}$)	vizibil ($0,40 \div 0,76 \mu\text{m}$)	IR ($0,76 \div 24 \mu\text{m}$)
constanta solară $I_0 = 1353 \text{ W m}^{-2}$	9,2	42,4	48,4
corp negru $I' = 1590 \text{ W m}^{-2}$	14,03	42,53	43,44

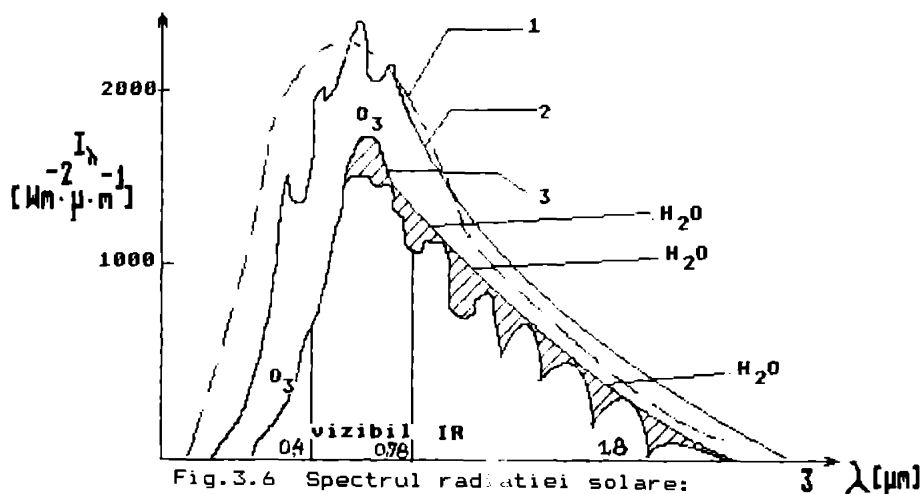
Ecartul provine datorita faptului ca o mare parte din ultra-violet emisa de suprafata Soarelui este reabsorbita de atmosfera astrului.

Figura 3.6 prezinta cele doua spectre ale radiatiei solare. In energetica solara este foarte utila cunoasterea distributiei radiatiei solare pe diferite lungimi de unda.

Intre curba de distributie a energiei radiatiei solare in spectrul electromagnetic si constanta solara I_0 exista o legatura strinsa:

$$I_0 = \int I_\lambda d\lambda \quad (3.34)$$

I_λ - intensitatea de radiatie corespunzatoare lungimii de unda λ ($\text{W/cm}^2 \cdot \mu\text{m}$ sau $\text{W/m}^2 \cdot \mu\text{m}$).



1.- corp negru la 5800 K ; 2.- curba energiei radiante la limita atmosferei ; 3. - curba energiei la intrarea in atmosfera. Zonele hasurate reprezinta benzile de absorbtie (dupa Handbook of Geophysics)

TABE JL 3.2

culoarea	$\lambda [\text{\AA}]$
infraroșu	> 700
rosu	6200 - 300
portocaliu	5950 - 200
galben	5650 - 250
verde	4900 - 1650
albastru	4400 - 4900
violet	3900 - 4400
ultraviolet	< 3900

In tabelul nr 3.2 este data corespondenta dintre lungimea de unda si denumirea culorii corespunzatoare radiatiei monocromatice respective. Se constata ca acest spectru (fig.3.6) prezinta un maxim foarte pronuntat corespunzator lungimii de unda de 4700 Å adica in domeniul razelor albastre. Inlocuind aceasta valoare in legea lui Wien:

$$\lambda_m T = 2,896 \text{ [mm} \cdot \text{K]} \quad (3.35)$$

obtinem $T = 6150 \text{ K}$ care este temperatura medie pe suprafata Soarelui, determinata pe baza legii deplasarii a lui Wien [23].

De la acest maximum intensitatea de radiatie scade brusc spre violet si lin spre rosu. O concluzie foarte importanta referitoare la radiatia emisa de Soare este:

- Soarele emite un spectru continuu in care sunt prezente radiatii de toate lungimile de unda, radiatiile de diferite lungimi de unda transportind in intervale de timp egale energii diferite.

In fig.3.7 este reprezentata variatia energiei fotonului cu lungimea de unda.

Ochiul omnesc prezinta o sensibilitate maxima pentru lungimea de unda $\lambda_1 = 5550 \text{ \AA}$.

Un corp absolut negru emite radiatii electromagnetice de intensitate maxima pentru lungimea de unda egală cu λ_1 , daca temperatura acestuia este $T = 5200 \text{ K}$.

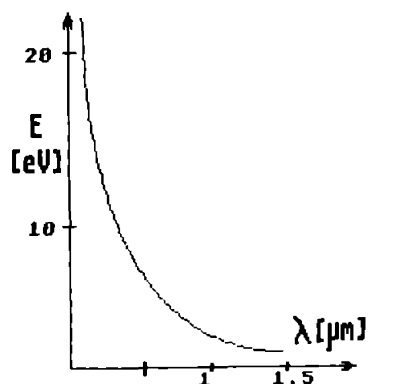


Fig.3.7 Variatia energiei fotonului cu lungimea de unda

Sensibilitatea maxima a ochiului pentru lumina cu lungimea de unda λ_1 nu este intimplatoare deoarece spectrul radiatiei solare, dupa trecerea prin atmosfera prezinta maximum chiar la aceasta lungime de unda. Lumina emisa de un corp absolut negru, de temperatura $T=5200 \text{ K}$ se considera "lumina alba" [22].

3.4 COMPOZITIA ATMOSFEREI

Atmosfera este constituita din troposfera considerata de la sol pina la 10+15 km altitudine, unde temperatura scade cu $6,5^{\circ}\text{C}$ pe kilometru, pentru a atinge -50°C pina la -90°C la baza zonei imediat superioare care se numeste stratosfera. Zona superioara stratosferii se numeste ionosfera [2].

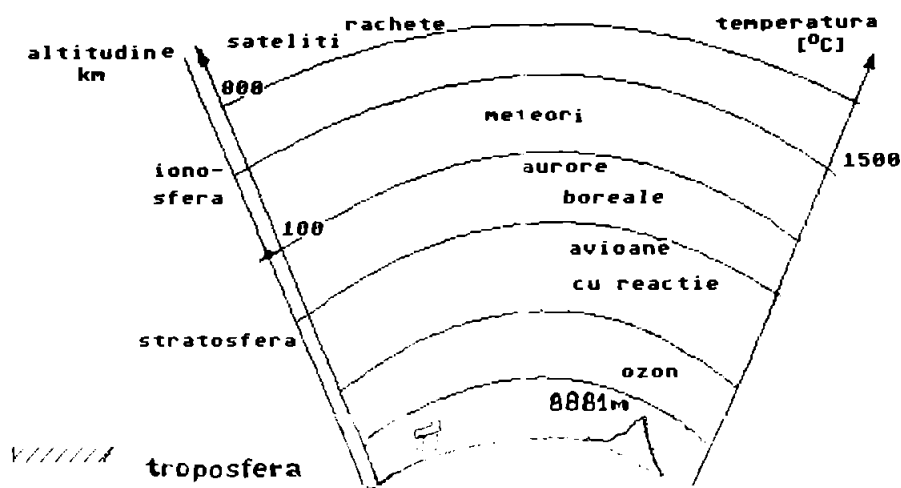


Fig.3.8 Secțiune prin atmosferă

Pînă la 80 km compozitia gazoasa ramine neschimbata: 78 % N_2 , 21 % O_2 , 0,9 % Ar , 0,03 % CO_2 cit și urme de alte gaze: ozonul O_3 se gaseste la 10 km și vaporii de apă aproape de sol.

Jumătate din masa gazoasa este cuprinsă între 0 + 5 km altitudine, unde și presiunea este pe jumătatea presiunii de la suprafața marii, iar 9/10 din atmosferă este situată sub nivelul de 15 km (100 mbar). În componența masei gazoase mai intră aerosoli, nori, particule de praf, cristale de gheță. La altitudini foarte

mari se gasesc atomi de heliu si hidrogen.

Vaporii de apa sunt concentrati in vecinatatea solului. Stratul 0 + 5000 m contine 95 % din cantitatea totala a vaporilor din atmosfera, iar stratul 0 + 2000 m contine 50 %. La altitudinea de peste 20 km cantitatea vaporilor este extrem de redusa, admittind ca mai exista nori, disparind total la altitudinea de peste 70 km.

3.5 INTERACTIA RADIATIILOR SOLARE CU ATMOSFERA TERESTRA

Razele X si ultravioletele ($\lambda < 0,18 \mu\text{m}$) sunt absorbite integral deasupra nivelului de 60 km.

Razele ultraviolete ($0,18 < \lambda < 0,29 \mu\text{m}$) sunt absorbite integral de O_2 sau O_3 , iar razele ultraviolete din domeniul apropiat par-tial intre 10 + 50 km.

Absorbția scade cu creșterea lungimii de undă: domeniul vizibil este absorbit doar parțial ($0,4 < \lambda < 0,78 \mu\text{m}$), atenuarea rezultind din difuzie. Domeniul infraroșu este absorbit de bioxidul de carbon, apa și ozonul din troposferă [2].

Citam principalele benzi de absorbtie ale elementelor constituante ale atmosferei:

- O_3 prezinta benzi puternice intre ($0,2+0,3$) μm si slabe intre ($0,45 + 0,7$) μm si in infraroșu intre ($10 + 14$) μm
- O_2 prezinta benzi inguste intre ($0,69 + 0,76$) μm
- CO_2 prezinta benzi inguste intre ($1,6 + 2$) μm si puternice, bine marcate intre ($2,25 + 4,15$) μm
- vaporii de apa prezinta benzi multiple si complexe:
 - banda A: $0,72 \mu\text{m}$
 - banda O,B: $0,82 \mu\text{m}$
 - benzile ρ , σ , τ : $0,92 \mu\text{m}$
 - ϕ : 1,1
 - ψ : 1,4
 - Ω : 1,9
 - X : $2,4 + 2,9$ puternica
 - $3 + 4 \mu\text{m}$ puternica
 - $6 \mu\text{m}$ puternica

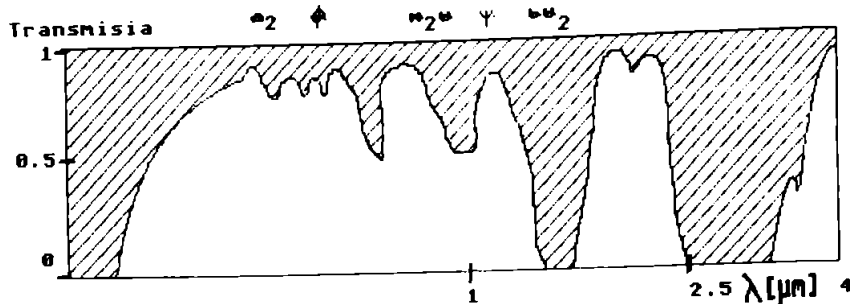


Fig.3.9 Banda de absorbtie a atmosferei la nivelul solului; $W = 2 \text{ cm}$; $W = \text{masa de apa condensabila}$

Absorbtia este cvasitotala de la $25 \mu\text{m}$. Pozitia si latimea benzii de absorbtie este influentata de temperatura si presiune.

Absorbtia selectiva pentru gaze ramine slaba si constanta intre $(0,3 + 0,7) \mu\text{m}$ (O_3 si O_2) dar devine importanta si variabila pentru lungimi de unda cuprinse intre $(0,7 + 4) \mu\text{m}$ sub influenta vaporilor de apa. La sol radiatia inferioara lungimii de unda $0,3 \mu\text{m}$ este neglijabila. Radiatia absorbita selectiv de atmosfera serveste la cresterea temperaturii acesteia.

Daca radiatia traverseaza un mediu cu un indice de refractie spre alt mediu cu indice de refractie diferit, se produce o deviere a radiatiei luminoase (refractie). Daca variatia indicelui este brusca pe un domeniu ingust, comparativ cu lungimea de unda a radiatiei, o anumita cantitate de radiatie incidenta este retransmisa spre cel dintii mediu intr-o directie privilegiata: spunem ca avem un fenomen de reflexie, cind radiatia traverseaza goluri sau loveste obstacole de dimensiunile ordinului de marime al lungimii de unda, aceasta este deviata in mai multe directii privilegiate, reprezentind insasi fenomenul de difractie.

In final, daca fasciculul incident este reflectat in toate directiile prin irregularitatatile de suprafata repartizate la voia intimplarii, dimensiunile fiind de ordinul de marime al lungimii de unda, sau inferioare, in acest caz avem fenomenul de difuzie.

Fenomenul de difuzie este cauza principala a lumenozitatii

diurne si nu este eficace decit sub altitudinea de 50 km.

Daca dimensiunile particulelor difuze sunt net inferioare lungimii de unda, obtinem rezultatele urmatoare deduse de Rayleigh:

1) intensitatea difusa este invers proportionala cu lungimea de unda λ^4 .

2) coeficientul de extincție este $k = -\frac{32\pi^2}{3N} (n-1)^2 \frac{1}{\lambda^4}$ unde N este numarul de molecule in unitatea de volum, (n) indicele de refractie al gazului [1].

In cazul in care Soarele este la zenit, intensitatea radiatiilor incidente poate fi redusa prin difuzie cu 50 % in ultraviolet, 30 % in violet, 5 % in rosu si cu o cantitate neglijabila in infraroșu de la 1 μm . Reducerea este cu atit mai importanta cu cit inalțarea Soarelui pe bolta este mai mica, putind deveni considerabila in vizibil si mai ales in ultraviolet.

Astfel se explică:

a) culoarea albastra a cerului; aceasta este nuanta luminii difuzate prin aer spre sol, mult mai bogata in radiatii de lungime de unda scurta (albastru, violet) decit lumina transmisă direct; ochiul fiind mult mai sensibil la albastru decit la violet, practic nu vede decit prima (cea dintii) culoare.

b) culoarea rosie a Soarelui atunci cind acesta este aproape de orizont; radiatiile de lungime de unda sunt absorbite treptat si in masura in care densitatea atmosferei traversate creste. La apusul Soarelui nu ramane decit culoarea galbena si rosie.

c) difuzia contribuie la atenuarea cantitatii minime de radiație ultravioleta ramasa in urma traversarii atmosferei pîna la suprafata solului..

Fenomenele de absorbtie si difuzie sunt cauza fenomenului de atenuare a intensitatii radiatiei ce are loc la interactia undelor electromagnetice cu atmosfera. Cu relatiile din fig. 3.10 putem exprima atenuarea intensitatii radiatiei cu lungimea de unda λ prin [1].

$$dI_\lambda = k_\lambda \rho I_\lambda dS \quad (3.36)$$

unde: k_λ - constanta ce depinde de lungimea de unda

ρ - densitatea atmosferei considerata deobicei constanta

Integratorind relatia (3.36) avem in final forma exponentiala:

$$I_\lambda = I_{0\lambda} e^{-\int_0^S k_\lambda \rho ds} \quad (3.37)$$

Distanța străbatută de radiația solară prin atmosferă depinde de unghiul zenital Z .

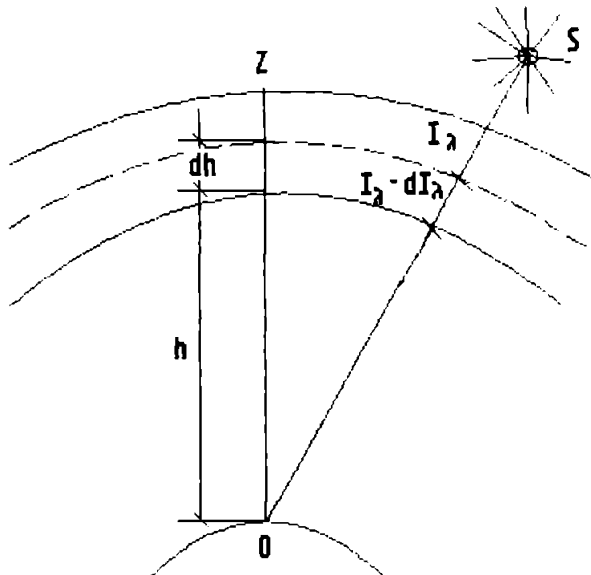


Fig.3.10
Calculul distantei
străbatute de radia-
tia solară

In meteorologie se introduce un coeficient (m) definit prin:

$$m = \frac{\int_0^S \rho ds}{\int_0^h \rho dh} \quad (3.38)$$

Coefficientul m este numit masa atmosferica (desi nu are dimensiuni de masa) si arata cu cat se lungeste drumul străbatut de radiatie datorita diferitelor pozitii ale Soarelui pe bolta fata de situatia cind se afla la zenith [1]. Cu aceasta se poate scrie:

$$I_\lambda = I_{0\lambda} e^{-k_\lambda \int_0^h \rho dh} \quad (3.39)$$

Expresia:

$$a_\lambda = K_\lambda \int_0^h \rho \, dh \quad (3.40)$$

se numeste coeficient de extincție monocromatică și avem:

$$I_\lambda = I_{0\lambda} e^{-a_\lambda h} \quad (3.41)$$

Se notează cu: $e^{-a_\lambda h} = b_\lambda$, b_λ fiind numit coeficient de transmisie monocromatică, iar intensitatea la suprafața solului pentru lungimea de undă λ se va scrie:

$$I_\lambda = I_{0\lambda} \cdot b_\lambda \quad (3.42)$$

Curbura Pamintului fiind destul de redusă, pentru unghiuri zenitale $Z \leq 60^\circ$ putem înlocui arcul cu coarda și avem:

$$dh = ds \cos Z \quad (3.43)$$

3.6 BILANTUL ENERGETIC AL SISTEMULUI PAMINT-ATMOSFERA

Parcurgerea atmosferei de către radiatia solară are drept efect nu numai atenuarea ei ci și modificări importante în compozitia sa spectrală. Intensitatea radiatiei solare ce ajunge la sol este maxima în miezul zilei și vara scăzind datorita distantei parcuse prin atmosferă dimineață și după amiază și deasemenea în celelalte anotimpuri cind înaltimea Soarelui pe cerul este mai scăzută.

Din radiatia globală I_g care atinge solul ca urmare a unor interacții ce se produc, o parte este reflectată iar alta absorbită.

Se numește albedo capacitatea solului de a reflecta radiatii- le electromagnetice provenite de la Soare și este definit prin:

$$A = I_R/I_g = I_R/(I_D + I_d) \quad (3.44)$$

unde prin I_R s-a notat intensitatea radiatiei reflectate și prin I_g intensitatea radiatiei globale cu cele două componente de radiatie difuză I_d și directă I_d [1].

Pamintul absorbind o parte din radiatia solară se încalzește și radiază la rindul său. Temperatura solului este puțin ridicată, cca. 15°C , radiatia fiind situată, în acord cu legea lui Wien, în spectrul cuprins între $(4 \div 125) \mu\text{m}$ cu maximum situat la $10 \mu\text{m}$.

Atmosfera considerata ca un strat, v-a primi atit radiatia solara directa, cit si radiatia solului terestru; incalzindu-se atmosfera v-a radia atit inspre spatiul cosmic cit si inspre sol.

Aerul atmosferic este un mediu cu o conductibilitate termica redusa, el va retine doar o mica parte din radiatia solara care il strabate astfel incit partea cea mai insemnata va ajunge la suprafata terestra. La rindul sau suprafata Pamintului devine o sursa de energie.

Procesele de incalzire si racire ale atmosferii se datoreaza in primul rind caldurii primite si cedate de suprafata terestra in cadrul schimburilor calorice realizate prin convectie si radiatie.

In cursul unei zile radiatia solara directa, pentru a contribui la majorarea partii pozitive a bilantului energetic, se adauga radiatiei difuze si radiatiei proprii a atmosferii. Contrar, elementele negative ale bilantului energetic sunt energia reflectata de sol si nori, cit si pierderile prin radiatia telurica. Bilantul radiatiei, care este suma algebrica a acestor cantitati diferite este pozitiv pina dupa amiaza, solul incalzindu-se. In decursul noptii se produce o racire a acestuia datorita faptului ca radiatia de retrodifuzie atmosferica nu poate compensa in intregime pierderile.

Bilantul energetic al sistemului Pamint-atmosfera, este in dependenta de: factori meteorologici, compozitia atmosferii, latitudine, perioada calendaristica, proprietatile fizice ale suprafetei terestre, albido, emisivitate, stare hygrometrica, conductibilitate termica.

Daca admitem ca la limita atmosferei Pamintului primeste o cantitate de energie de $8,6 \text{ kWh/m}^2\text{zi}$ (fig.3.11) reprezentand 100%, 47 % din radiatia este absorbita de Pamint, 31 % traverseaza direct atmosfera, iar 16 % reprezinta radiatia difusa.

Fig.3.12 prezinta bilantul energetic radiativ global, energia solara absorbita si radiatia infraroasie emisa de sistem in spatiu. Se observa ca echilibrul radiativ este realizat doar intre 30° si 40° latitudine cu un dezechilibru pozitiv spre ecuator si negativ spre poli. Bilantul global este, evident, nul. De aici rezulta, nu un echilibrul termic stabilit pentru fiecare altitudine, ci un transfer de caldura intre ecuator si poli ce atenueaza reincalziri-

rea la ecuator si racirea la poli. Există un flux de caldura a masei de aer cald crescind cu latitudinea, un flux de caldura a masei de aer rece antrenat de la poli spre regiunile tropicale si un flux de caldura furnizata de suprafetele oceanice calde, in momentul evaporarii este eliberata in atmosfera la latitudini ridicate atunci cind intervine condensarea [2].

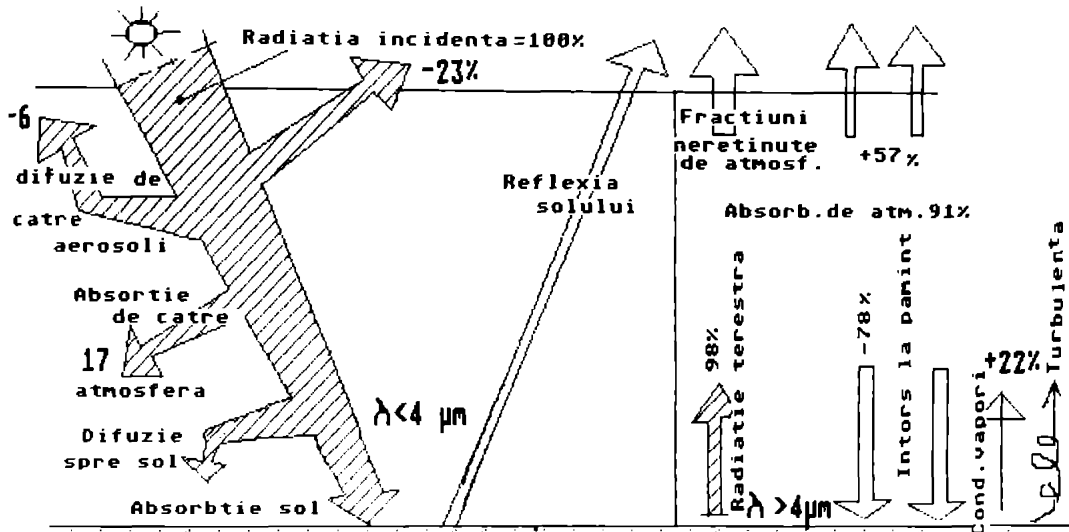


Fig. 3.11 Bilantul radiatiei solare si a radiatiei terestre

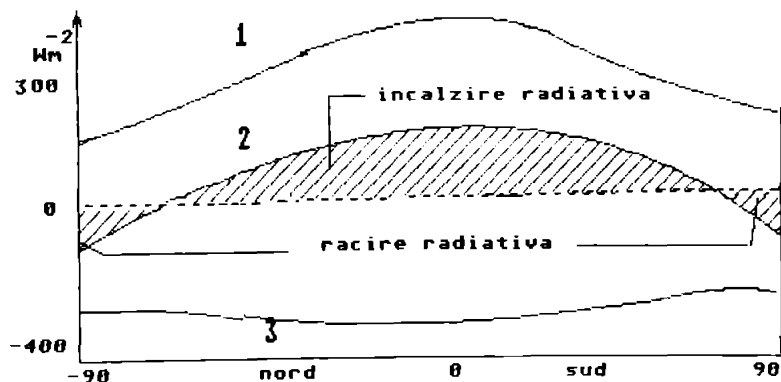


Fig. 3.12 Bilantul radiativ global al sistemului Pamant-atmosfera: 1) energia solară absorbită; 2) radiatia infraroasă emisă de sistem în spațiu; 3) bilant radiativ

3.7 ENERGIE INCIDENTA, PUTERE INCIDENTA

Consideram o suprafata de 1 m^2 pe care cade intr-un fascicul de raze paralele radiatia emisa de un corp negru. Incidenta razeelor pe suprafata este normala. Pentru a calcula energia incidenta pe aceasta suprafata intr-un interval de timp Δt , constatam ca pe ea sosesc toti fotonii situati la distanta mai mica sau cel mult egală cu $c \cdot \Delta t$, c reprezentind viteza de propagare a luminii. Radiatia nefiind monocromatica energia este transportata de fotoni de diferite frecvențe ν și deci de diferite energii $h\nu$. Notind cu n numarul de fotoni din unitatea de volum, exprimam numarul de fotoni din unitatea de volum dn , de frecvența cuprinsa intre ν și $\nu + d\nu$ sub forma [1]:

$$dn = n \cdot f(\nu) \cdot d\nu \quad (3.45)$$

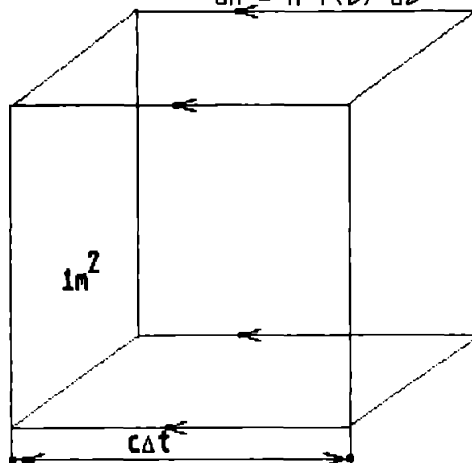


Fig.3.13
Schema de calcul a puterii incidente

$f(\nu)$ reprezentind functia de distributie a fotonilor dupa criteriul frecvență, depinzind de temperatura corpului negru, sursa a radiatiei. Energia sosita pe suprafata considerata ca rezultat al incidentei fotonilor a caror frecvență este cuprinsa intre ν și $\nu + d\nu$ in intervalul de timp dt este data de:

$$dE = n \cdot h \cdot \nu \cdot f(\nu) \cdot c \cdot dt \cdot d\nu \quad (3.46)$$

iar energia totala

$$\Delta E = \int_{\nu_0}^{\infty} n \cdot h \cdot \nu \cdot f(\nu) \cdot c \cdot dt \cdot d\nu \quad (3.47)$$

Puterea incidenta pe suprafata considerata numita si intensitatea radiatiei este:

$$I = -\frac{\Delta E}{\Delta t} = c \int_0^{\infty} n \cdot h \cdot v \cdot f(v) \cdot dv \quad (3.48)$$

marimea

$$w = \int_0^{\infty} n \cdot h \cdot v \cdot f(v) \cdot dv \quad (3.49)$$

reprezentind densitatea de energie in unda electromagnetică incidenta, marime numeric egala cu energia inmagazinata in unitatea de volum a spatiului prin care se propaga unda electromagnetică.

Marimea

$$w = \int_0^{\infty} n \cdot h \cdot v \cdot f(v) \quad (3.50)$$

se numeste densitate spectrala de energie, relatia (3.49) putind fi scrisa si sub forma:

$$w = \int_0^{\infty} w(v) \cdot dv \quad (3.51)$$

Deoarece intre frecventa v si lungimea de unda λ exista relatia $\lambda = c/v$, toate marimile introduse mai sus pot fi exprimate si in functie de lungimea de unda, relatia (3.51) putind fi scrisa sub forma:

$$w = \int_0^{\infty} w(\lambda) \cdot d\lambda \quad (3.52)$$

unde $w(\lambda)$ reprezinta tot densitatea spectrala de energie exprimata de data aceasta in functie de lungimea de unda. Relatia (3.48) devine:

$$I = \int_0^{\infty} c \cdot w(\lambda) \cdot d\lambda = \int_0^{\infty} I_{\lambda} \cdot d\lambda \quad [W/m^2] \quad (3.53)$$

marimea I_{λ} reprezentind intensitatea spectrala a radiatiei masurata in W/m^2 . Intensitatea radiatiei joaca un rol central in energetica solara si fara cunoasterea ei cu precizie, este imposibila determinarea eficientei unui sistem energetic solar.

3.8 TRANSFERUL DE CALDURA, LEGI FUNDAMENTALE

Caldura poate fi transmisa cu ajutorul unui suport material, prin soc de particule sau, fara suport de substanta, propagarea fiind in acest caz de natura radiativa.

3.8.1 TRANSFERUL DE CALDURA CU SUPORT MATERIAL

a) Transmisia caldurii prin conductibilitate

Consideram un corp solid (S) izolat periferic, avind temperatura neuniforma ($T_1 > T_2$). Evaluind in timp, la un moment dat, temperatura corpului (S) devine uniforma; caldura a fost transmisa prin conductibilitate termica (conductivitate sau conductie) din zonele cu temperatura mai ridicata spre zonele cu temperatura mai scasa (Fig.3.14).

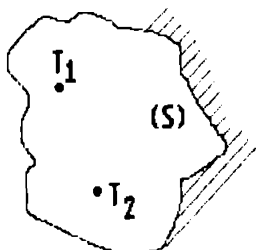


Fig.3.14
Transferul de caldura
cu suport material
prin conductibilitate

b) Transmisia caldurii prin convectie

Fie un perete avind temperatura medie T_1 si un fluid intr-o miscare oarecare in contact cu acest perete de exemplu cu $T_1 > T_2$

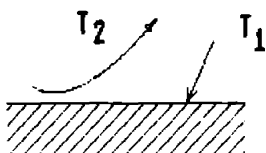


Fig.3.15
Transferul de caldura
prin convectie

Notatie:

In timp temperatura T_1 se micsoreaza iar T_2 creste.

Intre perete si fluidul in miscare se realizeaza un schimb de caldura prin convectie.

Distingem:

- convectie naturala; fluidul este pus in miscare prin intermediul curentilor determinati de diferența de temperatura intre perete si lichid
- convectie fortata: fluidul este pus in miscare printr-o metoda mecanica, de obicei pompa sau ventilator

3.8.2 TRANSFERUL DE CALDURA FARA SUPORT MATERIAL

Transmisia caldurii prin radiatie

Plasam intr-o incinta izolata, in vid, doua cor puri (S_1) si (S_2) la temperaturile initiale T_1 si T_2 ($T_1 > T_2$) fig.3.16.

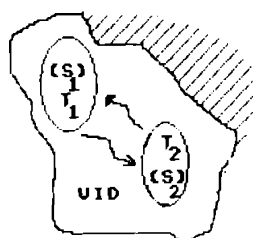


Fig.3.16
Transferul de caldura
fara suport material

In timp observam ca T_1 scade, iar T_2 creste.

Intre cele doua cor puri s-a produs un schimb de energie, in plus fara suport de substanta ceea ce permite a presupune ca energia este de natura radiativa.

Spunem in acest caz ca s-a produs un schimb de energie (sau caldura) prin radiatie.

Transmisia caldurii prin conductibilitate

Fie un corp (S) de temperatură neuniformă. Cantitatea de căldură dQ traversind o suprafață dA din (S) într-un timp dt este data de legea lui Fourier.

$$dQ = -\lambda \overrightarrow{\text{grad}} T \cdot \overrightarrow{dA} \cdot dt \quad (3.54)$$

λ – coeficient de conductivitate termică al materialului ($\text{W}\cdot\text{m}^{-1}\cdot\text{K}^{-1}$), depinde de natura corpului și de temperatura.

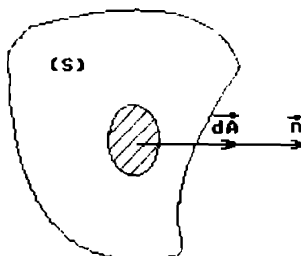


Fig.3.17
Transmisia caldurii
prin conductibilitate

Introducem noțiunea de densitate a fluxului de căldură:

$$\phi = -\lambda \overrightarrow{\text{grad}} T \quad (3.55)$$

Cantitatea de căldură ce traversează o suprafață prin conductibilitate este fluxul vectorului ϕ la traversarea suprafeței considerate.

Transmisia caldurii prin convectie

Fie un fluid în mișcare în apropierea unui perete de temperaturi $T_1 > T_2$ (fig.3.18). La suprafață există o puternică variație de viteză.

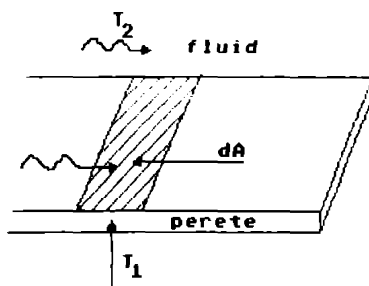


Fig.3.18
Transmisia caldurii
prin convectie

Existenta unui gradient de temperatura corespunde unei transmisii de caldura prin conductibilitate in aceasta zona.

Legea lui Newton exprima cantitatea de caldura dQ schimbată prin convectie în timpul dt .

$$dQ = h_c(T_1 - T_2) \cdot dA \cdot dt \quad (3.56)$$

h_c - coeficient de schimb de caldura prin convectie sau coefficient de convectie ($\text{W/m}^2\text{k}^{-1}$)

T_1 - temperatura suprafetei

T_2 - temperatura fluidului

dA - aria suprafetei de contact

Transmisia caldurii prin radiatie

Toate corpurile avind temperatură superioară de zero absolut emit în spațiul înconjurător radiatie a cărei energie se repartizează pe o zonă spectrală corespunzătoare prin interval de lungime de undă.

Corpul negru prin definitie este corpul absorbant ideal, ce absoarbe integral radiatia incidenta. Spectrul corpului negru (fig.3.19) este reprezentat printr-o curba $E_\lambda^\circ = E^\circ(\lambda, T)$, unde E_λ° este emitanta monocromatică, adică reprezintă cantitatea de energie emisă pe o bandă de lungime de undă unită de o suprafață de emisie de arie unită, pe secundă. E_λ° se exprima în $\text{W}\cdot\text{m}^{-2}$ și este reprezentată prin aria hășurată din fig.3.19.

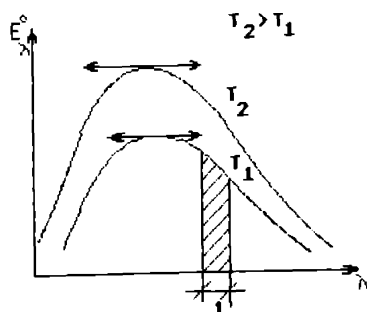


Fig.3.19
Spectrul corpului negru

Spectrul corpului negru variaza cu temperatura, maximul curbei fiind deplasat.

Cantitatea de energie (in general energia termica) radiata pe unitatea de suprafata in unitatea de timp de un corp negru in unghiul solid de 2π steradiani, se obtine integrind curba precedenta:

$$E^o = \int_0^\infty E_\lambda^o \cdot d\lambda \quad (3.57)$$

Legea lui Planck permite obtinerea teoretica a valorii E^o , relatie ce constituie legea lui Stefan Boltzmann:

$$E^o = \sigma \cdot T^4 \quad (3.58)$$

$$\sigma = 5,67 \cdot 10^{-8} \quad [W \cdot m^{-2} K^{-4}] \quad (3.59)$$

T - temperatura absoluta a emitorului

E^o - cantitatea de energie emisie de unitatea de suprafata in unitatea de timp [$W \cdot m^{-2}$].

3.6 DETERMINAREA INTENSITATII ENERGIEI SOLARE RECEPIONATE DE UN CAPTATOR PLAN

Fie o suprafata plana inclinata cu un unghi i fata de suprafata Pamintului. Alegem pentru originea axelor un punct (O) situat pe intersectia planului (P) cu planul orizontal (H). (O) fiind in planul (H), iar Oz vertical; Oz este orientata spre sud [2].

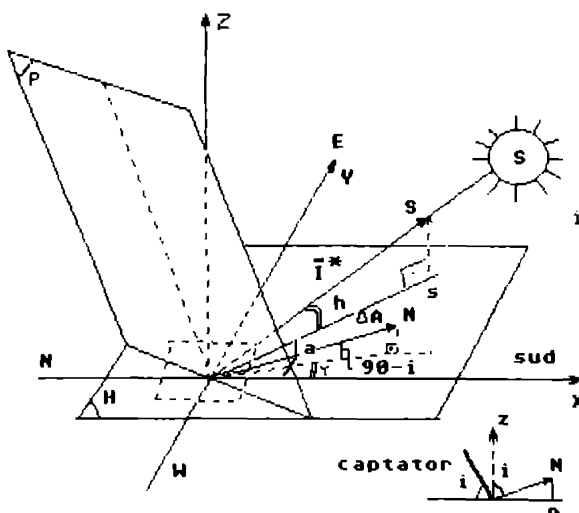


Fig.20 Determinarea intensitatii radiatiei solare directe receptionata de un captator plan

Consideram un element de captator plan de suprafata ΔA situat in origine. Aceasta admite o normala ON , proiectia pe planul (H) fiind On . Definim $\vec{\Delta A}$, vector pe directia normaliei ON .

Unghiul format de $\vec{\Delta A}$ cu planul orizontal este $nON = 90^\circ - i$, iar unghiul format de \vec{On} cu directia SUD (Ox) este γ . Unghiul care determina inaltimea soarelui este sOS , si fiind proiectia intensitatii radiatiei solare pe planul (H). Se defineste I^* ca un vector pe directia OS, modulul acestuia fiind insasi masura intensitatii radiatiei solare, orientat de la O la S. Fluxul vectorului I^* traversind suprafata ΔA este produsul scalar

$$\Delta \Phi = I^* \cdot \vec{\Delta A} \quad (3.60)$$

Daca $\Delta A = 1 \text{ m}^2$, fluxul se exprima cu aceeasi masura ca si componenta intensitatii radiatiei solare normale pe planul captatorului S (i, γ). Din triedrul Oxyz se obtin pentru componentelete intensitatii radiatiei solare I^* :

$$\begin{aligned} I^* &\cos h \cdot \cos a \\ I^* &\cos h \cdot \sin a \\ I^* &\sin h \end{aligned} \quad (3.61)$$

iar pentru $\vec{\Delta A}$

$$\begin{aligned} \cos(90^\circ - i) \cos \gamma &= \sin i \cos \gamma \\ \cos(90^\circ - i) \sin \gamma &= \sin i \sin \gamma \\ \sin(90^\circ - i) &= \cos i \end{aligned} \quad (3.62)$$

Expresia lui $S^*(i, \gamma)$ ($S = I_N \sin h$ reprezentind radiatia directa pe o suprafata orizontala), devine:

$$\begin{aligned} S^*(i, \gamma) &= I^* \cos h \cdot \cos a \cdot \sin i \cos \gamma + I^* \cos h \cdot \sin a \cdot \sin i \cdot \sin \gamma + \\ &+ I^* \sin h \cdot \cos i = \\ &= I^* [\cos h \cdot \sin i (\cos a \cdot \cos \gamma + \sin a \cdot \sin \gamma) + \sin h \cdot \cos i] = \\ &= I^* [\cos h \cdot \sin i \cdot \cos(a - \gamma) + \sin h \cdot \cos i] \end{aligned} \quad (3.63)$$

relatie unde i reprezinta unghiul de inclinare, iar γ orientarea raportata la directia SUD.

Cazuri particulare

- 1) $i = 0$ plan orizontal $S^* = I^* \sin h$
- 2) plan vertical orientat spre SUD $i = 90^\circ$, $\gamma = 0$
 $S^*(90, \text{SUD}) = I^* \cos h \cdot \cos a$

3) plan inclinat si orientat spre sud: $\gamma = 0$

$$S^*(i, \text{SUD}) = I^*(\cos h \cdot \sin i \cdot \cos a + \sin h \cdot \cos i)$$

4) plan vertical de orientare carecare: $i = 90^\circ$

$$S^*(90, \gamma) = I^* \cos h \cdot \cos(a - \gamma), \text{ avem deasemenea}$$

$\gamma = -45^\circ$ pentru o fatada sud - est si

$\gamma = 90^\circ$ pentru o fatada orientata spre vest

3.10 CONVERSIA FOTOTERMICA

Captarea energiei solare folosind procesul de conversie fototermica pentru a obtine temperaturi de ordinul a 100°C fata de temperatura mediului ambiant a facut obiectul a numeroase cercetari cu scopul de a se putea recuperata o cantitate mai mare de energie solară chiar și în perioadele mai reci.

Un convertor fototermic în limbajul ușual este numit "captator solar" și reprezintă elementul esențial utilizat în conversia energiei solare în căldură.

Nivelul scăzut al temperaturii în cazul unui captator solar fără concentrarea radiației solare se explică prin:

- reemisie prin radiație a receptorului

- pierderile de căldură prin convecție la periferia captatorului

Un captator ideal ar trebui să fie constituit dintr-o parte de captare cu:

- factor total de absorbtie ridicat în raport cu radiația solară

- factor total de emisie slab pentru temperatură medie de funcționare a acestuia

- o izolație termică foarte bună a întregului sistem

In general condițiile cerute anterior sunt incompatibile, astfel ca doar anume suprafete selective, la un preț ridicat, permit obținerea unui factor total de absorbtie ridicat și de emisie scăzut.

Limitarea pierderilor în cazul captatorilor se face prin:

- diminuarea reemisiei unei suprafete expuse radiației prin utilizarea efectului de sera

Fie o suprafată expusă intensității de radiație I , pe care punem o placă de sticlă de grosime e , conform fig.3.21 [2].

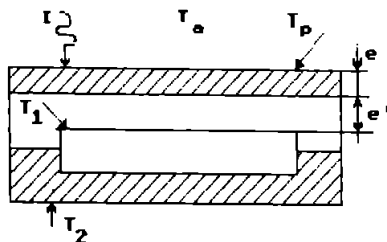


Fig.3.21
Efectul de sera

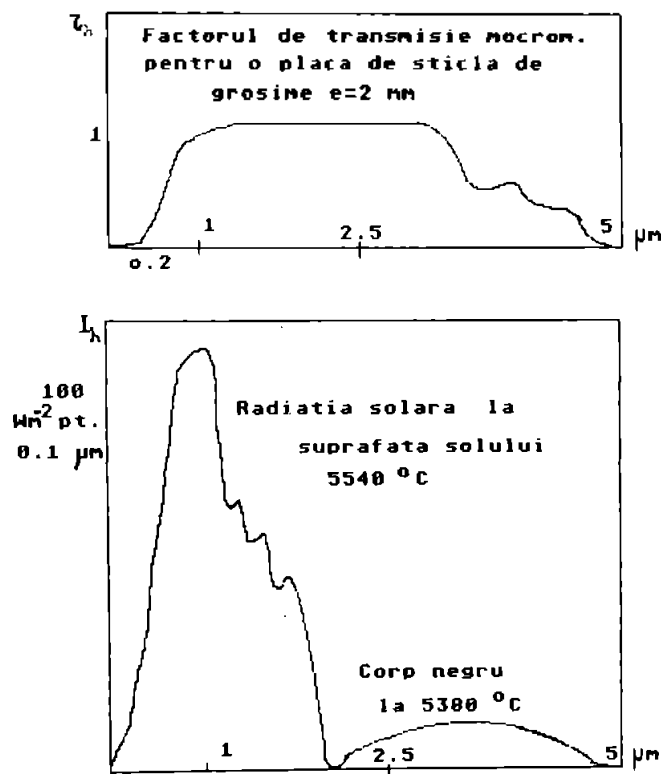


Fig.3.22 Factorul de transmisie al placii de sticla

Factorul de transmisie monocromatic τ_λ al placii de sticla depinde de temperatura corpului ce emite radiația: T_S (temperatura Soarelui) și într-o măsură mai mică de temperatura T_p a receptorului. Alura curbei $\tau_\lambda = \tau(\lambda)$ este reprezentată în fig. 3.22.

Se observă că cea mai mare parte a energiei incidente este transmisa. Reemisia din captator se face la o temperatură $T_1 \ll T_S$; acest spectru este decalat spre lungimile de undă mai mari pentru care factorul de transmisie al placii de sticla este scăzut (fig. 3.22). Majoritatea energiei incidente este conservată în captator, acest fenomen fiind numit "efect de sera". În fig. 3.23 este reprezentată repartitia fluxului incident într-un captator cu o placă de sticla.

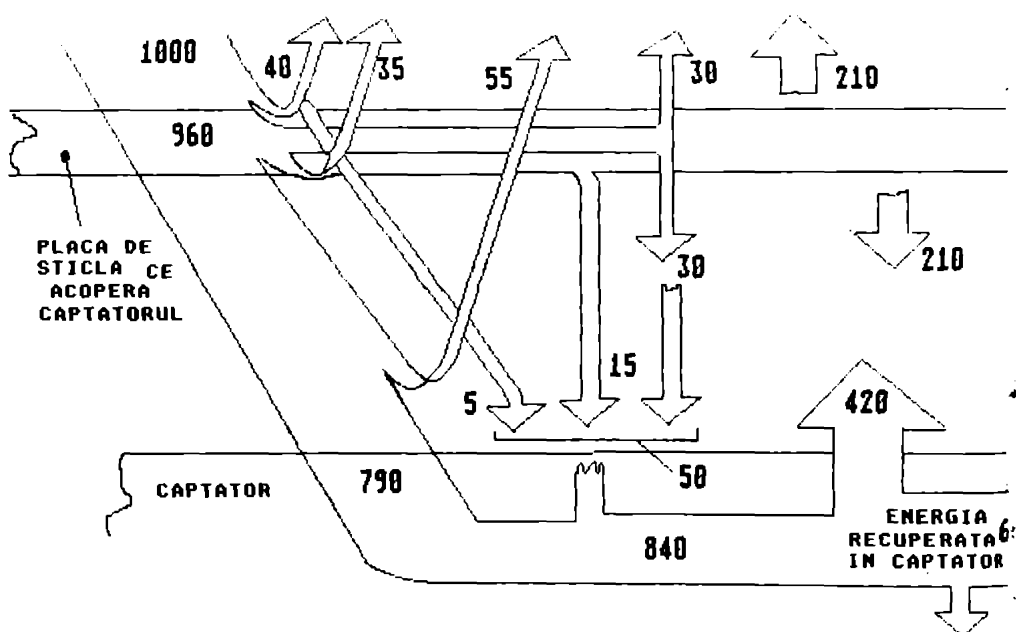


Fig.3.23 Repartitia fluxului incident într-un captator cu o placă de sticla

- majorarea cantitatii de energie captate prin utilizarea suprafetelor selective

Suprafata de captare ideală a radiatiei solare trebuie să absorba toată energia corespunzătoare spectrului solar, deci pentru $\lambda < 3 \mu\text{m}$ și să emite slab în infraroșu îndepărtat ($\lambda > 3 \mu\text{m}$) corespunzător spectrului de radiatie reemis de absorbant, considerind că temperatura se situează între 50-100 °C pentru captatorii plani [2].

In conditii normale de functionare, suprafata ideală ar trebui să posede valorile prezentate în fig. 3.24 pentru factorii proprii monocromatici de absorbtie α_λ , de emisie ϵ_λ , de reflexie ρ_λ și de transmisie τ_λ ; λ_c este lungimea de undă critică.

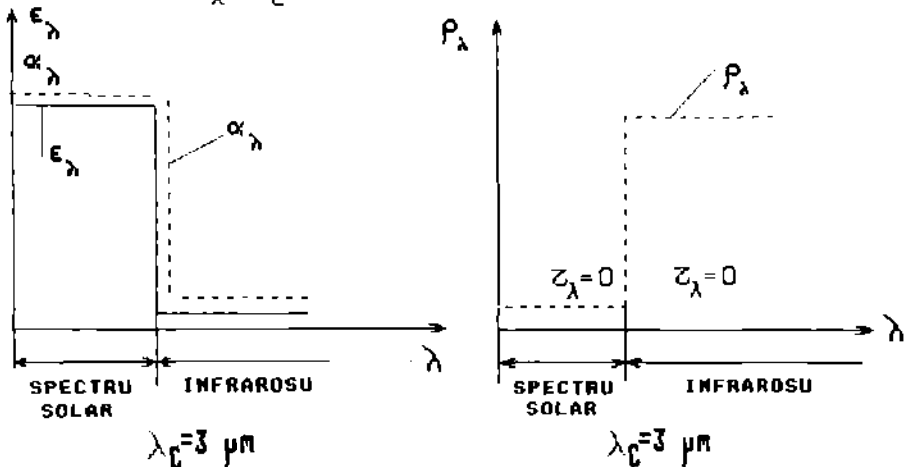


Fig.3.24 Valorile factorilor de absorbtie, emisie, reflexie si transmisie pentru suprafata ideală

- izolatia termica a intregului sistem

Captatorul trebuie să transmită energia captată fluidului caloportor evitând pierderile (prin conductibilitate - convecție, radiatie) în elementele periferice spre exterior. Solutiile adoptate sunt următoarele:

a) elemente in fata captatorului

pelicula de aer de grosime e' situata intre placa de sticla si captator se comporta ca un izolant in raport cu transmisia prin conductibilitate; in cazul in care e' este foarte mare intervine o convectie de aer naturala ce antreneaza pierderi deloc neglijabile prin convectie.

Conditiiile optime dupa Chapman [2] sint:

$$e'^3 \Delta T = e'^3 (T_1 - T_p) < k, \quad (3.64)$$

k - factor ce depinde de fluidul considerat

Pentru temperaturi uzuale de functionare a captatorilor plani se utilizeaza: $e' \approx 2,5$ cm

b) elemente posterioare si laterale

se pune un izolant, (vata de sticla, polistiren, polyuretan) pe aceste elemente pentru limitarea pierдерilor prin conductie - convectie la periferie.

S-a precizat anterior ca functionarea unui captator plan fara concentrarea radiatiilor solare se bazeaza pe efectul de sera. Practic, acest efect consta in urmatoarele: o placă metalica innegrită expusa radiatiilor solare absoarbe o mare parte din energia receptionata. Incalzirea placii este cu atit mai puternica cu cat capacitatea placii de a absorbi mai multe radiatii este mai mare.

Efectul simplu de sera se obtine daca se acopera suprafata innegrita cu o placă de sticla, sticla lasind sa treaca lumina solara, devenind opaca pentru radiatiile infraroșii emise de placă fierbinte.

Conform legii deplasarii a lui Wien, produsul intre lungimea de unda λ_m pentru care se inregistreaza valoarea maxima a intensitatii de radiatie I_λ si temperatura la care are loc emisia este constanta.

$$\lambda_m T = 2,898 \quad [\text{mm} \cdot \text{K}] \quad (3.65)$$

Placa neagra se incalzeste la temperaturi intre 50-100 °C, (cum a fost precizat anterior, in cazul captatorilor plani) astfel va radia in domeniul infraroșu al spectrului.

Placa de sticla este transparenta in vizibil si opaca in infraroșu indepartat.

Prin urmare, undele electromagnetice patrund, dar nu mai pot parasi placă, astfel placă devine o capcana solară. Geamul de sticla ce acopera fata anterioara a captatorului constituie o poarta unidirectionala pentru captarea energiei solare. Experienta arata ca placă absorbanta expusa direct radiatiei solare atinge o temperatura de 60°C , temperatura ce poate fi triplata daca captatorul plan este echipat cu una sau mai multe straturi de sticla, cind se realizeaza efectul simplu sau multiplu de seră.

CAPITOLUL 4. METODE DE STOCARE A ENERGIEI SOLARE, FENOMENE FIZICE DE BAZA

4.1 ASPECTE GENERALE

In instalatiile de conversie a energiei solare se utilizeaza mai ales sisteme de stocare termica. Stocarea termica se realizeaza:

- direct, sub forma de caldura sensibila ori prin caldura latenta
- indirect, prin intermediul stocarii chimice (termochimice, fotochimice, electrochimice)

Stocarea energiei termice este un proces fizic sau chimic care se desfasoara intr-un acumulator in timpul operatiilor de incarcare si descarcare [20].

Acumulatorul este constituit din:

- recipient (izolat termic)
- mediul (materialul) de stocare
- sistemele de incarcare si descarcare
- sistemele auxiliare

Intregul ansamblu, numit sistem de stocare termica, este definit de:

- modul obtinerii energiei necesare incarcarii acumulatorului
- modul in care energia extraisa din acumulator este convertita in forma de energie ceruta de consumator

Bilantul energetic al unui sistem de stocare termica se exprima prin relatie:

$$E_1 - E_2 = E_s \quad (4.1)$$

unde: indicii 1 si 2 se refera la energia intrata, respectiv extraisa, iar indicele s se refera la energia stocata.

Ecuatia generala a energiei stocate se obtine cu ajutorul primului principiu al termodinamicii considerind ca sistemul de stocare termica este un sistem termodinamic deschis:

$$(u + pv + gH + W^2/2)_1 \cdot dm_1 + dQ = (u + pv + gH + W^2/2)_2 \cdot dm_2 - dL = \\ = d(u + gH + W^2/2)_s \cdot m_s \quad (4.2)$$

unde:

m_s - masa mediului de stocare

dm_1, dm_2 - elementul de masa la intrarea respectiv la iesirea din sistemul de stocare termica

u - energia interna specifica

p - presiunea

v - volumul specific

(pv_1) si (pv_2) - energia specifica necesara introducerii respectiv extractiei din sistemul de stocaj a unitatii de masa

g - acceleratia gravitatiei

H - inaltimea fata de un nivel de referinta

gh - energia potentiala specifica

W - viteza

$W^2/2$ - energia cinetica specifica

dQ - caldura elementara transmisa independent de transferul de masa

dL - lucrul mecanic elementar efectuat de sistem, independent de transferul de masa

Examinarea ecuatiei generale a energiei stocate arata ca stocarea energiei se poate realiza datorita variatiei:

- energiei interne
- energiei potentiiale
- energiei cinetice
- masei sistemului de stocare termica

Stocarea energiei termice este determinata de variația energiei interne și a masei sistemului de stocare termica. Tinind cont de lucrul mecanic

$$dL = p_s dV_s \quad (4.3)$$

se obtine ecuatia energiei termice stocate

$$(u + pv)_1 dm_1 + dQ = (u + pv)_2 dm_2 = d(um)_s + p_s dV_s \quad (4.4)$$

introducind entalpia specifica $h = u + pv$, relatia (4.2) devine:

$$h_1 dm_1 + dQ = h_2 dm_2 = d(um)_s + p_s dV_s \quad (4.5)$$

Bilantul de masa este exprimat de relatia:

$$dm_1 - dm_2 = dm_s \quad (4.6)$$

Stocarea energiei termice se poate clasifica:

- Dupa mediul de stocare si agentul de transfer termic
 - stocare directa la care mediul de stocare si agentul termic sunt identici. Mediul poate fi solid, lichid, gazos sau bifazic (lichid + vaporii)
 - stocare indirecta, energia termica e transmisa prin transfer termic (cu ajutorul conductiei termice prin peretii acumulatorului) sau prin transferul de masa al unui agent termic

- intermediar. Mediul de stocare poate fi solid, lichid,gazos sau cu tranzitie de fază;solid-lichid; lichid-vapori
- Dupa masa mediului de stocare
 - cu masa de stocare constanta ($dm_s = 0$). Se intilneste fie la stocarea directa, fie la stocarea indirecta
 - cu masa de stocare variabila ($dm_s \neq 0$), se intilneste doar la stocarea directa
- Dupa volumul de stocare:
 - cu volumul de stocare constant ($dV_s = 0$), recipiente inchise
 - cu volumul de stocare variabil ($dV_s \neq 0$), cind stocarea se face la presiunea ambianta
- Dupa presiunea de stocare:
 - cu presiunea de stocare constanta ($dp_s = 0$)
 - cu presiunea de stocare variabila ($dp_s \neq 0$)

4.2 STOCAREA ENERGIEI SOLARE SUB FORMA DE CALDURA SENSIBILA

Stocarea sub forma de caldura sensibila este o metoda de stocare a caldurii obtinuta prin conversia fototermica a energiei radiatiei solare de catre un anumit material in care transferul termic implica numai o variatie de temperatura, fara sa produca o tranzitie de fază [20].

Medii de stocare principale prin intermediul caldurii sensibile sint: apa, aburul, betonul si pietrele, soda caustica, metalele topite (Al,Na) fluide organice, caramizi refractare, bile.

Avantaje ale stocarii sub forma de caldura sensibila:

- pot acoperi necesitati de stocare pe un interval larg de temperaturi
 - ofera solutii favorabile atit pentru stocarea pe termen scurt (diurnal) cit si pentru stocarea pe termen mediu sau lung (sezoniera sau anuala)
 - mediile de stocare sint in general ieftine si nepretentioase
 - se pot folosi ca medii de stocare formatiuni geologice deja existente

In functie de domeniul temperaturilor de utilizare, sistemele de stocare a energiei solare prin intermediul caldurii sensibile se pot clasifica in:

- sisteme de temperatura "joasa" (<100 °C)
- sisteme de temperatura "inalta" (>100 °C)

Sistemele de temperatura joasa pot realiza stocarea pe:

- termen scurt (diurna) utilizindu-se apa sau straturile de pietris;
- termen lung (sezoniera sau anuala), utilizind apa calda din acvifere

*Stocarea in acvifere

Acviferele (straturile de apa din subsol) pot fi adinci sau superficiale. Acviferele adinci pot stoca energia termica prin injectarea apei calde in strat. Densitatea de energie termica astfel stocata este $35-55 \text{ kJ/dm}^3$.

*Stocarea in paturi de roci (pietris)

Sistemele de stocare pot fi supra sau subterane. Densitatea de energie termica stocata in roci este $200 - 250 \text{ kJ/dm}^3$.

*Stocarea in solide

Sistemele supraterane utilizeaza materiale refractare si sunt recomandate pentru stocarea calduri din gazele arse fierbinti.

Sistemele subterane sunt alcătuite din paturi compacte (pietris, silicagel sau alumina), iar agentul termic este un gaz sub presiune. Transferul termic se realizeaza prin contact direct intre mediul de stocare si agentul termic, eliminindu-se schimbatorul de caldura.

*Stocarea in sol

Se disting trei sisteme de stocare: in sol uscat, sol umed si in sol umed incojurat de sol uscat. Densitatea de energie termica stocata in sol este de 10 kJ/dm^3 .

*Stocarea in lichide

Sunt indicate fie apa sub presiune (deasupra temperaturii de 100°C) fie unele lichide organice utilizabile pînă la temperaturi de 300°C , în rezervoare clasice sudate din otel, rezervoare sub presiune din fontă pretensionată sau din beton precomprimat.

*Stocarea in amestecuri eutectice de sare topite

Cel mai cunoscut este amestecul ternar HTS (Heat Transfer Salt) alcătuit din trei compusi de baza: KNO_3 (53 %), NaNO_2 (40 %) si NaNO_3 (7 %). Considerate separat aceste sari nu sunt lichide

decit la temperaturi de peste 300°C , dar amestecul lor eutectic se topeste la 146°C si poate fi incalzit pina la 500°C (in acest domeniu de temperaturi se comporta ca un mediu de stocare de tip caldura sensibila, avind densitatea de energie termica de stocare mare (550 kJ/dm^3 pentru un interval de temperaturi $250 - 450^{\circ}\text{C}$).

4.3 STOCAREA ENERGIEI SOLARE SUB FORMA DE CALDURA LATENTA

Procesul de incalzire a unei substante urmat de cresterea energiei interne a acesteia determina aparitia efectului de crestere a temperaturii (caldura sensibila) sau al tranzitiei de faza (caldura latenta), efecte ce pot fi descrise cu ajutorul diagramei temperatura timp (fig.4.1). Se considera starea initiala a substantei in punctul O. Absorbtia caldurii determina incalzirea sensibila a solidului (regiunea O-A).

- tranzitia de faza solid-lichid (regiunea A-B)
- incalzirea sensibila a lichidului (regiunea B-C)
- tranzitia de faza lichid-vapori (regiunea C-D)
- incalzirea sensibila a vaporilor (regiunea D-E)

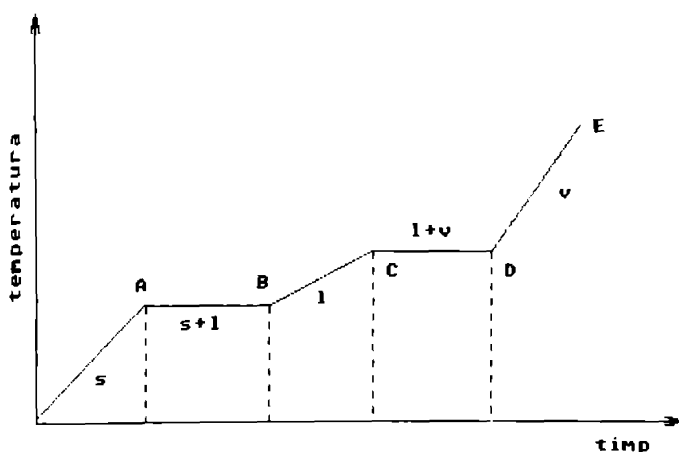


Fig.4.1 Procesul de incalzire a unei substante

Expresia caldurii stocate de substanta pe etape este:

$$Q = \begin{cases} mc_{pi}(T_f - T_i), & \text{pentru caldura sensibila} \\ mL_{i-j}, & \text{pentru caldura latenta} \end{cases}$$

unde: m - masa substantei

c_{pi} - caldura specifica la presiune constanta a fazei i a substantei, (i reprezinta fazele: s-solida, l-lichida, v-vapori)

T_i si T_f - temperaturile initiale si finale a substantei pentru intervalul de timp in care are loc incalzirea

L_{i-j} - caldura latenta de tranzitie a substantei din faza i in faza j

Caldura totala absorbita de substanta intre punctele D si E, (c_{pi} variaza cu temperatura) este data de relatia de mai jos (4.7):

$$Q = m \left[\int_{T_0}^{T_A} c_{ps}(T) dT + L_{s-1} + \int_{T_B}^{T_C} c_{pl}(T) dT + L_{l-v} \int_{T_D}^{T_E} c_{pv}(T) dT \right]$$

Semnificatiile fizice ale marimilor din relatia (4.7) sunt conform precizariilor facute mai sus. Orice sistem de stocare a energiei solare prin utilizarea caldurii latente trebuie sa dispuna de urmatoarele componente:

- material de stocare termica ce poate efectua tranzitia de faza solid-lichid pentru domeniul temperaturilor de functionare,
- acumulator termic, care contine in afara de rezervorul propriu si schimbatorul de caldura ce asigura transferul caldurii de la sursa de caldura.

4.4 STOCAREA TERMOCHIMICA

Stocarea energiei in legaturile chimice ale unor molecule ca urmare a reactiilor activate termic la formarea sau desfacerea acestor legaturi este numita stocare termochimica, avind avantajele:

- a) densitate de energie mare
- b) transportabilitate pe distante mari

Sensul in care decurge reactia este dat de variatia entalpiei libere G fiind posibile numai acele reactii in decursul carora se inregistreaza o scadere a entalpiei libere ($\Delta G < 0$) [3]. Avem:

$$\Delta G = \Delta H - T \cdot \Delta S$$

ΔH - variatia entalpiei pe parcursul reactiei

ΔS - variatia entropiei pe parcursul reactiei

T - temperatura la care se efectueaza reactia

4.5 STOCAREA FOTOCHEMICA

Stocarea energiei in legaturile chimice ale unor molecule formate sau desfacute ca urmare a actiunii directe a radiatiei luminoase asupra unor compusi chimici se numeste stocare fotochimica. Procesul de stocare fotochimica are loc la o temperatura foarte inalta, dar selectiv, la aceasta temperatura fiind adusa numai moleculele care reacioneaza cu cuanta respectiva, restul moleculelor ramain reci. Bazele fotochimiei moderne au fost puse de catre A. Einstein, acesta aratind ca fotonul trebuie considerat ca un participant la reactie, cantitatea de produsi fiind proportionala cu numarul fotoniilor absorbiti.

4.6 STOCAREA ELECTROCHIMICA

Stocarea energiei in legaturile chimice ale unor substante, formate sa desfacute in urma unui proces electrochimic se numeste stocare electrochimica. Procesele electrochimice sunt procese de oxidoreducere in care transferul de electroni de la o molecule la alta se face prin intermediul unor electrozi legati printre-un conductor ionic (electrolit) pe o portiune a circuitului si printre-un conductor electronic (metallic) pe cealalta portiune.

Stocarea electrochimica a energiei solare implica deci conversia energiei solare in energie electrica prin intermediul celulelor fotoelectricice sau a generatoarelor termoelectrice si acumularea acestora in pile electrodinamice reversibile.

4.7 STOCAREA CALDURII SOLARE IN PATURI DE ROCI (PIATRA)

Avantajul acestui mod de stocare consta in aceea ca se poate realiza un contact pe o suprafata mare, intre aerul cald si piatra, obtinindu-se astfel un schimb important de caldura la ecarturi de temperaturi scazute intre agentul purtator de caldura (aerul) si materialul de stocare (piatra).

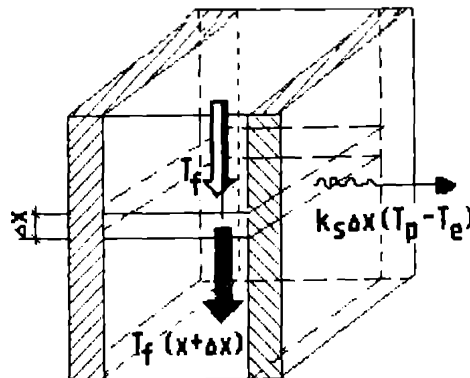


Fig.4.2

Studiul termic al unui sistem de stocare implica stabilirea variatiilor temperaturilor aerului (ca purtator de caldura) si ale patului de roci (ca material de stocare) [6].

Considerind un element de volum de suprafata S si de grosime Δx (fig.4.2), bilantul termic pe partea solidului este:

$$\rho \left(V_p / V \right) \cdot S \cdot \Delta x \cdot c_p \frac{\partial T}{\partial z} = \alpha_v \cdot S \cdot \Delta x (T_f - T_p) - k_s \cdot \Delta x (T_p - T_e) \quad (4.8)$$

$$\text{Relatiile: } \frac{\partial T}{\partial (z/\tau)} = \alpha_v \frac{S L}{G c_p} (T_f - T_p) - \frac{k_s L}{G c_p} (T_p - T_e)$$

$$\frac{\partial T_f}{\partial (x/L)} = \alpha_v \frac{S L}{G c_f} (T_p - T_f) \quad (4.9)$$

reprezinta ecuatiiile diferențiale cu derivate partiale propuse de Hughes s.a pe baza caror se stabileste distributia temperaturilor aerului si ale materialului de stocare, rezolvindu-se folosind metode numerice [42].

Pentru a lua in consideratie si conductia in interiorul particulelor materialului de stocare, Jefferson propune o noua forma a ecuatiiilor diferențiale (4.9):

$$\frac{\partial T}{\partial (z/\tau)} = - N_{tu_c} (T_f - T_p)$$

$$\frac{\partial T}{\partial (x/L)} = N_{tu_c} (T_f - T_p) \quad (4.10)$$

z - timpul scurs de la inceperea introducerii fluidului (aerului) in patul de stocare

T_f - temperatura aerului, T_p - temperatura patului de stocare

L - lungimea totala a stocajului in sensul circulatiei aerului

τ - timpul caracteristic al patului de stocare $\tau = \rho c_a V_p S L / G c_p$

Valoarea coeficientului N_{tu_c} se calculeaza astfel:

$$N_{tu_c} = \left[\frac{d_{ech}}{L \cdot P_{ep}} + \frac{1 + 0,2 Bi}{\alpha_v \cdot \frac{S L}{G c_p}} \right]^{-1} \quad (4.11)$$

Numarul Peclat al particulelor materialului de stocare:

$$P_{ep} = G_d_{ech} / S \lambda_p \quad (12)$$

λ_p - conductivitatea termica a particulei de material

d_{ech} - diametrul echivalent al particulelor care alcataiesc patul

de stocare: $d_{ech} = \left[\frac{6}{\pi} \cdot \frac{V_p}{N_p} \right]^{1/3}$

V_p - volumul mediu al particulelor din patul de stocare care contine N_p particule

I.A.Duffie si W.A.Bekmann recomanda ca diametrul echivalent mediu al particulelor sa fie cuprins intre 10 - 50 mm [42].

Huyges arata ca in cazul in care $N_{tu_c} > 10$ temperatura aerului T_f devine practic egala cu a materialului de stocare T_p cea ce permite reducerea sistemului de ecuatii diferențiale (4.10) la o singura ecuatie diferențiala:

$$\frac{\partial T}{\partial z / \tau} = L - \frac{\partial T}{\partial x} + \frac{k_s S_{lat}}{G c_f} (T - T_e) \quad (4.13)$$

unde:

k_s - coeficient total de transfer termic la patul de stocare catre mediul ambiant

S_{lat} - suprafata laterală a patului de stocare

T_e - temperatura mediului ambiant

Dimensionarea unui pat de stocare cu roci consta in stabilirea volumului de stocare V si a suprafetei pe care se distribuie aerul in patul de stocare S .

Forma patului de stocare este în general paralelipipedică sau cilindrică. În urma cercetărilor efectuate D.J.Morrison și S.I. Abdel-Khalik [42] au stabilit că la suprafața de captare de minim 100 m^2 volumul specific al patului de stocare este:

$$v = 0,15 + 0,25 \frac{\text{m}^3}{\text{roca/m}^3} \text{ suprafața de captare}$$

Din cele de mai sus rezulta că volumul patului de stocare este:

$$V \geq v \cdot S_c \quad (4.14)$$

Suprafața patului de stocare se determină plecind de la relația care stabilește valoarea coeficientului de transfer termic volumic al patului de stocare:

$$\alpha_v = 650 \left(\frac{G}{S_d \text{ech}} \right)^{0,7} \quad (4.15)$$

$$S = \frac{G}{d_{\text{ech}}} \left(\frac{650}{\alpha_v} \right)^{1,48} \quad (4.16)$$

Dupa J.A.Duffie și W.A.Beckmann coeficientul de transfer termic volumic este $\alpha_v = f(\alpha_p)$, astfel:

$$\alpha_v = \alpha_p \frac{S}{V_p} \quad (4.17)$$

α_p - coeficient de transfer termic al particulelor

S_p - suprafața de schimb termic a particulelor din patul de stocare

Masa patului de stocare M_p se poate stabili funcție de volumul patului de stocare V_p

$$M_p = V_p \rho_p \quad (4.18)$$

cit și de numărul de particule N_p care alcătuiesc patul de stocare

$$M_p = N_p \frac{4\pi}{3} \left(\frac{d_{\text{ech}}}{2} \right)^3 \cdot \rho_r \quad (4.19)$$

ρ - densitate: ρ_p - pat de stocare, iar ρ_r - material de stocare

Numarul de particule se obține după efectuarea calculelor:

$$N_p = \frac{6}{\pi} \frac{V}{d_s^3} \frac{\rho_p}{\rho_r} \text{ech} \quad (4.20)$$

Suprafața de schimb termic a tuturor particulelor

$$S_p = N_p 4\pi \left(\frac{d_{\text{ech}}}{2} \right)^2 \quad (4.21)$$

Inlocuind numărul de particule N_p se obține:

$$\frac{S}{V_p} \rho_p = \frac{G}{d_{\text{ech}}^3} \frac{\rho_p}{\rho_r} \quad (4.22)$$

Valoarea coeficientului de transfer termic din relația (4.17):

$$\alpha_p = \alpha_v \frac{\rho_p}{S_p} \quad (4.23)$$

cu relatiile (4.22) si (4.15) se obtin:

$$\alpha_p = \alpha_v \frac{d_{ech} \rho_r}{6 \rho_p} \quad (4.24)$$

$$\alpha_p = 108,3 d_{ech} \left(\frac{G}{S \cdot d_{ech}} \right)^{0.7} \cdot \frac{\rho_r}{\rho_p} \quad (4.25)$$

Conditia de buna dimensionare a patului de stocare este ca gradientii de temperatura din interiorul particulelor sa fie cit mai mici, adica criteriul de similitudine Bi aplicat particulei sa indeplineasca conditia:

$$Bi_{part} = \frac{\alpha_p d_{ech}}{2 \lambda_r} \leq 0,1 \quad (4.26)$$

Din relatie (4.25) si (4.26) se obtine succesiv:

$$\begin{aligned} -\frac{\alpha_p d_{ech}}{2 \lambda_r} &= 108,3 d_{ech}^2 \left(\frac{G}{S \cdot d_{ech}} \right)^{0.7} \cdot \frac{\rho_r}{\rho_p} \cdot \frac{1}{2 \lambda_r} \leq 0,1 = \\ &= 108,3 \left(\frac{G}{S} \right)^{0.7} d_{ech}^{1.9} \cdot \frac{\rho_r}{\rho_p} \cdot \frac{1}{\lambda_r} \leq 0,1 \end{aligned} \quad (4.27)$$

de unde rezulta suprafata patului de stocare:

$$S = G \cdot d_{ech}^{1.06} \left(\frac{542 \cdot \rho_r}{\lambda_r \cdot \rho_p} \right)^{1.49} \quad (4.28)$$

In practica, in afara determinarii principalelor dimensiuni ale patului de stocare (volum V si suprafata S) se cere stabilirea pierderilor de sarcina Δp_p si timpul τ^* dupa care un pat de stocare poate furniza aer la temperatura T_f .

Pentru determinarea pierderilor de sarcina Δp_p D.J.Close propune relatie:

$$\Delta p_p = \frac{LG^2}{T_f d_{ech} S^2} \left(21 + \frac{1750}{R_e} \right) \quad (4.29)$$

pentru $R_e = G \cdot d_{ech} / S \nu_f$ si $1 \leq R_e \leq 10^6$,

ν_f - viscozitatea dinamica a aerului

Tot D.J.Close propune relatie pentru timpul dupa care un pat de stocare poate furniza aer de temperatura T . Astfel:

$$\tau^* = \frac{\rho_p C_r L S}{C_f G} \left[\frac{Z}{Y} \right] \quad (4.30)$$

unde:

$$Y = \frac{\alpha_v L}{C_f G} \quad Z = \frac{\alpha_v \tau^*}{\rho_p C_r}$$

La alegerea marimii patului de piatre precum si a marimii particulelor este necesar sa se tina seama de urmatoarele:

1. Cu cat dimensiunile particulelor sunt mai mici, cu atit transferul de caldura in ambele sensuri (de la agentul termic primar la masivul de piatra in cazul acumularii si de la masivul de piatra la agentul termic secundar in cazul alimentarii cu caldura stocata) va fi mai mare datorita marimii suprafetei de schimb de caldura.

2. Odata cu micsorarea dimensiunilor particulelor are loc o crestere a pierderilor de sarcina pe circuitul aerului la trecerea acestuia prin masivul de stocare.

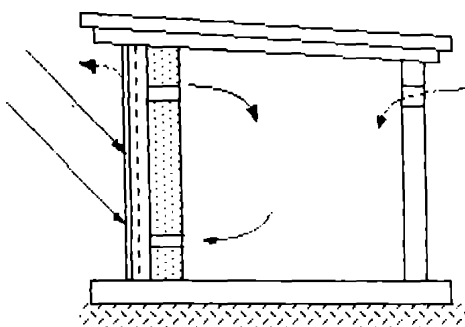
3. Cresterea volumului patului de stocare determina o crestere neliniara a randamentului global al instalatiei solare, iar pentru valori ale volumului $V > 0,25 \text{ m}^3$ cresterea randamentului se reduce si mai mult.

4.8 PERETELE TROMBE-MICHEL (T-M)

Felix Trombe chimist francez, pentru micsorarea costului in captarea energiei solare propune ca zidul din sudul casei sa fie transformat in captator de energie solară. Pe baza unor calcule simple constata ca acest zid trebuie sa fie masiv pentru a putea inmagazina energia ce ajunge pe acesta. In anul 1965 in Odeillo a fost construita o casa pe acest principiu. Avantajele au fost evidente, dar intenția de a construi un complex de case pe acest principiu a fost opriță de autorități, care nu au dat aprobarea necesara constructorilor.

Peretele T-M este colorat in negru sau in alta culoare inchisa, acoperit cu sticla (un strat sau mai multe la o distanta de 2+10 cm). Radiatia solară cade pe perete, este absorbita de acesta, astfel incalzindu-l.

Caldura este transmisa spre partea interioara a peretelui in timp, astfel ca in decursul zilei peretele se incalzeste. In felul acesta amplitudinea maxim a undei de caldura este deplasata spre interiorul peretelui, atingind valoarea maxima cu o intirziere in timp, de cîteva ore, in functie de grosimea peretelui. Aceasta este foarte avantajos, deoarece incaperea o sa aiba temperatura cea mai ridicata intre orele 18,00 - 20,00 ceea ce corespunde unui mod obisnuit de viata. Peretele T-M este folosit ca si captator solar, ca acumulator de caldura si ca un corp de incalzit.



De obicei se realizeaza cu canale atit in partea superioara cit si in partea inferioara. Aerul cald incalzit de la perete si prin canalul superior trece in incapere unde circula, dar ajungind in partea opusa se raceste, cade in partea inferioara, prin canalul inferior intrind in peretele Trombe Michel.

Fig.4.3

Pentru ca peretele sa nu se răcească noaptea este necesar să fie prevazut cu un paravan glisant termic ce poate fi coborit seara cind nu există aport de energie.

Cele mai noi studii referitoare la modul optim de utilizare a energiei solare cu ajutorul peretelui T-M au adus modificari în concepția de funcționare. S-a demonstrat că rezultate mai bune se obțin în cazul în care se realizează circulația aerului în circuit închis din peretele T-M prin canale în partea superioară în peretele opus, printr-un strat de piatră sub încăpere.

Grosimea peretelui T-M trebuie calculată astfel ca să fie indeplinite condițiile de captare și utilizare maximă a energiei. De obicei grosimea peretelui este cuprinsă între 30-50 cm.

In cadrul Catedrei de Fizica a UTT a fost construit un perete T-M pe fațada sudică a unei încăperi de pe lîngă Casa Solară, cu scopul de a asigura climatizarea acestei încăperi în perioada de trecere. Întrucât studiul peretelui a fost publicat în [37] prezentăm doar cîteva concluzii din acest studiu pentru a scoate în evidență necesitatea utilizării peretelui T-M în arhitectura solară pasivă ca o soluție parțială de ameliorare a condițiilor de locuit. Masurările efectuate demonstrează că temperatura aerului interior se menține în jurul valorii de 19 °C atît pe durata de strălucire a Soarelui cit și după apariția Soarelui pe o durată de 3-4 ore.

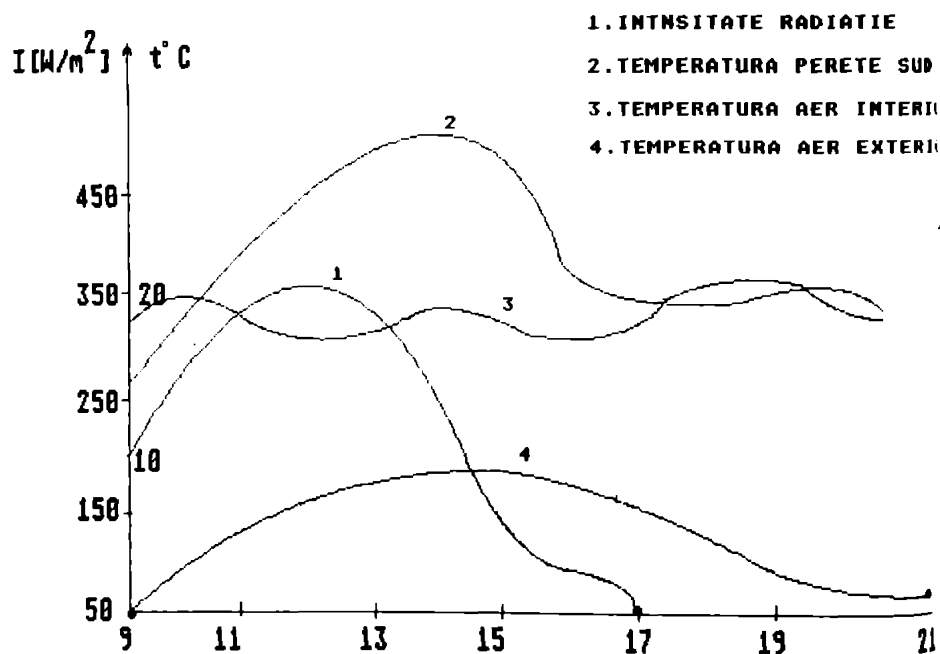
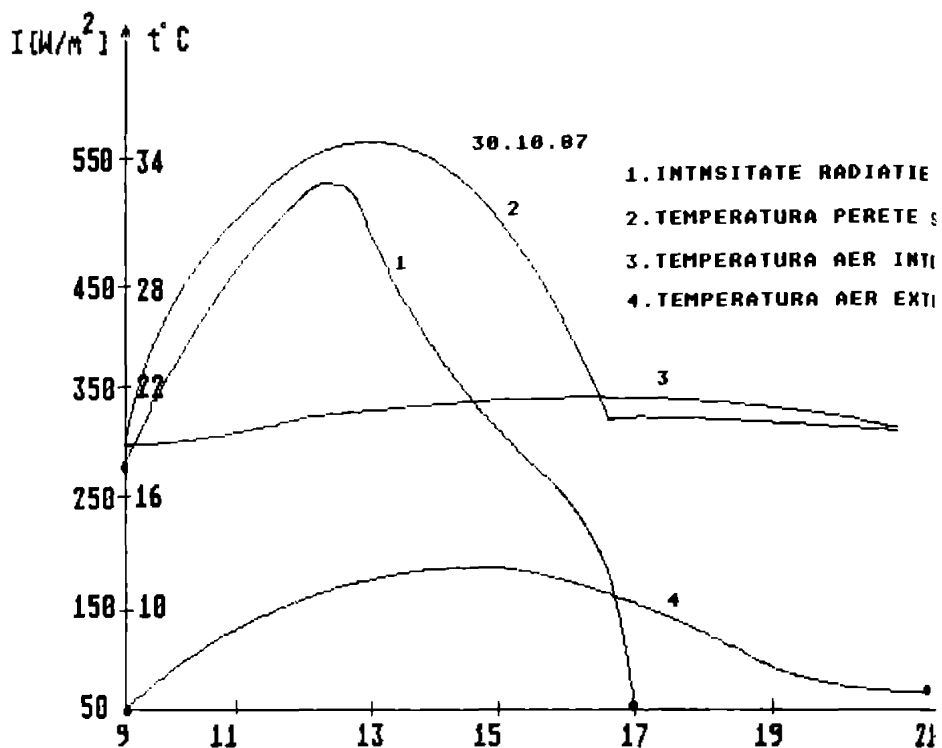


Fig. 4.4 Măsurători asupra peretelui T-M

4.8 PLANSEURI RADIANTE

Aportul solar, odata captat, trebuie stocat pentru a fi distribuit in perioada de noapte. Planseurile radiante functioneaza la cele mai joase temperaturi, fiind bine adaptate la distributia caldurii furnizate de captorii plani. Defazajul este realizat cel mai frecvent printr-o capacitate de stocare ce inmagazineaza caldura incalzind apa distribuita conform necesitatilor.

Una din solutiile pentru diminuarea costului instalatiilor solare clasice consta in a inlocui cuva de stocare pentru a obtine defazajul aportului solar in timpul transferului de caldura prin traversarea pavajului, avind o grosime corespunzatoare. Suprimarea cuvei de stocare conduce la cuplarea directa a captatorilor la o suprafata pavata. Grosimea suplimentara a pavajului creaza un defazaj satisfacator intre momentul in care energia solara injectata este maxima si maximumul de la restituirea acestei energii in volumul incalzit [8].

Pavajul se comporta ca un perete de beton captator in care caldura solara va fi injectata la nivelul planului tuburilor folosite pentru incalzire. Energia solara este injectata cu un maxim la amiaza solara si se va propaga traversind betonul de la tuburi pina la suprafata de emisie. Aceasta propagare este caracterizata printr-un defazaj si o amortizare ce sint functii de grosimea pavajului si caracteristicile termice ale acestuia.

CAPITOLUL 5. ASUPRA POSIBILITATII DE CLIMATIZARE A LOCUINTELOR PRIN STOCAREA DE SCURTA SI MEDIE DURATA A ENERGIEI SOLARE (PARALELA 45 °N, ROMANIA SI IUGOSLAVIA)

5.1 INTRODUCERE

Criza energetica tot mai acuta ce se instaleaza in tarile din sud-estul Europei impune regindirea la scara macro si micro-economica a metodelor de incalzire a cladirilor si de preparare a apei calde menajere.

In lucrarea de fata ne-am ocupat de problema climatizarii locuintelor individuale in perioadele de trecere, toamna si prima-vara, si, parcial, anotimpul friguros, iarna.

Problema prepararii apei calde menajere cu instalatii solare si-a gasit diverse rezolvari deja in anii anteriori si nu o vom aborda aici.

5.2 DISPONIBILITATI DE ENERGIE SOLARA IN IUGOSLAVIA

Conform analizelor referitoare la disponibilitatea cu energie solară, efectuate de organizatia mondiala, Iugoslavia cu o insolatie de 1630 kWh/an in cea mai mare parte a tarii, apartine grupului de tari din Europa cu cea mai abundenta cantitate de energie solară [8].

Comparativ pe glob, regiunile cu cea mai mare insolatie sint cîteva regiuni din Chile, Sudan si Egipt, cu 3570 kWh/an, apoi Argentina, Australia, Chile si tarile din Sahara cu 3244 kWh/an, iar regiunile cu cea mai mica insolatie sint Marea Britanie, tariile Scandinavice si regiuni din nordul Uniunii Sovietice si Canadaei, cu 940 kWh/an sau mai putin.

Pe baza datelor ce se refera la numarul orelor de insolatie anuala, (maxima 2700 h pe litoralul adriatic, minima 1500 h in partea nordica a tarii), obtinute prin mediere pe o perioada de 10 ani, Institutul Meteorologic Republican din Serbia, a realizat harta radiatiei solare globale pentru Iugoslavia.

Prezentam cîteva date asupra disponibilitatii energiei solare in Iugoslavia cit si in zona Belgradului, zona caracteristica paralelei 45 °N.

TABELUL 5.1

Valorile medii zilnice ale radiatiei solare globale
in plan orizontal [kWh/m^2] in diferite localitati

localitatea	localitatea	localitatea			
Aidovscina	2,90	Pristina	4,00	Split	4,15
Belgrad	3,85	Sarajevo	3,60	Titograd	4,20
Budva	4,45	Skopje	4,00	Ulcini	4,40
Dubrovnik	4,30	Liubljana	2,80	Virset	3,75
Hvar	4,35	Nis	3,85	Zagreb	3,20
Ohrid	4,35	Novi Sad	3,80	Zrenianin	3,75

TABELUL 5.2

Valorile medii zilnice ale radiatiei solare globale
in plan orizontal pe luni [$\text{kWh}/\text{m}^2 \cdot \text{zil}$ si total [$\text{kWh}/\text{m}^2 \cdot \text{an}$]

luna	localitatea						
	Ljubljana	Zagreb	Novi Sad	Beograd	Split	Hvar	Dubrovnik
I	0,80	1,20	1,45	1,40	1,80	1,85	1,70
II	1,40	1,80	2,35	2,20	2,65	2,65	2,45
III	2,60	2,70	3,30	3,35	4,10	3,85	3,75
IV	3,80	4,05	4,65	4,85	5,20	5,35	5,30
V	4,75	5,05	5,80	6,00	6,25	6,50	6,55
VI	5,20	5,35	6,20	6,45	6,70	7,25	7,30
VII	5,50	5,70	6,35	6,75	7,00	7,45	7,85
VIII	4,70	5,05	5,75	6,00	6,20	6,60	7,00
IX	3,05	3,70	4,40	4,65	5,00	5,00	5,30
X	1,90	2,40	2,90	3,05	3,40	3,40	3,50
XI	0,90	1,30	1,45	1,60	2,00	1,95	2,00
XII	0,60	1,00	1,20	1,15	1,45	1,50	1,40
total kWh $\text{m}^2 \cdot \text{an}$	1072,0	1198,4	1395,9	1446,6	1577,3	1626,2	1649,5

TABELUL 5.3

Valorile medii lunare ale radiatiei solare globale
in plan inclinat 45° [kWh/m²] si anuale [kWh/m²·an]

luna	localitatea						
	Ljubljana	Zagreb	Novi Sad	Beograd	Split	Hvar	Dubrovnik
I	49,6	52,7	77,5	77,3	117,8	119,3	103,8
II	56,0	67,2	100,8	100,8	124,6	123,2	109,2
III	118,5	99,2	125,5	127,1	165,8	156,5	147,2
IV	133,5	127,5	141,0	147,0	186,0	165,5	165,0
V	133,5	141,0	159,6	162,7	175,1	179,8	179,8
VI	133,5	138,0	160,5	162,0	169,5	181,5	183,0
VII	150,3	161,2	175,1	172,0	196,0	198,4	209,1
VIII	144,1	156,5	172,0	172,0	189,1	133,9	212,3
IX	106,5	133,5	151,5	151,5	184,5	183,0	192,0
X	83,7	94,5	141,0	141,0	167,4	165,8	168,9
XI	42,0	45,0	88,5	88,5	120,0	112,5	115,5
XII	31,0	34,1	55,8	68,2	99,2	102,3	89,9
total kWh m ² ·an	1140,1	1250,4	1548,8	1570,3	1885,0	1886,5	1872,7

Fig.5.1 reprezinta energia medie zilnica a radiatiei solare in plan orizontal si vertical in Belgrad (cifrele din diagrama pentru planul vertical reprezinta energia totala lunara in MJ/m²).

Se observa ca in Belgrad suprafata orizontala receptioneaza de 4,3 ori mai putina energie in ianuarie decit in iulie. Aceasta este cea mai mare problema in ceea ce priveste posibilitatea de incalzire a caselor determinata de impasul dintre energia primita de la Soare si perioada de utilizare a acesteia.

Daca analizam insa energia receptionata de o suprafata verticala, ajungem la concluzia ca acest raport este mult mai avantajos, fiind 2,3 [8].

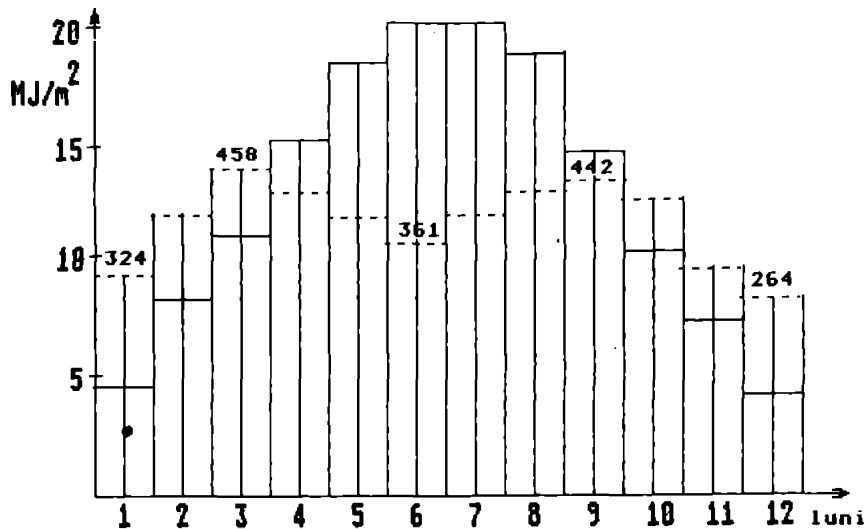


Fig.5.1

In fig.5.2 este reprezentata dependenta energiei receptionate pe o suprafata orientata spre sud, de unghiul de inclinare, in Belgrad.

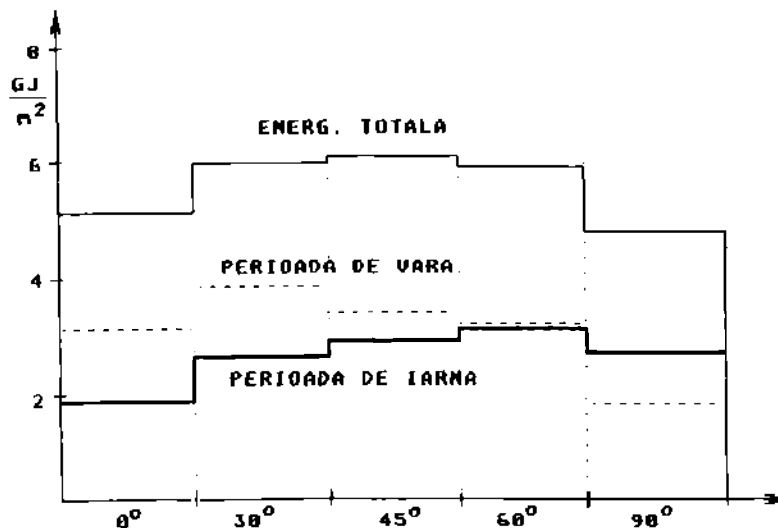


Fig.5.2

Consideratii meteorologice si de insolatie pe paralela
45°N in Romania si Iugoslavia

Masuratori sistematice efectuate in laboratoarele proprii ale catedrei de fizica de la UTT (Ro) cit si date de la statiile meteorologice din Timisoara (Ro) si Virset (YU) permit urmatoarea sistematizare pentru Virset, conform tabelului 5.4:

TABELUL 5.4

luna	$T_{med}/^{\circ}C$	Nr. ore insola- latie [h]	I [kJ/m ²]			$I_{G\ 0^{\circ}}$ [kWh m ² .zi]	$I_{G\ 45^{\circ}}$ [kWh m ² .L]
			I_{direct}	I_{difuz}	I_{global}		
I	-0,5	85	1978	3180	5158	1,4	77,5
II	1,3	106	3389	4853	8242	2,2	100,8
III	6,4	154	5899	6109	12008	3,35	127,1
IV	11,9	186	8159	8368	16527	4,85	147,0
V	16,7	226	10878	9247	20125	6,00	162,7
VI	20,0	270	13220	9834	23054	6,45	162
VII	22,1	301	14184	8870	23054	6,75	172
VIII	21,6	291	12720	7698	20418	6,00	172
IX	17,8	231	9875	6108	15983	4,65	151,5
X	12,5	193	6485	4644	11129	3,05	141,0
XI	6,7	89	2134	3263	5397	1,6	88,5
XII	2,0	59	1005	2761	3766	1,15	68,2
anual		2191				1337,7 kWh m ² .an	1570,3 kWh m ² .an

Fig.5.3 reprezinta variatia intensitatii radiatiei solare zilnice pentru lunile mai - septembrie in anii 1985 si 1988 cit si medie zilnica a intensitatii pentru lunile respective.

Se constata o deplasare a valorii maxime a intensitatii radiatiei solare in luna iulie 1985 intre orele 13-14, in rest alura curbelor este cea asteptata, intensitatea fiind maxima in iulie si minima in septembrie.

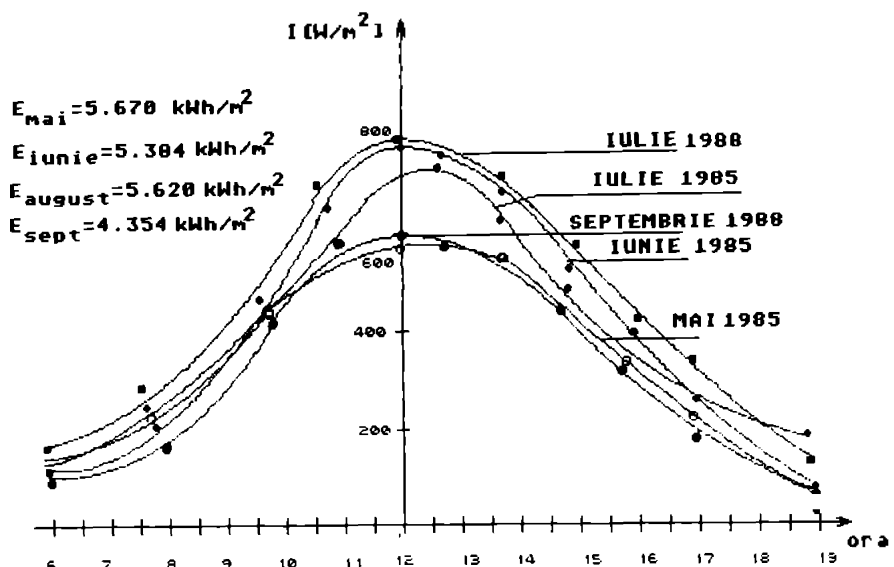


Fig.5.3

In Iugoslavia energia electrica se foloseste considerabil si la incalzirea locuintelor atit direct cit si prin sisteme de acumulare a energiei electrice [8].

Datorita decalajului dintre posibilitatile de productie si utilizare a energiei electrice:

- consideram realizabil ca o anumita cantitate din energia ce trebuie asigurata din surse diferite de energie conventionale, autohtone sau din import, sa fie obtinuta din energia solară stocată și utilizată sub forma de energie termică pentru climatizarea locuințelor cit și sub forma de energie electrică fotovoltaică în locuri izolate cu un număr considerabil de ore de insolatie în decursul unui an mai ales și datorita faptului că pretul de cost a energiei obținute din surse conventionale este în creștere datori-

ta echiparizarii acestora iar pretul de cost al instalatiilor si unitatilor producatoare de energie solara este intr-o descrestere pronuntata.

5.3 CASA, CA OBIECT ENERGETIC

Solutia optima a utilizarii energiei solare pentru incalzire ar fi captarea energiei solare fara echipamente auxiliare, utilizind insasi casa, ca si captator. Acest mod pasiv de utilizare a energiei solare pentru incalzirea caselor in ultimul timp atrage tot mai mult atentia specialistilor.

Cercetarile teoretice si experimentale referitoare la acest fel de incalzire, efectuate pe plan mondial in ultimii ani, demonstreaza ca procesele termice de incalzire-racire a caselor, fluxul termic, energia radianta, rolul geamurilor, rolul izolatiei termice, etc., nu au fost studiate minutios decit in ultimul timp. Cu toate ca aceste studii sunt in plin avint, rezultatele de pina acum sunt deja promitatoare [39].

In constructia caselor solare, inainte de utilizarea combustibililor fosili pentru incalzire, trebuie folosit la maximum ceea ce se poate obtine de la natura: Soarele pentru incalzire, Pamantul pentru izolatie si aerul pentru circulatie. Cu ajutorul tehnicii moderne, deci cu colectori solari pe acoperis, aceste surse solare, aproape ca sunt suficiente pentru necesitatile energetice ale unei astfel de case.

Casa trebuie sa fie indreptata spre sud. Geamurile sunt astfel montate ca sa poata fi captata radiatia solara pe timp de iarna, iar acoperisul si paravanele trebuie sa opreasca radiatia solara pe timp de vara. O parte integrala a casii o reprezinta veranda in sticla, cu perete masiv de caramida si un strat gros de piatra sub pardoseala. Piatra si caramida absorb caldura in timpul zilei, eliberind-o in timpul noptii. Deschizaturile - canalele in pereti cit si geamurile glisante asigura un debit necesar de aer, usurind incalzirea pe timp de iarna si racirea pe timp de vara.

In multe tari, exista proiecte de cercetare stiintifica, constructie si verificare a datelor referitoare la casele solare. Probabil ca in viitor acest fel de incalzire a caselor o sa fie preponderent.

Experientele de pînă acum arată că în felul acesta se utilizează eficace energia solară, dar și mai mult se îmbunătățește calitatea vieții, careia omul modern îi acordă o atenție tot mai mare. Aceasta casa, mai întii eliberează omul de grija pentru căldura. Peretii și pardoseala acestor case sunt calzi, ceea ce dă o stare de confort deosebită. În aceste case există soare și căldură suficiente pentru cultivarea florilor și fructelor pe timp de iarnă, deoarece frecvent aceste case au veranda în sticla.Dar mai presus de toate este sensatia de întoarcere a omului în natură prin insasi casa sa.

Sistemul pasiv de utilizare a energiei solare are un avantaj fundamental în raport cu sistemele active cu captatori.

In cazul sistemelor active radiatia solară se transformă în căldură în captatori, iar temperatura de lucru depinde de condițiiile meteorologice, și de calitatea captatorilor. Pe timp de iarnă, se obțin temperaturi ce ating valori pînă la 30°C . Cu micsorarea intensității radiatiei, practic aceste sisteme devin inutilizabile.

O imagine cu totul deosebită se obține în cazul în care radiația solară este captată în casa prin suprafete de sticlă. Soarele este izvorul radiatiei de temperatură ridicată (5800 K), acesta, conform legilor fizice de bază, prin radiație cedind energie tuturor corpurilor care se gasesc la o temperatură mai joasă decît aceasta. Deoarece încaperile în case sunt încalzite pînă la 20°C (297 K), acestea intotdeauna să absorbe radiatia solară, indiferent de intensitatea și felul acesteia. Dar și casa cedează temperatură în exterior mediului înconjurător, astfel că aportul net de energie în casa are să fie pozitiv atunci cînd puterea radiatiei solare este mai mare decît pierderile de energie [8].

De exemplu, prin geamurile duble se pierde aproximativ $3\text{ W/m}^2\text{K}$ astfel ca pierderile, la temperatura de -10°C , să fie de cca. 100 W/m^2 . Puterea radiatiei solare foarte rare în decursul zilei este mai mică decît aceasta valoare. Deci în cazul caselor care captează energie solară, se poate lua în considerare aportul energiei solare zilnic, acesta fiind avantajul sistemelor pasive față de sistemele active.

La proiectarea caselor solare se tîne cont de cîteva elemente:
- terenul cel mai potrivit, dacă este posibil pe colina îndreptată spre sud, scutit de vînt.

- casa trebuie să fie în umbra copacilor cu frunza căzătoare vara și expusa soarelui iarna. Încaperile principale, camera de

zi, sufrageria, bucataria, trebuie asezate spre sud, iar cele auxiliare (camara, garajul) spre nord. Casa trebuie asezata cu lungimea pe directia est-vest, astfel ca suprafata expusa soarelui sa fie mai mare.

5.4 BILANTUL ENERGETIC AL UNEI CASE FAMILIALE

Consideram o casa familiala cu etaj de suprafata utila 160 m^2 si dimensiuni $12 \times 8 \text{ m}$, caracteristica zonelor din jurul Belgradului. Presupunem ca a fost construita dupa ultimele prescriptii referitoare la izolatia termica.

Se pune problema: care este cantitatea de energie necesara de a mentine in toate incaperile casei, pe tot parcursul sezonului rece, o temperatura medie de 22°C .

Aceasta energie se poate calcula in cazul in care cunoastem toate elementele constructive ale acesteia - felul zidurilor, suprafetele geamurilor, izolatia acoperisului si a tavanului.

Presupunem ca satisface normele de izolatie termica, norme care definesc conductibilitatea termica, k , a unor part componente ale casei [8]. Astfel consideram:

TABELUL 5.5

k [$\text{W}/(\text{m K})$]	zid	tavan	pardoseala	fundatie	geamuri duble
0,8	0,6	0,6	0,5	3,0	

Explicam practic ce reprezinta aceste valori in cazul unui zid de $S = 10 \text{ m}^2$. In cazul in care in incaperi mentionem temperatura de $T = 22^\circ\text{C}$, iar in exterior avem $T_e = 0^\circ\text{C}$, atunci pierderile de energie intr-o secunda (deci puterea) va fi:

suprafata · diferența de temperatură · conductibilitatea
adică: $S(T_c - T_e) \cdot k = 10(22-0) \cdot 0,8 = 176 \text{ W}$

In 24 de ore prin acest zid o sa se piarda energia totala de:

$$176 \cdot 24 \cdot 3600 = 15.206.400 \text{ J} / 3,6 \cdot 10^6 = 4,224 \text{ kWh}$$

Astfel putem calcula pierderile totale ale casei. Obtinem urmatoarele valori pentru pierderi:

TABELUL 5.6

suprafata S [m^2]	$S_z = 200$	$S_g = 20$	$S_a = 100$	$S_f = 40$
K_p [W/K]	$K_z = 160$	$K_g = 60$	$K_a = 60$	$K_f = 20$

Trebuie adăugate pierderile la aerisire, schimb de aer necesar pentru introducerea oxigenului. Din experiența se consideră că aerisirea, schimbul de aer este necesar la două ore. Pierderile de energie datorate aerisirii-schimbului de aer, sunt:

$$\text{masa de aer} \cdot \text{caldura specifică} = M_a c_s$$

$$M_a = V\rho$$

V – volumul casei; ρ – densitatea aerului

Pierderile în decursul a două ore sunt:

$$V \cdot \rho \cdot c_s = 4000 \text{ m}^3 \cdot 1,2 \text{ kg/m}^3 \cdot 1,012 \text{ kJ/kgK} = 485 \text{ kJ/K}$$

Pierderile într-o secundă:

$$K_{sa} = \frac{485 \text{ kJ/K}}{2 \cdot 3600 \text{ s}} = 67 \text{ [W/K]}$$

Coefficientul total de pierderi termice K_t :

TABELUL 5.7

K_t [W/K]	K_z	K_g	K_a	K_f	K_{sa}	K_t
	160	60	60	20	67	367

Acest coefficient permite calculul energiei sau a puterii necesare pentru încalzirea casei. De exemplu la temperatura exterioară de $T_e = 0^\circ\text{C}$, pentru a menține temperatură interioară $T_i = 22^\circ\text{C}$ a casei, avem nevoie de o putere:

$$22 \cdot 367 = 8,074 \text{ W} = 8,074 \text{ kW}$$

Sistemele de încalzire în zona Belgradului se proiectează astfel că temperatura interioară T_i să poată fi menținută la 22°C la o temperatură exterioară $T_e = -16^\circ\text{C}$. În acest caz, puterea necesară pentru încalzire, este:

$$22 - (-16) \cdot 367 = (22 + 16) \cdot 367 = 14 \text{ kW}$$

În aceste condiții în decursul a 24 ore, casa ar cheltui $24 \cdot 14 = 336 \text{ kWh}$.

In calcule trebuie tinut cont de faptul că în casa, întotdeauna se produce căldura (rezidența locatarilor, folosirea unor aparate casnice: plita, aparat radio, TV, calculator) astfel ca se propune că valoarea temperaturii interioare să fie de 18°C .

Pierderile termice se calculează pentru fiecare luna. Pentru luna ianuarie cind temperatura medie zilnică la Belgrad este de $-0,5^\circ\text{C}$, energia pierderilor termice, este:

$$E_r = K_t (T_{casa} - T_{mediu}) (\text{număr secunde pe luna}) =$$

$$= 367(18 + 0,5) \cdot 31 \cdot 24 \cdot 3600 = 1,82 \cdot 10^{10} \text{ J} = 5051 \text{ kWh}$$

Energia necesara pentru intreg sezonul rece, pentru cazul analizat, este 22.781 kWh.

In luna ianuarie energia receptionata pe suprafata de 100 m² expusa normal radiatiei solare este 9830 kWh, fiind aproape dublul energiei necesare pentru incalzire in luna ianuarie (5051 kWh). Deci casa ar putea fi incalzita integral cu energie solara in cazul in care suprafata sudica, ar fi acoperita integral cu captatori de randament foarte bun (60 %). Aceasta solutie nu ar fi convenabila economic.

Studii stiintifice asupra sistemelor de captare si utilizare a energiei solare pentru incalzirea spatiilor locative arata ca un sistem solar de captare, poate fi tehnic si economic rational daca este proiectat in asa fel ca sa se acopere 50-75 % din necesitatile pentru incalzire.

CAPITOLUL 6 BAZA EXPERIMENTALA PENTRU STUDIUL STOCARII DE SCURTA SI MEDIE DURATA A CALDURII OBTINUTE PRIN TERMOCONVERSIA ENERGIEI SOLARE

6.1 ASPECTE GENERALE

Conversia energiei solare in energie termica se realizeaza in conditii economice avantajoase la temperaturi reduse de ordinul a $40\text{--}60^{\circ}\text{C}$ cu randamente globale acceptabile (0,4) obtinindu-se puteri medii utile in orele si zilele insorite de ordinul a $0,3\text{--}0,5 \text{ kW/m}^2$ [4].

Puterea termica necesara pentru incalzirea unei locuinte conventionale la temperatura exterioara minima de calcul (de exemplu -15°C pentru Timisoara) este de cca. 4 kW si in cazul incalzirii cu energie solară poate fi acoperita de cca. 15 m^2 suprafata de captare pentru o locuinta. De subliniat ca in timp ce aportul de energie termica obtinuta prin conversie solară depinde de gradul de insolatie necesarul de caldura al spatiilor incalziti depinde de temperatura exterioara si de conditiile starii vremii.

Insolarea cladirii micsoreaza necesarul de energie termica al spatiilor incalziti. Din cauza ca cele doua fenomene (aportul de energie obtinuta prin conversie si necesarul de caldura al cladirii), evolueaza dupa legi diferite, pentru a se mantine temperaturi interioare acceptabile sunt necesare sisteme de stocare si surse suplimentare pentru completarea necesitatilor termice, atunci cind sistemele de stocare nu sunt satisfacatoare.

Investitiile determinate de utilizarea energiei solare pentru incalzire sunt mari. Pina la declansarea crizei petrolului in anul 1973 incalzirea cu energie solară se realiza cu total intimplator doar in tari cu multe ore de insorire in sezonul rece. Chiar si incalzirea solara pasiva era ignorata din cauza unor probleme de estetica, din cauza complicatiilor tehnologice si chiar din cauza inertiei proiectantilor. In momentul in care pretul petrolului a crescut, argumentele s-au modificat in favoarea energiei solare.

Cercetarile sistematice care se efectueaza in aceasta directie sporesc continuu competitivitatea sistemului. Literatura de specialitate cuprinde tot mai multe date referitor la particularitatile conversiei termosolare si la utilizarea ei pentru incalzirea locuintelor.

Necesitatile energetice pentru producerea apoi calde menajere reprezinta doar 20-30 procente din necesarul energetic al consumului casnic. Ponderea mare o reprezinta consumul pentru incalzirea locuintelor in sezonul rece, adica tocmai in perioada in care insolarea este minima si temperatura exteriora este scazuta. Din cauza contradictiilor foarte mari existente intre oferta de energie solară si necesarul de energie termica din sezonul cald si din sezonul rece, in cercetarile care se efectueaza, un rol primordial il are determinarea dimensiunii si tipului acumulatorului. Alegera corecta a dimensiunii acumulatorului, din cauza caracterului aleator al procesului de insolare cit si din cauza numarului mic de ore de insorire din sezonul rece, este esentiala. Cu cit acumulatorul de stocaj este mai mare, cu atit necesarul de energie suplimentara preluata de la sursa auxiliara se micsoreaza, in schimb, cresc investitiile.

In cazul regiunilor situate pe paralela 45° in sezoanele de trecere primavara si toamna, exista un numar important de zile insorite, dar in acelasi timp temperatura coboara in timpul noptii, adesea sub $+10^{\circ}\text{C}$ creind un disconfort termic.

Se pune astfel problema climatizarii locuintelor folosind energia solară stocata in zilele cu insolatie utilizind in acest scop bazine cu roci dure, fiabile in exploatare si care nu necesita investitii prea mari.

6.2 DESCRIEREA LABORATORULUI EXPERIMENTAL

In cadrul Universitatii Tehnice Timisoara a fost realizat un laborator solar experimental de tip "Casa Solară", unic in Romania prezentat in figurile urmatoare:

- fig.6.1 reprezinta aspectul exterior al casei solare avind la subsol sistemele de acumulare a energiei solare, la parter blocul de comanda, iar la etaj blocul pentru dissiparea caldurii.
- fig.6.2 reprezinta blocul de captare a energiei solare alcătuit din 12 captatori solari tip SADU

Laboratorul solar experimental, este un laborator de incarcare-descarcare-descarcare rapida, in care se poate studia:

- conversia energiei solare in energie termica
- stocarea energiei termice
- incalzirea incapcerilor cu ajutorul energiei solare stocate
- descarcarea rapida a acumulatorului



Fig.6.1.



Fig.6.2.

Laboratorul solar, pentru o exploatare usoara, a fost proiectat pe blocuri independente conform schemei bloc din fig.6.3 [35]:

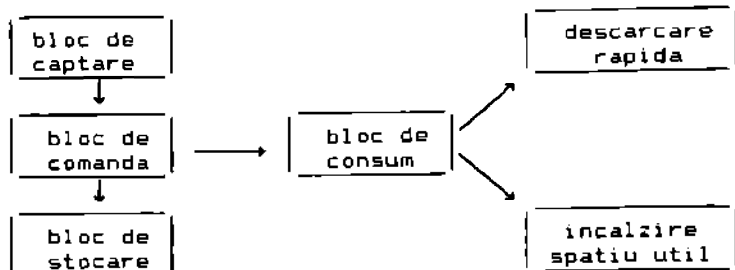


Fig.6.3 Schema bloc a instalatiei experimentale

Blocul de captare este proiectat pentru transformarea energiei solare in energie termica, energie ce este transimisa agentului de lucru (apa de racire sau lichid antigel). Blocul este alcătuit din 12 captatori solari tip SADU montati in baterie si echipati cu sistem de modificare a inclinarii pentru ca in acest fel statia sa poata fi utilizata in tot timpul anului. Unghiul de inclinare este (30-45)°.

Blocul de comanda montat la parterul statiei experimentale contine:

- aparataj de control si comanda
- instalatii electrice
- schimbatorul de caldura
- pompe de circulatie
- colectoare, distribuitoare
- instalatia de incalzire cu aer cald
- instalatia de descarcare rapida
- accesorii pentru functionarea instalatiei experimentale

Blocul de stocare contine sistemul de stocare in roci dure, realizat in subsolul statiei experimentale si poate fi umplut cu piatra de diverse granulometrii. Rezervorul este prevazut cu un sistem de canale prin care aerul poate strabate masa de piatra pentru incalzirea acesteia in perioada de stocaj si pentru preluarea caldurii in perioada de cedare. In exteriorul rezervorului metalic pentru stocarea in piatra a fost montata o izolatie suplimentara de vata minerala avind $\delta = 0,30$ m. Subsolul impreuna cu fundatia cladirii au fost hidroizolate deoarece pinza de apa freatica depaseste cota de nivel minim al constructiei.

SECTIUNEA A-A(sc 1:50)

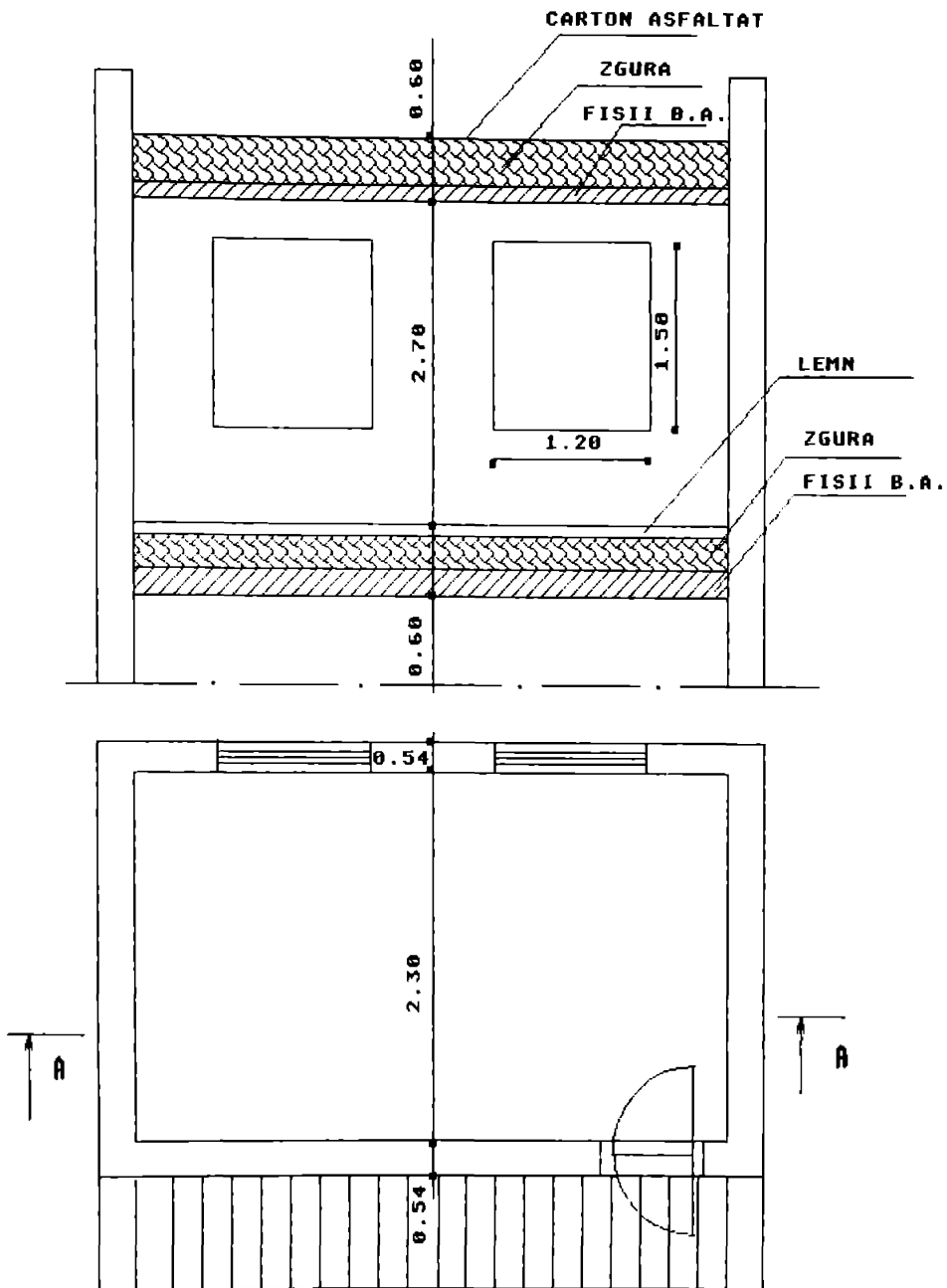


Fig. 6.4

Blocul pentru disiparea caldurii este alcătuit dintr-o incaperie în interiorul careia se introduce energia termică stocată în asa fel încât să se mențină temperatura constantă de +18°C. Încăperea este bine izolată pentru ca pierderile termice să fie minime fiind numita "incinta de pierderi minime". Detaliile constructive ale încăperii sunt date în figura 6.4.

Blocul pentru disiparea caldurii a fost conceput în forma unei încăperi de dimensiuni $3,5 \times 3,5 \times 2,8$ m = $34,3 \text{ m}^3$ situat la etajul statiei experimentale, avind trei pereti exteriori dintre care doi pereti fără ferestre și uși și un perete cu două ferestre triple.

Peretele interior are o ușă dublă și face legătura cu coridorul de acces. Peretii laterală și tavanul au fost realizati din caramida de 25 cm, respectiv fizii BCA pe care a fost montat un strat termoizolant interior de 15 cm prin care s-a realizat un coeficient de transfer $k = 0,32 \text{ kcal/m}^2\text{h}^{-1}\text{C}$, și panou de lemn avind grosimea de 2 cm.

Pardoseala a fost executata din fizii de beton armat pe care a fost pozată o termoizolatie din zgura obtinindu-se un coeficient de transfer $k = 0,68 \text{ kcal/m}^2\text{h}^{-1}\text{C}$. Spatiul de disipare are pierderi termice nominale de 819,1 kcal/h la o temperatura nominală de calcul pentru Timisoara de -15°C; acesteia îi corespunde o putere medie de 566,5 kcal/h la temperatura medie din sezonul de încalzire de +3 °C daca temperatura din spatiul incalzit este de +18°C. Spatiul de disipare a caldurii realizeaza prin solutiile alese pierderi termice minime.

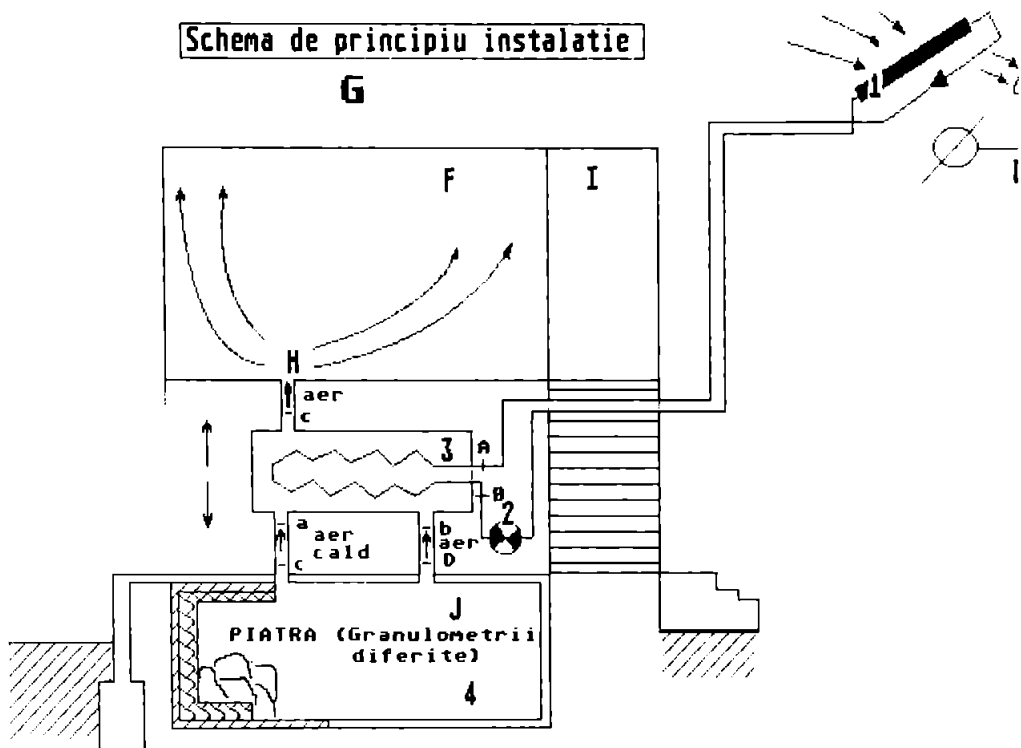
In cadrul laboratorului experimental exista un coridor de acces prin care se face comunicarea intre blocurile de captare, comanda si stocare a energiei. Prin aceasta se asigura functionabilitatea intregului sistem. In cladirea statiei a fost realizata instalatie electrica de forta necesara alimentarii motoarelor electrice de antrenare a pompelor si ventilatoarelor, instalatia de masura si de iluminat, fiind prevazut un tablou electric trifazat cu echipamentele de protectie si comanda necesare.

Pentru alimentarea cu apa a instalatiilor a fost prevazut un racord la instalatia de apa rece din incinta, cu ajutorul careia se compenseaza pierderile de apa din sistem.

Prezentam schema de principiu si si datele tehnice ale instalatiei in fig.6.5.

Schema de principiu instalatie

G



A : temperatura apa calda de la captatori

B : temperatura apa ceiese din schimbator

C : temperatura aer cald din schimbator

D : temperatura aer la intrarea in schimbator

F : temperatura camera

G : temperatura exteriora

H : temperatura aer in statia de disipare

I : temperatura corridor

J : temperatura in bazinul cu piatra

Fig.6.5 Schema de principiu a instalatiei

Datéle tehnice ale instalatiei sint:

- captatorii solari notati cu (1) pe figura 6.5 sint de tip SADU numarul lor este 12, avind suprafata totala $S = 24 \text{ m}^2$. Captatorii sunt orientati spre Sud, unghiul de pozare fiind de 45° . Fluidul termopurtator este apa, debitul fiind $m'_v = 0,15 \text{ m}^3/\text{h}$.

- pompa (2), asigura circulatia apei din captatori si prin schimbatorul de caldura (3).

Schimbatorul de caldura (3) cuprinde o serpentina si o suflanta. Apa cedeaza caldura aerului care curge cu debitul $m''_v = 1500 \text{ m}^3/\text{h}$ spre bazinul cu piatra (4). Aceasta suflanta cind este necesar impinge aerul prin bazin inspre camera de disipare prin duza H, cu debitul $m'''_v = 860 \text{ m}^3/\text{h}$.

Schimbatorul de caldura introdus ca element pentru studiu nu este necesar in cazul instalatiilor casnice in care caz apa calda din captatoarele solare poate circula prin serpentina trecuta printre piesele bazinului de stocare, cedind astfel direct caldura. In ceea ce priveste incalzirea locuintei, aerul cald va patrunde din bazin in incapere printre-un sistem de duze convenabil repartizate, care atunci cind este cazul pot fi inchise.

Eliminarea schimbatorului de caldura ca si a camerei tehnice situate intre bazinul de stocare si incaperea de locuit imbunataste atit eficienta sistemului - fiind eliminata o veriga, - cit si reduce costul investitiei, fapt deosebit de important pentru utilizator.

In punctele a, b, c din fig.6.5 sunt montate diafragme care asigura sensul de curgere al aerului:

- a si b deschise, c, inchisa, aerul preia caldura si patrunde in bazin unde o cedeaza pietrei.

- b si c deschise, a, inchisa aerul rece patrunde in bazin si preia caldura pe care o transporta spre camera de disipare.

Temperatura a fost masurata in punctele A, B, C, D, F, G, H, I, J si a fost notata cu t_A , t_B , ...

Termometrele montate in aceste puncte indica:

- A, temperatura apei calde care vine de la captatori
- B, temperatura apei ceiese din schimbator unde a cedat caldura aerului.
- C, temperatura aerului cald careiese din schimbator
- D, temperatura aerului la intrarea in schimbator
- F, temperatura in camera
- G, temperatura exterioara

- H, temperatura aerului ce patrunde in statia de dissipare si asigura climatizarea
- I, temperatura pe corridor
- J, temperatura in bazinul cu piatra

In vederea functionarii automate a pompei utilizate pentru circulatia apei din sistem si a ventilatorului pentru refularea aerului cald am realizat o schema de actionare automatizata cu comanda realizata prin termorezistenta montata in panoul solar.

6.3 DIMENSIONAREA LABORATORULUI

- Blocul de captare. Se considera urmatoarele date initiale:
 - functionarea instalatiei de incarcare pe parcursul unui an se apreciaza la $n_1 = 1500$ h/an
 - energia incidenta medie $I = 600 \text{ kcal/m}^2\text{h} \approx 700 \text{ [W/m}^2]$
 - randamentul de functionare $\eta = 0,35$
 - numarul suprafetelor unitare de captare (numarul captatorilor solari) $n_2 = 24$
 - energia anuala captata

$$E = n_1 \cdot n_2 \cdot I \cdot \eta \cdot 10^{-6} \quad [\text{Gcal/an}]$$

$$E = 1500 \cdot 24 \cdot 600 \cdot 0,35 \cdot 10^{-6} = 4,536 \quad [\text{Gcal/an}]$$
- Blocul de stocare in piatra.
 - ecartul termic: 25°C
 - densitatea pietrei $\rho = 2100 \text{ kg/m}^3$
 - caldura specifica $c = 0,21 \text{ Gcal/m}^3$
 - energia stocata in piatra

$$E_{\text{stoc}} = \rho \cdot c \cdot V \cdot \Delta t = 2100 \cdot 0,21 \cdot 10 \cdot 25 = 0,11 \text{ Gcal/ciclu} =$$

$$= 2100 \cdot 0,21 \cdot 4,18 \cdot 10^6 \cdot 10 \cdot 25 = 0,462 \cdot 10^9 \quad \text{J/ciclu}$$
- Blocul de dissipare (de consum).
 - suprafata laterala $S_L = (3,6+3)2 \cdot 2,8 + 3,6 \cdot 3 = 47,76 \text{ m}^2$
 - volumul incintei de pierderi minime $V = 3,6 \cdot 3 \cdot 2,8 = 30,24 \text{ m}^3$
 - coeficientul mediu de pierderi termice

$$k_{\text{med}} = 0,64 \text{ kcal/m}^2\text{h}^\circ\text{C}$$

$$= \frac{0,64 \cdot 10^3 \cdot 4,18}{3600} \cdot [\text{J/m}^2\text{s.grd}] = 0,74 \text{ [W/m}^2\text{grd}]$$

Se considera temperatura medie exterioara din sezonul rece de $+3^\circ\text{C}$ si temperatura interioara de $+10^\circ\text{C}$ ($\Delta t = 15^\circ\text{C}$).

Caldura pierduta va fi:

$$Q_{TR} = k_{med} \cdot S_L \cdot \Delta t^0 = 0,64 \cdot 47,76 \cdot 15 = 458,5 \text{ [kcal/h]}$$

Acestei cantitati de caldura,pentru determinarea pierderilor termice ce trebuie compensate,i se mai adauga un termen a carui valoare depinde de valoarea medie a vintului si de ecartul termic. Pentru datele din regiune s-a obtinut valoarea:

$$Q_i = L \cdot i \cdot v^{4/3} \cdot T = 108 \text{ [kcal/h]}$$

Deci, pierderile termice ce trebuie compensate vor fi:

$$Q_{tot} = Q_{TR} + Q_i = 458,5 + 108 = 566,5 \text{ [kcal/h]}$$

Energia medie lunara necesara considerind un randament de cedare al instalatiei de $\eta = 0,8$:

$$E_1 = \frac{Q_{tot} \cdot 24 \cdot 30 \cdot 10^6}{\eta} = \frac{566,5 \cdot 24 \cdot 30 \cdot 10^6}{0,8} = 0,51 \text{ [Gcal/luna]}$$

Possibilitatile de acoperire a necesarului de energie al incintei pentru un randament global $\eta = 0,75$ vor fi:

$$n_p = \eta \cdot \frac{E_1}{E_{pi}} = 0,75 \cdot \frac{0,51}{0,51} = 0,16 \text{ luni sau cca. 5 zile}$$

Numarul de cicluri anuale de incarcare a acumulatorului pentru stocajul in piatra:

$$n_c = \frac{E_1}{E_{pi}} = \frac{4536 \cdot 0,75}{0,11} = 30 \text{ [cicluri/an]}$$

6.4 ANALIZA CALITATILOR TERMICE ALE CAMEREI DE DISIPARE

Pierderile de caldura ale camerei de disipare au fost stabilite conform standardului romanesc STAS 1907-82 considerindu-se efectul schimbului global al masivitatii caldurii al pierderilor prin incalzirea aerului infiltrat, al efectului peretilor reci, al pierderilor de contur prin conductie spre pinza de apa freatica, al efectului orientarii spre Soare [34].

Coeficientul pierderilor termice al peretilor se calculeaza:

$$K = \frac{1}{\frac{1}{a_i} + \frac{1}{a_e} + \sum \frac{d_i}{\lambda_i}} \quad (6.1)$$

unde: d - grosime

λ - conductivitate

a_i - coeficient de schimb pe fata interioara $\lambda_i = 9,6 \text{ W/m}^2 \cdot {}^\circ\text{C}$ [35]

a_e - coeficient de schimb pe fata exteriora $\lambda_e = 14,5 \text{ W/m}^2 \cdot {}^\circ\text{C}$ [35]

In tab.6.1 dam valorile coeficientilor si suprafata peretilor:

TABELUL 6.1

	K [W/m ² ·°C]	S [m ²]
perete	K_p	0,36
pardoseala	K_{pd}	0,57
tavan	K_t	0,59
usa	K_u	2,21
fereastra	K_f	1,70

Coefficientul mediu K_{med} al pierderilor termice este [33]:

$$K_{med} = \frac{\sum K_i \cdot S_i}{\sum S_i} \quad (6.2)$$

Pentru camera de disipare, cu valorile mentionate anterior a rezultat un coefficient mediu de pierderi termice:

$$K_{med} = 0,58 \quad [\text{W}/\text{m}^2 \cdot ^\circ\text{C}] \quad (6.3)$$

Bilantul termic al incaperii este descris prin:

$$Q = \sum S_i \cdot K_i \cdot \Delta T + Q' \quad (6.4)$$

unde: Q - caldura cedata camerei fie de un sistem clasic de incalzire, fie de catre curentul de aer ce patrunde in camera, din bazinul de stocare

Q' - in functie de semn, semnifica:

- semnul (+) indica pierderi de caldura datorita infiltratiilor de aer rece, a inertiei termice a cladirii
- semnul (-) indica un surplus de energie calorica datorat radiatiei solare

$\sum K_i S_i \Delta T$ - caldura cedata prin transmisie de catre suprafetele ce delimitaaza incinta avind forma:

$$\begin{aligned} \sum K_i S_i \Delta T = & (K_p \cdot S_{p_e} + K_T \cdot S_T + K_F \cdot S_F) \cdot (t_i - t_e) + \\ & + (K_{p_d} \cdot S_{p_d}) \cdot (t_i - t_j) + (K_p \cdot S_{p_i} + K_u \cdot S_u) \cdot (t_i - t_c) \end{aligned} \quad (6.5)$$

cu - suprafata: S_{p_e} pereti exteriori

S_{p_i} pereti interiori

- temperatura: t_i - interioara

t_e - exterioara

t_j - in camera de jos

t_c - in coridor

Din valorile precizate se obtine:

$$\sum S_i K_i \Delta T = 18,3 \cdot \Delta t_e + 5,58 \cdot \Delta t_j + 7,1 \cdot \Delta t_c \quad [W] \quad (6.6)$$

Prezentam in tabelul 6.2 un exemplu de calcul pentru diferite valori ale temperaturii:

TABELUL 6.2

t_i [°C]	t_e [°C]	t_j [°C]	t_c [°C]	$\sum S_i K_i \Delta T^o$ [W]
18	10	15	12	205,74
18	5	12	10	328,10
18	0	10	8	445,04
18	-5	8	0	476,70
18	-10	4	-5	753,82

6.5 EXPERIMENTARI IN REGIM DINAMIC

6.5.1 CALCULUL ENERGIEI INCIDENTE PE CAPTATOR

Masuratori asupra functionarii instalatiei solare cu care este echipata "Casa Solară" au fost efectuate in intervalul 1987-1991. In acest sens am efectuat masuratori asupra intensitatii radiatiei solare, a debitului de apa si a temperaturii in punctele precizate anterior. In baza masuratorilor au fost evaluate:

- puterea incidenta pe captator
- caldura furnizata de captator
- caldura preluata de aer in schimbator
- caldura furnizata statiei de disipare

Energia incidenta pe captator a fost calculata din:

- intensitatea radiatiei solare masurata cu albedometrul stationar "Solaris 2" in plan orizontal
- evolutia intensitatii radiatiei solare in planul captatorului calculata cu relatia [4]:

$$I = \frac{I_0}{\sin h} \cdot \cos H \cdot \cos (\alpha - h) \quad (6.7)$$

unde: I_0 - intensitatea radiatiei in plan orizontal

h - unghi de inaltime a soarelui

h' - distanta zenitala a soarelui

$h+h' = \pi/2$

H - unghi orar al soarelui (lateral directie sud)

α - unghi de pozare al captatorului

In fig.6.6 este reprezentata evolutia intensitatii radiatiei solare pentru zilele 10.09.'91 si 11.09.'91, zile in care au fost efectuate masuratori, iar in tabelul 6.3 sunt date valorile intensitatii, puterea incidenta orara si zilnica pentru aceleasi zile.

In fig.6.7 este reprezentata evolutia puterii incidente \dot{Q}_i , avind un maxim de 22,8 kW la ora 14,00 si evolutia puterii furnizate de captator \dot{Q}_{AB} avand un maxim de 7,4 kW plasat intre orele 14,00 - 15,00.

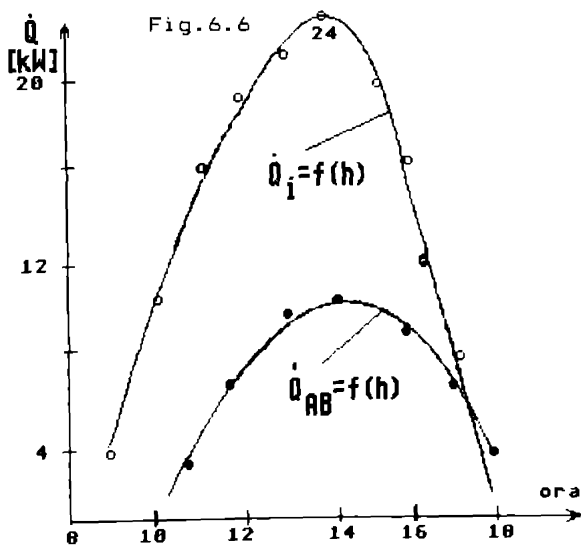
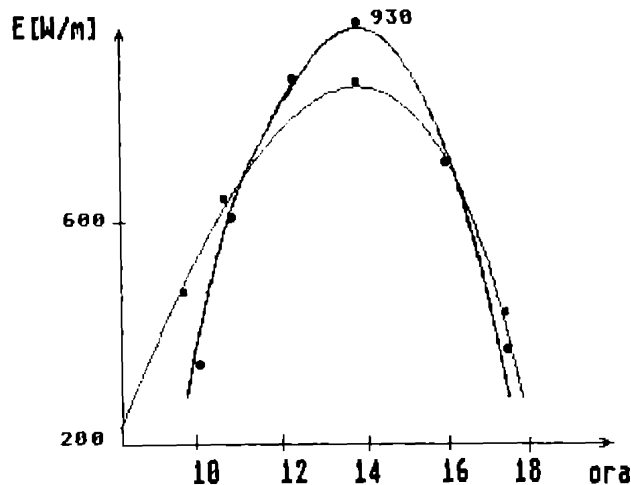


Fig.6.7

TABELUL 6.3

10.09. '91 ora	I [W/m ²]	\dot{Q}_i [kW]	\dot{Q}_i [MJ/h]	\dot{Q}_i [MJ/zii]
9	192	4,6	16,5	
10	408	9,8	35,3	
11	685	16,4	59,1	
12	821	19,7	70,9	
13	920	22,1	79,6	482,9
14	950	22,8	82,1	
15	741	17,8	64,1	
16	544	13,1	47,2	
17	335	7,8	28,1	
18	101	2,4		
11.09. '91				
9	278	6,7	24,1	
10	484	11,6	41,8	
11	629	15,1	54,4	
12	785	18,8	67,7	
13	898	21,5	77,4	488,9
14	930	22,3	80,3	
15	760	18,2	65,5	
16	559	13,4	41,2	
17	343	8,2	29,5	
18	44	1,1		

Puterea incidenta s-a calculat cu

$$\dot{Q}_i = I \cdot S \quad (6.8)$$

cu $S = 24 \text{ m}^2$, suprafața de captare

Prin înmulțirea lui \dot{Q}_i cu 3600 s-a obținut caldura incidentă orară notată cu \dot{Q}_i .

Energia incidentă pe captator pe durata zilei a fost obținută însumind valorile \dot{Q}_i . Se remarcă valorile de 482,9 MJ respectiv 488,9 MJ pentru zilele analizate.

Puterea furnizată de captator s-a calculat cu:

$$\dot{Q}_{AB} = \dot{m} \cdot c \cdot \Delta t \quad (6.9)$$

cu: \dot{m} - debit masic

c - caldura specifică

$\Delta t = t_A - t_B$, variația temperaturii apei între intrarea și ieșirea din captator. Variația temperaturii t_A , t_B și exterioare t_G este data pe figura 6.8, iar evoluția diferenței Δt pe figura 6.9.

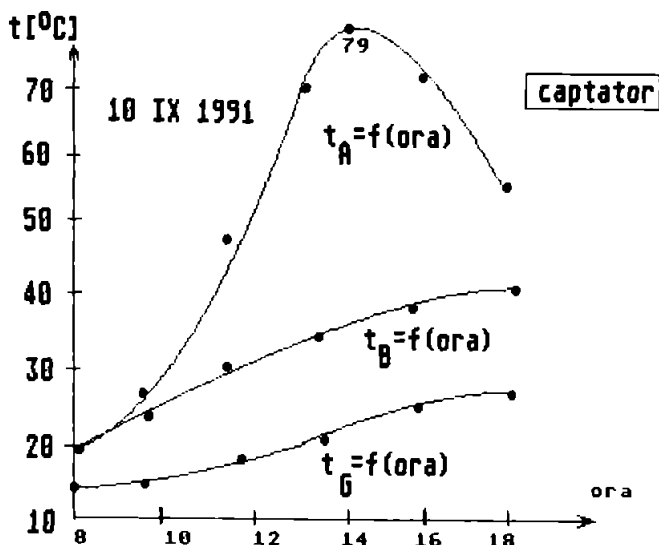


Fig.6.8

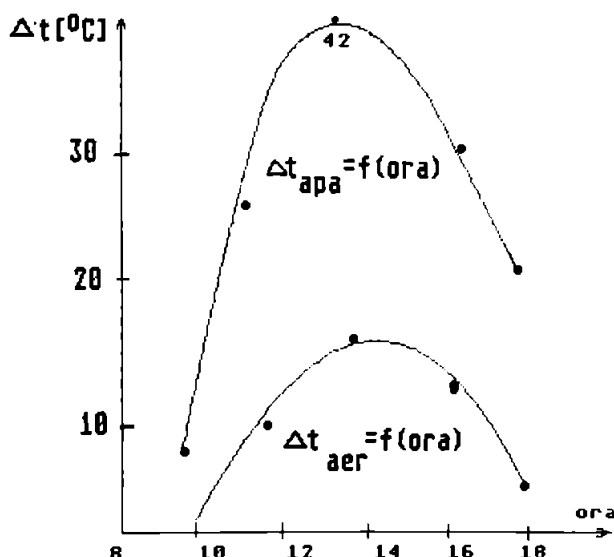


Fig.6.9

Pe tabelul 6.4 se prezinta pentru zilele 10.09.1991 si 11.09.1991 valorile marimilor t_A , t_B , Δt , \dot{Q}_{AB} . Prin inmultirea lui \dot{Q}_{AB} cu 3600 se obtine caldura furnizata pe durata unei ore, iar insu-mind valorile \dot{Q}'_{AB} rezulta caldura utila \dot{Q}_{AB} pe durata fiecarei zile in parte. Se remarcă valorile caldurii utile $\dot{Q}'_{AB} = 149,9 \text{ MJ/zi}$ pentru 10.09.1991, respectiv $\dot{Q}'_{AB} = 141,5 \text{ MJ/zi}$ pentru 11.09.1991.

TABELUL 6.4

10.09.'91 ora	t_A	t_B	Δt	\dot{Q}_{AB} [kW]	\dot{Q}_{AB} [MJ/h]	\dot{Q}_{AB} [MJ/zii]	η	η_{zi}
9	24	24	0					
10	32	25	7	1,2	4,4		0,12	
11	47	30	17	2,9	10,8		0,18	
12	62	32	30	5,3	18,9		0,27	
13	71	34	37	6,5	23,4		0,29	
14	79	37	42	7,4	26,6	149,9	0,32	0,34
15	76	37	39	6,9	24,7		0,39	
16	72	38	34	5,9	21,5		0,45	
17	67	36	31	5,5	19,6		0,70	
18	55	36	19	3,3				
11.09.'91								
9	24	24	0					
10	38	28	10	1,8	6,5		0,16	
11	50	31	19	3,3	10,9		0,22	
12	60	33	27	4,2	15,9		0,25	
13	64	34	30	5,3	18,9		0,25	
14	78	37	41	7,2	25,9	141,5	0,33	0,33
15	73	37	36	6,3	22,7		0,35	
16	70	38	32	5,6	20,1		0,42	
17	66	37	29	5,1	18,3		0,62	
18	58	36	22	3,9				

Cu ajutorul celor prezентate anterior se poate calcula eficiența captatoarelor și a schimbatorului de caldura.

Randamentul termoconversiei s-a calculat cu:

$$\eta = \frac{\dot{Q}_{AB}}{\dot{Q}_i} \quad (4)$$

pentru valorile momentane, respectiv cu:

$$\eta = \frac{\dot{Q}_{AB}}{\dot{Q}_i} \quad (5)$$

pentru valorile zilnice. Se remarcă valorile randamentului $\eta=0,34$ pentru 10.09.'91, respectiv $\eta=0,33$ pentru 11.09.'91.

Prin serpentina schimbatorului de caldura circula apă care se raceste de la t_A la t_B cedind caldura $\dot{m} \cdot c(t_A - t_B)$. Aerul care scalda serpentina se incalzește de la t_D la t_C absorbind caldura:

$$\dot{Q}_{CD} = \dot{m}_{aer} \cdot c_{aer} (t_C - t_D) \quad (6)$$

Pentru tabelul 6.5 se prezintă valorile t_C , t_D , $\Delta t_{aer} = t_C - t_D$, caldura preluată de aer intr-o ora \dot{Q}_{CD} , înmulțind caldura \dot{Q}_{CD} cu 3600, caldura preluată de aer în decursul zilelor analizate însumind termenii \dot{Q}_{CD} , și rândamentul de preluare a caldurii de către aer calculata cu:

$$\eta_{CD} = \frac{\dot{Q}_{AB}}{\dot{Q}_{CD}} \quad (7)$$

TABELUL 6.5

10.09.'91 ora	t_C	t_D	Δt	\dot{Q}_{CD} [kW]	\dot{Q}_{CD} [MJ/h]	\dot{Q}_{CD} [MJ/zi]	η_{CD}
10	26	24	2	1,1	3,9		
11	30	28	5	2,6	9,9		
12	34	25	9	4,9	17,9		
13	36	25	11	6,1	21,9		
14	39	26	13	7,2	25,9		
15	37	26	11	6,1	21,9		
16	36	26	10	5,6	19,9		
17	35	26	9	4,9	17,9		
18	33	27	6	3,3			
11.09. '91						139,2	0,93
10	28	25	3	1,7	5,9		
11	31	25	6	3,3	11,9		
12	33	25	8	4,4	15,9		
13	34	26	8	4,4	15,9		
14	36	26	10	5,5	19,9		
15	37	26	11	6,1	21,9		
16	37	27	10	5,5	19,9		
17	36	27	9	4,9	17,9		
18	36	28	8	4,4			
						131,2	0,91

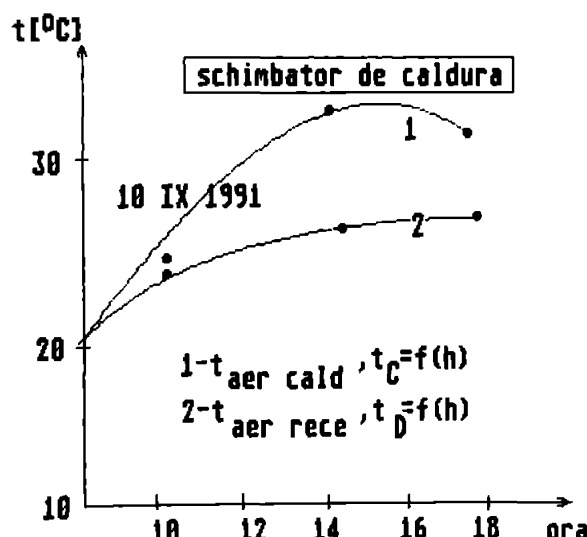


Fig.6.10

In figura 6.10 se prezinta aspectul grafic al dependentei $t_C = f(h)$ si $t_D = f(h)$.

Analiza curbelor din fig.6.9 si fig.6.10 cit si a tab.6.5 indica faptul ca aerul se incalzeste cu cel mult 13°C , preia o putere maxima de $7,2\text{ kW}$ si transporta spre bazin pe durata zilei $\sim 134\text{ MJ}$

6.5.2 STUDIUL BAZINULUI DE STOCARE (B.S)

Se stie ca in orice instalatie complexa randamentul global este produsul randamentelor individuale ceea ce conduce la valori foarte mici daca instalatia este extrem de complicata si partile componente nu pot atinge randamente inalte fie din alte motive principale - cum ar fi cel impus de Principiul al II-lea al termo-dinamicii-fie din motive tehnologice. Acest fapt impune studierea fiecarui element in parte atit pentru a-i determina performantele in ansamblul instalatiei cit si pentru a-i gasi formele de perfectionare care sa conduca la realizarea de randamente superioare.

In cazul instalatiilor de captare-conversie, stocare si utilizare a energiei solare, bazinele de stocare au un rol insemnat conducind la pierderi mari, sau dimpotrivă putind sa aduca beneficii insemnante celor care a facut investitia respectiva.

Primul element pe care trebuie sa-l analizam este cel relativ la dimensiunile lui intrucit caldura stocata depinde de cantitatea de material, adica de volumul bazinei, iar pierderile depend de suprafata totala a bazinei [9]:

$$Q_{st} = m \cdot c \cdot \Delta t^{\circ} \quad (6.14)$$

$$Q_p = K \cdot S (t_{int}^{\circ} - t_{ext}^{\circ}) \quad (6.15)$$

Ne-am propus in cele ce urmeaza o analiza a acestor elemente pentru un rezervor cubic calculindu-se volumul si suprafetele laterale precum si raportul acestor valori pentru laturi cuprinse intre 1-10 m. Rezultatele le prezentam in tab.6.6 si fig.6.11.

TABELUL 6.6

$l [m]$	$V=l^3 [m^3]$	$S = l^2 \times 6 [m^2]$	$S/V [m^{-1}]$
1	1	6	6
2	8	24	3
3	27	54	2
4	64	96	1,5
5	125	150	1,2
6	216	216	1
7	343	294	0,8
8	512	384	0,7
9	729	486	0,6
10	1000	600	0,6

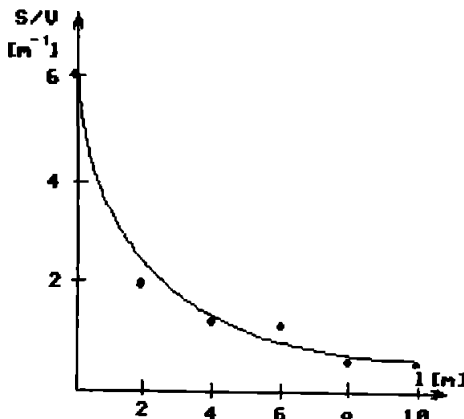


Fig.6.11

In cazul nostru BS a fost realizat pentru incalzirea unei singure incinte, astfel ca acesta nu se situeaza la cele mai bune performante, raportul S/V avind valoarea aproximativ 2.

Cercetarile efectuate pe plan mondial atesta valoarea de stocare extrem de avantajoasa a unor bazine cu roca dura la care, datorita raportului convenabil S/V nu mai este necesara izolatia depozitului de caldura.

In cazul nostru BS a fost izolat cu beton, cu inca un strat izolant fiind asigurat impotriva infiltratiilor de apa freatica.

In vederea stabilirii caracteristicilor fizice generale ale BS studiat, stiut fiind ca pierderile de caldura se realizeaza in principal prin conductie si convectie, s-a realizat o incarcare termica pina la temperatura maxima de 59°C dupa care in lunile octombrie si noiembrie s-a urmarit scaderea temperaturii medii din bazin. In aceasta perioada temperatura in pamant la adincimea bazinului s-a mentinut la 17 °C [35].

Curba de racire, prezentata in fig.6.12, a permis atit determinarea coeficientului global de reducere a temperaturii k cit si valoarea sa relativa, prezentate in fig.6.13 plecind de la relatia:

$$\frac{dt^0}{t^0} = -k \cdot dz, \quad \text{adica} \quad t^{(0)} = t_0^{(0)} \cdot e^{-kz} \quad (6.16)$$

$$k = -\frac{\Delta t^0}{t^0 \Delta z} \quad (6.17)$$

unde prin "z" s-a notat numarul de zile. Intervalul $\Delta z = 5$ zile a permis calculele pe care le prezentam in tabelul 6.7

Aşa cum se vede la dimensiuni ale bazinului mai mari decit $6 \times 6 \times 6$ m raportul S/V devine sub-unitar, lucru deosebit de convenabil. Dimensiunea bazinului de stocare de- pinde de cantitatea de caldura necesara a fi stocata cit si de dimen- suniile cladirii ce va utiliza aceasta caldura la climatizare, la o casa de dimensiuni standard, raportul fiind convenabil

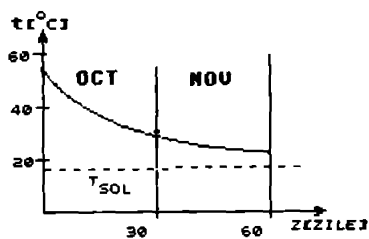


Fig. 6.12

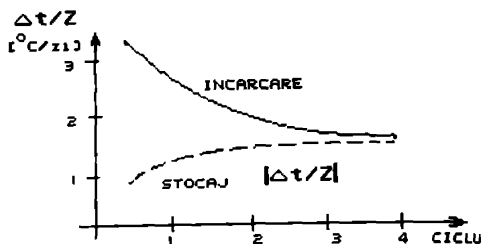


Fig. 6.13

TABELUL 6.7

Δz [zile]	5	5	5	5	5	5
t [°C]	52	45	39	34	28	25
Δt [°C]	8,0	6,0	6,0	5,0	4,5	4,0
k [1/zi]	0,030	0,027	0,030	0,029	0,032	0,032
R^*			0,030/zi			
$(\Delta \tilde{t}/z)$				~ 1 °C/zi		

OBSERVATII

1. Valoarea de scadere medie a temperaturii din bazinul de stocare de 1 °C/zi pe o durata de două luni a studiului efectuat, arată că acest tip de bazin – la dimensiunile pe care le are – nu este destinat să fie folosit pentru stocarea de lungă durată, fiind recomandat numai pentru stocarea cu durată de cîteva zile.

2. Cu cît dimensiunile bazinului sunt mai mari, cu atît pierderile relative de căldură vor fi mai mici deoarece căldura stocată depinde de volum (masă), iar pierderile depind de suprafața totală a bazinului.

6.5.3 REGIMUL DE FUNCTIONARE IN BAZINUL DE STOCARE

Studiul regimului de încarcare-stocare-descarcare și descarcare rapidă a fost efectuat în mai multe variante pentru ca în exploatare nu se prevăde un regim fix ci unul care depinde de condițiile meteorologice, extrem de aleatorii, așa cum se stie. În acest scop au fost efectuate cicluri de cîte o zi, cicluri de cîte 7 zile, repetitive pentru a verifica comportarea în timp a bazinului de stocare.

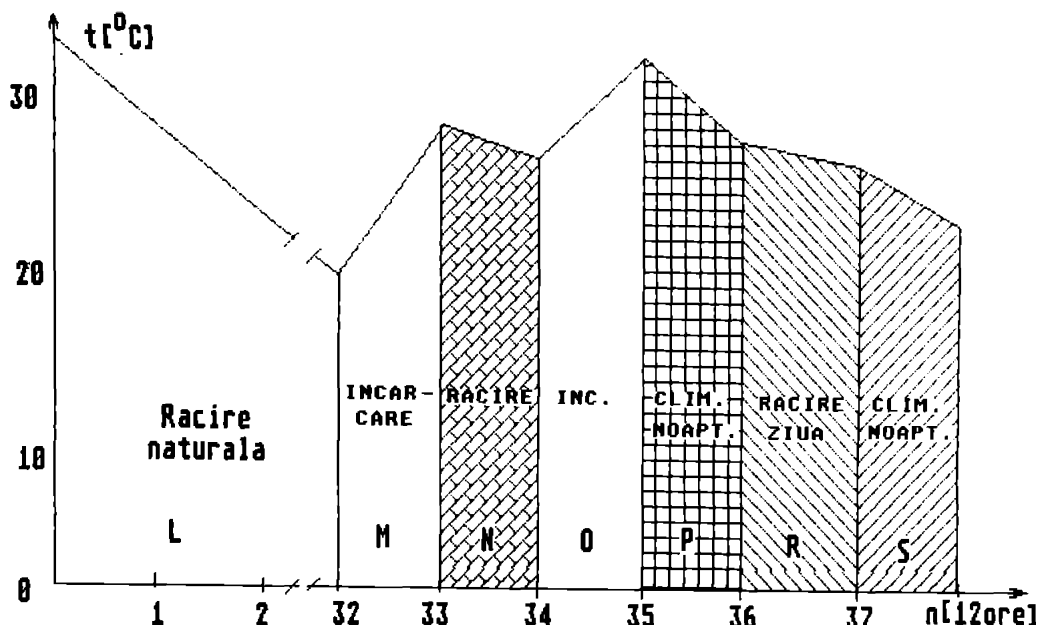


Fig.6.14 Studiul BS in diferite situatii

In fig.6.14, avind in vedere masuratorile efectuate este prezentata comportarea bazinei de stocare in diferite situatii (in aceasta figura, durata este reprezentata printr-un numar de sechente a 12 ore), prin zonele:

- L, bazine incarcate termic, descarcate prin racire naturala
- M, incarcare
- N, racire naturala pe durata noptii
- O, incarcare
- P, climatizare incinta cu caldura extraresa pe durata noptii
- R, racire naturala pe durata noptii
- S, climatizare pe durata noptii

6.5.3.1 Regim de incarcare si stocare diurn

Studiul comportarii BS in regim de incarcare si stocaj diurn a fost efectuat in luna septembrie.

In fig.6.15 prezentam evolutia temperaturii in BS t_j in regim de incarcare pentru ziua de 10.09.1991.

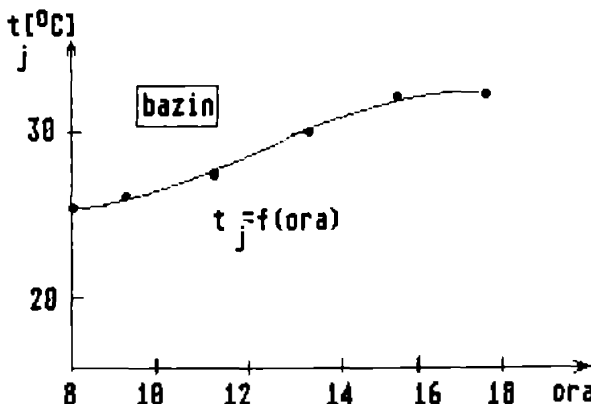


Fig.6.15 Evolutia temperaturii in B.S. in regim de incarcare

In fig.6.16 prezentam comportarea BS in regim de incarcare si stocare diurn cu racire naturala in decursul noptii pentru o perioada de 48 ore. Din figura se observa alura aproape exponentala a curbei in regimul studiat.

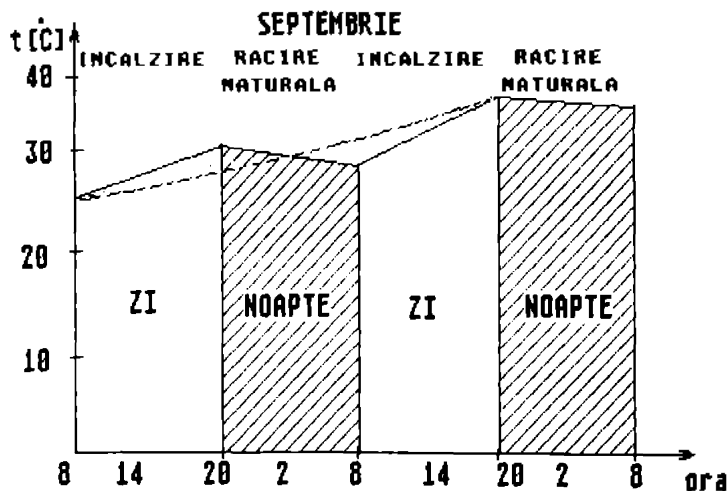


Fig.6.16 Evolutia temperaturii in B.S. in regim de incarcare si stocare diurn cu racire naturala in decursul noptii pentru 10 si 11.09.1991

Pe tab.6.8 se prezinta valorile temperaturii t_j ; caldura acumulata in piatra $Q_j = m_p c_p \Delta t_p$; fractiunea de caldura cedata de aer, retinuta de bazin: $f_j = Q_j / Q_{CD}$ pentru zilele de 10 si 11.09.1991 respectiv caldura acumulata in piatra Q_j si fractiunea de caldura retinuta de bazin f_j pentru ambele zile, atit timp cat a durat procesul de incarcare a bazinului.

TABELUL 6.8

data	10.09.1991				11.09.1991			
ora	9	12	15	18	9	12	15	18
t_j [°C]	22	27	29	30	29	31	33	35
Q_j [MJ]		115,6				86,7		
η_j		0,83				0,63		
Q'_j [MJ]			202,3					
η'_j			0,75					

6.5.3.2 Regim de descarcare forțată și de așteptare diurnă

Studiul comportării bazinului de stocare în regim de descarcare forțată și de așteptare diurnă, efectuat în luna septembrie este prezentat în fig.6.17. Alura curbei obținută are forma apropiată de forma exponentială, fiind asemănătoare curbei de racire caracteristica procesului de racire forțată.

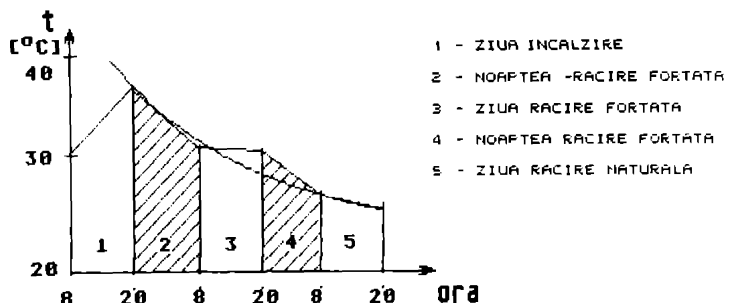


Fig.6.17

Analiza datelor arată că:

- în prima zi a încărcării temperatura pietrei a crescut cu 8 °C aceasta acumulind 115,6 MJ adică 0,83 din caldura cedată de aer.
- în cea de a doua zi temperatura a mai crescut cu 6 °C, acumulindu-se încă 86,7 MJ sau 0,67 din caldura cedată de aer.

In cele două zile studiate caldura acumulată în bazinul de stocare a fost $Q'_j = 202,3$ MJ rândamentul cantitatii de caldura cedata $\eta'_j = 0,75$.

Zona L din fig.6.14 indică o viteza de racire naturală de aproximativ 0,4 °C la fiecare 12 ore.

6.5.3.3 Regim alternativ de incarcare termica a B.S.

si de asteptare cu ciclul (7 + 10) zile

Masuratorile au fost efectuate in lunile august, septembrie si octombrie 1991.

In fig.6.16 se prezinta un set de 4 cicluri, formate din:

- 7 zile incarcare termica
- 10 zile regim de stocare

Variatiile exponentiale au fost aproximate cu drepte, obtinindu-se pentru cele 4 cicluri valorile prezentate in tabelul 6.9, iar curba de racire cit si coeficientul global de reducere a temperaturii k in valoare absoluta, pe fig.6.16.

TABELUL 6.9

ciclul	I	II	III	IV
z [zile]	7	10	7	10
\bar{t} [$^{\circ}$ C]	38	46	51	53,5
Δt [$^{\circ}$ C]	24	8	17	13
$\frac{\Delta t}{\Delta z} \left[\frac{^{\circ}C}{zi} \right]$	3,43	-0,8	2,43	-1,3
$\frac{\Delta t}{t \Delta z} \left[\frac{1}{zi} \right]$	0,09	-0,017	0,05	-0,024
	0,022	0,030	0,029	-0,036

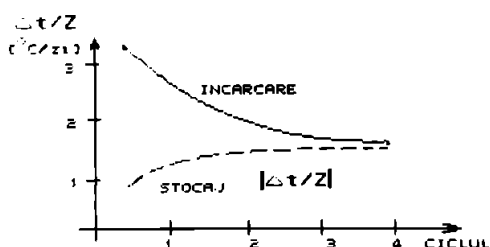


Fig.6.16
Evolutia coeficientului global de reducere a temperaturii pe intervalul considerat

Comparind aceste date experimentale cu cele anterioare se observa ca:

- valorile sunt de acelasi ordin de marime
- in primul ciclu, efectuat in luna august, luna deosebit de calduroasa si senina pe paralela 45° N, cresterea zilnica a temperaturii in B.S. este cea mai mare, reducerea temperaturii fiind foarte mica, $0,8^{\circ}$ C/zi la un ciclu de racire cu durata de 10 zile.

- cu tot caracterul aleator al conditiilor meteorologice atit la incalzirea B.S. cu ajutorul caldurii obtinuta de la Soare, cit si in regim de stocare,punctele se aseaza pe curbe continue (cu o singura exceptie) ca rezultat a efectului de integrala al fenomenului termic pe o durata suficient de lunga de timp,creat de B.S.:

$$\int_{\text{zile}} I_S \cdot S \cdot dz = \int_{\text{temp}} \rho \cdot c \cdot V \cdot dt^o \quad (6.18)$$

- in perioada de stocare neintroducindu-se energie,temperatura in BS scade prin cedarea de caldura catre mediul inconjurator [6]:

$$E_{\text{cedata}} = \rho \cdot c \cdot V \cdot \Delta t^o_{\text{bazin}} \quad (6.19)$$

- mediul inconjurator primeste:

$$E_{\text{primita}} = S \cdot K (t^o_{\text{bazin}} - t^o_{\text{pamint}})^{\tau} \quad (6.20)$$

unde K - coeficientul pierderilor de caldura prin conductie, fenomenul principal care conduce la aparitia acestor pierderi [kW/m²K]

S - suprafata bazinului [m²]

t_{pamint} - temperatura medie a pamintului inconjurator [°C]

t_{bazin} - temperatura medie in B.S. [°C]

τ - timp producere transfer termic in regim de stocaj [h]

Pe baza masuratorilor efectuate si a consultarii literaturii de specialitate a rezultat pentru sfarsitul verii si inceputul toamnei t_{pamint} = 17 °C ceea ce a condus la:

$$K_{\text{exp}} = 0,25 \text{ [W/m}^2 \text{ K]} \quad (6.21)$$

In perioada studiata au fost efectuate urmatoarele masuratori:

- intensitatea radiatiei solare in plan orizontal I [W/m²], cu ajutorul unui instrument "Solaris 2", valori sistematizate in tabelul 6.10.

- s-a calculat energia corespunzatoare prin:

$$E_H = \int_0^T I \cdot dr \quad (6.22)$$

- s-a calculat energia incidenta pe captatori tinindu-se seama de inaltimea Soarelui pe bolta, de unghiul orar si de unghiul de inclinatie al captatorilor fata de orizontala, captatorii fiind orientati spre sud, cu relatie:

$$E_{inc} = \int_{\tau_0}^{\tau} I(\tau) \cdot S \cdot d\tau \quad (6.23)$$

unde $I(\tau)$ - evolutia intensitatii radiatiei solare in planul captatorului calculata conform [4]:

$$I_{\tau} = \frac{I_0}{\sin h} \cos H \cdot \cos(\alpha - h)$$

cu precizarile facute anterior.

S - suprafata captatorilor ($S = 24 \text{ m}^2$)

- s-a determinat temperatura medie a aerului suflat in B.S. prin schimbatorul de caldura

- s-a determinat variatia medie zilnica a temperaturii aerului din B.S.

- s-a calculat energia acumulata (+) respectiv extrasă pentru consum (-):

$$E = \rho \cdot c \cdot v \cdot \Delta t_{\text{bazin}}^{\circ} \quad (6.24)$$

Pe baza consideratiilor de mai sus vom prezenta cîteva cicluri efectuate in regim de incarcare in tabelul 6.10.

In fig. 6.17 se prezinta variatia temperaturii in regim alternativ de incarcare termica si de asteptare a B.S.

In fig. 6.18 se prezinta regimurile de incarcare 1, 2 respectiv 3 in perioadele studiate.

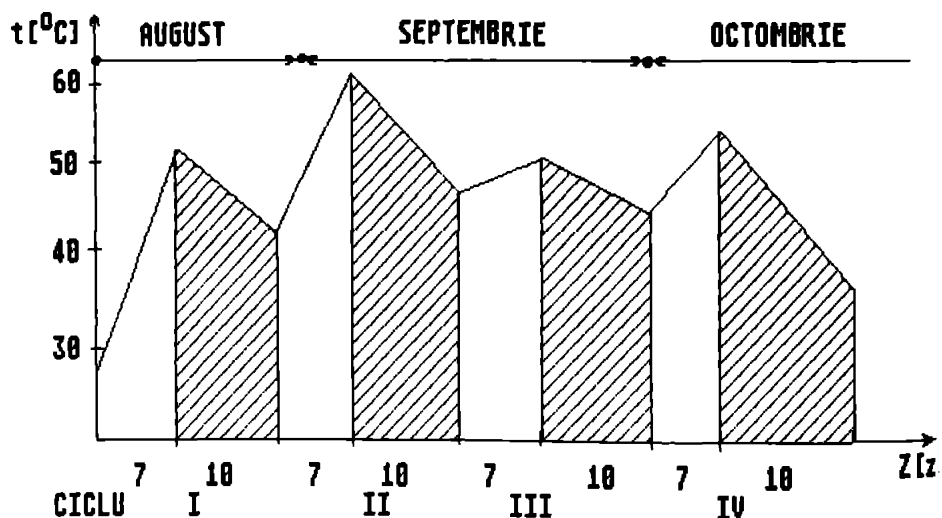


Fig.6.17

TABELUL 6.10

data	energia solara captata [kWh]	t_{med} aer B.S. [°C]	variatia t_{med} in B.S [°C]	energia acumulata [kWh]	energia pierduta [kWh]	randa- mentul η
1	2	3	4	5	6	7
regim de incarcare 1						
12.08	39,550	24,30	6,30	30,332	9,228	0,76
13.08	37,238	30,02	5,72	27,513	9,725	0,74
14.08	37,605	35,78	5,76	27,706	9,899	0,74
15.08	37,598	41,17	5,39	25,926	11,672	0,69
16.08	36,309	46,18	5,01	24,098	12,211	0,66
17.08	36,188	51,50	4,82	23,184	13,004	0,64
18.08	36,187	56,02	4,80	22,845	13,342	0,63
regim de incarcare 2						
27.08	8,147	42,37	0,46	2,213	5,934	0,27
28.08	22,622	45,12	2,75	13,228	9,394	0,58
29.08	14,542	46,49	1,37	6,590	7,952	0,45
30.08	20,684	48,79	2,30	11,063	9,621	0,54
31.08	29,465	52,41	3,62	17,412	12,053	0,59
01.09	28,376	55,67	3,26	15,681	12,695	0,45
02.09	22,214	57,84	2,17	10,438	11,776	0,47
regim de incarcare 3						
24.09	19,120	40,77	2,30	11,063	8,057	0,58
25.09	22,636	43,53	2,76	13,276	9,360	0,59
26.09	22,368	46,15	2,62	12,602	9,766	0,56
27.09	23,718	48,89	2,74	13,179	10,539	0,55
28.09	20,043	50,95	2,06	9,909	10,134	0,50
29.09	22,756	53,57	2,43	11,688	11,068	0,51
30.09	26,675	56,39	3,01	14,478	12,197	0,54

Randamentul de acumulare calculat pentru cele 3 regimuri de incarcare este prezentat in fig.6.19.

In regimul de incarcare 1 se constata urmatoarele:

- energia solara captata a fost de ordinul a 40 kWh/zi
- energia solara acumulata a fost cuprinsa intre 22-30 kWh/zi, constatindu-se o diminuare a acesteia pe parcursul intervalului
- energia solara pierduta a fost cuprinsa intre 9-12 kWh/zi, constatindu-se o majorare a acesteia pe durata intervalului
- randamentul de acumulare a fost cuprins intre 0,63 - 0,74 cu o descrestere pe durata intervalului

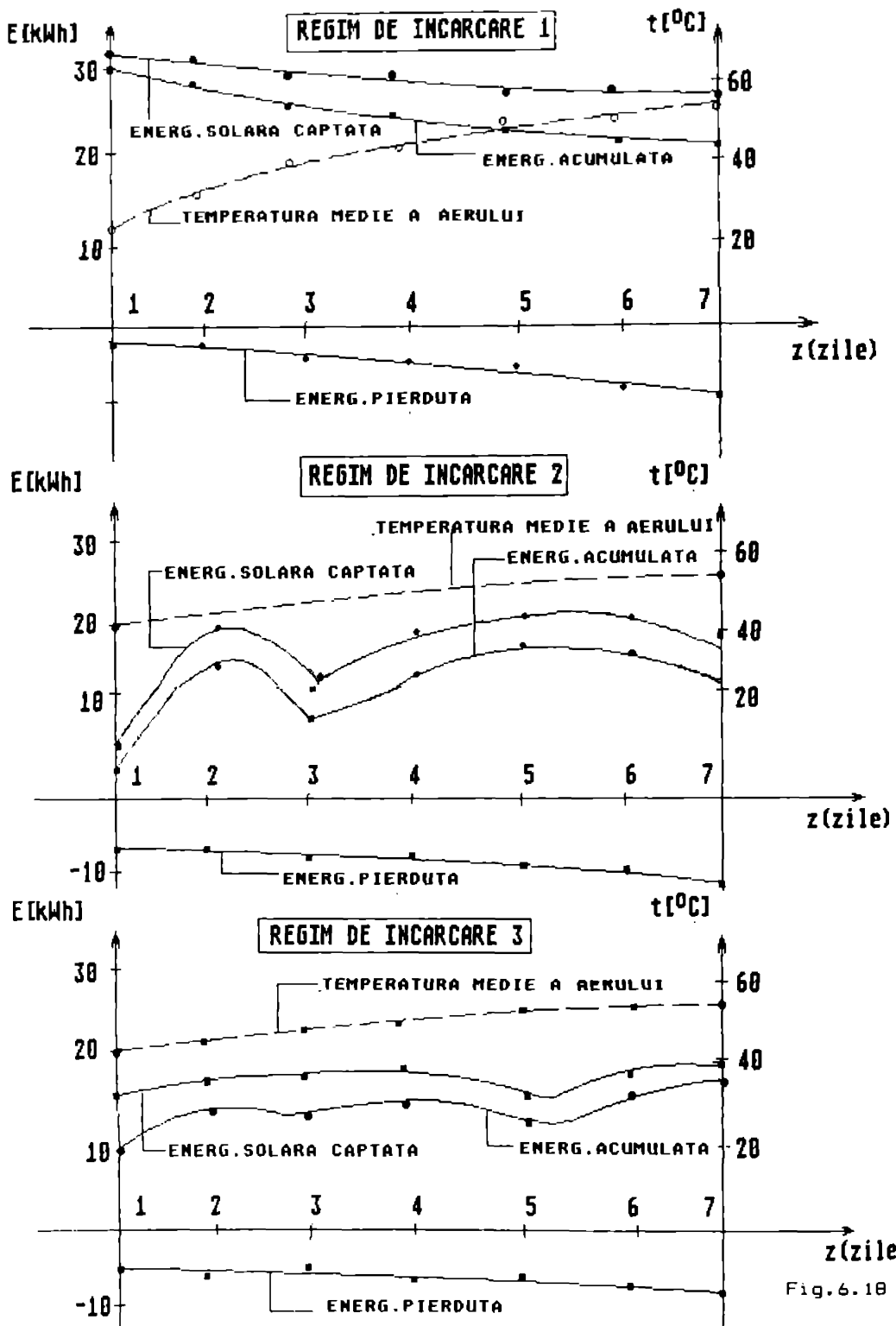


Fig.6.18

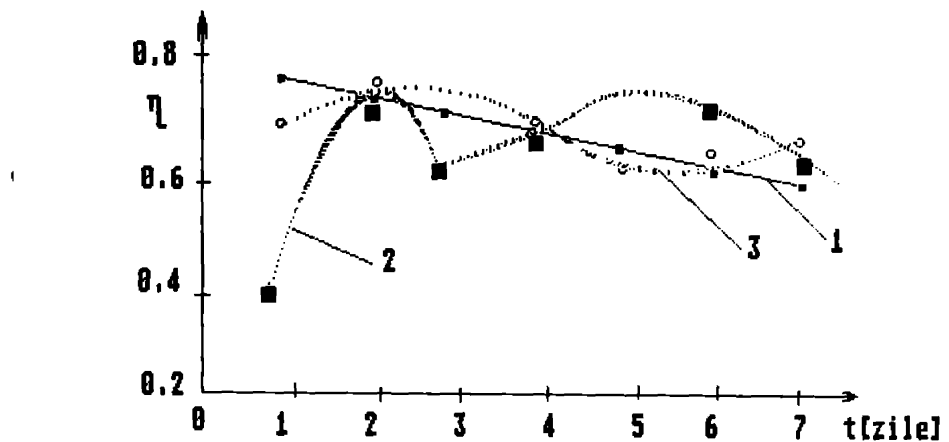


Fig.6.19

- temperatura medie zilnica a aerului din B.S. a inregistrat o crestere de la 24°C in prima zi la 56°C in ultima zi a intervalului ecartul fiind 32°C , iar variația temperaturii medii in B.S. a inregistrat o usoara descreștere in decursul zilelor de la $6,3^{\circ}\text{C}$ in prima zi pînă la $4,8^{\circ}\text{C}$ in ultima zi.

In regimul de incarcare 2 se constata urmatoarele:

- energia solara captata a fost cuprinsa intre 8 - 29 kWh/zi
- energia solara acumulata a fost cuprinsa intre 2-17 kWh/zi
- energia solara pierduta a fost cuprinsa intre 5-12 kWh/zi, constatindu-se majorarea acesteia pe parcurs
- randamentul de acumulare a fost cuprins intre 0,27 - 0,59
- temperatura medie zilnica a aerului din B.S. a inregistrat o crestere de la 42°C in prima zi la $57,8^{\circ}\text{C}$ in ultima zi, ecartul fiind 16°C , variația temperaturii medii a aerului din B.S. inregistrind o usoara crestere de la $0,5^{\circ}\text{C}$ la $3,26^{\circ}\text{C}$ in penultima zi ca sa descreasca la $2,17^{\circ}\text{C}$ in ultima zi.

In regimul de incarcare 3 se constata urmatoarele:

- energia solara captata a fost cuprinsa intre 19 - 26 kWh/zi
- energia solara acumulata a fost cuprinsa intre 9 - 14 kWh/zi
- energia solara pierduta a fost cuprinsa intre 8 - 12 kWh/zi
- randamentul de acumulare a fost cuprins intre 0,50 - 0,59

- temperatura medie zilnica a aerului din B.S. a inregistrat o crestere de la $40,7^{\circ}\text{C}$ la $56,4^{\circ}\text{C}$, ecartul fiind 15°C , variația temperaturii medii a aerului din B.S. inregistrând o usoară creștere de la $2,3^{\circ}\text{C}$ la 3°C .

OBSERVATII FINALE:

Randamentul variaza în limite largi și relativ aleatoriu (de exemplu în intervalul 2) depinzind esențial de condițiile meteorologice.

6.5.3.4 Analiza comparativa a stocajului fara extragere de caldura in lunile august, septembrie si noiembrie

Pe baza măsurătorilor efectuate în prealabil, fig.6.20 prezintă variația energiei pierdute și a temperaturii medii în BS pentru regimurile de stocare 1, 2 și 3, iar în tabelul 6.12 se prezintă valorile pentru energia pierdută și temperatura medie în BS

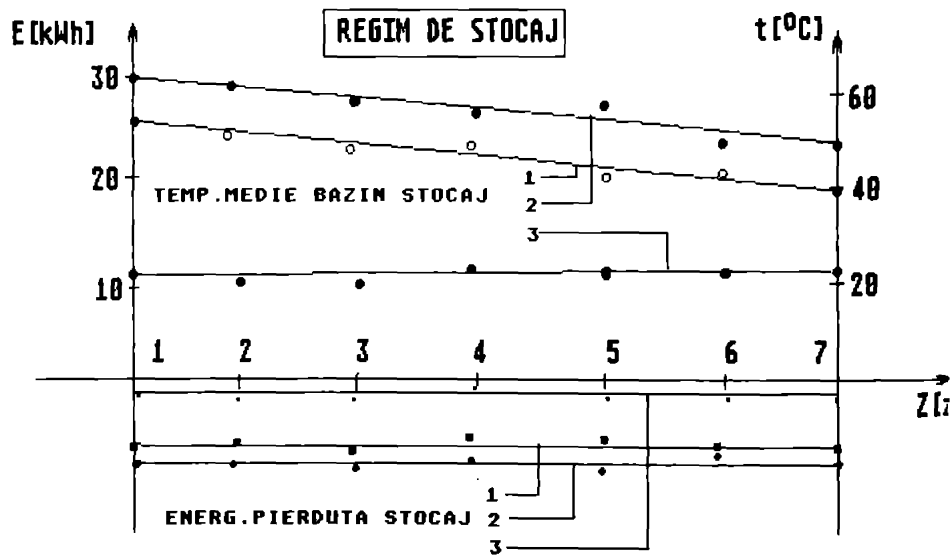


Fig.6.20

TABELUL 6.12

data	energia solara captata [kWh]	t_{med} aer B.S. [°C]	variatia t_{med} aer B.S.	energia acumulata [kWh]	energia pierduta [kWh]	randa- mentul η
1	2	3	4	5	6	7
stocaj 1						
18.08		49,85	-1,15		5,53	
19.08		48,74	-1,10		5,33	
20.08		47,66	-1,08		5,20	
21.08		46,22	-1,04		5,00	
22.08		45,60	-1,02		4,90	
23.08		44,63	-0,97		4,67	
24.08		43,69	-0,94		4,52	
stocaj 2						
04.09		59,57	-1,57		7,55	
05.09		58,07	-1,50		7,21	
06.09		56,01	-1,45		6,97	
07.09		55,21	-1,41		6,48	
08.09		53,86	-1,35		6,50	
09.09		52,55	-1,31		6,30	
10.09		51,29	-1,26		6,06	
stocaj 3						
01.11		23,20	-0,20		0,962	
02.11		22,99	-0,21		1,010	
03.11		22,80	-0,19		0,914	
04.11		22,61	-0,19		0,914	
05.11		22,43	-0,18		0,866	
06.11		22,25	-0,18		0,866	
07.11		22,04	-0,15		0,866	

In regim de stocare fara extragere de caldura se constata urmatoarele:

REGIM 1:

- energia solara pierduta a fost cuprinsa intre 5,53 kWh/zi in prima zi si 4,52 kWh/zi in ultima zi inregistrindu-se o micsorare a acesteia in fiecare zi.
- temperatura medie zilnica a aerului din BS a inregistrat o descrestere de la 49,85 °C in prima zi la 43,69 °C in ultima zi, deci 6,16 °C pe tot parcursul intervalului.

- variația temperaturii medii zilnice a aerului din B.S. a fost de cca 1 °C, înregistrindu-se o descreștere de la -1,15 la -0,94 °C

REGIM 2:

- energia solară pierduta a fost cuprinsă între 7,55 kWh/zi în prima zi și 6,06 kWh/zi în ultima zi;

- temperatura medie zilnică a aerului din BS, maxima în acest interval, a atins valoarea maxima de 59,57 °C în prima zi a intervalului; s-a înregistrat o descreștere pe tot intervalul, pînă la valoarea minima 51,29 °C în ultima zi, ecartul fiind 8,28 °C;

- variația temperaturii medii zilnice a aerului din BS a fost maxima în prima zi -1,57 °C, descreșcînd pînă la 1,26 °C în ultima zi.

REGIM 3

- energia solară pierduta zilnic a fost cuprinsă între 1,010 kWh/zi și 0,860 kWh/zi;

- temperatura medie zilnică a aerului din BS a fost minima, fiind cuprinsă între 23,20 °C în prima zi și 22,04 °C în ultima zi, cu ecartul minim de 1,16 °C;

- variația temperaturii medii zilnice a aerului din BS a fost de cca. 0,20 °C.

6.5.3.5 Studiul experimental al regimurilor de consum

Cercetările experimentale efectuate au permis studiul experimental al regimurilor de consum. În tabelul 6.13 prezentam valori obținute iar în fig.6.21 prezentam dependența temperaturii medii a aerului, a energiei extrase pentru consum și a energiei pierdute în regimurile de consum 1, 2 și 3.

In regim de consum se constata urmatoarele:

REGIM DE CONSUM 1

- energia extrasă pentru consum a fost cuprinsă între 2,20 - 5,84 kWh/zi;

- energia pierduta a fost cuprinsă între 5,26 kWh/zi în prima zi, cînd a fost maxima în acest interval și 3,60 kWh/zi în ultima zi a intervalului;

- temperatura medie zilnică a aerului din B.S. a înregistrat o descreștere de la 48,34 °C la 38,48 °C, ecartul fiind 9,86 °C.

- variația temperaturii medii zilnice a aerului din B.S. este cuprinsă între -1,29 și -2,01 °C.

TABELUL 6.13

regimul de consum 1							
data	energia captata aer B.S. [kWh]	t med aer B.S. [°C]	variatia t med aer B.S. [°C]	energia extrașă pt.consum (+) [kWh]	energia pierduta (-) [kWh]	η de acumulare	Obs.
1	2	3	4	5	6	7	
6.09		48,34	-1,55	2,20	5,26		
7.09		46,79	-1,55	2,62	4,83		
8.09		45,21	-1,54	3,24	4,46		
9.09		43,57	-1,64	3,42	4,27		
10.09		41,78	-1,79	4,45	4,16		
11.09		39,77	-2,01	5,84	3,83		
12.09		38,48	-1,29	2,60	3,60		
regimul de consum 2							
13.09		37,88	-1,68	5,41	3,406		
14.09		36,32	-1,58	4,26	3,25		
15.09		34,47	-1,85	5,96	2,94		
16.09		32,54	-1,93	6,67	2,61		
17.09		31,00	-1,54	6,26	2,65		
18.09		29,47	-1,53	7,28	2,55		
19.09		27,96	-1,51	8,00	2,45		
regim de consum 3							
25.09		43,59	-1,68	3,48	4,21		
26.09		42,01	-1,58	4,61	4,20		
27.09		39,70	-2,31	5,26	3,91		
28.09		38,26	-1,44	2,60	3,61		
29.09		37,06	-1,20	4,28	3,24		
30.09		36,11	-0,95	3,51	3,02		
01.10		35,21	-0,90	4,26	2,90		

REGIM DE CONSUM 2

- energia extrașă pentru consum a fost cuprinsă între 5,41 - 8,00 kWh/zi, fiind maxima în ultima zi;
- energia pierduta a fost cuprinsă între 3,405 kWh/zi în prima zi cînd a înregistrat valoarea maxima și 2,45 kWh/zi în ultima zi a intervalului;
- temperatura medie zilnică a fost cuprinsă între 37,88 + 27,96 scăzind cu 9,92 °C;
- variația temperaturii medii zilnice a aerului din B.S. a fost cuprinsă între -1,93 °C și -1,51 °C.

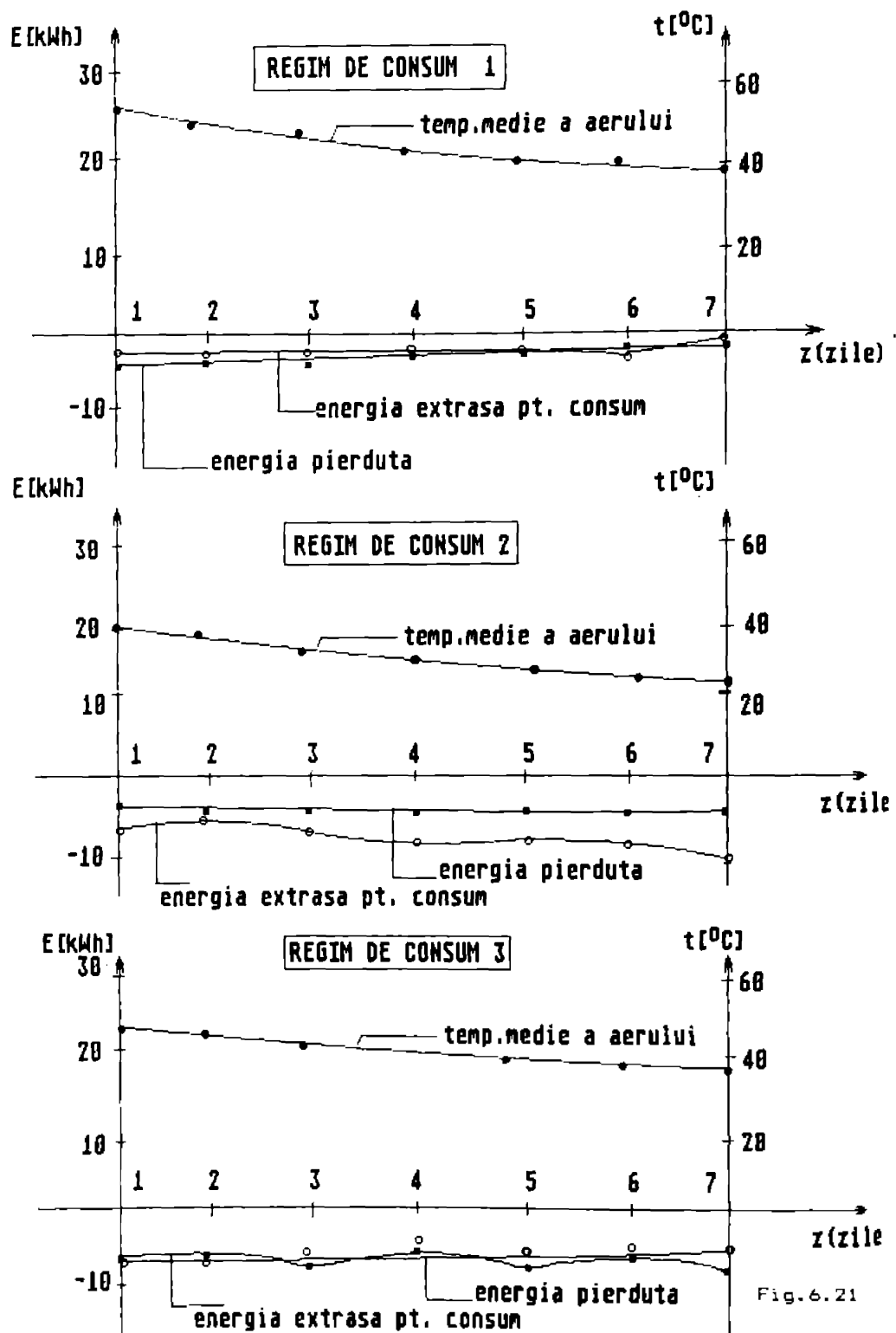


Fig. 6.21

REGIM DE CONSUM 3

- energia extrașă pentru consum a fost cuprinsă între 3,48 kWh/zi și 5,26 kWh/zi;
- energia pierduta a fost cuprinsă între 5,26 kWh/zi și 2,60 kWh/zi;
- temperatura medie zilnică a fost cuprinsă între 43,59 + 35,21 scăzind cu 8,38 °C;
- variația temperaturii medii zilnice a aerului din bazin a fost cuprinsă între -2,31 °C și -0,90 °C.

6.6 EFICIENȚA CLIMATIZARII

Conform fig.6.14 în noptile de 11-12 septembrie s-a efectuat climatizarea spațiului delimitat de camera de disipare folosind caldura extrașă din BS. Aerul a curs dinspre BS spre camera cu debitul de 860 m³/h asigurat de suflanta, a ajuns la duza H cu temperatură t_H și a cedat caldura camerei, racindu-se pînă la t_F . Caldura cedată de aer s-a calculat cu [36]:

$$Q_H = \dot{m}_{aer} \cdot c_{aer} (t_H - t_F) \quad (6.25)$$

Aceasta caldura provine din energia termică acumulată de piatra a cărei temperatură a scăzut în prima noapte cu 4 °C, iar în cea de-a două cu 3 °C, BS pierzind caldura $Q_j = m_p c_p \Delta t_p$.

In tabelul 6.14 se prezinta valorile: t_j , t_H , t_F , t_I , t_G , Q_j , Q_H si randamentul η_{HJ} ce exprima procentul de energie termica ajunsa in camera din energia pierduta de BS.

Pe același tabel se prezintă și caldura data de:

$$\sum K_i S_i \Delta t = 18,3(t_F - t_G) + 5,38(t_F - t_D) + 7,1(t_F - t_I) \quad (6.26)$$

care exprima caldura cedată de camera prin transmisie. Diferența:

$$Q' = Q_H - \sum K_i S_i \Delta t \quad (6.27)$$

exprima caldura pierduta de camera datorită infiltratiilor de aer pe la rosturile usi și ferestrelor.

Pe parcursul celor două nopti piatra a cedat 57,8+43,3=101,1 MJ din care 68 MJ s-au regasit la duza H, iar 33 MJ s-au pierdut prin conducte. Randamentul de extragere a caldurii este $\eta_{HJ} = 0,67$.

Din caldura de 202,3 MJ se pot extrage $0,67 \cdot 202,3 = 135,5$ MJ Rata medie de livrare a caldurii este $(40,8 + 27,2)/2 = 34$ MJ pentru fiecare interval de 12 ore. Caldura de 135,5 MJ poate acoperi un număr de: $135,5/34 = 4$ intervale a 12 ore.

TABELUL 6.14

	ora	t_J °C	t_H °C	t_F °C	t_I °C	t_G °C	Q_J MJ	Q_H MJ	η_{HJ}	η'_{HJ}	K_i MJ	Q' MJ
	21	35	27	24	24	22						
11.09	24	34	28	25	21	20						
	3	33	28	25	21	17						
	6	32	27	24	18	14						
	9	31	27	24	19	17						
	12	30,5	-	22	22	22						
12.11	15	30,5	-	23	23	24						
	18	30	-	25	24	24						
	21	30	27	24	24	23						
	24	29	27	25	22	21						
	3	29	28	26	23	18	43,3	27,2	0,63			
	6	28	29	27	23	19						
	9	27	28	26	23	20						
13.11	12	27	-	27	23	23						
	15	27	-	27	23	23						
	18	27	-	26	24	23						
	21	26,5	-	25	23	22						

Valorile medii ale temperaturilor pe durata noptilor sint:

$$t_J = 30,8 \text{ } ^\circ\text{C}; \quad t_H = 27,6 \text{ } ^\circ\text{C}; \quad t_F = 25 \text{ } ^\circ\text{C}; \quad t_G = 19,1 \text{ } ^\circ\text{C}; \quad t_I = 21,8 \text{ } ^\circ\text{C}$$

Temperatura medie a pietrei este cu 3°C mai mare ca a aerului livrat; temperatura medie in camera este $25 \text{ } ^\circ\text{C}$, cu $2,7 \text{ } ^\circ\text{C}$ mai mica ca cea de la duza H, temperatura medie in exterior este cu $6 \text{ } ^\circ\text{C}$ mai mica ca cea din camera climatizata.

Valoarea mare a lui Q' indica existenta unor infiltratii intense de aer rece, cauzate de plasarea duzei H linge usa.

6.7 BILANTUL ENERGETIC AL CICLULUI INCARCARE-DESCARCARE

In tabelul 6.15 se prezinta situatia sintetica a energiei termice vehiculate pe durata celor doua zile de incarcare si a celor doua nopti de descarcare. Avem:

Q_{iT} - energia totala incidenta pe captator

Q_{ABT} - caldura furnizata in schimbator

η_c - randamentul conversiei termosolare

Q_{CDT} - caldura preluata de aer in schimbator

η_{CD} - randamentul caldurii Q_{ABT} , preluata de aer

Q_{JT} - caldura inmagazinata in piatra

η_J - randamentul caldurii Q_{CDT} , preluata de piatra
 Q_{HT} - caldura ce poate fi furnizata statiei de disipare
 η_H - randamentul caldurii Q_{JT} , utilizabila
 η_{inst} - randamentul instalatiei

TABELUL 6.15

Q_{iT} [MJ/m]	Q_{ABT} [MJ]	η_c	Q_{CDT} [MJ]	η_{CD}	Q_{JT} [MJ]	η_J	Q_{HT} [MJ]	η_H
971,8	291,4	0,35	268,6	0,92	202,3	0,75	135,5	0,67

Randamentul instalatiei este $\eta_{tot} = Q_{HT}/Q_{iT} = 0,14$ sau

$$\eta_{tot} = \eta_c \cdot \eta_{CD} \eta_J \eta_H = 0,16$$

- Randamentul pina la intrarea in BS este: $0,35 \cdot 0,92 = 0,32$
- randamentul de stocare - restituire a caldurii de catre piatra spre camera de disipare este: $0,75 \cdot 0,67 = 0,5$.

CAPITOLUL 7. CONVERSIA FOTOVOLTAICA A ENERGIEI SOLARE SI PERSPECTIVELE APICARII IN PRACTICA

7.1 ASPECTE TEORETICE

Fenomenul fizic prin care energia radiatiei solare (a fotoniilor) este transformata direct in energie electrica se numeste conversie fotovoltaica.

Prezentam in continuare cteva aspecte teoretice necesare in studiul fenomenului de conversie fotovoltaica.

Conversia energiei radiatiei solare, luminoase, in energie electrica este realizata in celule solare, generatoare sau convertizoare fotovoltaice.

Un convertizor ideal foton-electron este conceput simplu in felul urmator [18]:

- un foton trebuie sa fie absorbit de catre materialul ce constituie dispozitivul. Energia sa este transferata materialului prin mecanismul de absorbtie optica.

- aceasta energie trebuie convertita in energie electrica (nu in caldura). Deci, energia fotonului trebuie transferata unui electron sub forma de energie potentiala, aceasta reprezentind fenomenul de conversie cuantica din moment ce, in general, nivelele de energie electronice intr-un solid sunt cuantificate.

- in fine, este necesar ca electronii excitati prin interactia cu fotonii sa nu revina pe nivelul energetic initial printr-un mecanism de relaxare. Trebuie sa fie colectati pe directia electrozilor de ieșire a celulei fotovoltaice inainte de realizarea recombinarii, fiind necesara o structura colectoare eficace.

Fie $N(\lambda)$ fluxul de fotoni monocromatici receptionati de celula fotovoltaica. Daca $R(\lambda)$ este coefficientul de reflexie va fi exemplificat efectiv doar fluxul $N(\lambda)|1-R(\lambda)|$. Daca $J_f(\lambda)$ este densitatea de curent furnizat, raspunsul spectral este definit prin [3]:

$$R_s = \frac{J_f(\lambda)}{q \cdot N(\lambda) |1-R(\lambda)|} \quad (7.1)$$

Daca $N(\lambda)$ este fluxul fotonilor atribuit unui spectru solar dat, ecuatia (1) permite calculul (cunoscind R_s) contributiei curentului debitat de o celula fotovoltaica, curentul total reprezentind suma acestor contributii:

$$J_{sc} = q \cdot \int_0^{\infty} N(\lambda) \cdot (1 - R(\lambda)) \cdot R_s \cdot d\lambda \quad (7.2)$$

Fiind G_n si G_p procesele de generare, iar U_n si U_p cele de recombinare, I_n si I_p densitatile de curent pentru electroni, respectiv goluri, putem scrie:

$$-\frac{\partial n}{\partial t} = G_n - U_n + \frac{1}{q} \operatorname{div} J_n \quad (7.3)$$

$$-\frac{\partial p}{\partial t} = G_p - U_p + \frac{1}{q} \operatorname{div} J_p \quad (7.3a)$$

Cu ecuatiiile relative ale densitatilor de curent se obtine:

$$-\frac{\partial n}{\partial t} = G_n - \frac{n_p - n_{p_0}}{\tau_n} + n_p \cdot \mu_n \frac{\partial e}{\partial x} + \mu_n \cdot e \frac{\partial n}{\partial x} + D_n \frac{\partial^2 n}{\partial x^2} \quad (7.4)$$

$$-\frac{\partial p}{\partial t} = G_p - \frac{p_n - p_{n_0}}{\tau_p} + p_n \cdot \mu_p \frac{\partial e}{\partial x} + \mu_p \cdot e \frac{\partial p}{\partial x} + D_p \frac{\partial^2 p}{\partial x^2} \quad (7.4a)$$

Expresia n_{p_0} reprezinta concentratia electronilor minoritari intr-un material de tip "p" la echilibru.

O structura fotovoltaica are scopul de a crea un cimp electric intern cu rolul de a separa electronul si golul generati prin efect fotoelectric. Bineinteleas putem aplica o tensiune electrica externa dar in acest caz nu vom dispune de un generator autonom. Contrar, un cimp electric intern poate fi mentinut prin crearea unei bariere de potential in material, modificand pozitia nivelului Fermi in raport cu extremele benzii, ce se realizeaza prin:

- varierea doparii, ceea ce conduce la jonctiunea p-n
- varierea compozitiei materialului (benzi interzise variabile)
- varierea ambelor (heterojonctiuni)

7.2 MODELUL FIZIC AL JONCTIUNII p-n

Efectul fotovoltaic în semiconductori presupune existența unei bariere de potential, a unui cimp electric capabil să separe cele două tipuri de portatori de neechilibru, electroni și goluri fotogenerați prin acțiunea fotonilor. Pentru apariția efectului fotovoltaic se impune ca energia fotonilor incidenti $h\nu$ să fie mai mare sau egală cu largimea benzii interzise a semiconducatorului.

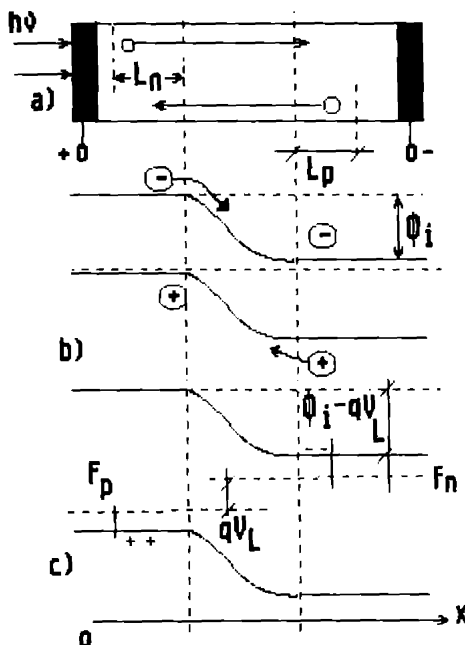


Fig.7.1
Jonctiunea p-n
iluminata

Purtatorii minoritari de neechilibru fotogenerați în vecinătatea jonctiunii p-n vor fi preluati de cimpul din regiunea de sarcina spatială a jonctiunii și transferați în regiunile în care ei sunt majoritari. Purtatorii de sarcina fotogenerați în regiuni neutre la o distanță mai mică sau egală cu lungimile de difuzie L_n respectiv L_p vor difuza spre jonctiune p-n. Prezența portatorilor de sarcina fotogenerați duce la micsorarea barierei interne de potential, ceea ce facilitează transferul portatorilor minoritari dintr-o parte în alta a jonctiunii p-n astfel ca regiunea p să se încarcă pozitiv, iar regiunea n se încarcă negativ (fig.7.1).

Curentul de scurtcircuit prin regiunea p-n este:

$$J_{sc} = q \cdot g \cdot A_f (L_n + L_p) \quad (7.5)$$

unde: A_f - aria efectiva a jonctiunii p-n,

L_n, L_p - lungimile de difuzie ale purtatorilor minoritari

g - rata de fotogenerare a purtatorilor minoritari

Acest curent va fi de sens opus curentului direct (de injectie) prin jonctiunea p-n, deci, cu acelasi sens cu curentul invers.

Tensiunea datorata fotogenerarii purtatorilor in cazul conectorilor la bornele jonctiunii p-n a unei rezistente de sarcina finite ajunge la o valoare V (figura 7.1c), iar photocurrentul prin aceasta rezistenta de sarcina va fi mai mic decit curentul de scurtcircuit datorita curentului de injectie generat de trecerea purtatorilor de sarcina in sens invers.

Curentul prin jonctiunea p-n iluminata pentru orice valoare V a fototensiunii este:

$$I = J_{sc} - I_s \left[e^{(qV)/(kT)} - 1 \right] \quad (7.6)$$

In conditii de circuit deschis ($J_{sc} = 0$, adica rezistenta de sarcina externa infinita) relatia devine:

$$V = V_{OC} = -\frac{kT}{q} \ln \left[\frac{J_{sc}}{I_s} + 1 \right] \quad (7.7)$$

7.2.1 SCHEMA ECHIVALENTA A UNEI CELULE SOLARE

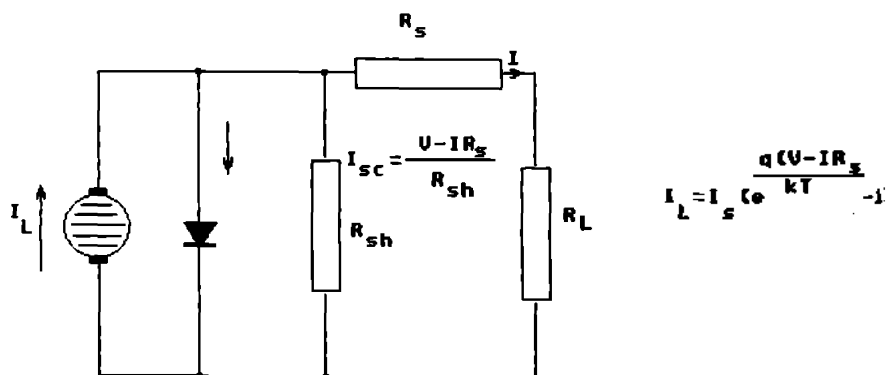


Fig.7.2 Schema echivalenta a unei celule solare

unde: R_s , R_{sh} , R_L - rezistente serie, shunt si de sarcina
 I_L - generator de curent care reprezinta curentul datorat
 purtatorilor fotogenerati

Din circuitul prezentat in fig.7.2 aplicind legea lui Kirchhoff se obtine caracteristica curent-tensiune a celulei solare:

$$I = I_s \left[\exp \left(- \frac{q(V - IR_s)}{kT} \right) + \frac{V - IR_s}{R_{sh}} \right] - I_L \quad (7.8)$$

Curentul de scurtcircuit al celulei solare:

$$J_{sc} = \left[\frac{I_L}{R_{sh}} \right] = I_L \quad (7.9)$$

$R_{sh} \rightarrow \infty, V=0$

Explicitind relatia (7.9) se obtine:

$$\ln \frac{I+I_L}{I} = \frac{V - IR_s}{I_s R_{sh}} + 1 = \frac{q}{kT} (V - IR_s) \quad (7.10)$$

cu $R_{sh} \rightarrow \infty$ obtinem

$$\ln \frac{I+I_L}{I} + 1 = \frac{q}{kT} (V - IR_s) \quad (7.11)$$

ceea ce reprezinta caracteristica $I = f(V)$ a celulei solare.

7.2.2 JONCTIUNEA p-n LA ECHILIBRU

Daca intre doi semiconductori cu tipuri diferite de conductie se realizeaza un contact ideal, atunci datorita gradientului de concentratie a purtatorilor de sarcina majoritari, va avea loc difuzia lor prin planul metalurgic al jonctiunii spre regiunile cu purtatori de sarcina liberi de semne opuse. Astfel datorita difuziei neutralitatea electrica din vecinatatea planului metalurgic al jonctiunii este perturbata. In regiunea p ramin acceptori ionizati, iar in regiunea n vor ramine donori ionizati. De ambele parti ale planului metalurgic vor aparea sarcini spatiale necompensate care vor da nastere unui cimp electric de difuzie care va impiedica continuarea procesului de difuzie a purtatorilor de sarcina majoritari, determinind stabilirea unei stari de echilibru dinamic. Deci jonctiunea p-n reprezinta stratul de tranzitie intre doua regiuni ale semiconductorului cu conductivitati de tipuri diferite in care exista un cimp electric de difuzie.

a) constituire:

Consideram cazul cel mai simplu, cazul jonctiunii abrupte in care doparile se fac uniform pe ambele parti ale interfetei metallurgice. (fig.7.3a). Din fig.7.3c constatam existenta a trei zone. Mai intai zona p, fara perturbari, zona ce se gaseste inca la echilibru termodinamic. Apoi zona n, la extremitatea opusa, care este la fel, in echilibru. Intre cele doua, se gaseste zona unde exista cimp electric. Datorita acestuia, purtatorii majoritari, mobili, sunt evacuati, ramanind fixe doar sarcinile asociate atomilor de impuritatii. Numim aceasta regiune zona de sarcina spatiala sau de depletie. Aceasta regiune este singurul loc unde nu exista neutralitate electrica in toate punctele (fig.7.3a).

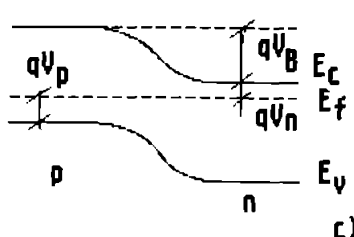
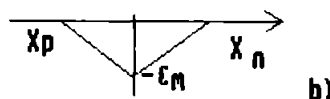
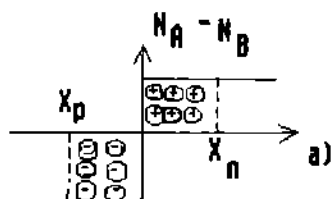


Fig.7.3

Jonctiunea abrupta in care doparile se fac uniform pe ambele parti ale interfetei metallurgice

b) tensiunea de difuzie:

Din fig.7.3c, adincimea gropii de potential este:

$$qV_B = E_g - q(V_n + V_p)$$

$$qV_B = kT \log \frac{N_c N_v}{n_i} - kT \left[\log \frac{N_c}{n_o} + \log \frac{N_v}{p_o} \right] =$$

$$= kT \log \frac{n_o p_o}{n_i} \approx kT \log \frac{N_A N_D}{n_i} \quad (7.12)$$

c) zona de sarcina spatiala:

In aceasta zona nu exista neutralitate electrica in toate punctele pentru ca exista un cimp electric, dar exista o neutralitate globala (fig.7.3).

$$N_D x_n = N_A x_p$$

Ecuatia Poisson se va scrie [3]:

$$-\frac{d^2 V}{dx^2} = -\frac{d\epsilon}{dx} = \frac{\rho}{\epsilon_m} = -\frac{qN_D}{\epsilon_m} \quad (0 < x < x_n) \quad -\frac{qN_A}{\epsilon_m} \quad (-x_p < x < 0)$$

$$\text{de unde: } \epsilon = qN_D (x - x_n) / \epsilon_m \quad (0 < x < x_n)$$

$$\epsilon = qN_A (-x_p - x) / \epsilon_m \quad (-x_p < x < 0)$$

$$\text{si } V_B = \frac{1}{2} \epsilon_{\max} (x_n + x_p) = \frac{1}{2} \epsilon_{\max} \cdot W$$

Cimpul maxim in $x = 0$ este dat prin:

$$|\epsilon_{\max}| = q \cdot N_D \cdot x_n / \epsilon_m = q \cdot N_A \cdot x_p / \epsilon_m$$

Largimea totala a zonei de sarcina spatiala W este data de relatia

$$W = \sqrt{\frac{2\epsilon_m}{q} \left(\frac{N_A + N_D}{N_A \cdot N_D} \right) \cdot V_B} \quad (7.13)$$

7.2.3 CARACTERISTICA CURRENT-Tensiune IN STARE DE INTUNERIC

- Currentul de difuzie

Consideram jonctiunea p-n polarizata, mai bine spus conectata la o sursa de tensiune exteriora. Rolul acestei polarizari este de a impune o diferență între nivelele Fermi.

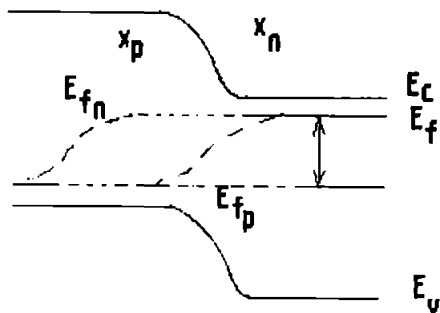


Fig.7.4 reprezinta cazul unei polarizari directe, cu bariera de potential coboritoare.

Fie V tensiunea aplicata. Diferenta de cuazi-nivele Fermi este egala la qV :

$$E_{F_n} - E_{F_p} = qV$$

$$p \cdot n = n_i^2 \cdot \exp \frac{-qV}{kT} \quad (7.14a)$$

In cazul particular cu $x = -x_p$

$$n_p = \frac{n_i^2}{p_p} \cdot \exp \frac{-qV}{kT} = n_{p_0} \cdot \exp \frac{-qV}{kT} \quad (7.14b)$$

Iar la $x = x_n$

$$p_n = p_{n_0} \cdot \exp \frac{-qV}{kT}$$

In zona n nu exista cimp electric, ecuatia de continuitate va fi

$$\frac{\partial^2 p_n}{\partial x^2} - \frac{p_n - p_{n_0}}{D_p T_p} = 0$$

Cele doua conditii la limita sunt date una prin relatie (10b), iar alta prin $p_n (x \rightarrow \infty) = p_{n_0}$

$$p_n - p_{n_0} = p_{n_0} \cdot \exp \left(-\frac{x - x_0}{L_p} \right) \cdot \left(\exp \frac{-qV}{kT} - 1 \right)$$

de unde curentul de goluri (minoritari in aceasta regiune) este:

$$J_p = qD \frac{\partial p_n}{\partial x} \Big|_{x_0} = \frac{q \cdot D_p \cdot p_{n_0}}{L_p} \left(\exp \frac{-qV}{kT} - 1 \right)$$

La fel curentul de electroni in zona p:

$$J_n = \frac{q \cdot D_n \cdot n_{p_0}}{L_n} \left(\exp \frac{-qV}{kT} - 1 \right)$$

Curentul care circula in jonctiune, egal cu $J_n + J_p$, va fi:

$$J_d = J_0 \left(\exp \frac{-qV}{kT} - 1 \right)$$

$$\text{cu } J_0 = \frac{q \cdot D_p \cdot p_{n_0}}{L_p} + \frac{q \cdot D_n \cdot n_{p_0}}{L_n} \quad (7.15)$$

In cazul unei jonctiuni asimetrice n^+p sau p^+n :

$$J_0 = q \frac{D}{L} \frac{n_i^2}{N} = q \sqrt{\frac{D}{\tau}} \cdot \frac{n_i^2}{N} \quad (7.16)$$

N fiind doparea regiunii nedegenerate.

Expressia D/τ variaza in general putin in functie de temperatura. Variatia este de forma: T^γ cu γ aproape de 1. Deci:

$$J_0 \sim T^{8+\gamma/2} \exp -E_g/kT$$

Aceasta relatie permite sa se traga doua concluzii generale:

- influenta temperaturii asupra curentului in stare de intuneric este importanta si depinde de E_g
- daca latimea benzii interzise este mare curentul in starea de intuneric este slab.

- Curentul de generare-recombinare

Existența mecanismelor de generare-recombinare prin capcanele din zona de sarcina spatială provoacă un curent suplimentar ce poate fi superior curentului normal de difuzie. În aceasta zona contributia netă de generare-recombinare U devine utilizând relația (10.a) în cazul tipic unde $E_T \sim E_i$, $\sigma_p = \sigma_n = \sigma$

$$U = \frac{\sigma \cdot V_{th} \cdot N_R \cdot n_i^2 \exp(qV/kT)}{n + p + 2n_i}$$

U maxim avem în cazul în care numitorul este minim. Acesta se poate scrie:

$$n_i [2 + \exp \frac{q}{kT} (E_{F_n} - E_{F_i}) + \exp \frac{q}{kT} (E_{F_i} - E_{F_p})]$$

Valoarea maxima a acestuia se obține în punctul în care

$$E_{F_i} = \left[E_{F_n} + E_{F_p} \right] / 2 \quad \text{și devine:}$$

$$2n_i \left[\exp \frac{qV}{2kT} - 1 \right]$$

iar pentru $V > kT/q$ obținem, identificind U maxim

$$U = \frac{1}{2} \sigma \cdot V_{th} \cdot N_R \cdot n_i \cdot \exp \left(-\frac{qV}{2kT} \right)$$

Curentul de recombinare-generare J_{rg} este dat de

$$J_{rg} = q \int_0^V U d_x = \frac{1}{2} q \cdot W \cdot \sigma \cdot V_{th} \cdot N_R \cdot n_i \cdot \exp \frac{qV}{2kT} \quad (7.17)$$

Prin combinarea expresiilor (7.16) și (7.17) obținem caracteristica $I = f(V)$ a unei jonctiuni p-n în starea de intuneric:

$$J_{rg} = q \sqrt{\frac{D}{T}} \cdot \frac{n_i^2}{N} \exp \frac{qV}{kT} + \frac{1}{2} q \cdot W \cdot \sigma \cdot V_{th} \cdot N_R \cdot n_i \cdot \exp \frac{qV}{2kT} \quad (7.18)$$

$$J \approx J_0 \exp \frac{qV}{AKT} \quad (1 < A < 2, \quad V > kT/q)$$

- Cazul celulor fotovoltaice

Am presupus materialele n si p semiinfinite de o parte si cealalta a jonctiunii. In aceste conditii nici un foton nu poate patrunde aici. Zona frontală trebuie sa fie la fel de subtire. (fig.7.5). Datorita costului, grosimea H totala trebuie limitata [3].

In aceste conditii relatia (11) devine:

$$J_o = q \frac{D_n n_i^2}{L_p N_A} \frac{(S_p L_p / D_p) \cdot \text{ch}(x_j / L_p) + \text{sh}(x_j / L_p)}{(S_p L_p / D_p) \cdot \text{sh}(x_j / L_p) + \text{ch}(x_j / L_p)} +$$

$$+ q \frac{D_n}{L_n} \frac{n_i^2}{N_A} \frac{(S_n L_n / D_n) \cdot \text{ch}(H' / L_n) + \text{sh}(H' / L_n)}{(S_n L_n / D_n) \cdot \text{sh}(H' / L_n) + \text{ch}(H' / L_n)} \quad (7.19)$$

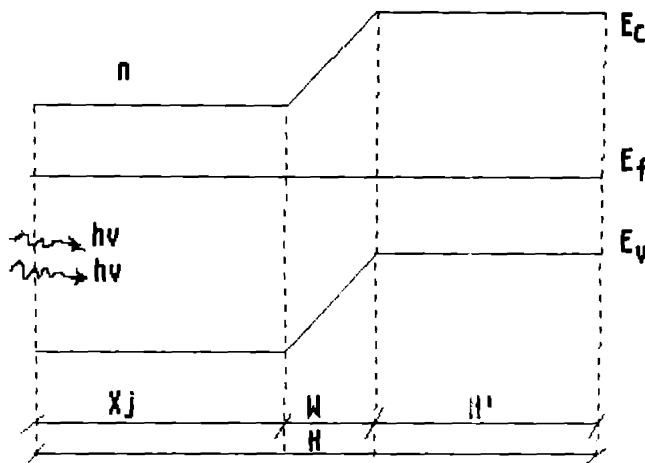
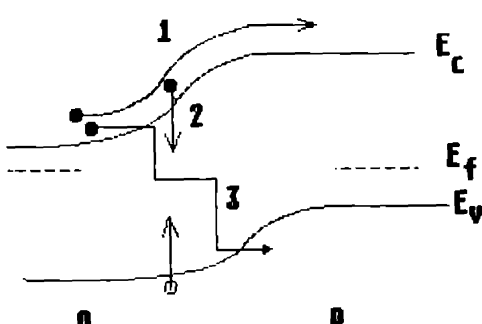


Fig.7.5 Celula fotovoltaica si parametrii ei geometriici

Fig.7.6

Mecanismele de curent a unei jonctiuni p-n polarizata in sens direct in stare de intuneric

- 1 - curent de difuzie
- 2 - curent recombinare
- 3 - curent tunel



Cit despre curentul I_{rg} un calcul detaliat duce la expresia apropiata de (13)

$$I_{rg} = \frac{q \cdot n_i \cdot W}{\tau_p \cdot \tau_n} \cdot \frac{\pi \cdot \sin(gV/2kT)}{q(V_b - V)/kT} \quad (7.20)$$

In fine, in intreaga jonctiune poate exista un al treilea tip de curent de intuneric corespunzind trecerii prin efect tunel a electronilor si golurilor de pe o banda pe cealalta.

7.2.4 JONCTIUNE p-n DOPATA UNIFORM

In acest caz N_D si N_A , mobilitatile si timpul de viata ai purtatorilor minoritari sunt considerate constante. Deci cimp electric va exista doar in regiunea de sarcina spatiala [18].

Curentul de scurcircuit pentru o jonctiune n-p dopata uniform avand in vedere si recombinarea la suprafata a purtatorilor minoritari este dat in relatia de mai jos (7.21):

$$J_{sc} = q \cdot n \cdot \phi_0 (1 - R) \cdot A_f \left\{ \frac{\alpha \cdot L}{\alpha^2 L_n^2 - 1} [L_1 - \alpha \cdot \exp(-\alpha \cdot x_j)] + \right.$$

$$\left. + \frac{\alpha L_n}{\alpha^2 L_n^2 - 1} \exp[-\alpha(x_j + w_{sp})] (\alpha L_n - L_2) + \exp(-\alpha x_j) [1 - \exp(-\alpha w_{sp})] \right\}$$

unde:

$$L_1 = \frac{\left[\frac{s_p}{D_p} E + \alpha \cdot L_p \right] - \exp(-\alpha \cdot x_j) \left[\frac{s_p}{D_p} E \cdot \operatorname{ch} \frac{x_j}{L_p} + \operatorname{sh} \frac{x_j}{L_p} \right]}{\frac{s_p}{D_p} E \cdot \operatorname{sh} \frac{x_j}{L_p} + \operatorname{ch} \frac{x_j}{L_p}}$$

$$L_2 = \frac{\frac{s_n L_n}{D_n} \left[\operatorname{ch} \frac{w_p}{L_n} E - \exp(-\alpha w_p) \right] + \operatorname{sh} \frac{w_p}{L_n} E + \alpha L_n \exp(-\alpha w_p)}{\frac{s_n L_n}{D_n} \operatorname{sh} \frac{w_p}{L_n} E + \operatorname{ch} \frac{w_p}{L_n} E}$$

s_n, s_p - vitezele de recombinare la suprafata ale purtatorilor minoritari electroni, respectiv golurile

$$w = x_j + w_{sp} + w_p$$

w_p - largimea regiunii neutre p

w - largimea regiunii de sarcina spatiala

Pentru obtinerea unui curent de scurtcircuit cit mai mare din relatia anterioara se observa ca sunt necesare:

- reducerea reflexiei radiatiei la suprafata semiconductorului
- adincime mica a jonctiunii ($x_j \rightarrow$ mic, $\alpha x_j \ll 1$)
- largime mare a regiunii de sarcina spatiala (W_{sp} mare)
- recombinarea la suprafata a purtatorilor minoritari sa fie cit mai mica ($S_n, S_p \rightarrow$ minimum)

7.2.5 JONCTIUNE p-n DOPATA NEUNIFORM

Un cimp electric intern sau un gradient al impuritatilor creat in regiunile neutre ca si modalitate de diminuare a recombinarii purtatorilor minoritari va determina deplasarea mai rapida a purtatorilor minoritari spre jonctiune datorita vitezei drift [7].

Valoarea cimpului este:

$$E = \frac{1}{q} \frac{dE}{dx} = \frac{1}{q} \frac{dV}{dx} = \frac{kT}{q} \frac{dN(x)}{dx} = \frac{D_s}{\mu N(x)} \frac{dN(x)}{dx} \quad (7.22)$$

unde: $N(x)$ - concentratia impuritatilor ionizate.

Curentul de scurtcircuit intr-o jonctiune p-n (cu timpul de viata si mobilitatile purtatorilor minoritari constante) este:

$$J_{sc} = qn\phi_a (1-R) A_f \left\{ \frac{\alpha L_{pp}}{(\alpha + E_{pp})^2} \frac{L_{pp}}{L_{pp} - 1} \left[L_i - \frac{\alpha + E}{L_{pp}} \exp(-\alpha x_j) \right] + \frac{\alpha L_{nn} \exp(-\alpha W_{sp}) \exp(-E_{nn} x_j)}{(\alpha - E_{nn})^2 L_{nn}^2 - 1} \left[\left(\frac{\alpha - E_{nn}}{L_{nn}} - 1 \right) \exp\left(-(\alpha - E_{nn}) x_j\right) + \exp\left(-(\alpha - E_{nn}) (W - W_{sp})\right) L_2 \right] + \exp(-\alpha x_j) \left[1 - \exp(-\alpha W_{sp}) \right] \right\} \quad (7.23)$$

unde:

$$L_i = \frac{(\alpha + E_{pp}) L_{pp} \exp(E_{pp} x_j) - \exp(x_j / L_{pp}) \exp(-\alpha x_j)}{S_p L_{pp} - E_{pp} L_{pp}} + \frac{\left[S_p L_{pp} + E_{pp} L_{pp} \right] \sinh \frac{x_j}{L_{pp}} + \cosh \frac{x_j}{L_{pp}}}{\left[S_p L_{pp} + E_{pp} L_{pp} \right] \left[\exp(E_{pp} x_j) - \exp(x_j / L_{pp}) \exp(-\alpha x_j) \right]} + \frac{\left[S_p L_{pp} + E_{pp} L_{pp} \right] \left[\exp(E_{pp} x_j) - \exp(x_j / L_{pp}) \exp(-\alpha x_j) \right]}{\left[S_p L_{pp} + E_{pp} L_{pp} \right] \sinh \frac{x_j}{L_{pp}} + \cosh \frac{x_j}{L_{pp}}}$$

$$L_2 = \frac{\exp(-W_p/L_{nn}) \exp\left[\frac{(\alpha-E_{nn})W_p}{e}\right] - (\alpha-E_{nn})L_{nn}}{-(E_{nn}+S_n/D_n)L_{nn} \sinh W_p/L_{nn} + \cosh W_p/L_{nn}} -$$

$$- \frac{(E_{nn}+S_n/D_n)L_{nn} \left[\exp(-W_p/L_{nn}) \exp\left(\frac{\alpha-E_{nn}}{e}W_p\right) - 1 \right]}{(E_{nn}+S_n/D_n)L_{nn} \sinh W_p/L_{nn} + \cosh W_p/L_{nn}}$$

$E_{pp} = q E_1 / 2kT$ - cimpul normat in regiunea frontală n

$E_{nn} = q E_2 / 2kT$ - cimpul normat in regiunea bazei p

$$L_{pp} = \sqrt{E_{pp}^2 + (1/L_p)^2}^{-1} \quad - \text{lungimea de difuzie efectiva a golurilor}$$

$$L_{nn} = \sqrt{E_{nn}^2 + (1/L_n)^2}^{-1} \quad - \text{lungimea de difuzie efectiva a electronilor}$$

$$W = x_j + W_{sp} + W_p$$

Relatia anterioara indica dependenta curentului de scurtcircuit de cimpul electric produs de gradientul de impuritati din cele doua regiuni n si p ale jonctiunii p-n.

7.3 CARACTERISTICA DE PUTERE A UNEI CELULE FOTOVOLTAICE

Consideram "curba de putere" $I = f(V)$ a unei celule functionind ca generator la un iluminat fix ϕ in conditii de temperatura constanta T, data in fig.7.7.a.

Urmam valoarea rezistentei R pe care disipeaza celula (fig.7.7.b). Punctul de functionare definit prin intersectia dreptei de panta $1/R$ si curba de putere a acestei celule, se poate gasi intr-una din cele trei zone MN, NP, PS [3].

In zona MN, corespunzind valorilor mici ale rezistentei R, celula se comporta la iluminare constanta ca un generator de curent practic constant, de valoare apropiata curentului de scurtcircuit al celulei. In zona PS, corespunzatoare valorilor ridicate pentru R, celula se comporta ca un generator de tensiune practic constanta apropiata tensiunii de mers in gol a celulei. Este evi-

dent ca maximul de putere electrică va fi furnizat în sarcina avind valoarea optimă, R_{opt} corespunzătoare dreptei OA. Acest punct A se găseste în zona NP unde curba $I = f(V)$ a celulei iluminate este tangentă unei curbe de putere P_e echivalente. În punctul A regăsim o regula generală caracteristică unui transfer de putere optim între generator și sarcină: panta curbei $I = f(V)$ a celulei (generator) este egală cu panta dreptei OA (sarcina): $|dI/dV| = |1/R|$

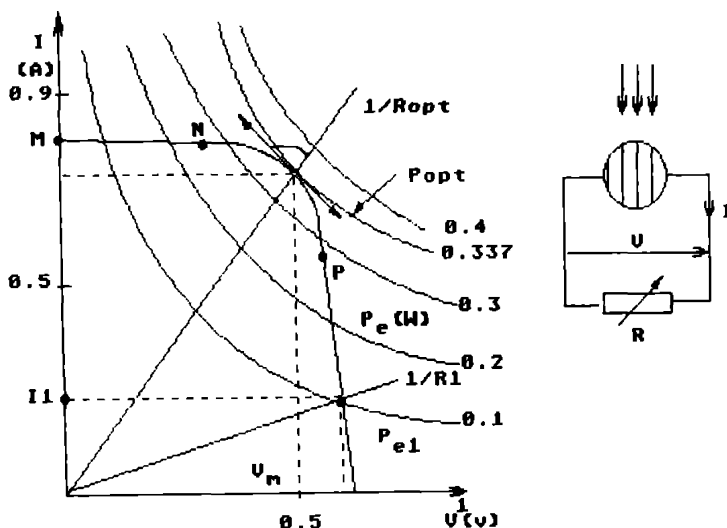


Fig.7.7 Caracteristica de putere a celulei fotovoltaice

Pentru aceasta parte a curbei caracteristice NP încadrind punctul de putere maxima, celula nu se comportă nici ca generator la tensiune constantă nici ca generator la curent constant.

Astfel apare o caracteristică fundamentală a celulei solare: în condițiile unui flux luminos și a unei temperaturi constante, celula "nu impune" nici o tensiune de funcționare nici un curent; doar curba MNPS este fixată. Aceasta este valoarea rezistenței R unde este încadrat generatorul, valoare ce va determina punctul de funcționare, caracterizat printr-un cuplu de valori (I, V) de curent și tensiune. Încadrata, de exemplu pe o rezistență de valoare R_1 (fig.7.7.a) și lucrind în condiții de flux luminos și

temperatura date, celula nu va ceda decit o putere P_{el} , inferioara puterii optime P_{opt} ($I_1 V_1 < I_m V_m$).

Acest comportament foarte particular al celulei fotovoltaice functie de impedanta pe care aceasta este incadrata direct este legat de faptul ca echilibrul se stabileste intre trei marimi:

- photocurentul I_f creat in structura prin o parte de radiatie absorbita (aceasta este practic curentul de circuit al celulei)

- curentul direct de obscuritate al jonctiunii $I_D(V_j)$ unde V_j este tensiunea aparuta la nivelul jonctiunii

- curentul I generat de celula si furnizat in sarcina

Echilibrul acestor 3 variabile se va scrie:

$$I = I_f - I_D(V_j) \quad (7.24)$$

7.3.1 INFLUENTA FLUXULUI LUMINOS ASUPRA CARACTERISTICII DE PUTERE A UNEI CELULE FOTOVOLTAICE

Fotocurrentul I_f este practic proportional cu fluxul luminos ϕ . Curentul $I_D(V_j)$, fiind prin definitie curent direct al jonctiunii la obscuritate, normal, nu este modificat. Aceasta nu este valabil doar pentru celulele care nu utilizeaza concentrarea de radiatie solara [3].

Fotocurrentul creat intr-o celula fotovoltaica este proportional cu suprafata S a jonctiunii supusa radiatiei solare; contrar, tensiunea de circuit deschis este independenta de aceasta suprafata, nefiind functie decit de material si tipul jonctiunii considerate. Fig.7.8 prezinta caracteristica $I=f(V)$ a unei celule solare, jonctiune p-n pe siliciu monocristalin de 57 mm diametru la 28 °C si la diverse valori ale fluxului luminos ϕ . Fiecarei valori a fluxului luminos corespunde o putere electrica maxima ce poate fi furnizata de celula solara.

Aceasta figura pune in evidenta o problema de utilizare a celulelor solare. Alegem cazul extragerii a maximum de putere la fluxul luminos $\phi = 1 \text{ kW} \cdot \text{m}^{-2}$. Daca fluxul este micsorat (valoarea ϕ') punctul de functionare v-a trece din punctul A la punctul B, daca impedanta generatorului nu se modifica.

Puterea transferata in sarcina ($I_B V_B$) va fi in consecinta, inferioara puterii $I' V'$ pe care generatorul o poate furniza la fluxul ϕ' . Impedanta corespunzatoare acestei puteri optime este super-

rioara lui R_{opt} si corespunde dreptei OC. Constatam pe fig.7.8 ca punctele de putere maxima se situeaza pe o verticala in diagrama curent-tensiune.

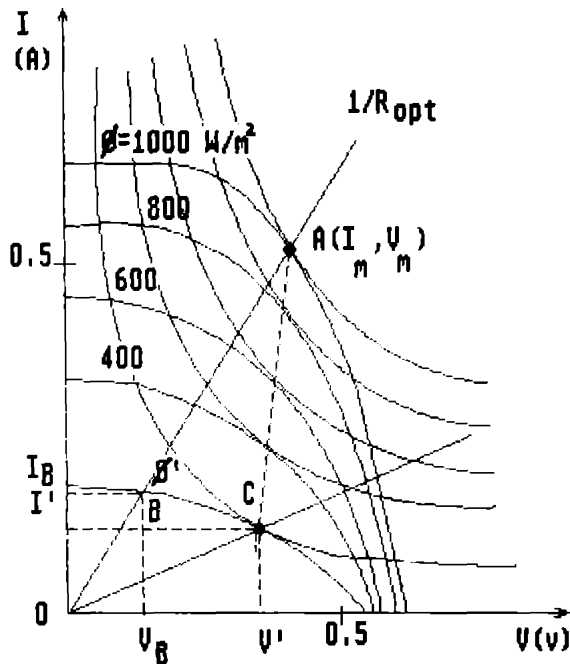


Fig.7.8
Influenta fluxului luminos asupra caracteristicii de putere a unei celule foto-voltaice

Tensiunea de mers in gol V_{co} a unei celule corespunde conditiilor unde currentul direct in obscuritate $I_D(V_j)$ egaleaza photocurrentul I_f , punctul S, fig.7.8; aceasta tensiune se va micsora cu fluxul luminos (deci cu I_f) asa cum este prezentat in fig.7.8.

7.3.2 INFLUENTA TEMPERATURII ASUPRA CARACTERISTICII DE PUTERE

Temperatura este un parametru foarte important si deseori neglijat in studiul comportarii celulei solare. Daca temperatura creste, photocurrentul creste cu diminuarea latimii benzii interzise a materialului. Acest efect nu poate fi singurul, asa ca mai intervin o variatie a coeficientului de absorbtie optic sau o imbunata-

tire a latimii de difuzie. Aceasta majorare a curentului cu temperatura T este de ordinul $3 \cdot 10^{-2} \text{ mA} \text{K}^{-1}$ pe cm^2 celula iar la AM 1 avem o variație de 0,1 % pe grad.

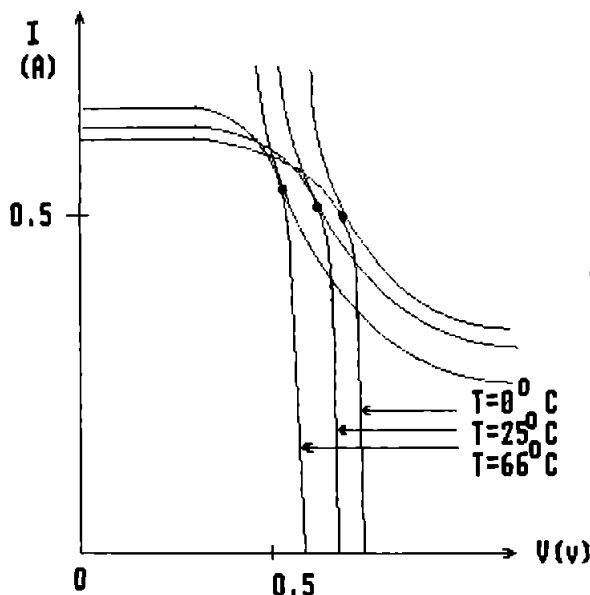


Fig.7.9
Influenta temperaturii asupra caracteristicii de putere a unei celule fotovoltaice

Conțar, curentul direct la obscuritate $I_D(V_j)$ majorindu-se rapid cu temperatura T , rezulta o diminuare a tensiunii de mers în gol ordinul a 2 mV pe grad. Aceste două procese conduc la caracteristicile prezentate în fig.7.9 [3].

Majorarea temperaturii în total se traduce prin diminuarea puterii maxime disponibile, de ordin $5 \cdot 10^{-5} \text{ W K}^{-1}$ pe cm^2 de celula iar la AM 1 reprezintă o variație de 0,35 % pe grad cît și prin modificarea valorii sarcinii, permitînd extragerea acestei puteri optime.

Deci, în concepția unui sistem fotovoltaic este necesar de a alege elemente plasate în avalul generatorului pentru a putea extrae maxim de putere din acest generator.

7.4 ACUMULATOARE PENTRU STOCAJUL ENERGIEI FOTOVOLTAICE

In balanta energetica, energia fotovoltaica reprezinta o sursa inepuizabila, fara probleme de transport si depozitare. Din pacate, aceasta energie este disponibila cu intermitente mai mult sau mai putin ciclice.

In perioadele cu soare abundant, energia solara disponibila depaseste necesarul (acesta avind valori maxime tocmai in perioadele in care energia fotovoltaica lipseste cu desavirsire, indeosebi noaptea).

Astfel pentru folosirea din plin a energiei fotovoltaice o parte din aceasta se foloseste in actionari directe iar surplusul acestora in stocaj sub forma de energie electrica in acumulatoare daca investitiile legate de captarea si stocarea acestora in acumulatoare sunt rentabile.

Captatorii solari, pe masura ce productia lor se intensifica iar tehnologiile se modernizeaza, crescind productivitatea, vor avea costuri de fabricatie tot mai reduse si mai accesibile.

Se impune insa, ca aceasta energie, disponibila periodic sa fie stocata in cantitate suficienta ca sa acopere toate perioadele de lipsa. Pentru aceasta, in functie de necesitati, trebuie ales si generatorul fotovoltaic si capacitatea acumulatorului.

In afara de capacitatea corespunzatoare, tipul de acumulator ales trebuie sa aiba o autodescarcare cit mai redusa altfel o parte importanta din energia depozitata se iroseste fara folos.

Stocajul energiei fotovoltaice se realizeaza in trei domenii de aplicatii in dependenta de puterea generatoarelor:

- a) consumatori izolati (locuinte, case particulare situate la distanta, cabane, statii meteorologice sau hidrologice).

Generatoarele au puteri reduse (0,5-3 kW) iar bateriile de stocaj de tip conventional au capacitate de 2-10 kWh.

Tensiunea bateriilor este de 6, 12, 24, 48 sau 72 V in raport cu cea a panourilor solare, iar unitatile modul de 6 sau 12 V pot fi legate in serie sau paralel pentru a mari capacitatea de stocare

- b) institutii (centre comerciale,scoli,unitati industriale, agricole sau aplicatii militare). Generatoarele au puteri medii 5-50 kW iar bateriile de stocaj sunt in general de tip neconventional, de capacitate corespunzatoare.
- c) centrale electrice,cuplate in sistem;puterea totala a generatoarelor,de ordinul (0,5-10)MW cu baterii de stocaj de mari capacitatii compuse din module inseriate sau legate in paralel.

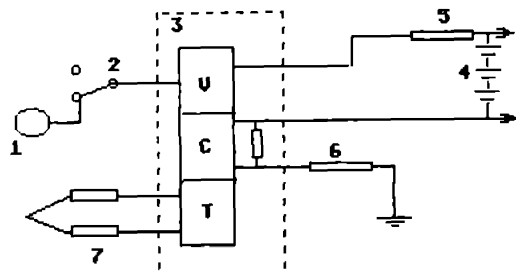


Fig.7.10 Schema de principiu a unei instalatii solare cu stocare in acumulatoare electricice

- 1 - panou solar;
- 2 - comutator cu pozitie repaus;
- 3 - bloc regulator de tensiune (V), de curent C si termic (T);
- 4 - acumulator de stocaj cu debitare pe sarcina;
- 5,6,7 - senzori de tensiune, curent si temperatura

Comutatorul 2 poate trece sistemul de incarcare pe panourile solare sau pe pozitia de repaus. Blocul regulator 3 adapteaza tensiunea panourilor solare la valori corespunzatoare bateriei de acumulatoare, limiteaza supraincarcarea sau valorile exagerate de curent (C) regleaza parametri functionali la temperatura ambianta (-30 °C...+ 50°C daca este cazul).

7.4.1 GENERATOR LA TENSIUNE CONSTANTA, LA CURENT CONSTANT

O pilă chimică, un acumulator, o alimentare reglată prin tensiune sint exemple de generatoare de tensiune constantă, caracterizate printr-o tensiune nominală V_N și curent nominal I_N .

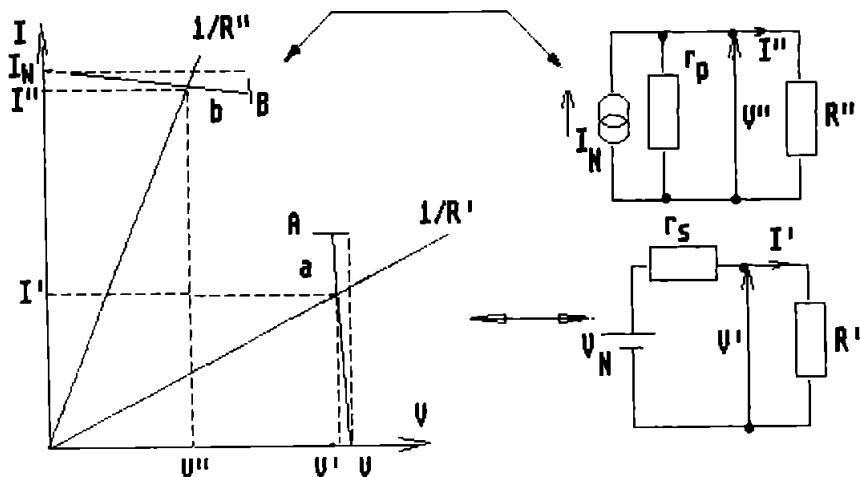


Fig.7.11

curba a - generator la tensiune constantă

curba b - generator la curent constantă

7.4.2 GRUPAREA CELULELOR ELEMENTARE IN SERIE

Tensiunea generată de o celula fiind foarte mică, vor trebui în majoritatea cazurilor asociate un oricare număr de celule pentru a obține o tensiune compatibilă.

Din figura 7.12 constatăm următoarele: curentul generat de celule este același, în tot cuplajul, la fel cu cel de încarcare. O prima regula este ca nu trebuie conectate în serie decât celule identice. Caracteristica (1) caracterizează una din cele N_S celule ale grupării serie.

Caracteristica de putere a grupului G se obtine multiplicind punct cu punct si pentru acelasi curent, tensiunea cu N_S .

Incadrat pe rezistenta R' , gruparea serie va elibera curentul I de tensiune $N_S \cdot V_i$, fiecare din cele N_S celule generind curentul I si tensiunea V_i . Constructia grafica din fig.7.12.b presupune ca o conexiunea serie a celulelor nu introduce rezistente serie suplimentare.

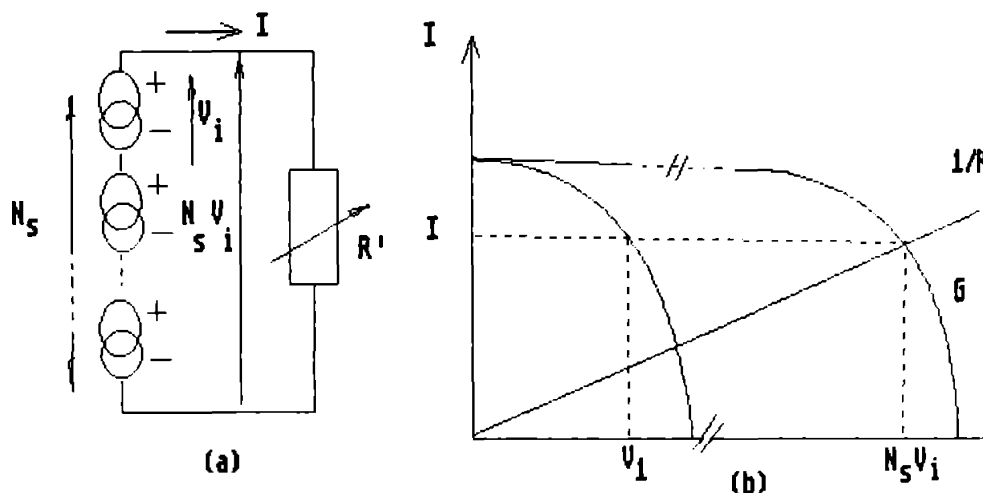


Fig.7.12 Caracteristica curent tensiune la gruparea in serie

7.4.3 GRUPAREA CELULELOR ELEMENTARE IN PARALEL

Este posibil de a majora debitul furnizat la o incarcare conectand in paralel mai multe celule fotovoltaice asa cum indica si fig.7.13.a.

Constatam in acest caz ca tensiunea generata este la fel pentru toate celulele iar cea de a doua regula este: nu trebuie conectate in paralel decit celulele identice. Fig.7.13.b prezinta caracteristica de putere rezultanta (G) a grupului paralel considerat. Aceasta caracteristica a fost obtinuta multiplicind punct cu punct cu N_p (numarul de celule in paralel) si pentru fiecare valoare a tensiunii curentul caracteristicii (I) corespunde unei celule elementare. Incadrat pe o rezistenta "R" grupul paralel va

elibera curentul $N_p I_i$ la tensiunea V , fiecare din celule generind curentul I_i .

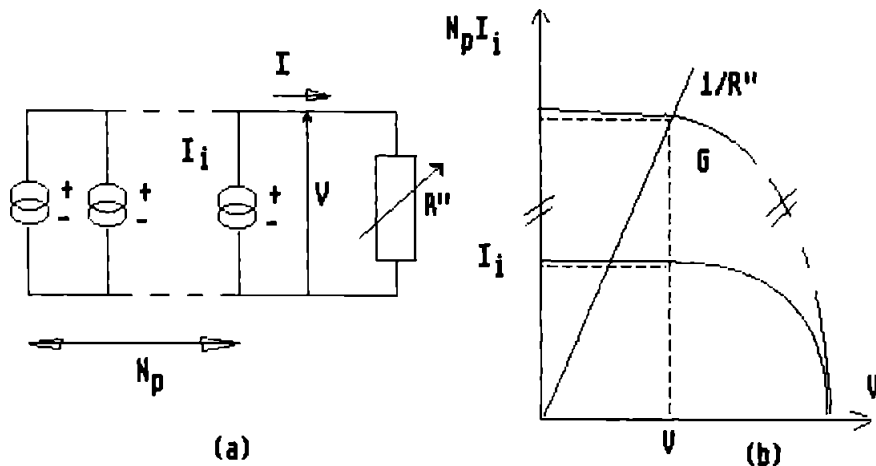


Fig.7.13 Conectarea in paralel a mai multor celule fotovoltaice

7.5 MATERIALE FOTOVOLTAICE

O celula solară este constituită dintr-un material absorbant și o structură colectoare. Materialul trebuie să posede minim două nivele de energie și să fie bun conductor pentru a face posibil scurgerea curentului. Structura colectoare cea mai simplă este un cimp electric.

Cimpul electric este asociat unei bariere de potential:

$$E = - \text{Grad } V$$

(intr-o modelare unidimensională $E = - dV/dx$) bariera ce este intr-o dependență directă de diferența nivelelor de energie Fermi între cele două regiuni. Materialele fotovoltaice sunt încadrate în categoria semiconducțorilor, structura colectoare fiind o joncțiune p-n, o heterojoncțiune sau o bariera Schottky.

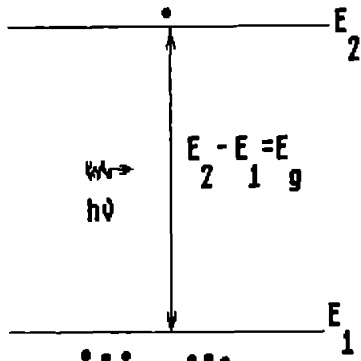


Fig.7.14

Cel mai simplu prototip al unui material este constituit dintr-un sistem avind două nivele 1 și 2 de energii E_1 și E_2 asa cum se prezintă în figura.

Pentru realizarea unui model ideal al unui convertor foto-voltaic se fac următoarele ipoteze [7]:

- electronii nu pot avea energiile cuprinse între E_1 și E_2 pot să se gasească pe nivelul 1 sau 2.
- un foton având o energie inferioară energiei $E_g = E_2 - E_1$ nu poate fi absorbit
- un foton de o energie egală sau superioară energiei E_g este absorbit total prin transferul unui electron de la nivelul 1 spre nivelul 2 care astfel lăsa un gol pe nivelul 1
- mecanismele de relaxare a electronului spre nivelul 1 (numite recombinare electron-gol) sunt presupuse suficient de lente ca electronul excitat să fie colectat
- tensiunea de ieșire a acestei celule fotovoltaice ideale este egală cu E_g/q unde q reprezintă sarcina electronului.

Conform principiului lui Pauli fiecare electron din atomul liber are o anumita energie și ocupă un nivel energetic discret. Datorită interacțiunii dintre atomi, în corpul solid, nivelele energetice discrete ale atomilor se desfăc în benzi energetice. Electronii în corpul solid pot avea energii numai în interiorul benzilor energetice permise. În cazul elementelor din grupa a IV-a C, Si și Ge, fiind izolatori și semiconductori (nu metale asa cum ar rezulta din ocuparea cu electroni a nivelelor atomice) avem o situație caracterizată prin suprapunerea și despărțirea benzilor și pînă în așa fel încît banda superioară (banda de conductie) să

contine $4N$ stari libere, iar banda inferioara (banda de valenta) sa aiba $4N$ stari complet ocupate cu cei $4N$ electroni de valenta ai unui cristal format din N atomi (fig.7.15) [18].

Principalele proprietati ale semiconductorilor uzuali TABELUL 71

	Ge	Si	GaAs	
Banda interzisa	0,67	1,11	1,35	(eV)
Numar atomic	32	14		
Masa atomica	72,6	28,8	144,6	(g)
Densitate	5,32	2,33	5,32	(g·cm ⁻³)
Atomi × cm ⁻²	$4,5 \cdot 10^{22}$	$5 \cdot 10^{22}$	$2,2 \cdot 10^{22}$	
Parametri retelei	5,567	5,431	5,653	(10 ⁻¹⁰ m)
Temperatura difuzie	937	1420	1238	(°C)
Tranzitie	ind(111)	ind(100)	dir(000)	
dE_g/dT	-3,7	-2,3	-5,0	10 ⁻⁴ V/k
m/m_e electroni	0,55	1,08	0,072	
m/m goluri	0,31	0,56	0,5	
N_c	1,03	2,82	0,46	10 ¹⁹ cm ⁻³
N_v	0,43	1,04	0,89	10 ¹⁹ cm ⁻³
n_i	$2,4 \cdot 10^{13}$	$1,5 \cdot 10^{10}$	$1,1 \cdot 10^7$	(cm ⁻³)
Indice refractie	4,0	3,42	3,30	
Coef.dilat. termica	$6,1 \cdot 10^{-6}$	$4,2 \cdot 10^{-6}$	$6,0 \cdot 10^{-6}$	(°C ⁻¹)
Const. dielectrica	16	11,7	11	

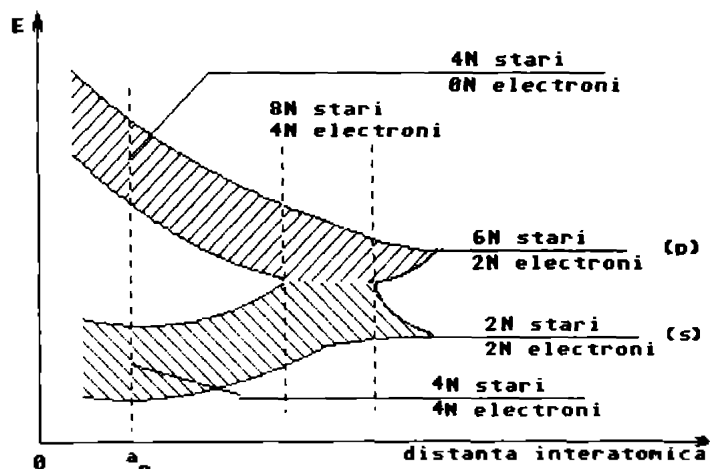


Fig.7.15 Formarea benzilor energetice in cazul semiconductorilor din grupa a IV-a cind benzile se si p interactioneaza

7.6 CELULE SOLARE CU SILICIU

Siliciul este cel mai utilizat semiconductor la realizarea celulelor solare atit in stare monocristalina cit si in stare policristalina sau amorfă. Prima celula solara a fost realizata in anul 1954 [18].

7.6.1 CELULE SOLARE CU SILICIU MONOCRISTALIN

Largimea benzii interzise a siliciului monocristalin de 1,12 eV este foarte apropiata de valoarea optima pentru utilizari in conversia fotovoltaica.

Cu o structura de benzi energetice indirecte siliciul are coeficientul de absorbtie mai mic, ceea ce permite o adincime mai mare de patrundere a radiatiei solare cu o influenta mai mica a recombinarii la suprafata asupra performantelor celulelor solare.

Adincimea jonctiunii celulelor solare cu siliciu este sub 0,5 μm , iar grosimea totala este in jur de 300 μm [3].

Contactul frontal realizat sub forma de grila acopera 5+7 % din suprafata utila a celulei solare.

Tipuri reprezentative de celule solare cu siliciu:

- cimp intern in regiunea bazei (BSF, Back Surface Field).
- celule solare texturizate (se realizeaza pe siliciu in care suprafata frontală pe care cade radiatia solară are aspect piramidal, o parte din radiatia incidenta cîstigindu-se prin refractie).
- celule solare cu contact reflector (pe spatele celulei solare se realizeaza un contact reflector pentru radiatia cu lungimea de unda $\lambda \geq 1,1 \mu\text{m}$, aceste celule fiind numite BSR, Back Surface Reflector).

7.6.2 CELULE SOLARE CU SILICIU POLICRISTALIN

Studiul silicului policristalin pentru utilizari solare a trecut in evidenta cteva caracteristici ce se impun acestui material:

- dimensiunile cristalitelor sa fie mai mari decit lungimea de difuzie a purtatorilor minoritari

- orientarea in linie a cristalitelor

Eficienta conversiei de 12 % realizata face posibil ca pretul energiei obtinute sa scada sub 0,5 \$ USA/Watt, deci, sa devina competitiva cu costul energiei electrice obtinute prin procedee clasice.

7.6.3 CELULE SOLARE CU SILICIU AMORF (a - Si)

Siliciul amorf considerat ca o posibilitate reala de obtinere a unor celule solare performante si ieftine ofera avantajele:

- tehnologiei de obtinere simple

- se poate dopa atit cu impuritati donoare,cit si acceptoare

- largimea benzii interzise este cuprinsa intre (1,5+2 eV)

- coeficientul de absorbtie in domeniul spectral al radiatiei solare este cu un ordin de marime mai mare decit la siliciul monocristalin

- se pot realiza celule solare cu homojonctiuni, heterojonctiuni, Schottky, metal izolator semiconducator (MIS), cu si fara cimpuri interne

Prima celula solară cu siliciu amorf a fost obtinuta in anul 1974 avind eficienta 0,01.

Siliciul amorf dopat cu hidrogen (a-Si:H) sau cu hidrogen si fluor (a-Si:H:F) este obiectul experimentarilor pentru obtinerea unor celule solare de eficienta 7+9 %, ceea ce le-ar face competitive.

7.6.4. CELULE SOLARE CU HETEROJONCTIUNI

Combinatiile dintre doi semiconductori de conductibilitati si largimi ale benzii interzise diferite, permit realizarea heterojonctiunilor. Mentionam cteva avantaje:

- eficiența mai mare a conversiei, mai ales la lungimi de unda mici, datorita efectului de fereastra;
- posibilitati largi de diminuare a rezistentei serie a celulelor solare prin reglarea grosimii stratelor semiconductoare

7.6.5 CELULE SOLARE PENTRU RADIATIA SOLARA CONCENTRATA

Pentru a mentine (prin reducerea ariei active a celulelor solare) sau pentru a creste puterea debitata se recurge la concentrarea radiatiei incidente.

Conceptia, realizarea si functionarea celulelor solare in lumina concentrata este determinata de:

- temperatura ridicata datorata concentrarii
- rate mari de fotogenerare a purtatorilor minoritari

Prezentam cteva modele de celule solare pentru lumina concentrata

- celule solare tandem sau in cascada (permite o absorbtie selectiva a radiatiei din spectrul solar)
- celule solare multijonctiune cu structura V (trapezoidală)
- celule solare interdigitale (regiunile n⁺ si p⁺ sunt interconectate pe fata opusa celei pe care cade radiatia incidenta).

7.6.6 CELULE SOLARE "MIS" (METAL-IZOLATOR-SEMICONDUCTOR)

Structura MIS standard sau mai recent denumita MINP (Metal-Izolator-Jonctiune p-n) se caracterizeaza prin prezența stratului izolator intre contactul frontal semitransparent pentru radiatia solara si semiconducitor sau jonctiunea p-n.

Pentru realizarea celulelor solare MIS cu siliciu, combinatii favorabile sunt: Al, Cr, Ti, Mg-SiO₂-pSi; Au, Ag, Cu, Ni, Pt-SiO₂-nSi

Heterobarierile Schottky realizate in combinatia Au, Al_{0,5}Ga_{0,5}As/GaA sau permis obtinerea unor tensiuni de circuit deschis de 880 mV si eficiența de 10,5 %.

7.7 REALIZARI PE PLAN MONDIAL

Eforturile depuse in cercetarea si proiectarea modulelor si sistemelor fotovoltaice au condus la imbunatatirea randamentelor si la micsorarea sensibila a costului.

De la miliwati pentru ceasuri si calculatoare de buzunar pina la kilowati pentru aplicatii profesionale, productia de energie electrica de natura fotovoltaica astazi cunoaste o expansiune rapida.

Sistemele fotovoltaice confirmă prin utilizarea lor tot mai raspandita avantajele specifice lor:

- alimentare superioara fata de grupurile electrogene termice,
- furnizare continua, 24 din 24 de ore

Pe plan mondial situatia in fotovoltaic prezentata in tabelul 7.2 arata cresterea puterii instalate intre anii 1976-1992 [15]:

TABELUL 7.2

anul	1976	1987	1992
putere instalata [MW _v]	0,4	25	40

Pe plan mondial deja exista in exploatare utilizind celule fotovoltaice [14]:

- peste 1000 frigidere
- cca 3000 pompe solare
- 70.000 instalatii de telecomunicatii
- 1 milion instalatii de iluminat public
- 5 milioane calculatoare de buzunar

Incepind cu anul 1980 cele doua filiere de siliciu policristalin si amorf au substituit siliciul monocristalin, ducind la o reducere importanta a costului.

De la 8 % in 1978, randamentul celulelor policristaline a atins 12% asteptindu-se o majorare a acestuia pina la 15 % in 1993.

Acestui progres tehnic i se adauga ameliorarea proceselor industriale permitind o utilizare mai eficace a materialului, astfel pentru obtinerea unei celule de un Watt/virf acum se folosesc 20 grame siliciu fata de 50 grame in 1982 [18].

Astazi accentul in conversia fotovoltaica de putere se pune pe celula fotovoltaica de siliciu cristalin. Randamentul de

conversie al acesteia poate atinge 28 % cu concentrare, 22 % fara concentrare si 14 % in straturi subtiri. Prin componitie siliciul amorf conduce la 12 % pentru celule simple si 13,7 % pentru celule complexe tandem.

Instalatiile dezvoltate de firma franceza Photowatt permit decuparea simultana a 500 placute de 0,200 mm grosime fata de 0,400 mm realizate cu instalatii clasice sperind sa se poate obtine placute de 0,120 mm grosime anul acesta [15].

Acesti factori au determinat reducerea sensibila a costului la module de la 50 \$ USA in 1974 la 8 \$ USA in 1988 cu tendinta de a ajunge la 4 \$ USA/Watt_v in decursul anului.

Numarul unu in Europa, producator de module de siliciu cristalin este societatea franceza Photowatt cu 20.000 module de putere 42 Watt_v (total 0,9 MW/an). Alti producatori europeni sunt: AEG, in Germania (numarul unu in productia de celule spatiale), BP Solar in Spania, Ital Solar in Italia, Solpro in Belgia.

Siliciul amorf descoperit in 1976 la Universitatea Dundee a aparut pe piata japoneza in anul 1981. Primele module comercializate in 1984 au avut un randament de 4 %. Astazi randamentele atinse sunt 5-6 %, telul propus pentru anul viitor fiind 9 % la un pret inferior a 2,5 \$ USA/Watt_v [18].

Unitati produsatoare de module comercializate cu siliciu amorf exista in USA (Arco, Solarex, Chronar) Japonia, in Europa (Total, Solems, Phototronics - Franta; Siemens, M.B.B. - Germania; trei uzine dupa licenta Chronar in Franta, Jugoslavia si Irlanda). In cazul celulelor utilizate in aplicatii terestre, criteriul de alegere al acestora nu este randamentul, ci pretul modulului/Watt_v. Celulele policristaline ale anilor '80 au fost produse la pretul de 10 si apoi 5 eccu/Watt. Siliciul amorf insa a dat sperante mari prin pretul de 3 eccu/Watt cu tendinte de micsorare.

Astazi siliciul amorf are un avantaj in ceea ce priveste pretul, dar si doua handicapuri: stabilitate insuficienta si randament slab.

In momentul de fata exista celule fotovoltaice de randament inalt. Ameliorarea randamentului la celulele fotovoltaice in siliciul cristalin este obiectul a doua echipe: Stanford in SUA si Sydney in Australia. Se foloseste o combinatie de calitati: un

material monocristalin de inalta calitate, pierderi reduse pe cimpul posterior si anterior (pasivizarea de suprafata) o miniaturizare a zonelor din semiconductori dopati puternic.

Cele mai inalte randamente au fost obtinute la celulele GaAs in USA, dar cele mai perfectionate sunt sistemele tandem. Aceste sisteme sunt bazate pe utilizarea optima de doua celule fotovoltaice a doua benzi diferite a radiatiei solare. Randament obtinut: 31 % cu posibilitati de imbunatatire.

Asocierea unui concentrator si a unei celule fotovoltaice are un alt avantaj: reducerea suprafetei celulei fotovoltaice divizata prin raportul de concentrare.

Studii in acest domeniu se efectueaza si in Europa: INSA Lyon, CNRS Valbonne - Franta; CISE Milano - Italia; Universitatea din Stuttgart, Institutul Frauhoffer din Freiburg - Germania [14].

Cercetarile efectuate invoca promisiuni industriale, sperante si convingerea ca sintem in fata unui viitor promitator in ceea ce priveste conversia fotovoltaica.

7.8 STUDIUL EXPERIMENTAL

In cadrul catedrei de fizica a Facultatii de Electrotehnica a U.T.T, pe diferite perioade ale anilor 1987-1991, am efectuat studiul experimental al unui panou solar de tip SM 12-36150 pentru determinarea parametrilor teoretici, conform schemei din fig.7.16.

Masuratorile au fost efectuate in conditii naturale avind posibilitatea de orientare a panoului in raport cu pozitia soarelui pe bolta. Au fost efectuate masuratori in plan ce realizeaza normalitatea razelor la suprafata celulelor, in plan orizontal si in plan vertical raportat la suprafata pamantului [13].

Parametrii utilizati in studiul experimental:

I_0 - intensitatea radiatiei solare masurata cu solarimetru, valoare data in plan orizontal [W/m^2]

I_{DIF} - componenta difusa $I_{DIF} = \frac{I_0}{3}$ [W/m^2]

I_{DIR} - componenta directa $I_{DIR} = \frac{2}{3} \frac{I_0}{\cos H}$ [W/m^2]
H - unghiul facut de Soare cu planul orizontal [$^\circ$]

I_{ef} - intensitatea pe panou $I_{ef} = I_{DIF} + I_{DIR}$ [W/m²]

P - puterea primita de la Soare $P = I_{ef} \cdot S$ [W]

S - suprafata celulelor [m²]

R_s - rezistenta de sarcina (variere in trepte 0 → ∞)

Pentru $R = 0$ se citeste I_{sc}

$R = \infty$ se citeste V_{gol} , iar pentru celelalte valori au fost cititi V si I si trasate curbele $I = (V)$

din unde a rezultat R_{optim}

P_{el} - putere electrica $P_{el} = V \cdot I$ [W]

E_{el} - energia pe partea electrica $E_{el} = P_{el} \cdot t$ [J]

η - randamentul $\eta = \frac{P_{el}}{P} \quad [\%]$

K_u - factor de utilizare $K_u = \frac{V \cdot I \text{ (pentru } R_{\text{optim}} \text{)}}{V_{gol} \cdot I_{sc}}$

Curba $I = f(V)$ se traseaza la $I_s = \text{const}$

$P_{el} = f(R_s)$ se traseaza la $I_s = \text{constant}$

$P_{ef} = f(I_s)$ se traseaza la $R = \text{constant}$

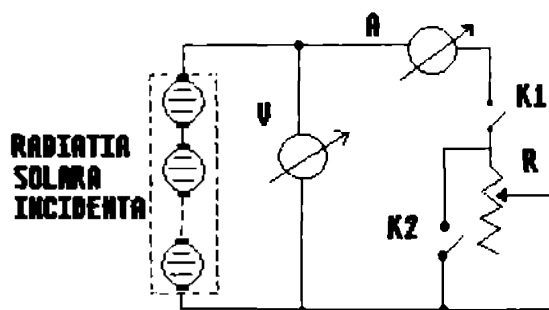
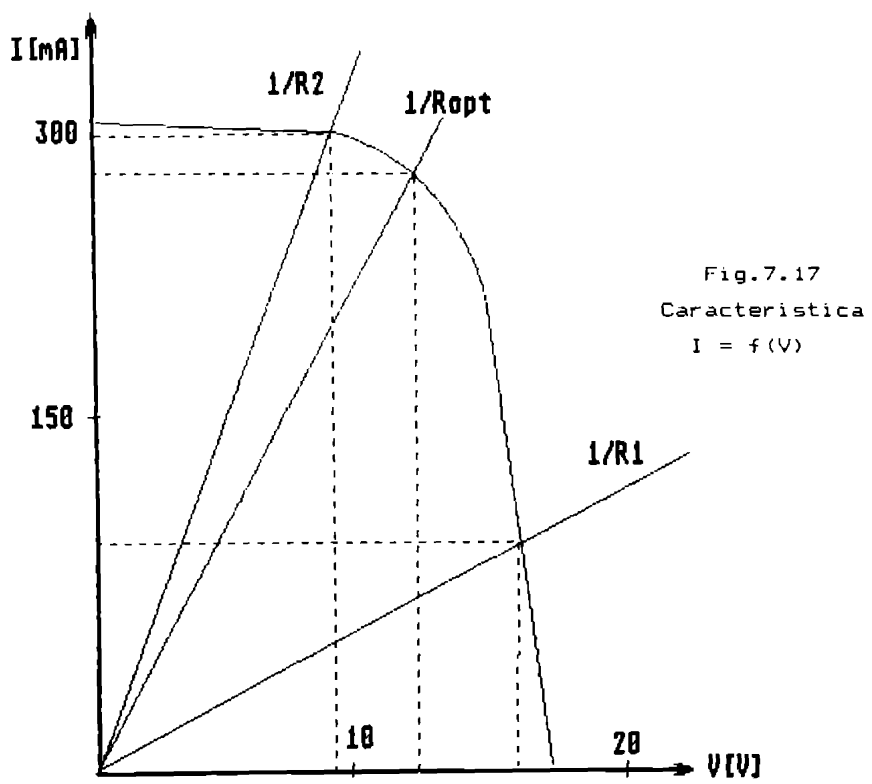


Fig.7.16 Schema electrica a instalatiei experimentale utilizata pentru masuratori

In efectuarea calculelor propriu-zise am utilizat programe pentru calculul:

- unghiului H facut de Soare cu planul orizontal,
- energiei solare medii pe o suprafata orientata catre Soare, situata la limita superioara a atmosferei terestre
- energiei solare medii la suprafata pamintului in plan orizontal si vertical
- parametrilor ce intervin in masuratorile experimentale.



In fig.7.17 este reprezentata caracteristica $I = f(V)$ cu domeniul de functionare la curent constant $\Delta I = 10\%$ si la tensiune constanta ($\Delta V = \pm 5\%$).

Din masuratori, facind calculele necesare a rezultat rezistenta de sarcina R_s

$$R_s'' = \frac{V_1}{I_2} = 30 \Omega \quad \text{deci } R_s \in (0,30) \Omega$$

$$R_s' = \frac{V_1}{I_1} = 110 \Omega \quad \text{deci } R_s \in (110, \infty) \Omega$$

Din caracteristica $I = f(V)$ se obtine rezistenta optima de sarcina:

$$R_{opt} = \frac{V_{max}}{I_{max}}$$

Puterea maxima pe panou a fost obtinuta, pentru $I_{ef} = 450 \text{ W/m}^2$

$$P_{max} = V_{max} \cdot I_{max} = 3,83 \text{ W}$$

Coefficientul de utilizare se calculeaza:

$$k_u = \frac{V_{gol} \cdot I_{sc}}{V_{max} \cdot I_{max}} = 0,62$$

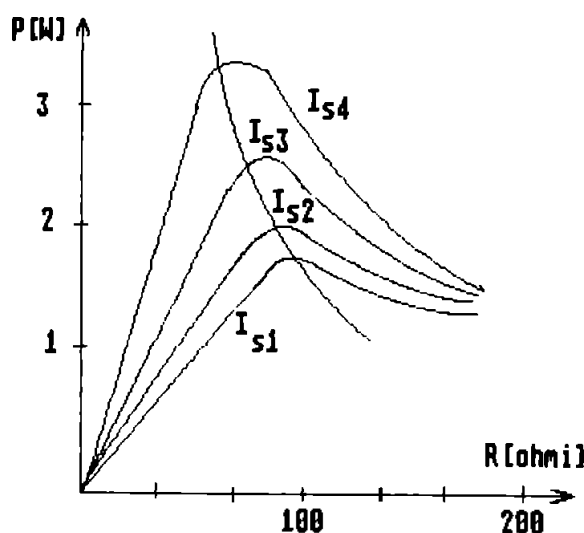


Fig.7.18
caracteristica puterii
electrice in functie de
rezistenta de sarcina
la diferite intensitati

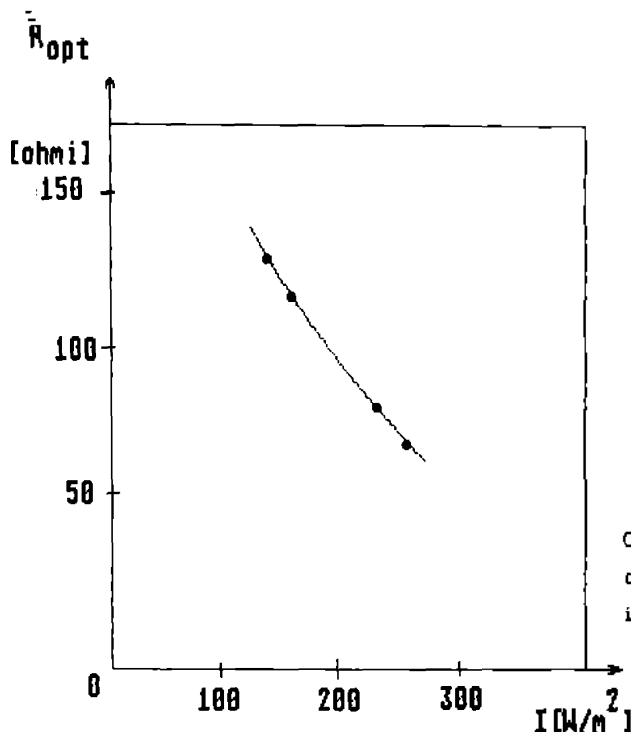


Fig.7.19
Caracteristica rezistentei optime in dependenta de intensitate

Maximul caracteristicii puterii electrice in functie de rezistenta de sarcina determina un interval ingust pentru valoarea rezistentei de sarcina la care se obtine puterea electrica maxima. Caracteristica $P = f(R_s)$ se aplatizeaza pentru valori mai mici ale intensitatii radiatiei, astfel domeniul de lucru pentru rezistentele electrice devine mai larg, dar se micsoreaza puterea electrica obtinuta.

Problema utilizarii panourilor solare la putere maxima pentru instalatii puternice poate fi rezolvata prin:

- adaptarea rezistentei electriche a consumatorului la valoarea ceruta de maximul din caracteristica $P = f(R_s)$
- legarea mixta a mai multor panouri astfel incit sa se

realizeze pentru rezistența totală o valoare apropiată de valoarea cerută la funcționarea eficientă a panoului solar.

Randamentul panoului solar prezentat în fig.7.20 conform [13] se calculează:

$$\eta = \frac{P_{\text{e}}}{P_{\text{inc}}} = \frac{VI}{nS_c I} \quad \eta_{\max} = \frac{P_{\max}}{P_{\text{inc}}}$$

În ziua de 02.11.1989 au fost efectuate măsurători asupra intensității radiației solare. În fig.7.20 se reprezintă randamentul determinat pentru diferite pozitii ale panoului solar.

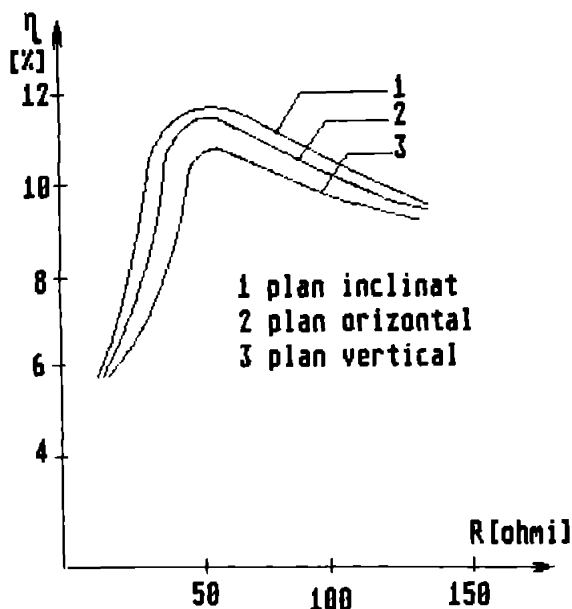


Fig.7.20
Randamentul panoului solar în funcție de rezistență pentru diferite valori ale intensității

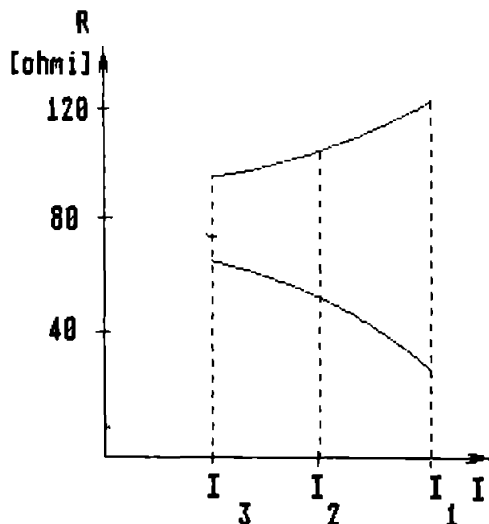


Fig.7.21

Valoarea rezistenței de sarcină la diferite intensități

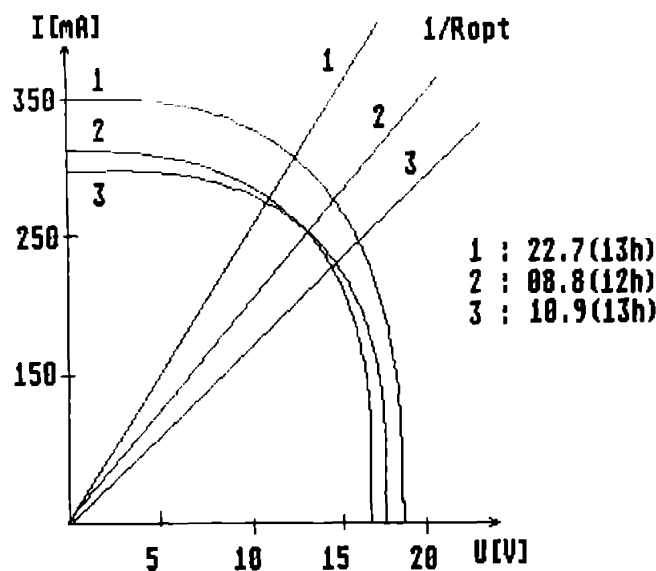


Fig.7.22

In fig.7.22 se prezinta caracteristica $I = f(V)$ cu rezistența optima $1/R_{opt}$ pentru diferite ore și zile.

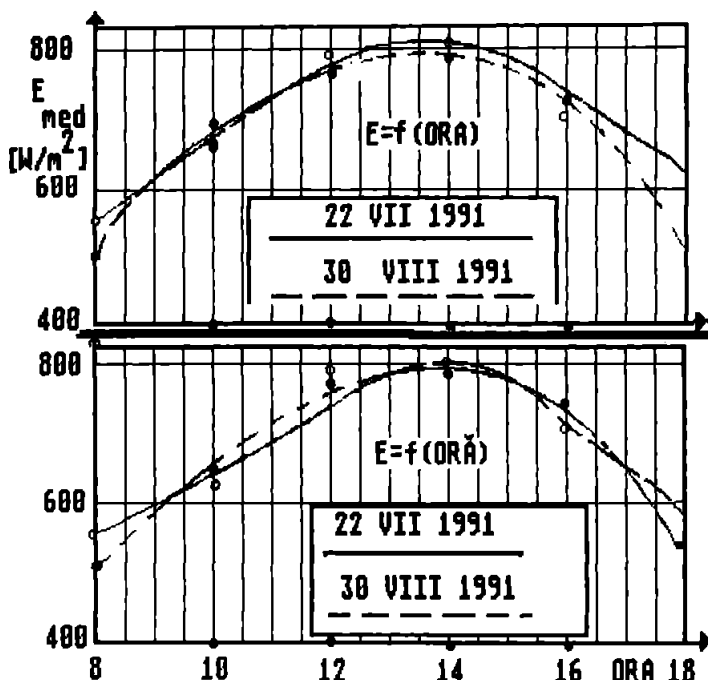
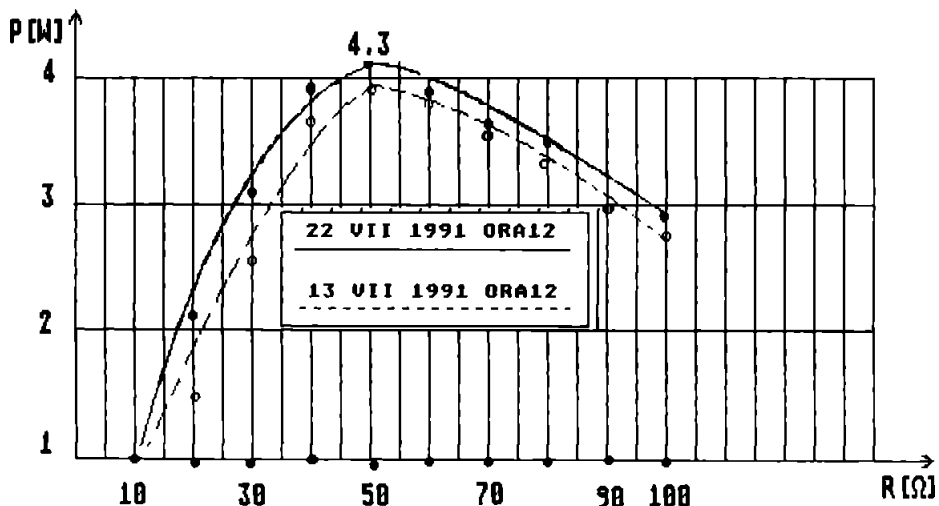


Fig.7.23

Intensitatea radiatiei solare in plan orizontal pentru diferite zile si medii lunare



In fig.7.24 se prezinta caracteristica de putere in functie de rezistenta pentru cete doua zile din lunile iulie si august cît si puterea medie in functie de rezistenta pentru lunile iulie si august. In cazul lunii august este prezentata si o zi in care intensitatea radiatiei solare a fost minima datorita conditiilor atmosferice.

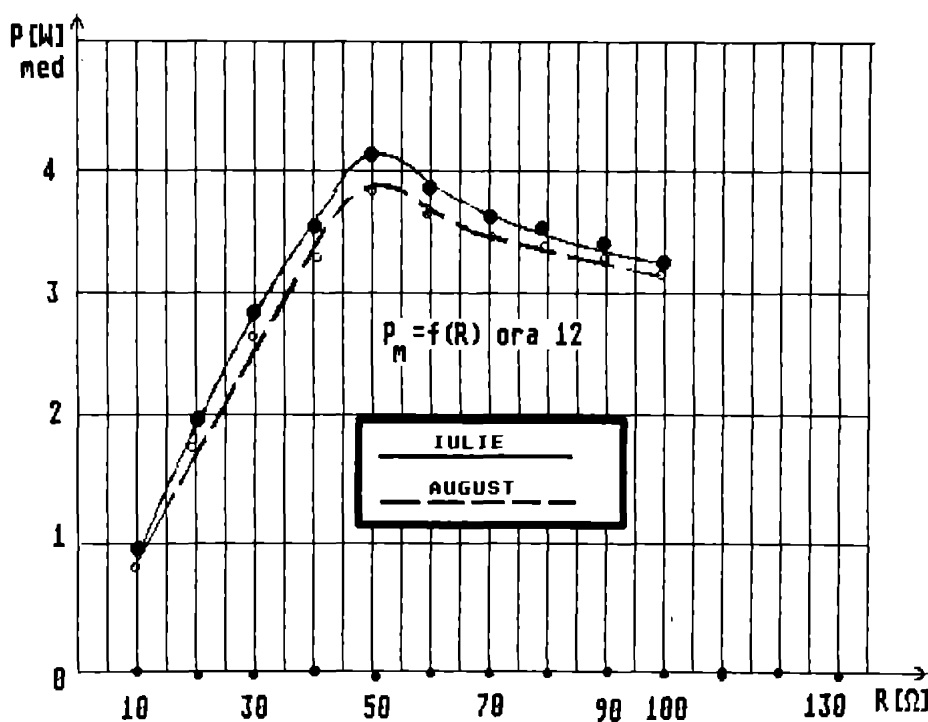
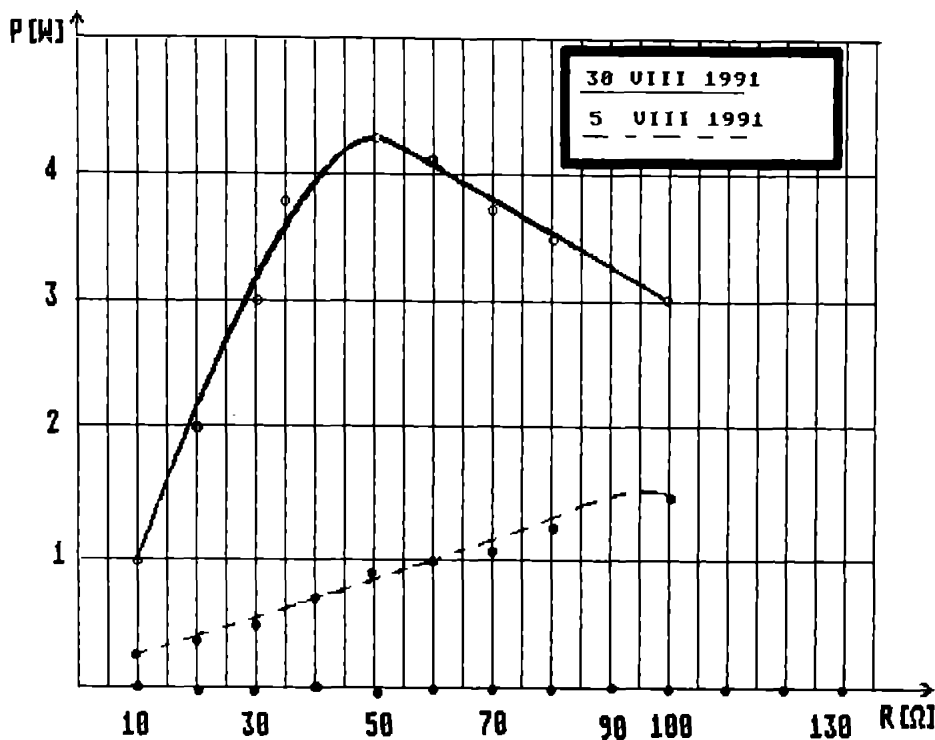


Fig. 7.24

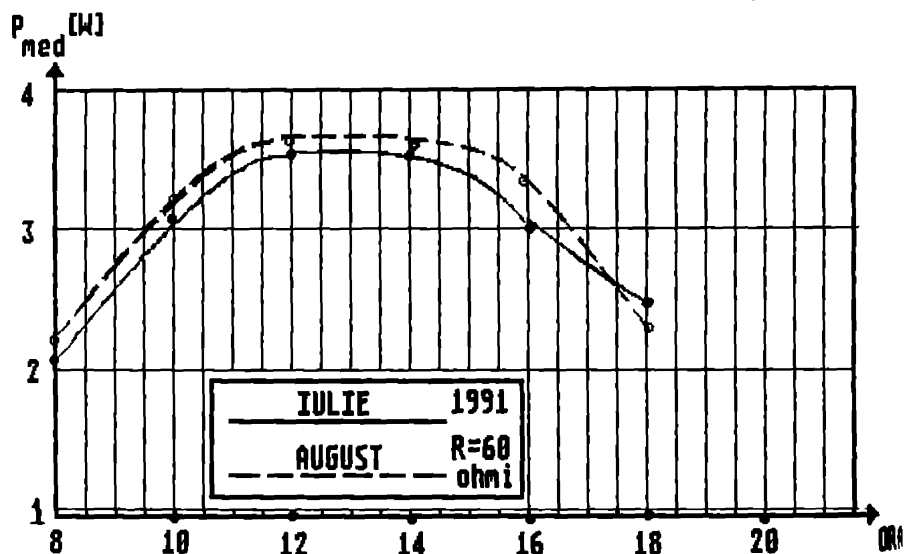
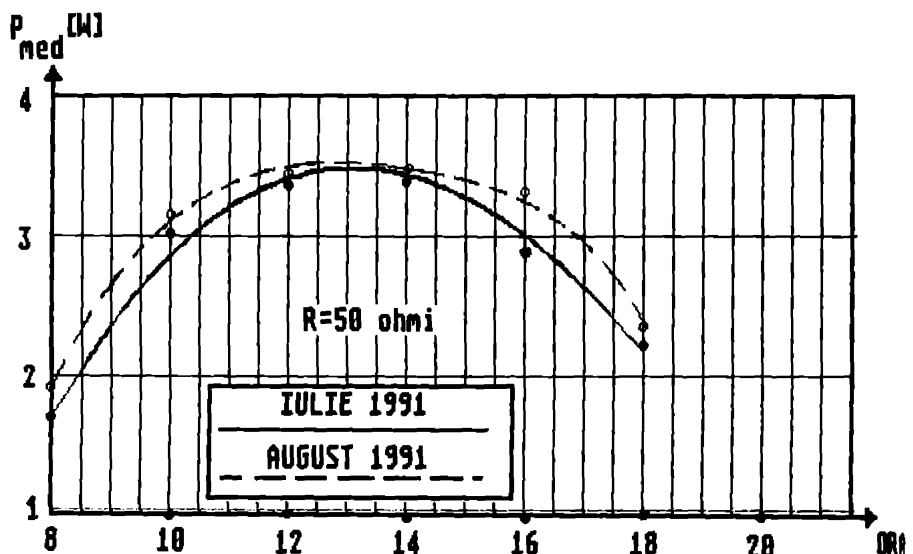
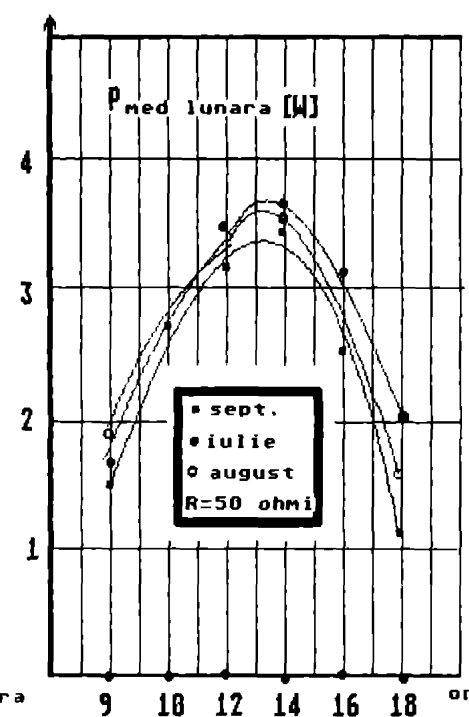
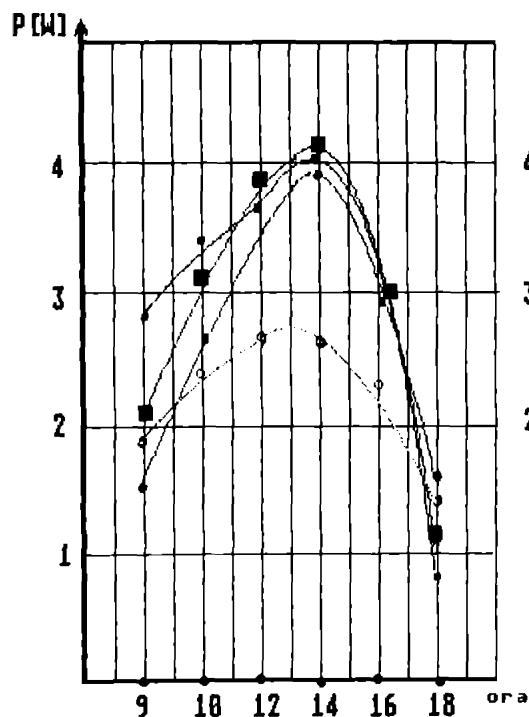
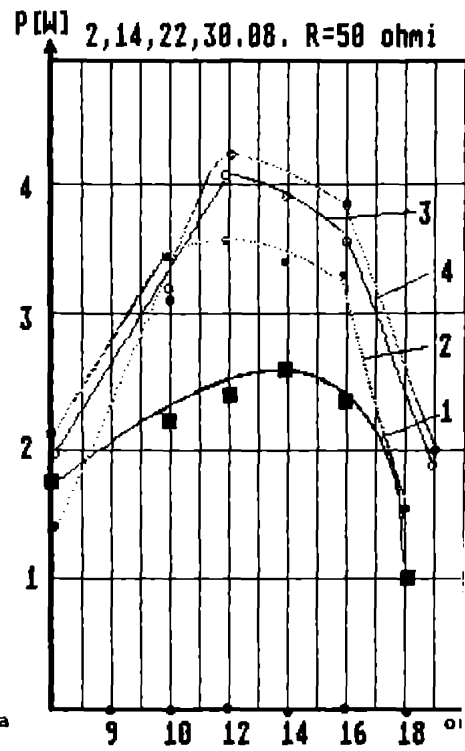
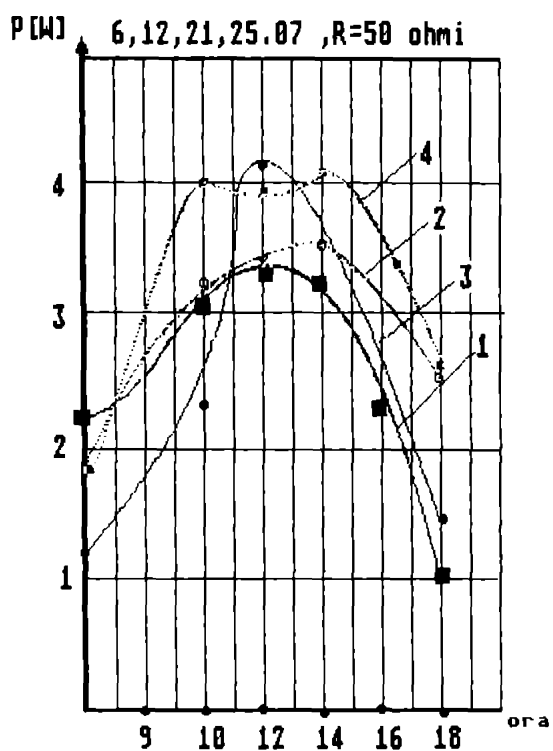


Fig.7.25

In fig.7.25 se prezinta caracteristica de putere medie in functie de ora pentru lurile iulie si august la diferite rezistențe de sarcina. Se constata urmatoarele:

- la rezistenta de sarcina $R = 50 \Omega$ puterea medie maxima este aceeasi, iar puterea medie este mai mare in august
- la rezistenta de sarcina $R = 60 \Omega$ puterea medie in luna august are o valoare mai ridicata pe toata durata zilei.

In fig.7.26 se prezinta caracteristica puterii in functie de ora pentru o zi din fiecare saptamana a lunilor iulie, august si septembrie 1991.



7.9 ANALIZA TEHNICO-ECONOMICA

In tabelul 1 prezentam o analiza comparativa a costului pentru un kWh furnizat in Franta tinind cont de modalitatea de productie si distributie a energiei electrice [10].

TABELUL 7.3

energie electrica din:	F:0,01	0,1	1	10	100	1000
retele electrice	0,06		1,5			
agregate diesel		0,6		15		
edelian		0,6	1,5			
celule fotovoltaice			5	25		
baterii				20	300	
pile de combustie					300	

Din tabel se observa ca energia electrica de natura fotovoltaica in momentul de fata se situeaza intr-o "zona intermediara" pretul unui kWh fotovoltaic furnizat variaza intre 5+25 F in dependenta de puterea instalata, de amplasament, de fiabilitatea echipamentului utilizat. Prezentam o metoda de calcul a costului pentru un kWh fotovoltaic [14].

$$C = C_i + C_e$$

unde: C_i rezulta din amortizarea investitiei $C_i = A/E_a$ cu:

- E_a - productia anuala in kWh a sistemului considerat.

In prima aproximatie $E_a = 365 Kp PE_i$ unde:

- E_i - radiatia energetica zilnica medie in planul modulelor [$kWh \cdot m^{-2} \cdot zi$]

- p - puterea nominala a instalatiei: suma puterii de virf a modulelor pentru instalatii de putere nominala in conditii de referinta ($1000 W \cdot m^{-2}$ si temperatura ambianta de $20^{\circ}C$) pentru centrale conectate la retea.

- K_p este un coeficient mediu de pierderi (variaza de la 0,65 pentru un sistem autonom cu stocaj pina la 0,85 pentru un sistem racordat la retea)

- A, reprezinta amortizarea avind anuitate constanta,
cu valoarea data de relatia

$$A = I(t/100)(1 + t/100)^n / [(1 + t/100)^n - 1]$$

unde: I - valoarea investitiei

n - numarul anilor considerati in amortizarea
investitiei

t (%) - dobinda anuala

C_e rezulta din cheltuielile de functionare/exploatare intre-
tinere, $C_e = D_e/E_a$ unde D_e reprezinta cheltuielile anuale de ex-
ploatare, intretinere.

Pentru compararea solutiilor apropiate sau concurente
consideram:

- I_{up} = investitia unitara $I_{up} = I/P [F/W]$

- K_a - coeficient de actualizare $K_a = A/I$

- K_{ei} - coeficient de exploatare, intretinere $K_{ei} = D_e/I$

Cu cele trei relatii obtinem:

$$C = I_{up} (K_a + K_{ei}) / K_p E_i$$

In fig.7.27 prezentam o diagrama pentru determinarea costului
pentru un kWh furnizat de un sistem autonom. Astfel pentru o zona
avind $E_i = 1800 \text{ kWh/m}^2 \cdot \text{an}$ se deduce:

- costul actual pentru un kWh este 10,6 F/kWh

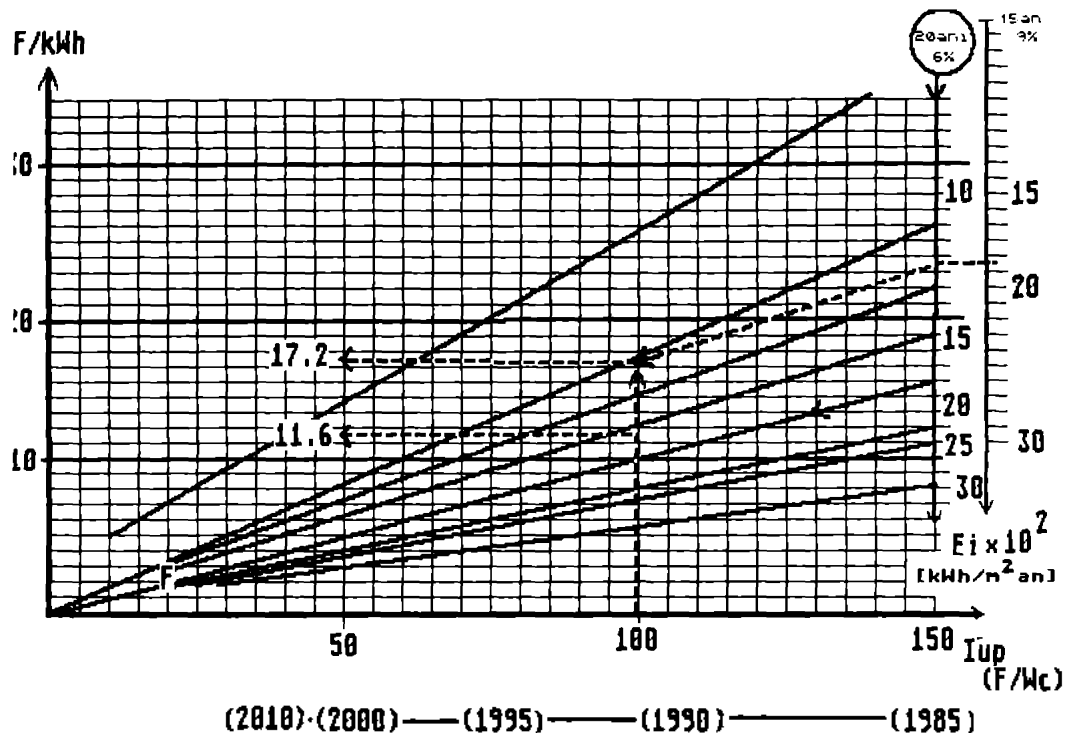
- costul la orizontul anilor 1995 - 2000 poate cobori la 8 res-
pectiv 5 F/kWh

Din studiul analizat se observa ca pretul va ramane ridicat.
CU toate acestea realizarile in acest domeniu de pina acum (de la
civeva instalatii fotovoltaice in case si refugii izolate in anul
1980 la mai mult de 20.000 in anul 1990 pe plan mondial) demon-
streaza ca ceea ce este cel mai important pentru utilizatorul fi-
hai nu este costul unui kWh fotovoltaic ci valoarea serviciului si
a confortului asigurat.

In fig.7.28 prezentam performantele a citorva instalatii foto-
Voltaice de productie franceza cit si costul acestor instalatii
comparat cu costul unei linii electrice de joasa tensiune si cu
costul pentru racordarea unui abonat la retea.

In fig.7.29 prezentam o evolutie probabila a costului pentru
generatoare fotovoltaice autonome pentru case izolate conform [5].

COSTUL UNUI KWh FOTOVOLTAIC (SISTEME AUTONOME 0,5<P<5 kW)



$$C = \frac{I_{up}}{K_p E_i} (K_A + K_{Ei})$$

$$K_A = \frac{t(1+t)^n}{(1+t)^n - 1}$$

Fig. 7.27

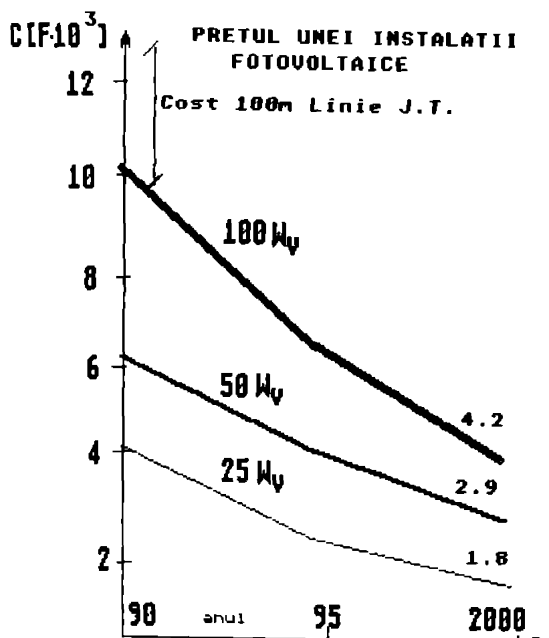


Fig.7.28

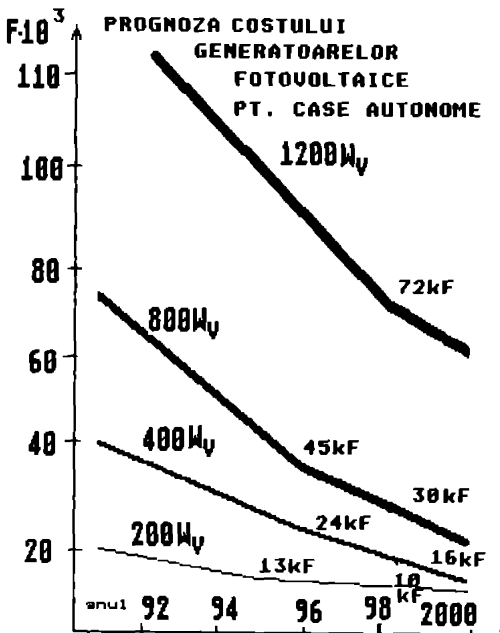


Fig.7.29

7.10 CALCULUL NECESSARULUI DE ENERGIE ELECTRICA DE NATURA FOTOVOLTAICA PENTRU O CASA IZOLATA

Energia electrica fotovoltaica prezinta o optiune tehnica si economica interesanta pentru localitati izolate ce nu pot fi racordate la reteaua de distributie centralizata, fiind raspunsul optim pentru diferite probleme.

In cazul in care necesarul pentru acoperire cu energie electrica nu este mare, sistemele fotovoltaice isi gasesc justificarea.

Performanta unei instalatii fotovoltaice este data de urmatorii parametrii:

- randament global = energia electrica de origine fotovoltaica furnizata de instalatie intr-o perioada raportata la radiatia măsurata cu un piranometru in planul modulelor pentru aceeasi perioada si la o suprafața echivalenta cu suma suprafatelor a tuturor modulelor.

- factor de randament - energia medie fotovoltaica furnizata zilnic in sarcina raportata la puterea de virf a generatorului

- randament specific: energia medie fotovoltaica furnizata

zilnic in sarcina raportata la un metru patrat de captator

- suprafata specifica: suprafata captatorului corespunzatoare unei energii medii fotovoltaice furnizate zilnic in sarcina de 1 kWh.

Trebuie mentionat ca acesti parametri sunt intr-o dependenta de energiile transferate in sarcina, deci de consum. De exemplu, randamentul global al unei instalatii analizate este de ordinul 5% si poate fi superior daca aceasta instalatie este utilizata rational.

Pentru evaluarea sistemelor fotovoltaice trebuie considerati patru parametri:

- performantele tehnice
- factorul economic
- factorul de interactiune cu mediul inconjurator
- factorul social referitor la comportamentul utilizatorului

In calculul necesarului de energie fotovoltaica pentru o casa izolata am pornit de la proiectarea propriu-zisa utilizind echipament fotovoltaic deja existent pe piata mondiala [13].

Majoritatea echipamentului utilizat functioneaza in 12 V sau 24 V curent continuu.

Iluminatul: este asigurat de tuburi fluorescente 24 V de randament ridicat, rezistente la variatii de temperatura si anume:

- tuburi fluo 8 W (corespunzatoare becurilor de 60 W) la intrare in hol, corridor, toaleta
- tuburi fluo 13 W (corespunzatoare becurilor de 80 W) in bucatarie, camera, garaj
- tuburi fluo 18 W (corespunzatoare becurilor de 100 W) in sufragerie

Refrigerare, congelare: in perioada calda din decursul anului pentru pastrarea alimentelor se utilizeaza congelatoare sau refrigeratoare solare de 140 l/24 V.

Radio - televiziune: echipamentul functionind in general la tensiuni de 12 V curent continuu, se utilizeaza convertizoare de 24 V/12 V de randament ridicat.

Instalatii de forta: se utilizeaza aparataj in curent continuu 24 V sau 12 V, in cazuri deosebite se pot folosi inverteoare pentru a obtine curent alternativ.

Modulele solare propuse a fi utilizate sunt de tip policristalin marca PHOTOWATT PWP 402 de 40 W_{virf}.

Reglajul automat se realizeaza pentru a asigura o fiabilitate maxima:

- un regulator de sarcina, evita supraincarea bateriei de acumulatoare avind posibilitatea asigurarii temporare a unei incarcari de egalizare

- un luminator de descarcare, evita descarcarea completa a bateriei de acumulatoare

- protectia sistemului contra supratensiunilor este asigurata de instalatii electronice

Stocarea energiei electrice este asigurata de o baterie de acumulatoare

Cablagul instalatiei electrice este realizat pentru tensiuni nominale de 24 V pentru a limita pierderile de tensiune in cazul in care se realizeaza instalatii si pentru tensiuni de 12 V.

In hol, la intrare, garaj se vor monta intrerupatoare cu temporizare pentru a reduce risipa de energie.

Din datele anterioare, fiind propus un modul fotovoltaic PHOTOWATT PWP 402 de 40 W_{virf} se obtine:

$$n_m = -\frac{P_i}{P_m} = -\frac{473}{40} \cong 11,6 \approx 12$$

n_m - numarul modulelor

P_i - putere instalata [W]

P_m - putere/modul [W]

Puterea instalata si consumul zilnic

TABELUL 2

	P _i putere in- stalata [W]	Durata medie zilnica (h)		Consumul zilnic (Wh)	
		vara	iarna	vara	iarna
iluminat	123	2	4	246	492
radio - telefon	30	0,5	0,5	15	15
TV	40	2	4	80	160
frigidier	80	5	-	400	-
aparataj	200	0,5	0,5	100	100
total	473			841	767

Numarul modulelor obtinut prin calcul este 13.

Pentru a evita o pană completa în caz de avarie datorită faptului că în locuri izolate o intervenție este mai dificilă propunem divizarea generatoarelor fotovoltaice în subansambluri de

- 2 sau 3 module de cîte 40 W virf
- 1 regulator
- 2 sau 3 acumulatori corespunzătoare

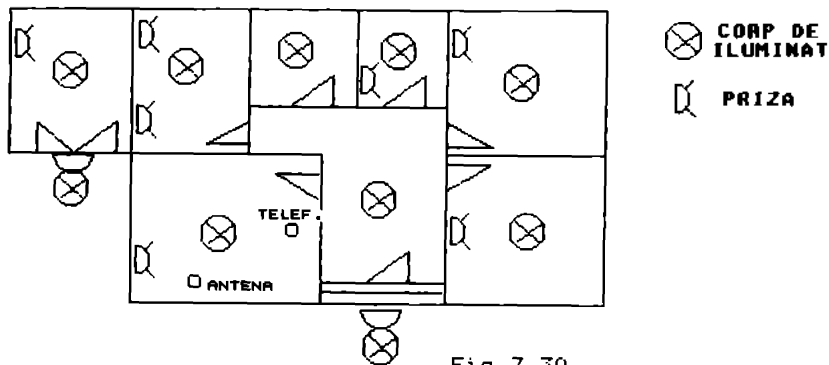


Fig.7.30

CONCLUZII

In final din studiul si cercetarile efectuate in elaborarea tezei referitoare la posibilitatile acoperirii cu energie solară a necesitatilor unei localități atât în ceea ce privește căldura cât și energia electrică în aplicațiile casnice, concluziile noastre sunt:

- o cantitate importantă de energie termică poate fi obținută prin metoda de termoconversie și stocaj termic de scurta și medie durată în bazină cu piatră, cât și prin utilizarea planseurilor radiante și a peretelui Tromb-Michel asigurându-se în acest fel climatizarea locuințelor și îmbunătățirea confortului termic mai ales în perioadele de trecere primăvară și toamnă.

- energia electrică de natură fotovoltaică din aspectul confortului superior asigurat cât și din aspectul realizărilor tehnologice pe plan mondial, devenind competitivă în anume condiții cu electricitatea provenită din alte surse se impune, investitia fiind justificată pentru localități mici, izolate, pentru case de vacanță, refugii în munti, casute de week-end, casute din vîi adică acolo unde aceasta investiție este mai mică decit investitia necesara construirii unei linii electrice de joasă sau înaltă tensiune cu punctul de transformare necesar.

- pe baza experienței dobândite în cadrul cercetărilor pentru asigurarea independenței în alimentarea cu energie solară a unei localități propunem o soluție a instalațiilor mici pentru case familiale unde se poate asigura un randament înalt prin utilizarea echipamentelor de înaltă fiabilitate și prin asigurarea unei bune exploatari și întreținere.

INTRODUCERE

In introducere s-a facut prezentarea citorva aspecte generale referitoare la necesitatea utilizarii energiei solare in aplicatii practice, respectiv la posibilitatile de acoperire cu energie solară a necesitatilor unei localitati - atit in ceea ce priveste utilizarea caldurii cit si a energiei electrice de natura fotovoltaica in aplicatiile casnice.

CAPITOLUL 2

In capitolul 2 s-a facut prezentarea surselor energetice, evolutia situatiei energetice mondiale si proghoza dezvoltarii energetice pe plan mondial.

Dupa gradul de integrare a surselor energetice in satisfaceerea nevoilor economice acestea se pot clasifica in:

- | a) surse conventionale "clasice"
- | b) surse neconventionale cu o participare mai modesta in balanta energetica deocamdata
- | c) alte surse aflate in faza de incercari de laborator si in statiile pilot bazate pe tehnologii fizice si chimice noi, unele foarte promitatoare

Proghoza dezvoltarii energetice la nivel mondial prezentata la Sesiunea WEC (World Energy Conference) in anul 1980 se caracterizeaza prin datele din tab.1.

Proghoza dezvoltarii energetice TABELUL 1

tipul combustibilului si energiei	participare [%]				
	1800	1900	2000	2100	2250
combustibil vegetal	84,4	40	2,0		
carbune lignit	5,5	56	20,0	7,0	1,0
titei si gaze naturale	-	3	56,5(48)	1,0	
energie nucleara	-	-	16,5(25)	36,0	4,0
energie hidro, resurse noi si recuperabile, tehnologii noi	10,1	0,8	5,0	56,0	95,0
total			100		

CAPITOUL 3

In capitolul 3 am tratat problema energiei solare din punct de vedere al fenomenelor fizice si al legilor implicate tinind seama de aspectul corpuscular si ondulator al cimpului electromagnetic, am prezentat compozitia atmosferei, interactia radiatiilor solare cu atmosfera terestra si notiuni de energie incidenta, putere incidenta si intensitate spectrala a radiatiei, notiuni de baza in studiul experimental al energiei solare.

Intrucit in lucrare este analizata termoconversia energiei solare, am prezentat fenomene fizice si legi de baza cu privire la transferul de caldura intre elementele din instalatii implicate in acest proces.

CAPITOLUL 4

In acest capitol am prezentat o sistematizare a metodelor de stocare a energiei solare.

In instalatiile de conversie a energiei solare se utilizeaza mai ales sisteme de stocare termica. Stocarea termica se realizeaza:

- direct, sub forma de caldura sensibila sau caldura latenta
- indirect, prin intermediul stocarii chimice (termochimice, fotochimice, electrochimice)

Stocarea energiei termice este un proces fizic sau chimic care se desfasoara intr-un acumulator in timpul operatiilor de incarcare si descarcare.

Sistemul de stocare termica este definit de:

- modul de obtinere a energiei necesare incarcarii acumulatorului
- modul in care energia extraisa din acumulator este convertita in forma de energie ceruta de consumator.

In lucrare am prezentat detaliat ecuatii de baza, parametrii caracteristici ai sistemului de stocaj in piatra, analiza teoretica fiind necesara in vederea interpretarii rezultatelor experimentale.

CAPITOLUL 5

In vederea stabilirii posibilitatilor de climatizare a locuintelor prin stocajul de scurta si medie durata a energiei solare pe paralela 45 °N in Europa, ne-am propus evaluarea disponibilitatilor de energie solară în România și Iugoslavia pe baza masurătorilor efectuate în laboratoarele catedrei de fizica de la UTT și și pe baza unor date de la stațiile meteorologice din Timișoara, Belgrad și Virset. În teza am sintetizat pe baza masurătorilor efectuate, variația intensității radiatiei solare zilnice pentru lunile mai-septembrie 1985 și 1988 și media zilnică a intensității pentru lunile respective.

Din analiza datelor pentru cei doi ani în care a fost urmarita variația intensitatii radiatiei solare zilnice in plan orizontal in perioada mai-septembrie cît și din media zilnica a intensitatii pentru lunile respective se constata:

- intensitatea radiatiei solare este maxima in luna iulie anul 1988, fiind 830 W/m^2 și minima in luna septembrie, anul 1985 fiind 520 W/m^2 .

- alura curbelor este cea asteptata cu exceptia lunii iulie 1985 cind se constata o deplasare a valorii maxime intre 13-14 h

In continuare in teza am facut o analiza a unei case familiale cu etaj avind suprafata utila de 160 m^2 din zona Belgradului pe care am definit-o prin notiunea de "obiect energetic". Analiza am facut-o pornind de la conditiile:

- 1) sistemele de incalzire in zona Belgradului se proiecteaza astfel ca temperatura interioara T_{int} sa poata fi mentinuta la $22 \text{ }^{\circ}\text{C}$ la o temperatura exterioră $T_{ext} = -16 \text{ }^{\circ}\text{C}$. In acest caz conform calculelor, in decursul a 24 ore casa ar cheltui $Q_{tc} = 336 \text{ kWh}$.

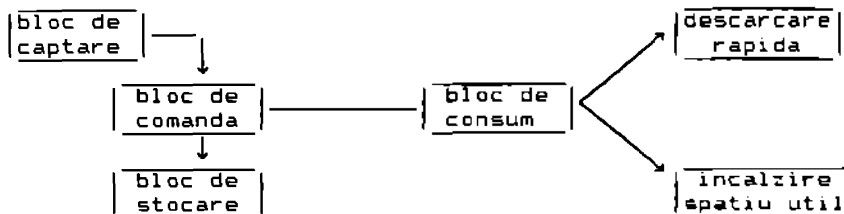
- 2) pentru luna ianuarie cind temperatura medie zilnica la Belgrad este $-0,5 \text{ }^{\circ}\text{C}$, energia termica pierduta de casa in luna ianuarie $Q_p(\text{ian}) = 5051 \text{ kWh}$.

Facind calculele pentru intregul sezon rece din luna octombrie pînă în luna martie, rezulta energia totală necesară pentru incalzire $Q_{ts} = 22.781 \text{ kWh}$. In cazul cel mai nefavorabil, pentru luna ianuarie se constata ca suprafata captatorilor solari necesară pentru realizarea incalzirii casei este $S = 60 \text{ m}^2$.

CAPITOLUL 6

In acest capitol am prezentat baza experimentală pentru studiul stocajului de scurta și medie durată a căldurii obținuta prin termoconversia energiei solare,baza unica in Romania realizata in cadrul catedrei de fizica a UTT.

Baza experimentală a fost studiată și realizată pe blocuri independente conform schemei bloc din fig.3



In lucrare se prezinta dimensiunarea laboratorului utilizat, plecind de la:

- blocul de captare: energia anuală captată $E = 4.563 \text{ [Gcal/an]}$
- blocul de stocare în piatră: energia stocată în piatră
 $E = 0,11 \text{ Gcal/ciclu} = 0,462 \cdot 10^9 \text{ [J/ciclu]}$
- blocul de disipare (consum):
 - coeficientul mediu de pierderi termice calculat
 $K_{med} = 0,58 \text{ [Kcal/m}^2\text{h}^{\circ}\text{C]}$
 - căldura pierdută (totală) $Q = 566,5 \text{ [Kcal/h]}$
 - energia medie lunată, cu $\eta = 0,8$ $E_l = 0,51 \text{ [Gcal/luna]}$
 - posibilitatele de acoperire a necesarului de energie ale incintei cu $\eta = 0,75$ $n_p = 0,16$ luni sau cca. 5 zile
 - numărul de cicluri anuale de încarcare a acumulatorului
 $n_{cp} = 30 \text{ [cicluri/an]}$

In intervalul 1987-1991 in cadrul catedrei de fizica am efectuat masuratori asupra intensitatii radiatiei solare,a comportarii blocului de captare prin masurarea debitului de apă și a temperaturii in punctele stabilite. In baza masuratorilor am putut evalua

- puterea incidentă pe captator
- căldura furnizată de captator
- căldura preluată de aer în schimbator
- căldura acumulată în statia de stocaj
- căldura furnizată statiei de disipare

Studiul regimului de incarcare-stocare-descarcare a fost efectuat in mai multe variante. Astfel am efectuat cicluri de incarcare-stocare-descarcare de cito o zi, de cito saptă si respectiv zece zile pentru a verifica comportarea BS in timp.

Din analiza datelor experimentale conform masuratorilor efectuate in luna septembrie se constata ca exista posibilitate de stocare a caldurii. Astfel in doua din zilele studiate, caldura acumulata in bazinul de stocare a fost $Q_j = 202,3$ MJ, temperatura in bazinul de stocare a crescut cu 13°C , iar randamentul termoconversiei a fost $\eta = 0,33$.

Pentru studiul regimului alternativ de incarcare termica si de asteptare a BS cu ciclul (7+10) zile am efectuat masuratori in perioada august-noiembrie 1991. Am masurat si calculat:

- intensitatea radiatiei solare in plan orizontal cu solarimeterul "Solaris 2"
- energia corespunzatoare captata
- temperatura medie a aerului suflat in bazin prin schimbatorul de caldura
- variatia medie zilnica a temperaturii aerului din bazin
- energia acumulata (+) respectiv energia extrasă (-) pentru consum

Pe baza consideratiilor de mai sus prezentam concluziile citorva cicluri efectuate in regim de incarcare:

- energia solara captata maxima a fost de ordinul a 40 [kWh/zi]
- energia solara acumulata maxima: 30 [kWh/zi]
- energia solara pierduta maxima: 13 [kWh/zi]
- temperatura medie zilnica a inregistrat o crestere de la 24°C in prima zi la 56°C la sfirsitul primului interval cind aceasta a avut valoare maxima
- variatia temperaturii medii in BS: ($0,5 - 6,3$) [$^{\circ}\text{C}/\text{zi}$]
- randamentul de acumulare variaza in limite largi si relativ aleatorii, depinzind esential de conditiile meteorologice, avind valoarea $\eta = 0,27 \pm 0,74$

In regim de stocare fara extragere de caldura am obtinut valori din care redam criteva rezultate:

- energia solara pierduta zilnic: ($0,860 - 7,55$) [kWh/zi]
- temperatura medie zilnica a aerului din BS: ($22,04 - 59,57$) $^{\circ}\text{C}$

In regim de consum, din valorile obtinute mentionam cteva rezultate:

- energia extrașă pentru consum: (2,20 - 8,0) [kWh/zi]
- energia pierduta: (2,60 - 5,26) [kWh/zi]
- temperatura medie zilnică a aerului din BS a înregistrat o descreștere cuprinsă între valorile 48,34 [°C] și 27,96 [°C]
- ecartul de temperatură: (8,38 - 9,92) [°C/ciclu]

In ceea ce privește eficiența climatizării și bilanțul energetic al ciclului de incarcare descărcare am constatat:

- pe parcursul celor două nopti din luna septembrie prezentate, piatra a cedat 101 MJ din care 68 MJ a fost utilizată în incinta de disipare restul de 33 MJ fiind pierduta prin procesul de transport
- din cantitatea de căldură acumulată 202,3 MJ poate fi extrașă cantitatea de 135,5 MJ. Rata medie de livrare a căldurii este 34 MJ pentru fiecare interval de 12 ore. Deci căldura extrașă poate acoperi un număr de 4 intervale a 12 ore.
- randamentul global al instalației pentru studiul stocării de scurta și medie durată este $\eta = 0,16$
- randamentul pînă la intrarea în bazin este $\eta = 0,32$
- randamentul de stocare-restituire a căldurii de către piatra spre camera de disipare este $\eta_s = 0,5$

Pentru a cunoaște în profunzime rolul bazinului de stocare în cadrul unei instalații de captare-conversie-stocare-utilizare a energiei solare am facut o analiza a influenței dimensiunilor acestuia asupra caracteristicilor de stocare.

Dacă căldura stocată depinde de cantitatea de material adică de volumul bazinului iar pierderile depind de suprafața totală a acestuia, am ajuns la constatarea că la dimensiuni mai mari decit $6 \times 6 \times 6$ m raportul suprafață/volum (S/V) devine subunitar, ceea ce este foarte convenabil.

In cazul nostru, bazinul experimental de stocare a fost realizat pentru a asigura încalzirea unei singure camere astfel că acesta nu se situează la cele mai bune performante, raportul S/V fiind apropiat de valoarea 2 ceea ce exprima valorile relativ reduse ale randamentului total.

Dupa experienta noastra in urma studiului efectuat subliniem ca metoda de stocare in piatra a caldurii obtinuta prin termoconversia energiei solare poate fi utilizata pentru durate scurte sau medii, de la o zi la cel mult doua saptamini, in conditiile meteorologice ale Europei pe paralela 45 °N (RO si YU). ! Tinind cont de investitii, in cazul constructiilor noi, metoda de stocare in piatra a caldurii merita luata in considerare in investitia totala.

La o capacitate a bazinului suficient de mare in dependenta de valoarea raportului S/V, la valori subunitare al acestuia, izolatia bazinului practic nu mai este necesara, putindu-se folosi in acest fel pietre de riu intr-o cuva ieftina din beton de felul celor care se afla ca fundatie la casele familiale.

Investitia initiala a unei case fiind majorata datorita costului instalatiei de captare si stocare a energiei solare cit si datorita costului izolatiei termice, poate fi recuperata prin diminuarea costului incalzirii intr-o perioada de maxim 10 ani, stiut fiind ca o casa este construita pentru a fi folosita intre 50-100 de ani.

Tot din cercetarile efectuate, tinind seama de temperaturile de lucru ale agentului termic rezulta necesitatea utilizarii planseurilor radiante sau a curilor de aer cald distribuite pe linge pereti, inchise si deschise dupa necesitatii.

In ceea ce priveste folosirea peretelui Trombe-Michel, pentru ameliorarea incalzirii unei case, studiul efectuat in cadrul Catedrei de fizica, arata necesitatea inchiderii cu sticla a balcoanelor si logiilor precum si majorarea grosimii zidurilor pentru a fi folosite ca si acumulator cu cedare intirziata de caldura, la timpul potrivit.

Din studiul experimental efectuat, conchidem ca pe paralela 45 °N metoda de stocare termica in bazin cu piatra poate asigura incalzirea incaperilor in perioadele de trecere toamna si primavara si partial iarna. Este evidenta necesitatea unei incalziri suplimentare in perioadele cu cer acoperit, sau foarte reci utilizand energie electrica la tarif redus in sobe cu acumulare de caldura, cu gaz metan sau cu sisteme clasice.

In concluzie, apreciem ca metoda de stocare termica in bazin cu piatra, este convenabila pentru a fi utilizata in cadrul caselor de tip familial si mai ales in cazul in care investitia initiala poate fi majorata cu costul instalatiei solare, pentru a se imbunatati confortul termic intr-o casa familiala.

CAPITOLUL 7

In acest capitol am facut o prezentare referitoare la situatia pe plan mondial in conversia fotovoltaica analizind:

- materiale fotovoltaice utilizate
- structuri fotovoltaice
- modelul fizic al jonctiunii p-n
- ecuatii de baza pentru determinarea parametrilor caracteristici unei celule fotovoltaice:
 - curentul de scurtcircuit
 - tensiunea de mers in gol
 - factorul de forma
 - randamentul energetic
 - caracteristica de putere
- stocarea energiei electrice de natura fotovoltaica
- o metoda de calcul a costului pentru un kWh fotovoltaic, costul actual si de proghiza a anilor 2000 pentru o instalatie fotovoltaica autonoma

In cadrul catedrei de fizica a UTT,in perioada 1987-1991, parcial pe tot parcursul anului am efectuat masuratori asupra intensitatii radiatiei solare cu solarimetru "Solaris 2" cit si studiul experimental al unui panou solar romanesc pentru determinarea parametrilor teoretici.

Am efectuat masuratori in conditii naturale cu posibilitatea de orientare a panoului in raport cu pozitia Soarelui pe bolta.Au fost efectuate masuratori in plan orizontal, in plan vertical, cit si in plan ce realizeaza normalitatea razelor la suprafata Pamintului.

Cu datele obtinute prin masuratori am calculat si am reprezentat grafic:

- caracteristica $I = f(V)$
- caracteristica puterii electrice in functie de rezistenta
- caracteristica rezistentei optima in functie de intensitate
- randamentul panoului solar
- caracteristica intensitatii radiatiei solare pentru anumite zile si luni, media lunara pentru anumite luni in functie de ora
- caracteristica de putere in functie de rezistenta pentru anumite zile si luni, puterea medie pentru anumite luni
- caracteristica de putere medie in functie de ora pentru anumite perioade, la diferite rezistente de sarcina
- caracteristica de putere in functie de ora pentru anumite zile din fiecare saptamana a catorva luni.

Din analiza efectuata si tinind cont de echipamentul fotovoltaic deja existent pe plan mondial am efectuat calculul necesarului de energie electrica de natura fotovoltaica pentru o casa isolata, autonoma (tab.1)

PUTEREA INSTALATA SI CONSUMUL ZILNIC

TABELUL 1

	P putere instalata	Durata medie zilnica,h		Consumul zilnic (Wh)	
		vara	iarna	vara	iarna
iluminat	123 W	2	4	246	492
radio-telefon	30 W	0,5	0,5	15	15
TV	40 W	2	4	80	160
frigidier	80 W	5	-	400	-
aparataj	200 W	0,5	0,5	100	100
	473 W			841	767

Din datele anterioare, am calculat numarul de module fotovoltaice necesare, utilizand un modul PHOTOWATT PWP 402 de 40 W virf. Am obtinut un numar de 12 module necesare.

Tinind cont de situatia energetica pe plan mondial, de realizarile tehnologice actuale, de confortul asigurat, de calculele tehnico-economice cit si de calculele de proghoza referitoare la necesitatea utilizarii si costul energiei electrici fotovoltaice, concluzia noastra este:

- valoarea investitiei pentru generatoare fotovoltaice autonome (sub 10 % din costul unei case izolate) incepe sa fie competitiva cu valoarea investitiilor pentru alte surse energetice astfel ca asteptam in anii urmatori o penetrare mai puternica pe piata mondiala a energiei electrice de natura fotovoltaica mai ales in locurile cu un numar mare de ore de insolatie in decursul anului, cit si in tariile dezvoltate economic pentru care, de altfel, au fost facute majoritatea analizelor.

BIBLIOGRAFIE

- [1] C.DE SABATA, M.BORNEAS,B.ROTHENSTEIN, A.MUNTEANU: "Bazele fizice ale conversiei energiei solare "Editura Facla, Timisoara 1982
- [2] ROGER BERNARD,GILBERT MENGY, MARCEL SCHWARTZ: Le rayonnement solaire. Conversion Thermique et applications; Paris 1983
- [3] A.LAUGIER,J.A.ROGER Les photopiles solaires, Technique et documentation, Paris 1981
- [4] AL.DANESCU, S.BUCURENCIU, ST.PETRESCU. Utilizarea energiei solare. Ed.tehnica, Bucuresti 1980
- [5] IEA International Conference, Technology responses to global environmental challenges, 6th - 8th November, 1991, Kyoto Japan
- [6] M.IIJINA, C.BRANDRABUR, N.DANCEA: Energii neconventionale utilizate in instalatiile din constructii Ed.tehnica Bucuresti 1987
- [7] C.DE.SABATA Fizica solidului IPT 1980
- [8] BRANISLO LALOVIC: Nasusno sunce, Nolit Beograd 1982
- [9] C.DE SABATA, V.MAIOGAN Asupra posibilitatii de climatizare a locuintelor in sezoanele de trecere folosind energia termosolara stocata in bazine cu piatra,AIIR,Timisoara, aprilie 1992
- [10] V.MAIOGAN: Asupra rentabilitatii de utilizare a instalatiilor fotovoltaice in cazul cladirilor izolate,AIIR, Timisoara, aprilie 1992
- [11] C.DE SABATA, V.MAIOGAN, I.LUMINOSU: Studiul experimental a unui sistem de stocare utilizind piatra, pe paralela 45 °N in Romania, Lucrarea trimisa la cel de-al doilea Congres Mondial al Energiilor Renuverabile,septembrie 1992 Universitatea Reading Anglia
- [12] V.MAIOGAN:Studiul stocarii caldurii obtinuta prin termoconversia energiei solare in bazinul cu piatra, Referat de doctorat UTT 1989
- [13] V.MAIOGAN:Conversia fotovoltaica a energiei solare, Referat de doctorat UTT 1990

- [14] Commission of the European Communities: Photovoltaic Power Generation, Participating Contractors, edited by G.Caratti and R.A.W.Shock, Brussels 1989
- [15] Commission des communautés européennes: L'electrification photovoltaïque de 35 refuges alpins en France, Projets de démonstration, Coordination:L.Lefebvre Rhonalpenergie, Bruxelles, Luxembourg, 1989
- [16] THERESE FOURNIER: Le solaire à votre portée, Total,Nathan, La Nouvelle Librairie, 1985
- [17] G.MENGUY: Exposition solaire, ALEDES, Lyon 1986
- [18] S.NAU, I.MUNTEANU, GH.BALUTA: Dispozitive fotonice cu semi-conductori, Editura Tehnica, Bucuresti 1986
- [19] EMIL LUCA: Elemente de fizica moderna Editura Junimea Iasi 1974
- [20] VLADIMIR FARA, ANTOINE DINCULESU, RADU GRIGORESCU: Stocarea termica a energiei solare, Editura CERES Bucuresti 1991
- [21] V.NITU Energetica Generala si Conversia Energiei EDP 1980
- [22] TRAIAN CRETU: Fizica generala, Ed.Tehnica Bucuresti 1984
- [23] GH.SEMENESCU, S.RIPEANU, T.MAGDA: Fizica atomica si nucleara Editura Tehnica, Bucuresti 1976
- [24] N.LUPEI: Zestrea energetica a lumii, Editura Albatros Cluj Napoca 1986
- [25] I.MOLDOVAN: Tehnologia resurselor energetice, Ed.Tehnica Bucuresti, 1986
- [26] M.MALITA: Prezentul si viitorul energiei solare, Editura Academiei RSR Bucuresti 1982
- [27] Noi dimensiuni ale revolutiei stiintifice si tehnice, Editura stiintifica si encyclopedica, Bucuresti 1988
- [28] ENRG, vol.I Editura Tehnica, Bucuresti 1986
- [29] ENRG, vol IX, Editura Tehnica Bucuresti 1990
- [30] D.D.SANDU: Electronica fizica, Editura Academiei RSR 1983
- [31] V.IDANID: Urbanism si energie, Ed.Tehnica Bucuresti 1985
- [32] M.BABESCU: Conversia energiei, UTT 1991
- [33] N.DANCEA: Termotehnica si aparate termice, IPT 1983
- [34] STAS 1907-82
- [35] C.DE SABATA: Studiul comportarii unei incaperi cu pierderi termice minime, Ashbad 15-21 septembrie 1986

- [36] Lucrarile seminarului de matematica si fizica, IPT, mai 1986
- [37] Lucrarile seminarului de matematica si fizica, IPT, noiembrie 1986
- [38] Lucrarile seminarului de matematica si fizica, IPT, ianuarie decembrie 1990
- [39] Das Solarzeitalter- Eurosolar - Journal fur okologische Politik, Villingen, 1990, 1991
- [40] W.D.METZ, A.L.HAMMOND: Am.Ass. for the Adv. of Science, 1979
- [41] M.P.THEKAEKARA: "Data on incident radiation" Supplement to Proc. 20 Th Annual Meeting of Instr. for Environmental Sci., 21, 1974
- [42] J.A.DUFFIE, W.A.BECKMANN: "Solar Energy Thermal Processes", Wiley Interscience Publication, John Wiley and Sons, New York, 1980
- [43] *** Handbook of Chemistry and Physics, Chemical Rubber, Ohio, 1971
- [44] C.DE SABATA, C.MARCU: Curs de fizica IPT 1975
- [45] C.DE SABATA, I.LUMINOSU: "Analiza contributiei efectului de sera simplu si dublu la optimizarea functionarii unui insulator plan" Bul.St.si Tehn.,IPT, vol.24, nr.1, 1978
- [46] K.REINHARD: "A high performance solar energy collector", Congres de energie solara, New Delhi, India, abstr.1117, 1979
- [47] C.DE SABATA, C.MARCU, I.MIHAIȚA, I.LUMINOSU: "Studiul absorbtiei radiatiei infrarosii de catre unele materiale utilizate in captarea energiei solare" Bul.St.si Tehn. IPT, vol.24 nr.1 1978
- [48] B.WRIGHT, J.J.MASON : "Field performance of certain selective an neutral surfaces in solar collectors", Congres de energie solara, New Delhi, India, 1979
- [49] C.DE SABATA, A.MUNTEANU, C.MARCU, I.LUMINOSU: "Cercetari de laborator in vederea maririi randamentului optic a insola toarelor plane". Bul.St si Tehn. IPT, vol24, nr.1, 1978
- [50] Systemes solaires, revue internationale d'information sur les energies renouvelables, Paris 1989

- [51] CH.CARDONEL: Solaire actif et passif, Les aditions Parisiennes, 1983
- [51] Solar Engineering, The american society of mechanical engineers USA 1985
- [52] Solar Engineering: The american society of mechanical engineers, USA 1986
- [53] T.CABRIOL, D.ROUX: "Chauffage de l'habitat et energie solaire" Edisod 1984
- [54] R.DUMON "Energie solaire et stockage d'energie", Paris, 1978
- [55] BERNARD CHABOT Economie de l'électricité photovoltaïque, Aloushta (URSS) 22-26 avril 1991
- [56] J.M. CHASSERIAUX "Conversion thermique du rayonnement solaire", Dunod, Paris, 1984
- [57] DICKINSON W.C. et Cheremisinoff P.N.Ed. "Solar Energy Technology Handbook", New York, 1980
- [58] KREITH K. et KREIDER J., "Principles of Solar Engineering". McGraw-Hill, New York, 1978
- [59] MEINEL A.B. et MEINEL M.P. "Applied solar energy: an introduction", Addison-Wesley, Reading Massachusetts, 1976
- [60] SFEIR A.A et GUARACINO G., "Ingenierie des systemes solaires", Technique et documentation, Paris, 1980
- [61] HOTTEL H.C. et SAROFIM A.F. "Radiation Transfer", McGraw-Hill, New York, 1967
- [62] SACADURA et al. "Initiation aux transferts thermiques", Technique et Documentation, Paris, 1978
- [63] FOULADGAR D., "Contribution à l'analyse et à la modélisation temporelle du rayonnement solaire direct", These 3^e cycle Université Paul Sabatier Toulouse, 19 mai 1980
- [64] PERRIN de BRICHAMBAULT C. et LAMPLEY G. "Le rayonnement solaire et ses mesures", Cahier de l'AFEDES nr 2, Thermique et Industrie, Paris, 1974
- [65] ADNOT J., BOURGES B., CAMPANA D. e GIGQUEL R. "Utilisation de courbes de fréquences cumulées pour le calcul d'installations solaires", dans "Analyse statistique des processus météorologiques appliquée à l'énergie solaire" CNRS, Paris, 1979

- [66] COLLARES-PEREIRA M. et RABL A., "The average distribution of solar radiation. Correlations between diffuse and hemispherical and between daily and hourly insolation values", Solar Energy, 22, 155, 1979
- [67] HOTTEL H.C. "A simple model for estimating the transmittance of direct solar radiation through clear atmospheres", Solar Energy, 18, 129, 1976
- [68] LIU B. et JORDAN R.C. "The interrelationship and characteristic distribution of direct, diffuse and total solar radiation", Solar Energy, 4, 1-19, 1960
- [69] LOF G.O.G.DUFFIE J.A. et SMITH C.O. "World distribution of solar radiation", Engineering Experiment Station Report nr 21, University of Wisconsin, Madison, 1966
- [70] PAGE J.K. "The estimation of monthly mean values of daily total short wave radiation on vertical and inclined surfaces from sunshin records for latitudes 40°N - 40°S", Proceedings of the UN Conference on new sources of energy, 4, 378, 1964
- [71] WHILLIER A. "The determination of hourly values of total radiation from daily summations", Arch. Met. Geoph. Biokl. serie B, 7, 197, 1956
- [72] DEVIN B., "Analyse physique et experimental des capteurs plans en regime statique", Energie Solaire: Conversion et applications CNRS, Paris, 1978
- [73] MEINEL A.B et MEINELL M.P. "Applied solar energy", Addison-Wesley Pub. co., Reading, 1972
- [74] RABL A., GOODMAN N.B., WINSTON R., "Practical design considerations for CPC solar collectors", Solar Energy, 22, 373, 1979
- [75] VANT-HULL L.L., HILDEBRANDT A.F. "Solar thermal power systems based on optical transmission", Solar Energy, 18, 31-39, 1976
- [76] TANASESCU F.T. si colectiv "Conversia energiei. Tehnici neconventionale" Ed. Tehn. 1986
- [77] BITA O "Unele aspecte ale influentei parametrilor meteorologici asupra eficientei instalatiilor solare", in: Energetica, 1980, nr.9

- [78] BITA O. "Rezultate privind performantele captatoare solare pentru incalzit apa", in: Instalatii in constructii, 1982, nr.1
- [79] CIMPOCA V., BICA G. "High efficiency silicon solar cell design and experimental results. International Conference Photovoltaic and Optoelectronic Processes, 4-7 iulie 1984, Bucuresti
- [80] FARA V. s.a "Conversia energiei solare in energie termica" Ed.Stiintifica si Enciclopedica, Bucuresti 1982
- [81] MORARIU D., POPESCU CR. "Generatoare solare", Ed.Stiint. si Enciclopedica, Bucuresti 1978
- [82] MORARU D. "Conversia directa a energiei solare in energie electrica. Studiu si perspective" Primul Simpozion National de Conversie a Energiei Solare, Iasi 18-20 oct. 1980, p.7
- [83] TANASESCU FL.T. "Conversia energiei si impactul sau asupra tehnicii" Electrotehnica, nr.8, p.277, 1978
- [84] DORN W.S., Mc CRACKEN D.D "Metode numerice cu programe in FORTRAN IV, Ed.Tehn. Bucuresti 1976
- [85] DANCEA I. "Programarea calculatoarelor numerice pentru rezolvarea problemelor cu caracter tehnic si de cercetare stiintifica, Ed.Dacia, Cluj, 1973
- [86] ROSCOULET ., BALEA P., MOLDOVEANU S. "Programarea si utilizarea masinilor de calcul si elemente de calcul numeric si informatica, Ed.Did. si Ped. Bucuresti 1980
- [87] DEMIDOVITCH B., MARON I. "Elements de calcul numerique", Ed. Mir, 1973
- [88] NICULESCU S. "Initiere in programarea structurata", Ed. Tehn. Bucuresti, 1978
- [89] CAZACU C., JUCAN T. "Programarea in limbajul FORTRAN", Ed.Junimea, Iasi 1978
- [90] SOCENEANTU A. si colectiv "Programarea si utilizarea calculatoarelor", Litografia IPTVT, 1980
- [91] A.SANDRU "Prezentarea sistemului de operare MS-DOS", Ed. Cristian Bucuresti 1990
- [92] MS-DOS User's Guide, Microsoft Corporation 1987
- [93] MS-DOS User's Reference, Microsoft Corporation 1987

- [94] Sistemul de operare DOS-PC, Cluj Napoca 1986
- [95] ChiWriter The scientific/Multifont Word Processor, Version 3.12 Horstmann Software Design Corporation 1986-1989
- [96] Stad.Plus, Heidelberg 1989
- [97] Dictionar de informatica, Ed.Stiint. si Enciclop. 1981
- [98] L.NEGRESCU Introducere in limbajul "C" Colectia Glob,Cluj '91
- [99] Ghid de utilizare World Star, Ed. Romanian Software Comp. Cluj Napocaa 1991
- [100] Turbo Pascal 5.5 Ed.Romanian Software Comp. Cluj Napoca 1991
- [101] BARBAT S.,CRISTODULO "Circulatoarele personale de tip IBM-PC utilizate sub MS-DOS Ed. CONSOFT-COMPUTER, Sibiu 1991
- [102] SVET KOMPJUTERA, Beograd 1990,1991,1992

CUPRINS

INTRODUCERE	1
CAPITOLUL 2. SURSE ENERGETICE	5
2.1. Clasificari	5
2.2. Energii primare. Prognoze	14
CAPITOLUL 3 ENERGIA SOLARA. ASPECTE GENERALE. LEGI FIZICE SPECIFICE DOMENIULUI	19
3.1. Scurt istoric	19
3.2. Soarele ca furnizor de energie	21
3.2.1. Caracteristici fizico-geometrice	21
3.2.2. Reactii termonucleare de obtinere a energiei solare	23
3.3. Fenomene fizice de baza privind energia furnizata de Soare	25
3.3.1. Ecuatiile Maxwell ale cimpului electromagnetic	26
3.3.2. Aspecte cuantice	28
3.3.3. Radiatia termica	34
3.4. Compozitia atmosferei	38
3.5. Interactia radiatiilor solare cu atmosfera terestra	39
3.6. Bilantul energetic al sistemului Pamint - atmosfera	43
3.7. Energia incidenta. Putere incidenta	46
3.8. Transferul de caldura. Legi fundamentale	48
3.8.1. Transferul de caldura cu suport material	48
3.8.2. Transferul de caldura fara suport material	49
3.9. Determinarea intensitatii energiei solare receptionata de un captator plan	52
3.10. Conversia fototermica	54

CAPITOLUL 4 METODE DE STOCARE A ENERGIEI SOLARE. FENOMENE FIZICE DE BAZA	61
4.1. Aspecte generale	61
4.2. Stocarea energiei solare sub forma de caldura sensibila	63
4.3. Stocarea energiei solare sub forma de caldura latenta	65
4.4. Stocarea termochimica	66
4.5. Stocarea fotochimica	67
4.6. Stocarea electrochimica	67
4.7. Stocarea caldurii solare in paturi de roci (piatra)	67
4.8. Peretele Trombe-Michel (TM)	72
4.9. Planseuri radiante	75
CAPITOLUL 5 ASUPRA POSIBILITATII DE CLIMATIZARE A LOCIN- TELOR PRIN STOCAREA DE SCURTA SI MEDIE DURATA A ENERGIEI SOLARE (Paralela 45° Romania si Iugoslavia)	77
5.1. Introducere	77
5.2. Disponibilitati de energie solara in Iugoslavia	77
5.3. Casa, ca obiect energetic	83
5.4. Bilantul energetic al unei case familiale	85
CAPITOLUL 6 BAZA EXPERIMENTALA PENTRU STUDIUL STOCARII DE SCURTA SI MEDIE DURATA A CALDURII OBTINUTE PRIN TERMOCONVERSIA ENERGIEI SOLARE	89
6.2. Descrierea laboratorului experimental	90
6.3. Dimensionarea laboratorului	97
6.4. Analiza calitatilor termice ale camerei de disipare	98
6.5. Experimentari in regim dinamic	100
6.5.1.Calculul energiei incidenta pe captator	100
6.5.2.Studiul bazinului de stocare (BS)	106
6.5.3.Regimul de functionare in bazinul de stocare	108
6.5.3.1.Regim de incarcare si stocare diurn	109
6.5.3.2.Regim de descarcare fortaata si de asteptare diurn	111

6.5.3.3. Regim alternativ de incarcare termica a BS si de asteptare cu ciclul (7+10) zile	112
6.5.3.4. Analiza comparativa a stocajului fara extragere de caldura in lunile august, septembrie si noiembrie	118
6.5.3.5. Studiul experimental al regimurilor de consum	120
6.6. Eficienta climatizarii	123
6.7. Bilantul energetic al ciclului incarcare - descarcare	124
CAPITOLUL 7 CONVERSIA FOTOVOLTAICA A ENERGIEI SOLARE SI PERSPECTIVELE APLICARII IN PRACTICA	127
7.1. Aspecte teoretice	127
7.2. Modelul fizic al jonctiunii p-n	129
7.2.1. Schema echivalenta a unei celule solare	130
7.2.2. Jonctiunea p-n la echilibru	131
7.2.3. Caracteristica curent-tensiune in stare de intuneric	134
7.2.4. Jonctiunea p-n dopata uniform	138
7.2.5. Jonctiune p-n dopata neuniform	139
7.3. Caracteristica de putere a unei celule fotovoltaice	140
7.3.1. Influenta fluxului luminos asupra caracte- risticii de putere a unei celule foto- voltaice	142
7.3.2. Influenta temperaturii asupra caracte- risticii de putere	143
7.4. Acumulatoare pentru stocajul energiei fotovoltaice	145
7.4.1. Generator la tensiune constanta,la curent constant	147
7.4.2. Gruparea celulelor elementare in serie	147
7.4.3. Gruparea celulelor elementare in paralel	148
7.5. Materiale fotovoltaice	149
7.6. Celule solare cu siliciu	152
7.6.1. Celule solare cu siliciu monocristalin	152
7.6.2. Celule solare cu siliciu policristalin	153

7.6.3. Celule solare cu siliciu amorf (a - Si)	154
7.6.4. Celule solare cu heterojonctiuni	154
7.6.5. Celule solare pentru radiatia solară concentrată	154
7.6.6. Celule solare "MIS"	154
7.7. Realizari pe plan mondial	155
7.8. Studiul experimental	157
7.9. Analiza tehnico - economică	168
7.10. Calculul necesar de energie electrică de natura fotovoltaica pentru o casă izolată	171
CONCLUZII	175
REZUMAT	177
BIBLIOGRAFIE	187
CUPRINS	195
ANEXA	199

ANEXA

```

Program CALCULUL_ENERGIEI;
USES CRT;
CONST Ssud=10.08;Sev=8.4;Stav=10.8;DE_LA=7;PINA_LA=20;
CO='-----';
C1='H|SOLARIS|TAVAN|PERETE SUD|PERETE EST-VEST|TOTAL|';
C2='|---|---|---|---|---|---|---|---|';
C3='| | DIV |W/m*m|kJ |W/m*m|kJ |W/m*m|kJ|';
C4='| | | | | | | | | | | | | |';
VAR I,J:INTEGER;
Z,SOL:REAL;
CH,HC:CHAR;
NAVA:STRING[8];
STR:STRING[96];
CO:ARRAY [0..8,DE_LA..PINA_LA] OF REAL;
Procedure CONTUR(x1,y1,x2,y2:INTEGER);
BEGIN
    FOR J:=y1 TO y2 DO FOR I:=x1 TO x2 DO IF(J=y1) OR (J=y2) THEN
        BEGIN
            GOTOXY(I,J);WRITE ('-');
        END;
    FOR J:=y1 TO y2 DO FOR I:=x1 TO x2 DO IF (I=x1) OR (I=x2)
        THEN BEGIN
            GOTOXY(I,J);WRITE('*');
        END;
    END;
procedure SI(VALO:real;NC,PO:integer);
BEGIN
    CLREOL;
    .
    END;
procedure PRIMANTA;
BEGIN
    CLRSCR;WRITELN(CO);WRITELN(C1);WRITELN(C2);WRITELN(C3);
    WRITELN(C2);
    FOR I:=de_la TO pina_la DO
    BEGIN
        STR:=C4:SI(I,2,2); SI(CO[0,I],6,5); SI(CO[0,I]*12,8,12);
        SI(CO[3,I],6,21); SI(CO[3,I] * STAV *3.6,8,28);
        SI(CO[6,I],6,37);
        SI(CO[6,I] * 3.6,8,44);
        IF ROUND (CO[7,I]) <> 0 THEN SI(CO[7,I],6,53)
        ELSE SI(CO[8,I],6,53);
        IF ROUND (CO[7,I]) <> 0 THEN SI(CO[7,I]*SEV *3.6,8,60)
        ELSE SI(CO[8,I]*SEV*3.6,8,60);SI(CO[3,I]+CO[6,I]+CO[7,I]+ CO[8,I],6,6
        SI(CO[3,I]*STAV+CO[6,I]*sSUD+(CO[7,I]+CO[8,I]*SEV)*3.6,8,76);
        WRITELN(STR);
        REPEAT
        UNTIL KEYPRESSED;
    END;
END;
procedure MENU;
BEGIN
    CLRSCR;
    WRITELN(' RESULTATE LA INDIGO ----> "P" ');WRITELN;
    WRITELN(' RESULTATE PE ECRAN ----> "E" ');WRITELN;
    WRITELN(' ABANDON PROGRAM ----> "Q" ');WRITELN;

```

```

CONTUR(1,17,45,23);
REPEAT
    GOTOXY(40,20);READ(HC);WRITE(CHAR(7));
UNTIL HC IN['P','Q','E'];
IF HC='E' THEN WRITE ('<-');
END;
procedure DATEIN ; { SE PREIAU DATELE INITIALE PRIN TASTATURA}
BEGIN
    CLRSCR;CONTUR(3,13,50,17);CONTUR(3,3,50,7); CONTUR( 3,8,50,12);
FOR i:=DE_LA TO PINA_LA DO
BEGIN
    GOTOXY(5,5);CLREOL;
    WRITE('INTRODUCETI AZIMUTUL PENTRU ORA ',I,'->');
    READLN(CO[1,I]);
    GOTOXY(5,10);CLREOL;
    WRITE('INTRODUCETIINALTIMERA PENTRU ORA',I,'->');
    READLN(CO[2,I]);
    GOTOXY(5,15);CLREOL;
    WRITE('DIVIZIUNI PE "SOLARIS" ->');
    READLN(CO[0,I]);
    WRITELN;
END;
END;
procedure FUNCTIA; {EVALUAREA FUNCTIEI}
BEGIN
    FOR I:=de_la TO pinla_la DO
    BEGIN
        Z:=SIN(CO[2,I] * PI/180);
    END;
END;
procedure CALCUL ;{calcule}
BEGIN
    FOR I:=de_la to pinla_la DO
    BEGIN
        Z:=SIN(CO[2,I]*PI/180);CO[3,I]:=1080*EXP(1.22*LN(Z));
        CO[4,I]:=1230*EXP(-1/3.8*Z);CO[5,I]:=125*EXP(0.4*LN(Z));
        CO[6,I]:=CO[4,I]*COS(CO[2,I]*PI/180)*COS(CO[1,I]*PI/180);
        CO[7,I]:=CO[4,I]*COS(CO[2,I]*PI/180)*COS((CO[1,I]-90)*PI/180);
        CO[8,I]:=CO[4,I]*COS(CO[2,I]*PI/180)*COS((CO[1,I]+90)*PI/180);
        FOR J:=3 TO 8 DO IF CO[J,I] <0.1 THEN CO[J,I]:=0;
    END;
END;

procedure AFISARE; {AFISAREA REZULTATELOR}
BEGIN
    GOTOXY(10,10);
    WRITE('PENTRU CE ORA ?(',DE_LA,'-',pinla_la,')');
    CONTUR(6,6,60,14);GOTOXY(55,10);
    REPEAT
        READ (I);
    UNTIL (I>=DE_LA) AND (I<=PINLA_LA);
    CLRSCR;
    WRITELN(' PENTRU ORA ',I);WRITELN('.....');
    WRITELN(' AZIMUT=',CO[1,I]:6:1,'91');
    WRITELN('INALTIME=',CO[2,I]:6:1,'G1');

```

```

WRITELN('=====');
WRITELN(' INTENSITATI . watt/m*m      kjoule/ora');
WRITELN('=====');
WRITELN('GLOBAL-ORTIZONTALA=');
IF CO[3,I]>0 THEN
WRITELN(CO[3,I]:10:1,' -> TAVAN <-',CO[3,I]*STAV*3.6:10:1)
ELSE WRITELN(' perete umbrit ');
WRITELN('-----');
WRITE('DIRECT-NORMALA =');
IF CO[4,I]>0 THEN WRITELN(CO[4,I]:10:1)
ELSE WRITELN(' PERETE UMBRIT ');
WRITELN('-----');
WRITE('DIFUZA ='); IF CO[5,I]>0 THEN WRITELN (CO[5,I]:10:1)
ELSE WRITELN(' PERETE UMBRIT ');
WRITELN('-----');
WRITE('VERTICAL_SUD =');
IF CO[6,I]>0 THEN
WRITELN(CO[6,I]:10:1,' ->perete SUD <-',CO[6,I]*Ssud *3.6:10:1)
ELSE WRITELN(' perete UMBRIT ');
WRITELN('-----');
WRITE('VERTICAL_EST = ');
IF CO[7,I]>0 THEN WRITELN(CO[7,I]:10:1,'->perete EST <-',CO[7,I]*SEV*3.6:10:1)
ELSE WRITELN ('PERETE UMBRIT ');
WRITELN('-----');
WRITELN('VERTICAL_VEST = '); IF CO[8,I]>0 THEN
WRITELN(CO[8,I]:10:1,' -> perete VEST <-',CO[8,I]*SEV*3.6:10:1)
ELSE WRITELN ('PERETE UMBRIT ');
WRITELN('=====');
REPEAT
UNTIL KEYPRESSED;
END;

{ *****PROGRAM PRINCIPAL***** }
BEGIN
DATEIN;
FUNCTIA;
CALCUL;
HC:='S';
WHILE HC <>'Q' DO
BEGIN
MENU;
IF HC='E' THEN AFISARE;
IF HC='P' THEN PRIMANTA;
END;
END.

```



```

0(46,61,11,'=');0(63,78,5,'-');0(29,44,19,'%');
0(2,27,6,'-');0(2,27,11,'-');0(29,44,12,'-');0(46,54,5,'-');
0(46,61,7,'-');0(46,61,15,'-');0(46,61,18,'-');
W(2,22,1,'X');W(2,22,28,'$');W(2,22,45,'$');W(2,22,62,'$');
W(2,22,79,'X');W(2,10,49,'%');W(2,10,51,'%');W(2,10,55,'%');
W(14,22,70,'%');W(12,22,49,'%');W(16,22,51,'%');

end;
PROCEDURE PAS;                                %BALEIAJ TASTATURA PINA SE APASA%
begin repeat read(k,i,eh); until eh='chr(0);
end;

PROCEDURE LIPAN(k:byte);                      %CALCULEAZA NR.DE ZILE DIN LUNA K%
begin case k of                               %Y1=1 IN ANI BISECTI, IN REST Y1=0%
  2:nz:=2+iy1;
  1,3..12:nz:=trunc(30.5-0.5*cos(PI*(k+trunc(k/8))));
end;

PROCEDURE NORD(lu,zl:byte); var k:byte;      %CALCULEAZA NR.DE ORDINE AL%
begin case lu of                            %ZILEI INTR-UN AN%
  1:e9:=zl-y1;
  2..12:begin suma:=0;
    for k:=1 to lu-1 do
      begin LIPAN(k);suma:=suma+nz;
      end;
    e9:=suma + zl;
  end;
  end;if lu in %2% then e9:=e9-y1;
end;

PROCEDURE SEXY(var ser:string);              %SINTEZA SIR PTR.EXPRIMARE %
begin str(gra:4,gra0);insert(gra0,ser,ct);
str(min:2,min0);insert(min0,ser,ct+5);
str(sec:2,sec0);insert(sec0,ser,ct+8);
ct:=ct+12;
end;

PROCEDURE ZEXY;begin if ct<30 then          %SINTEZA SIR PTR.EXPRIMARE%
  %UNGHI IN GRADE, ZECIMI%
  begin str(pain:7,pin);insert(pin,ze,ct);
    str(pair:2,pfr);insert(pfr,ze,ct+8);end else
  begin str(pain:6,pin);insert(pin,ze,ct);
    str(pair:4,pfr);insert(pfr,ze,ct+7);end;
  ct:=ct+12;
end;

PROCEDURE GMS(v:real);                      %DET. NR DE GRADE,MIN,SEC%
begin if v<0 then sig:=v/abs(v) else sig:=0;
  gra:=trunc(v);
  min:=trunc(60*sig*frac(v));
  sec:=trunc(3600*sig*frac(v)-60*min);
  if ct>1 then SEXY(se);
end;

PROCEDURE DECI(v:real);begin if v<0 then %DET. NR.DE GRADE IN ZECIMI DE GRADE
  begin pain:=trunc(v);
    if ct>30 then pafr:=trunc(100*v/abs(v)*frac(v)+0.5) else
      pafr:=trunc(10000*v*frac(v)/abs(v)+0.5);
    if ct>1 then ZEXY;
  end;
end;

```

```

        end else pain:=0;pafr:=0;
        end;
PROCEDURE USA;                                %TRIMITE REZULTATELE LA IMPRIMANTA%
begin if fan in %'P'% then
begin case g7 of
        1:write(LST,se);
        2:write(LST,ze);
end;writeln(LST);
end;
case g7 of
        1:write(se);
        2:write(ze);
end;writeln;
end;
PROCEDURE RG;                                %TRANSFORMARE DIN RADIANI IN GRADE%
begin A:=A/c0;E:=E/c0;H:=H/c0;teta:=90-E;
if a<=0 then sig:=A/abs(A) else sig:=0;fi:=A-180*sig*(1-sig);
alfa:=sin(teta)*cos(fi);beta:=sin(teta)*sin(fi);
gama:=cos(teta);
end;
PROCEDURE B(ch:char);                         %TIPARESTE PE ECRAN UN CARACTER%
                                         %"CH" PE VIDEO INVERS%
begin write(ux,'V',$E80,ch,ux,'V',$E80);
end;
PROCEDURE LAT;                               %DATE INITIALE:%
begin P(3,3);write('LATITUDINE:grade.zecimi');
P(17,4);read(l2);P(2,2);B('1');
end;
PROCEDURE LON;
begin P(3,8);write('LONGITUDINE:grade.zecimi');
P(17,9);read(l11);P(3,9);write('Est-Vest? ');
case ch of
        'E':j3:=-1;
        'V':j3:=1 else LON;
end;write(ch);P(2,7);B('2');
end;
PROCEDURE FUS;
begin P(30,6);write('ptr.ROMANIA=2');P(34,4);write('0..23');
P(30,3);write('FUSUL orar: ');
read(z);if z in %0..23% then z:=24-z else FUS;
P(29,2);B('3');
end;
PROCEDURE OVI;
begin P(30,14);write('Vara Iarna');P(32,10);write('Ora de: ')
TAS;write(ch);case ch of
        'V':z1:=0;
        'I':z1:=1 else OVI;
end;fa:=ch;P(29,9);B('4');
end;
PROCEDURE PASS;
begin P(30,21);write('PASUL min:');read(s0);P(29,20);B('5');
end;
PROCEDURE LUZI;
begin P(47,10);write('Z');P(47,9);write('..%3% 4');

```

```

P(47,8);write('z');P(57,8);write('Z..Z');
P(47,6);write('Z %1% 2');P(50,3);write('L%L-L% L..L');
P(47,3);read(g8);P(57,5);read(l8);
case g8 of
  1:begin l9:=l8;P(57,9);read(d8);d9:=d8;end;
  2:begin P(59,5);write('-');read(l9);P(57,9);read(d8)
        d9:=d8;end;
  3:begin l9:=l8;P(57,9);read(d8);write('-');read(d9);
  4:begin P(59,5);write('-');read(l9);P(57,9);read(d8)
        write('-');read(d9);end else LUZI;
      end;P(46,2);B('6');
    end;
PROCEDURE ANO;
begin P(65,3);write('ANUL :');read(yy);P(63,2);B('8');
end;
PROCEDURE ORAR;
begin P(47,21);write('0');P(47,20);write(..%2');P(47,19);write('
P(47,17);write('0 %1');P(53,14);write('H M S');
P(50,13);write('INTERVAL');P(47,13);read(g6);
if g6 in %1,2% then case g6 of
  1:begin P(53,17);read(o1);write(' ');read(o2);
        write(' ');read(o3);h9:=o1;m9:=o2;s9:=o3;
      end;
  2:begin P(53,19);read(o1);write(' ');read(o2);write(
        read(o3);P(53,21);read(h9);write(' ');
        read(m9);write(' ');read(s9);
      end;
  end else ORAH;P(46,12);B('7');
end;
PROCEDURE OUTD;                                %TIPARESTE OPTIUNILE PENTRU MODIFICAT
begin P(64,21);write('polar % Oz');P(64,20);write('FI          % CosDir
P(64,18);write('polar % Oy');P(64,17);write('TETA          % CosDir
P(64,15);write('orar % Ox');P(64,14);write('UNGHI          % CosDir
P(67,12);write('INALTIME');P(65,10);write('1 AZIMUT 2');
P(64,7);write('Date ieșire :');read(g7);P(63,6);B('9');
if (g7%1) and (g7%2) then OUTD;
end;
PROCEDURE CAP;begin                            %CALCUL PRELIMINAR%
  t8:=o1+(o2+o3/60)/60;          %TRANSF.ORELE EXTREME DIN H,M,S%
  t9:=h9+(m9+s9/60)/60;          %IN ORE SI ZECIMI%
  y0:=yy-1980;                  %YO-DIFER.AN CURENT SI 1980%
  y1:=trunc(1-((yy)mod(4))/4);%Y1=1 IN AN BISECT%
end;
PROCEDURE MODIF;                                %MODIFICARI%
begin P(6,13);write(px,'V',§BO,'MODIFICARI',px,'V',§BO);
  P(3,5);write(l2);P(3,10);write(l11);P(14,9);write(ww);
  P(42,3);write(24-4);?40,10);write(fa);P(30,22);write(o0:1
  P(57,5);write(18,' ',19);P(57,9);write(d8,' ',d9);
  P(53,17);write(o1,' ',o2,' ',o3);P(53,21);write(h9,' ',m9,
  P(71,3);write(yy);P(77,7);write(g7);
  P(3,17);write('1-LAT. 4-Ora L. 7-Ore');
  P(3,19);write('2-LONG. 5-Pasul 8-Anul');
  P(3,21);write('3-Fusul 6-Lu.Z. 9-Dout');
  P(30,17);write('MOD-F:');TAS;write(ch);
  case ch of '1':LAT;'2':LONG;'3':FUS;'4':OVI;'5':PASS;

```

```

        '6':LUZI;'7':ORAR;'8':AMO;'9':OUTD;'a','P':FAN:=ch;
end;P(43,17);TAS;if ch >= 'R' then MODIF;
end;
EDURE DATEIN; %CITIRE DATE INITIALE%
begin EC;FUG,LAT,LON,OVI;LUZI;ORAR;PASS;AMO;OUTD;
end;
EDURE CALC; %CALCUL COORDONATE SOLARE%
begin t:=y0*365+int(y0/4)+d-1+t0/24-y1;
o4:=b0*t/365.25;
g:=-31271E-6-4.53963E-7*t+o4;
l:=4.900968+t*367474E-12+(33434E-6-t*2.3E-9)*sin(g);
l:=l+349E-6*sin(2*g)+o4;
f:=40914E-5-6.21337E-9*t;
o5:=sin(l);
a1:=o5*cos(f);
a2:=cos(l)+1E-20;
if j3>0 then begin
        if a2=0 then l1:=360-11 else l1:=180-11;
        end;
r:=arctan(a1/a2);if r>0 then r:=r+b0;
s5:=o5*sin(f);
d1:=arctan(s5/sqrt(1-s5*s5));
t1:=1.759335+b0*(t/365.25-y0)+t*3.66519E-7;
if t1=b0 then t1:=t1-b0;
s:=t1-j3*l1*c0+j3*15*c0*1.002738*(z-z1+t0);
if s=b0 then s:=s-b0;
h:=r-s;
f1:=c0*12;
s6:=SIN(f1)*sin(d1)+cos(f1)*cos(d1)*cos(h);
e:=arctan(s6/sqrt(1-s6*s6));
s7:=cos(d1)*sin(h)/cos(e);
a:=arctan(s7/sqrt(1-s7*s7));
if sin(e)*sin(d1)/sin(f1) then
        begin if a>0 then a:=a+b0 else a:=pi-a;end;
        if a>pi then a:=j3*(pi-a) else a:=a*j3;
        end;
end;
clrscr;DATEIN;repeat MODIF;CAP; %BLOCUL PRINCIPAL%
for i:=18 to 19 do me:=d8-1;
begin NORD(i,d8);e8:=e9;NORD(i,d9);
for d:=e8 to e9 do me:=me+1;
begin ANTET;t0:=t8;while t0<=t9 do
begin ct:=1;gms(t0);se:=sex;ze:=zex;
SEXY(se);ct:=1;SEXY(ze);l1:=l11;CALC;EG;
case g7 of
    1:begin GMS(a);GMS(e);GNS(h);GMS(teta);GMS(fi);USA;
        end;
    2:begin DECI(a);DECI(e);DECI(alfa);DECI(beta);DECI(gama)
        end;
    end;t0:=t0+s0/60;
end;
end;
end;write('DECLINATIE ',d1/c0);TAS;clrscr;ES; until ch='Q';

```

22-10-1989 LATITUDINE 44,4500
LONGITUDINEA 26, 900 E

ORA MinSec	AZIMUT	INALTIME	UNGHI-orar	TETA-polar	PI-polar
7 0m 0s	86 36'41"	-12 26'10"	263 22'16"	102 26'10"	86 36'41"
7 30m 0s	81 25'57"	-7 6'15"	270 53'27"	97 6'15"	81 25'57"
8 0m 0s	76 14'20"	-1 50'41"	278 24'39"	91 50'41"	76 14'20"
8 30m 0s	70 56'41"	3 17'52"	285 55'50"	86 42' 7"	70 56'41"
9 0m 0s	65 28' 4"	8 16'32"	293 27' 1"	81 43'27"	65 28' 4"
9 30m 0s	59 43'41"	13 2' 5"	300 58'12"	76 57'54"	59 43'41"
10 0m 0s	53 38'54"	17 30'52"	308 29'23"	72 29' 7"	53 38'54"
10 30m 0s	47 9'24"	21 38'41"	316 0'34"	68 21'18"	47 9'24"
11 0m 0s	40 11'39"	25 20'46"	323 31'45"	64 39'13"	40 11'39"
11 30m 0s	32 43'33"	28 31'49"	331 2'56"	61 28'10"	32 43'33"
12 0m 0s	24 45'16"	31 6'21"	338 34' 8"	58 53'38"	24 45'16"
12 30m 0s	16 20' 3"	32 59' 2"	346 5'19"	57 0'57"	16 20' 3"
13 0m 0s	7 34'49"	34 5'23"	353 36'30"	55 54' 36"	7 34'49"
13 30m 0s	-1 20'19"	34 22'29"	361 7'41"	55 37'30"	358 39'40"
14 0m 0s	-10 13'33"	33 49'34"	368 38'52"	56 10'25"	349 46'26"
14 30m 0s	-18 53'21"	32 28' 7"	376 10' 3"	57 31'52"	341 6'38"
15 0m 0s	-27 10'31"	30 21'36"	383 41'15"	59 38'23"	332 49'28"
15 30m 0s	-34 59'18"	27 34'51"	391 12'26"	62 25' 8"	325 0'41"
16 0m 0s	-42 17'29"	24 13'17"	398 43'37"	65 46'42"	317 42'30"
16 30m 0s	-49 5'43"	20 22'24"	406 14'48"	69 37'35"	310 54'16"
17 0m 0s	-55 26'39"	16 7'18"	413 45'59"	73 52'41"	304 33'20"
17 30m 0s	-61 24' 6"	11 32'36"	421 17'11"	78 27'23"	298 35'53"
18 0m 0s	-67 2'31"	6 42'18"	428 48'12"	83 17'41"	292 35'28"

```

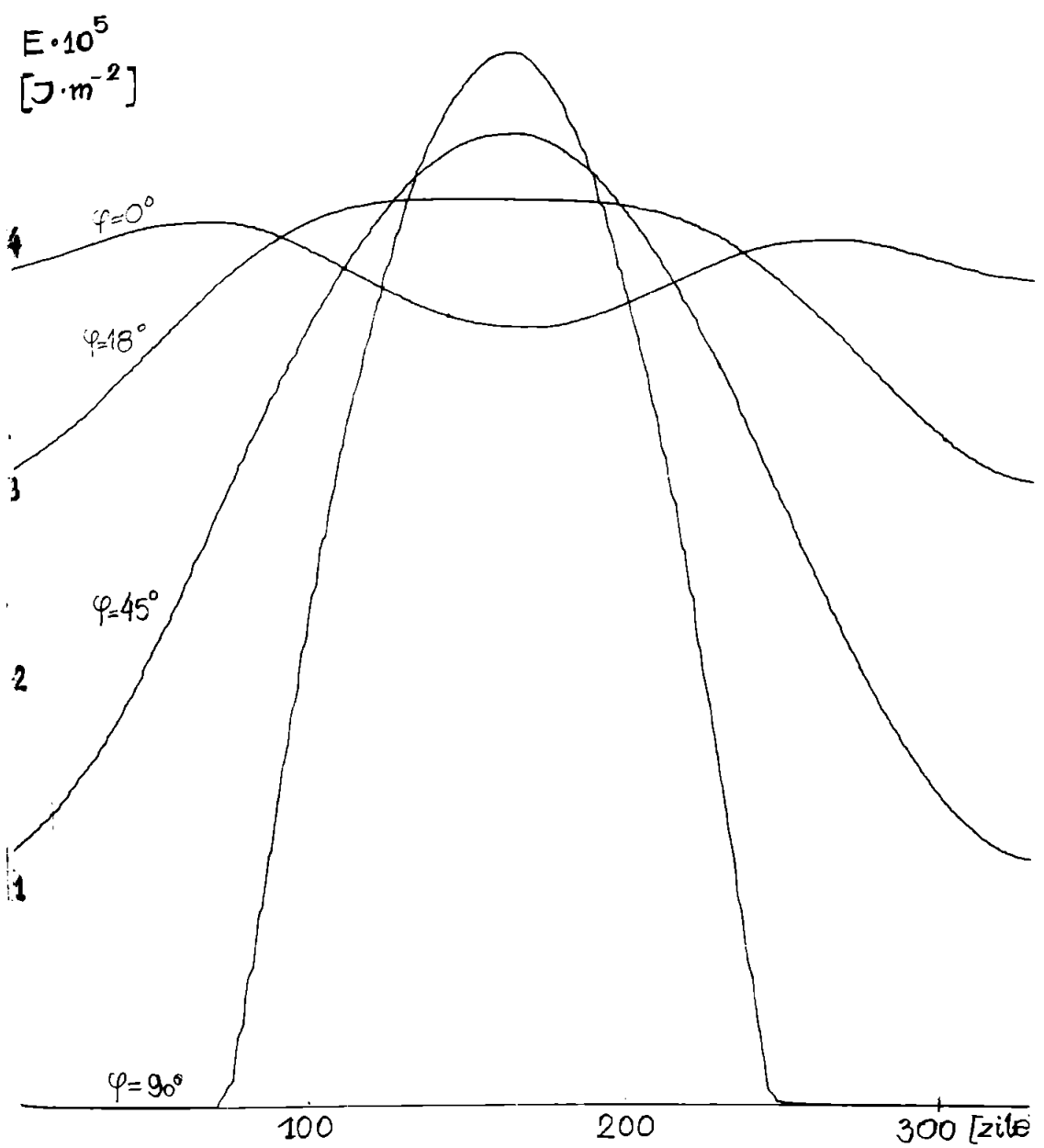
1INIT
2DATA0,31,59,90,120,151,181,212,243,273,304,334,365
3DIMQ(13)
4L=1
6FORI=1TO13
7READQ(I)
8NEXTI
9PRINT"      INTRODUCEM LATITUDINEA IN GRADE";
10INPUTF
11F=F*PI/180
21GOT0200
22D=23.45*SIN(360/365*(284+N)*PI/180+1E-5)
23PRINTAT(3,3)"DECLINATIE =";D;" GR"
24PRINTAT(1,10)"DATA:";N-Q(L);"-";L
40D=D*PI/180
48IFF=90*PI/180THEN80
50A=-TAN(F+1E-6)*TAN(D)
51IFABS(A)^3=1THEN57
55W=ATN(SQR(1-A^2)/(A+1E-7))
56GOT070
57V=PI
58COT090
70V=W-PI/2*SGN(W)*(1-SGN(W))
75GOT090
80V=PI/2*SGN(D)*(1+SGN(D))
90H=86.4/PI*1353*(1+0.033*COS(2*PI*N/365))
100H=H*(COS(F)*COS(D)*SIN(V)+V*SIN(F)*SIN(D))
130PRINTAT(5,3)"ENERGIE/ZI ";H;" J/MP"
140PRINT"====="
150RETURN
200INIT
210PRINTAT(20,4)"OPTIUNI : ",AT(22,3)"1-ENERGIE INTEGRALA LUNARA"
220PRINTAT(24,3)"2-ENERGIE MEDIE LUNARA"
230PRINTAT(26,3)"3-ENERGIE DIURNA"
235PRINTAT(28,3)"4-GRAFIC"
240INPUTS
2500NSGOT0300,500,700,1000
300PRINT"NR.LUNA";
304INPUTL
307IFL=2THEN310
308Z=INT(30.5-0.5*COS(PI*(L+INT(L/8))))
309GOT0312
310Z=28
311PRINTZ
312FORN=Q(L)+1TOQ(L)+Z
316GOSUB22
320H1=H1+H
324NEXTN
328PRINT"EN.TOT.LUNA ";L;" =";H1;" J/MP"
330INPUTS0
332GOT0200
500PRINT"NR.LUNA";
504INPUTL
507IFL=2THEN510
508Z=INT(30.5-0.5*COS(PI*(L+INT(L/3))))
509GOT0512
510Z=28
512H1=0
513FORN=Q(L)+1TOQ(L)+Z
516GOSUB22

```

```

520H1=H1+H
524NEXTN
528H1=H1/Z
530PRINT"EN. MEDIE/ZI IN LUNA";L;" ";H1;"J/MP"
540INPUTS0
550GOTO200
699INIT
700PRINT"INPUT NR.ZIUA,NR.LUNA"
710INPUTN,L
720N=N+Q(L)
721IFN^Q(1+1)THEN699
730GOSUB22
740PRINT"ENERGIE DIURNA =";H;" J/MP"
750INPUTS0
760GOTO200
790FORO=OT05E2
791NEXTO
792RETURN
1000CALL(6)
101ON=1
1020GOSUB22
1030X=10*N
1040Y=H/11
1050CALL(1,X,Y)
1060GOSUB790
1070CALL(7)
1080GOSUB790
1090FORN=2TO36STEP3
1100X=10*N
1110GOSUB22
1120Y=H/11
1130CALL(1,X,Y)
1140NEXTN
1150GOSUB790
1160CALL(8)
1170GOSUB790
1180EE="D"
1190PRINTAT(1,1)"AXE,Y/N?";
1200INPUTEE
1210IFEE="N"THEN9
1220IFEE="Y"THEN1240
1230GOTO1190
1240CALL(1,0,0)
1250GOSUB790
1260CALL(7)
1280GOSUB790
1290FORX=0TO4E3STEP20
1300CALL(1,X,0)
1310NEXTX
1320GOSUB790
1330CALL(8)
1340GOSUB790
1350FORX=4E3TO0STEP-20      1430NEXTY
1360CALL(1,X,0)              1440GOSUB790
1370NEXTX                     1450CALL(8)
1380GOSUB790                  1450GOSUB790
1390CALL(7)                   1470FORY=4E3TO0STEP-20
1400GOSUB790                  1490CALL(1,X,Y)
1410FORY=0TO4E3STEP20         1490NEXTY
1420CALL(1,X,Y)              1500GOSUB790
1510GOTO9

```



STOCAREA CALDURII

Programul urmareste comportarea unui acumulator de caldura pe parcursul anului. Se studiaza:

1. regimul de incarcare (introducere energie, baleiere de omogenizare)
2. regim de stocaj (baleiere de omogenizare)
3. regim de consum (baleiere de omogenizare si consum orar)
4. efectul izolatiei
5. efectul marimii acumulatorului
6. influenta numarului de elemente si a dimensiunii acestor elemente

Consideram un acumulator alcătuit din mai multe elemente unitare (consideram matricea elementelor). Parametrii caracteristici utilizati:

Q(T) - cantitatea de caldura cu care se incarcă pe ora volumul

I(E) - ore/zi, I(L) - zile luna

AST ADR ASUS ASOS - izolatiile

AX AY - dimensiunea elementelor

AT - pasul de timp

AL - coeficient λ [W/mK]

AC - caldura specifică [J/kgK]

AR - densitatea materialului [kg/m³]

BST,BDR,BSUS,BJOS ~ temperaturi de contur


```

      WRITE (5,1)
      FORMAT (3X,'DATI TEMP,INIT TST,TDR,TSUS,TJOS SI TI.')
      READ (5,72) BST,BDR,BSUS,BJOS,BI
      WRITE (1,72) BST,BDR,BSUS,BJOS,BI
      FORMAT (5F10.5)
      DO 80 I=1,IX
      T(I,1,1)=BST
      T(I,1,2)=BDR
      T(I,IY,1)=BSUS
      T(I,IY,2)=BJOS
      CONTINUE
      DO 81 J=1,IY
      T(1,J,1)=BSUS
      T(1,J,2)=BJOS
      T(IX,J,1)=BSUS
      T(IX,J,2)=BJOS
      CONTINUE
      I1=IX-1
      I2=IY-1
      DO 82 K1=2,II
      DO 82 K2=2,I2
      T(1,(K2-1),BI)
      T(K1,K2,BI)
      CONTINUE
      WRITE (1,14)
      FORMAT (10X,'CIMP TERMIC INITIAL : ')
      CALL S2 (T,IX,IY)
      DO 100 IL=1,12
      IF (IE(IL).EQ.0) GOTO 100
      AD=Q(IL)
      YY=AD+AT/(AR*AC)
      IR=IZT(IL)
      DO 200 IZ=1,IR
      DO 300 IP=1,IV
      ION=IC(IP)
      ILIG=IE(IL)/AT
      IF (IZ-ION) 90,90,91
      IF (I-ILIG) 92,92,91
      CONTINUE
      DO 400 IA=2,II
      DO 400 IB=2,I2
      T((IA,IB,2)=T((IA,IB,1)+YY
      CONTINUE
      CALL S1 (T,(1,IZ,AST,ADR,ASUS,AJOS,AL,AW,AX,AY)
      IA=2
      IB=2
      T((IA,IB,1)=T((IA,IB,2)
      ID=IB+1
      IF (IB-(IY-1)) 600,600,601
      IA=IA+1
      IF (IA-(IX-1)) 602,602,603
      CONTINUE
      CONTINUE
      IF (IZ.EQ.ISI) GOTO 625
      IF (IZ.EQ.IR) GOTO 625
      GOTO 427
      WRITE (1,626) IL,IZ
      FORMAT (10X,'CIMP TERMIC IN LUNA-ZIUA',215)
      CALL S2 (T,IX,IY)
      CONS=AR*AC*AY/1000.
      CALL S2 (T,IX,IY,CONS,BI)
      CONTINUE
      CONTINUE
      CONTINUE
      STOP
      END
      SUBROUTINE S1 (T,II,IZ,AST,ADR,ASUS,AJOS,AL,AW,AX,AY)
      DIMENSION T(50,50,7)
      DO 89 IZ=1,IZ
      DO 89 IX=1,II
      DO 89 IY=1,IY

```

```

TST=T(IA,IB-1,1)
TDR=T(IA,IB+1,1)
TC=T(IA,IB,1)
IMM=1
INN=12
XST=AL
XDR=AL
KSUS=AL
XJOS=AL
IF(IA.EQ.2) XSUS=ASUS
IF(IB.EQ.2) XST=AST
IF(IA.EQ.1MM) XJOS=AJOS
IF(IB.EQ.1INN) XDR=ADR
COEL=AW*AY/AX*(XST*(TST-TC)+XDR*(TDR-TC))
COEL=COEL+AW*AX/AY*(XSUS*(TSUS-TC)+XJOS*(TJOS-TC))
Y(IA,IB,2)=T(IA,IB,2)+COEL
30 CONTINUE
RETURN
END
SUBROUTINE S2 (T,IX,TY)
DIMENSION T(50,50,2),IQ(50)
DO 55 I=1,50
IQ(I)=I
55 CONTINUE
WRITE (1,1)
1 FORMAT (3X,10E1.1)
WRITE (1,2) (IQ(I),I=1,18)
2 FORMAT (3X,18(I6))
DO 3 LL=1,50
IF(T(LL,1,1).EQ.0.) GOTO 3
WRITE (1,4) LL,(T(LL,JJ,1),JJ=1,18)
4 FORMAT (2X,I6,18(F6.2))
3 CONTINUE
IF(T(1,19,1).EQ.0.) GOTO 40
WRITE (1,2) (IQ(I),I=19,36)
DO 13 LL=1,50
IF(T(LL,19,1).EQ.0.) GOTO 13
WRITE (1,4) LL,(T(LL,JJ,1),JJ=19,36)
13 CONTINUE
IF(T(1,37,1).EQ.0.) GOTO 40
WRITE (1,2) (IQ(I),I=37,50)
21 FORMAT (3X,14(I6))
DO 23 LL=1,50
IF(T(LL,37,1).EQ.0.) GOTO 23
WRITE (1,24) LL,(T(LL,JJ,1),JJ=37,50)
24 FORMAT (2X,I5,14(F6.2))
23 CONTINUE
20 WRITE (1,1)
RETURN
END
SUBROUTINE S3(T,IX,IY,CONS,B1)
DIMENSION T(50,50,2)
TOT=0.
TM=0.
IC=0
IMM=IX-1
INN=IY-1
DO 1 I1=2,IMM
DO 1 I2=2,INN
IC=IC+1
TM=TM+(T(I1,I2,2)-B1)
TOT=TOT+T(I1,I2,2)
1 CONTINUE
TM=TOT/IC

```

```
      WRITE (1,3) T*,LN
```

```
2  FORMAT (10X,'TMED = ',F9.5,', EN. IN MAGAZIN. I = ',F12.3)
1R=(IX+1)/2
1P=(IY+1)/2
WRITE (1,3) T(IR,IP,2)
FORMAT (15X,'TEMP. IN CENTRU : ',F9.5)
RETURN
END
```